

ACADEMIA REPUBLICII POPULARE ROMÎNE

STUDII SI CERCETĂRI DE BIOLOGIE BIOL. INCL. 28

SERIA

BIOLOGIE VEGETALĂ

4

TOMUL XIII

1961

EDITURA ACADEMIEI REPUBLICII POPULARE ROMÎNE

STUDII ȘI CERCETĂRI DE BIOLOGIE

SERIA

BIOLOGIE VEGETALĂ

Tomul XIII, nr. 4

1961

COMITETUL DE REDACȚIE

N. SĂLĂGEANU, membru corespondent al Academiei R.P.R. — *redactor responsabil*; GEORGETA FABIAN-GALAN; ST. PÉTERFI, membru corespondent al Academiei R.P.R.; T. BORDEIANU, membru corespondent al Academiei R.P.R.; C. SANDU-VILLE, membru corespondent al Academiei R.P.R.; CORALIA NIȚESCU — *secretar tehnic de redacție*.

SUMAR

| S U M A R | P a g. |
|--|--------|
| T. BORDEIANU, I. TARNAVSCHI, I. F. RADU, ECATERINA BUMBAC, M. BOTEZ și ANA MARIN, Studiu privind repausul de iarnă și pragul biologic la mugurii floriferi de cais | 427 |
| DORINA COSMA, VIOREL SORAN și MARIA RADOVICI, Observații cu privire la existența unui strat viu de celule în tegumentele seminale | 441 |
| D. SÂNDOIU, H. SLUŞANSCHI, ILEANA RAIU și LIVIA MILITESCU, Influența secetei experimentale din sol, în diferite faze de vegetație, asupra producției și acumulării componentelor chimice la orz | 449 |
| C. C. GEORGESCU, I. CATRINA și V. TUTUNARU, Cercetări asupra procesului de refacere a coroanei și a intensității de transpirație a molizilor atacați de <i>Lymantria monacha</i> L. | 467 |
| I. POPESCU-ZELETIN, V. G. MOCANU și S. PUIU, Cercetări privind structura și dinamica creșterii radiale în perioada de vegetație la arborete de <i>Populus × euramericanus</i> (Dode) Guinier (cv. 'marilandica') | 477 |
| N. ZAMFIRESCU și ST. URTILĂ, Influența luminii asupra absorbției fosforului la porumb și soia determinată cu ajutorul izotopului P^{32} | 507 |
| N. SĂLĂGEANU și L. ATANASIU, Despre fotosinteza la frunzele persistente ale unor specii în decursul iernii | 517 |
| PETRE DIACONU, O metodă expeditivă pentru determinarea viabilității polenului de porumb | 529 |
| LUCIAN GRUIA, Alge noi pentru flora R.P.R. (I) | 539 |
| ANA HULEA și MARINA NEAGU-TIRCOVNICU, Contribuții la cunoașterea microflorei de pe plantele de în | 547 |
| INDEX ALFABETIC | 561 |

STUDII ȘI CERCETĂRI DE BIOLOGIE

Seria BIOLOGIE VEGETALĂ

Apare de 4 ori pe an

REDACTIA:

BUCUREȘTI, CALEA VICTORIEI nr. 125

Telefon 14.54.90

EDITURA ACADEMIEI REPUBLICII POPULARE ROMÂNE

ACADEMIE DE LA REPUBLIQUE POPULAIRE ROUMAINE

ÉTUDES ET RECHERCHES DE BIOLOGIE
SÉRIE
BIOLOGIE VÉGÉTALE

Tome XIII, n° 4

1961

SOMMAIRE

| | Page |
|--|------|
| T. BORDEIANU, I. TARNAVSCHI, I. F. RADU, ECATERINA BUMBAC, M. BOTEZ et ANA MARIN, Etude du repos hivernal et du seuil biologique des bourgeons à fleurs de l'abricotier | 427 |
| DORINA COSMA, VIOREL SORAN et MARIA RADOVICI, Observations relatives à l'existence d'une couche de cellules vivantes dans les téguments séminaux | 441 |
| D. SĂNDOIU, H. SLUȘANSCHI, ILEANA RAIU et LIVIA MILITESCUL, Influence de la sécheresse expérimentale du sol, à différentes phases de la végétation de l'orge, sur le rendement et l'accumulation des composants chimiques dans la plante | 449 |
| C. C. GEORGESCU, I. CATRINA et V. TUTUNARU, Recherches sur le processus de restitution de la couronne et sur l'intensité de la transpiration des épicéas attaqués par <i>Lymantria monacha</i> L. | 467 |
| I. POPESCU-ZELETIN, V. G. MOCANU et S. PUIU, Recherches sur la structure et la dynamique de l'accroissement radial pendant la période de végétation d'un peuplement de <i>Populus × euramericana</i> (Dode) Guinier (cv. 'marilandica') | 477 |
| N. ZAMFIRESCU et ST. URTILĂ, Influence de la lumière sur l'absorption du phosphore par les plantes de maïs et de soja, déterminée à l'aide de l'isotope P^{32} | 507 |
| N. SĂLĂGEANU et L. ATANASIU, De la photosynthèse de quelques espèces à feuilles persistantes, en hiver | 517 |
| PETRE DIACONU, Une méthode expéditive pour déterminer la viabilité du pollen du maïs | 529 |
| LUCIAN GRUIA, Algues nouvelles pour la flore de la République Populaire Roumaine (I) | 539 |
| ANA HULEA et MARINA NEAGU-TÍRCOVNICU, Contribution à l'étude de la mycoflore parasite des plantes de lin | 547 |
| INDEX ALPHABÉTIQUE | 561 |

EDITIONS DE L'ACADEMIE DE LA REPUBLIQUE POPULAIRE ROUMAINE

АКАДЕМИЯ РУМЫНСКОЙ НАРОДНОЙ РЕСПУБЛИКИ

ТРУДЫ И ИССЛЕДОВАНИЯ ПО БИОЛОГИИ
СЕРИЯ
БИОЛОГИЯ РАСТЕНИЙ

Том XIII, № 4

1961

СОДЕРЖАНИЕ

| | Стр. |
|---|------|
| Т. БОРДЕЯНУ, И. ТАРНАВСКИ, И. Ф. РАДУ, ЕКАТЕРИНА БУМБАК, М. БОТЕЗ и АНА МАРИН, Исследование зимнего покоя и биологического порога у цветочных почек абрикоса | 427 |
| ДОРИНА КОСМА, ВИОРЕЛ СОРАН и МАРИЯ РАДОВИЧ, Замечания относительно существования слоя живых клеток в семенных оболочках | 441 |
| Д. САНДОЙУ, Х. СЛУШАНСКИЙ, ИЛЯНА РАЙУ и ЛИВИА МИЛИЦЕСКУ, Влияние искусственной почвенной засухи в различных вегетационных фазах на урожай ячменя и на накопление в нем химических компонентов | 449 |
| К. К. ДЖОРДЖЕСКУ, И. КАТРИНА и В. ТУТУНАРУ, Изучение процесса восстановления кроны и интенсивности транспирации у поврежденных монашеникой (<i>Lymantria monacha</i> L.) елей | 467 |
| И. ПОПЕСКУ-ЗЕЛЕТИН, В. Г. МОКАНУ и С. ПУЙУ, Изучение структуры и динамики радиального прироста в течение вегетационного периода в древостоях <i>Populus × euramericana</i> (Dode) Guinier (cv. 'marilandica') | 477 |
| Н. ЗАМФИРЕСКУ и С. УРТИЛЭ, Влияние света на поглощение фосфора у кукурузы и сои, определенное с помощью изотопа P^{32} | 507 |
| Н. СЭЛЭДЖЯНУ и Л. АТАНАСИУ, О фотосинтезе у неопадающих листьев некоторых видов в течение зимы | 517 |
| ПЕТРЕ ДИАКОНУ, Быстрый метод определения жизнеспособности пыльцы кукурузы | 529 |
| ЛУЧИАН ГРУЯ, Новые для флоры РРР формы водорослей (I) | 539 |
| АНА ХУЛЯ и МАРИНА НЯГУ-ЦЫРКОВНИКУ, К изучению грибной флоры растений льна | 547 |
| АЛФАВИТНЫЙ УКАЗАТЕЛЬ | 561 |

ИЗДАТЕЛЬСТВО АКАДЕМИИ РУМЫНСКОЙ НАРОДНОЙ РЕСПУБЛИКИ

STUDIU PRIVIND REPAUSUL DE IARNĂ ȘI PRAGUL BIOLOGIC LA MUGURII FLORIFERI DE CAIS

DE

T. BORDEIANU

MEMBRU CORESPONDENT AL ACADEMIEI R.P.R.

I. TARNAVSCHI, I. F. RADU, ECATERINA ȚUMBAC, M. BOTEZ și ANA MARIN

Comunicare prezentată în ședința din 14 iunie 1961

În ciclul anual al pomilor se disting două perioade principale, și anume: perioada de vegetație și perioada de repaus. Între acestea există alte două perioade — de trecere.

În perioada de vegetație, în organele pomilor se formează și se acumulează materia organică necesară creșterii și dezvoltării organelor existente, formării de organe noi, precum și diferențierii acestora.

În perioada de repaus, în țesuturile vii ale pomilor se desfășoară procese de ordin fiziologic și biochimic, care asigură atât viața însăși a pomilor cât și trecerea, la timpul potrivit, de la starea de repaus la starea de vegetație.

Intrarea și ieșirea dintr-o perioadă în alta, pe lîngă alți factori, este direct condiționată de temperatură. Manifestarea temperaturilor extreme, pozitive și negative, precum și durata lor în timp influențează intensitatea proceselor de creștere și dezvoltare în perioada de vegetație și durata perioadei de repaus; ele determină de asemenea și aria de răspândire a speciilor pomicole.

Problema repausului de iarnă, precum și aceea a pragului biologic au fost studiate de numerosi cercetători. Rezultatele obținute diferă însă de la un autor la altul, din care cauză nu pot fi considerate decît ca date orientative pentru condițiile și speciile pomicole cu care s-a experimentat.

Rezultatele respective nu pot fi deci generalizate și, ca atare, nu pot conduce la stabilirea unor reguli privind intrarea și ieșirea mugurilor din perioada de repaus, întrucât natura și intensitatea proceselor metabolice

ce se desfășoară în țesuturile vii ale pomilor, atât în perioada de vegetație cât și în cea de iarnă, sănătatea extremă de variante.

Datorită acestui fapt s-a considerat necesară luarea în studiu a problemei rapausului de iarnă al mugurilor florali la cais, precum și aceea a stabilitării pragului biologic, în condițiile de la noi.

Procesul creșterii și dezvoltării plantelor, fiind bazat pe multiplicarea celulelor, considerăm că intrarea în perioada de vegetație a pomilor trebuie să fie corelată cu procesul diviziunii celulare. Ca urmare, studiul s-a bazat pe observații fenologice și mai ales pe analize microscopice.

Cercetările au fost începute în luna ianuarie 1958 și continue pînă la sfîrșitul lunii aprilie 1960.

MATERIALUL ȘI METODA DE LUCRU

Au fost luate în studiu patru soiuri de cais, cu perioada de înflorire eșalonată, și anume: Tîrzii de București, Falcă roșie, Ananas și Umberto; la începutul cercetărilor, pomii altoiți pe corodouș și cultivati pe același agrofond în plantația Institutului agronomic „N. Bălcescu” erau în vîrstă de 14 ani.

Paralel, studiul a cuprins pomi din aceleasi soiuri în vîrstă de 2–3 ani, altoiți tot pe corodouș, dar crescute în ghivece.

Prin faptul că R. W. Gartner (7) stabilește că diviziunea celulară la plantele pomicole începe deasupra temperaturilor de 4,5°, iar Iu. L. Gujev (8) și L. I. Sergheev (18), (19), (20) susțin că majoritatea speciilor pomicole trebuie să petreacă un timp oarecare în condiții de temperatură sub 10°, pentru ca în primăvara următoare să inflorească, în experiență au fost studiați: mugurii de rod luate în condițiile de livadă, deci supuși variațiilor de temperatură din cursul iernii; mugurii de rod de pe ramuri menținute un timp oarecare în condiții de temperatură de 5–7°, favorabile pregătirii pentru înflorire (sub 10°) și mugurii de pe ramurile ținute în condiții de temperatură de 17–18°.

Ca atare, experiența a cuprins patru variante:

V₁, studiul mugurilor de rod recoltați în condiții de livadă;

V₂, studiul mugurilor de rod menținuți în condiții de temperatură de 5–5,5°;

V₃, studiul mugurilor de rod menținuți în condiții de temperatură de 6,5–7°;

V₄, studiul mugurilor de rod menținuți în condiții de temperatură de 17–18°.

Pentru realizarea temperaturilor de 5–7° și 17–18°, ramurile și pomiile de 2 ani în ghivece au fost introduse în boxe speciale din sera Institutului de cercetări agronomice (I.C.A.R.) menținându-le astfel pînă la înflorire sau pînă la uscarea mugurilor.

Pentru asigurarea unor condiții optime de lumină, boxele respective din seră au fost iluminate și artificial.

Ramurile și pomiile cultivate în ghivece au fost introduse în boxele corespunzătoare din seră toamna, la intervale din 8 în 8 zile, iar începînd din luna ianuarie, din 5 în 5 zile. Stabilirea intervalelor respective a fost determinată de numărul caișilor cultivate în ghivece.

În cazul tuturor variantelor, mugurii au fost recoltați din 8 în 8 zile, fixați, împărăfinăți, secționați longitudinal în secțiuni de 8–10 μ, colorați cu hematoxilină și cercetați la microscop pentru determinarea naturii țesuturilor și stării celulelor, în special a celulelor-mame polinice.

Analiza microscopică a mugurilor recoltați direct de pe pomi din livadă (V₁) s-a făcut în ziua când s-au introdus în seră mugurii (ramuri) din V₃ și V₄ și anume în ambele ani la: 3.XI; 10.XI; 17.XI; 25.XI; 2.XII; 10.XII; 16.XII; 23.XII; 30.XII; 10.I; 15.I; 20.I; 27.I; 3.II; 10.II.

Analiza microscopică a mugurilor din V₃ și V₄ s-a făcut la un interval de 10–12 zile de la introducerea mugurilor în seră, cînd erau create condiții necesare ieșirii lor din repausul de iarnă.

Concomitent, s-au făcut observații fenologice asupra pomilor și s-a înregistrat temperatură în condițiile celor patru variante.

Observațiiile inițiale au arătat că la pomii cultivati în ghivece și menținuți în condițiile de temperatură de 5–5,5°, cu toate că au ieșit din starea de repaus la sfîrșitul anului 1958, n-au manifestat nici un fel de pregătire pentru diviziunea celulară. Volumul mugurilor pe pomii respectivi nu s-a mărit, iar mugurii au mușcăt.

În luna martie 1959, după scoaterea pomilor respectivi în livadă, mugurii au pornit în vegetație. Acest fapt a dus la concluzia că temperatura de 5–5,5°, cu toate că se află deasupra limitei de 4,5°, stabilită în acest sens de R. W. Gartner (7) pentru plantele pomicole în general, este insuficientă pentru declanșarea diviziunii celulare, deci pentru pornirea în vegetație a caișilor. Pe acest considerent, V₂ a fost scoasă din experiență în cursul anului 1959–1960.

REZULTATELE OBTINUTE ȘI INTERPRETAREA LOR

Întrucît creșterea pomilor se caracterizează prin transformări morfoloage și acumulări cantitative, momentul intrării în perioada de repaus este dezbatut mult în literatură. Astfel, Iu. L. Gujev (8) susține că plantele pomicole intră în perioada de repaus cu mult înainte de cădere frunzelor. Potaенко (citat după (8)) și P. Ursuleenko (citat după (8)) arată că în zona centrală din U.R.S.S. pomii intră în stare de repaus biologic la sfîrșitul verii, atunci cînd condițiile extreme sunt încă favorabile vegetației și susțin că acest moment este legat de încetarea creșterii și maturării lăstarilor.

În cadrul studiului de față, analiza preparatelor microscopice a scos însă în evidență că la încetinirea sau încetarea creșterii lăstarilor din livadă, conul de creștere al mugurilor de rod suferă încă schimbări morfoloage, în sensul apariției organelor florale. De-abia la îngălbeneare și începutul căderii frunzelor se observă încetarea modificărilor morfoloage în interiorul mugurelui; în această perioadă, țesuturile meristematic ale organelor florale se transformă, și în primordiile androceului iau naștere prin diferențiere țesuturi specializate (fig. 1) iar în cavitatea uniloculară ovariană apar primordiile ovulului (fig. 2).

Acste modificații permit să se tragă concluzia că, în condițiile de la noi, pomii intră în repaus nu în momentul încetării creșterii lăstarilor, cum afirmă Gujev, Potaenko, Ursuleenko, ci mai tîrziu, în epoca îngălbeneirii și căderii frunzelor.

În cadrul experienței urmărite, intrarea în repaus a mugurilor de rod la cais a variat în funcție de soi și condițiile climatice anuale. Astfel, în condițiile anului 1958, intrarea în repaus la soiul Falcă roșie a început la 10.X, la Ananas – la 21.X, iar la soiurile Umberto și Tîrzii de București – la 27.X (tabelul nr. 1).

În anul 1959, intrarea în repaus a început la soiul Falcă roșie la 2.X, la Ananas – la 9.X, la Umberto – la 17.X, și la soiul Tîrzii de București – la 20.X (tabelul nr. 1).

Analiza microscopică a arătat că, după datele menționate mai sus, la mugurii din V₁, un timp îndelungat în interiorul celulelor nu s-a observat nici un fel de diviziune sau alte fenomene legate de stratul tapet și țesutul sporogen, care marchează începutul ieșirii din starea de repaus.

Atât la V₁, cât și la V₃ și V₄ activitatea celulară nu începează totuși complet. Se observă o creștere de intensitate redusă a celulelor, mai accentuată în V₁.

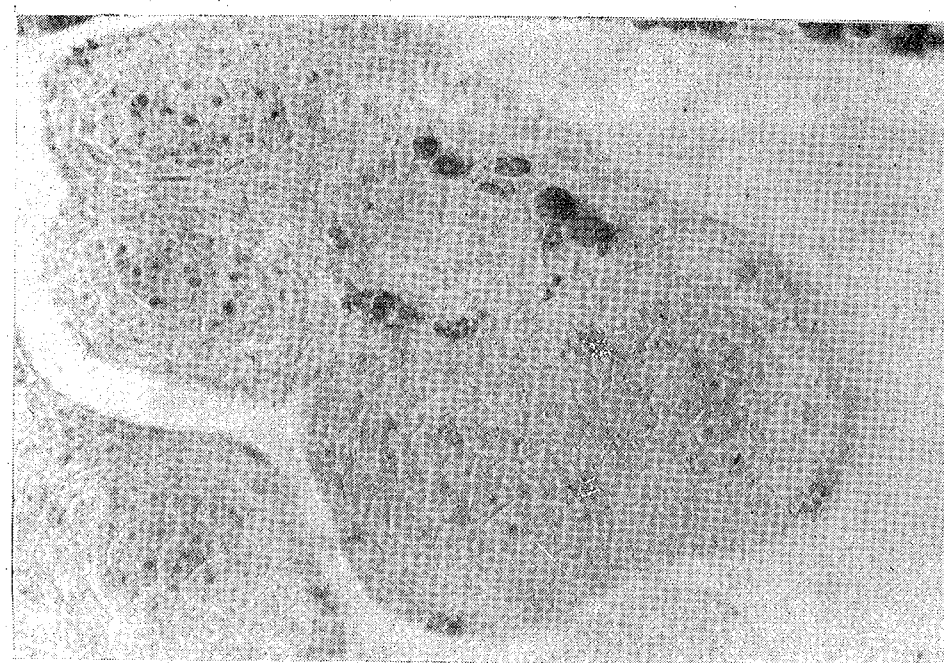


Fig. 1. — Ultima manifestare de activitate intensă celulară, care are ca rezultat diferențierea ţesuturilor ce intră în structura staminei.

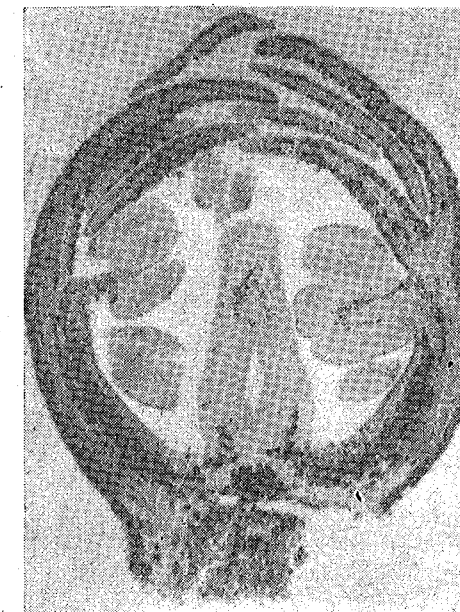


Fig. 2. — Apariția primordiilor de ovul în cavitatea uniloculară ovariană.

Merită să fie subliniat faptul că la analiza microscopică a mugurilor din V_3 și V_4 un număr mare de celule și primordii florale au prezentat anomalii în sensul că celulele erau lipsite de conținut sau pe cale de golire, iar nucleul celulelor din ţesutul arhisporal redus și situat excentric (fig. 3).

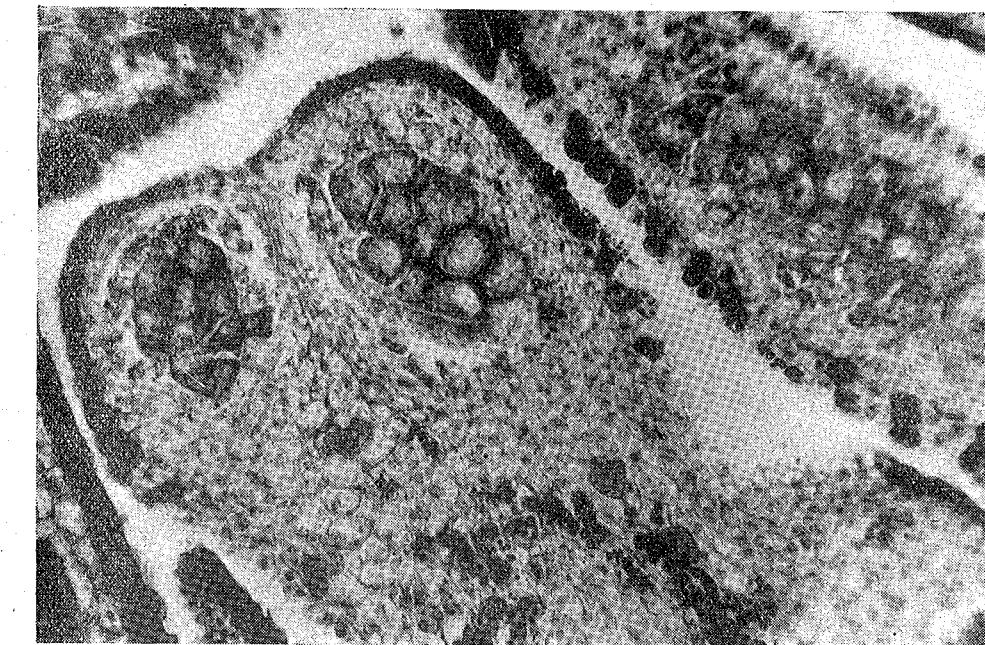


Fig. 3. — Anomalii în primordiile florale.

Credem că acest fapt se datorează menținerii mugurilor respectiv în condiții de temperatură ridicată înainte de ieșirea din starea de repaus, fapt care confirmă cele susținute de L. I. S e r g h e e v (18).

Această situație s-a remarcat atât la mugurii de pe ramurile din V_3 și V_4 , cât și la cei de pe pomii de 2–3 ani cultivăți în ghivece. Mugurii de pe ramurile luate din livadă imediat după cădere frunzelor, după un timp oarecare se uscau și cădeau, iar la pomii cultivăți în ghivece, cu toate că erau turgescenți, rămâneau mici și cădeau de-abia în primăvară.

Din aceste date rezultă că, în condițiile anului 1958, această situație a durat pînă la data de 16.XII, pentru soiurile Tîrzii de București, Falcă roșie și Ananas și pînă la 23.XII, pentru soiul Umberto, cînd celulele stratului tapet au manifestat simptome de activitate.

În anul 1959, fenomenul respectiv a durat pînă la 26.XI, pentru soiurile Tîrzii de București și Falcă roșie, 30.XI, pentru soiul Ananas și 8.XII, pentru soiul Umberto.

Datele corespunzătoare au fost considerate drept început de ieșire din starea de repaus a mugurilor.

Din valorile cuprinse în tabelul nr. 1, rezultă că durata repausului adinc de iarnă în anii 1958 și 1959 a fost de 37—50 de zile pentru soiul Tîrzii de București, 56—67 de zile pentru soiul Falcă roșie, 52—56 de zile pentru soiul Ananas și de 52—57 de zile pentru soiul Umberto.

În V₁, la mugurii recoltați direct din condiții de livadă, la începutul ieșirii din starea de repaus sezisat pe cale microscopică, nu se observă nici o modificare morfologică.

La mugurii din V₃ și V₄, menținuți în condiții de temperatură mai ridicată decât în livadă, după un timp de 7—14 zile de la introducerea în seră se înregistrează o umflare a mugurilor. De aici se poate deduce că ieșirea din repaus a mugurilor are loc în fapt cu 7—14 zile înainte de manifestările morfologice externe exprimate prin umflarea lor.

Analiza microscopică a mugurilor a dovedit mai departe că diviziunea celulelor-mame polinice nu începe imediat după înregistrarea ieșirii din starea de repaus.

Între momentul ieșirii din starea de repaus și momentul începerii diviziunii meiotice există o perioadă de pregătire în acest scop a celulelor-mame polinice.

Din tabelul nr. 1 se constată că în această perioadă, procentul de muguri ieșiți din starea de repaus crește progresiv. Această creștere este în funcție de soi și în legătură directă cu mersul temperaturii.

În această perioadă de pregătire celulele cresc intens și se înregistrează și o creștere în volum a mugurilor, fără ca să înceapă și umflarelelor. Această constatare confirmă observațiile făcute de I. I. Tumanov (24) că, atunci când organismul se pregătește să treacă la creștere, la exterior nu se manifestă nimic evident. Rezultă că procesul de creștere în volum a celulelor nu este corelat cu modificări în dimensiunile mugurului, de așa natură ca să poată fi percepute cu ochiul liber.

Tabelul
Repausul de iarnă, ieșirea din perioada

| Soiul | Anul | Repausul de iarnă | | | | | | | | Dinamica | | |
|---------------------|------|-------------------------|-------------------------|--------------------------|---|---|------------------|-------------------------------|------------------|----------|------|----|
| | | data intrării în repaus | data ieșirii din repaus | durata repausului (zile) | suma temperaturilor cuprinse între 0 și 10° | nr. zile cu temperaturi cuprinse între 0 și 10° | data observației | % muguri porniți în vegetație | data observației | | | |
| Tîrzii de București | 1958 | 27.X | 16.XII | 50 | 120,1 | 27 | 16.XII | 44 | 30.XII | 69 | 10.I | 87 |
| | 1959 | 20.X | 26.XI | 37 | 113,1 | 26 | 26.XI | 38 | 26.XII | | | |
| Falcă roșie | 1958 | 10.X | 16.XII | 67 | 184,4 | 38 | 16.XII | 25 | 30.XII | 61 | 10.I | 84 |
| | 1959 | 2.X | 26.XI | 56 | 171,1 | 41 | 26.XI | 22 | 26.XII | | | |
| Ananas | 1958 | 21.X | 16.XII | 56 | 137,0 | 34 | 16.XII | 40 | 30.XII | 63 | 10.I | 75 |
| | 1959 | 9.X | 30.XI | 52 | 140,4 | 33 | 30.XI | 34 | 26.XII | | | |
| Umberto | 1958 | 27.X | 23.XII | 57 | 124,2 | 30 | 23.XII | 20 | 30.XII | 37 | 10.I | 56 |
| | 1959 | 17.X | 8.XII | 52 | 123,0 | 31 | 8.XII | 15 | 26.XII | | | |

După cum se constată din datele trecute în tabelul nr. 1, perioada de pregătire pentru diviziunea meiotică a celulelor variază între 28 și 67 de zile, în funcție de soi și condițiile meteorologice ale anului.

La soiul Tîrzii de București, perioada respectivă a fost de 28 de zile în anul 1958—1959 și de 38 de zile în anul 1959—1960. La soiul Falcă roșie, durata respectivă a fost — de 39 și 64 de zile, la soiul Ananas — de 39 și 60 de zile, la soiul Umberto — de 60 și 67 de zile.

Această perioadă de pregătire se prelungeste mai mult sau mai puțin datorită faptului că procesele de activitate care determină diviziunea meiotică sunt de lungă durată și pentru acest proces este nevoie de o temperatură mai ridicată.

În această perioadă se produc schimbări vizibile în celule în ceea ce privește metabolismul. În preajma diviziunii, celula-mamă polinică trece prin perioada de maturare, care duce la diviziunea ei. Fiecare fază următoare de dezvoltare a celulei, cere la rîndul ei anumite condiții proprii, legate de caracterul și intensitatea reacțiilor metabolice. În acest interval celula și nucleul cresc în volum cu o intensitate mai mare. Prin faptul că întreg conținutul țesutului tranzitoriu se izolează de stratul tapet, iar țesutul sporogen crește în volum, se poate presupune că țesutul sporogen începe să se hrânească pe seama celui tranzitoriu. În acest interval de timp se observă o mărire însemnată a nucleului din celulele-mame polinice și un început de structurare a nucleilor, ceea ce indică trecerea lor în profaza primei diviziuni de maturare (fig. 4).

Faptul că la sfîrșitul acestui interval celulele se află în preajma diviziunii a fost demonstrat și pe altă cale. Celulele-mame polinice din mugurii soiului Tîrzii de București, recoltați (cu ramură) pe data de 6.I.1959 și introdusi în seră în condiții de temperatură de 17—18° (V₄), au fost capa-

nr. 1
de repaus și dinamica ei la cais

| ieșirii din repaus a mugurilor de rod | | | | | | | | | | Începutul procesului de diviziune meiotică | |
|---------------------------------------|------------------|-------------------------------|------------------|-------------------------------|------------------|-------------------------------|------------------|---|------------------|--|--|
| % muguri porniți în vegetație | data observației | % muguri porniți în vegetație | data observației | % muguri porniți în vegetație | data observației | % muguri porniți în vegetație | data observației | durata în zile a perioadei de pregătire pentru acțiunea creșterii | data observației | % muguri cu celulele în diviziune | suma temperaturilor pozitive peste 6,5° de la ieșirea din repaus |
| 69 | 10.I | 87 | — | — | — | — | — | 28 | 13.I | — | 104,2 |
| 74 | 3.I | 83 | — | — | — | — | — | 38 | 3.I | 90 | 117,4 |
| 61 | 10.I | 84 | 15.I | 91 | 20.I | 94 | 39 | 24.I | 29.I | — | 117,6 |
| 62 | 3.I | 81 | 20.I | 89 | 25.I | 98 | 64 | 29.I | — | 96 | 137,7 |
| 63 | 10.I | 75 | 15.I | 82 | 20.I | 89 | 39 | 24.I | 29.I | — | 117,6 |
| 66 | 3.I | 82 | 20.I | 88 | 25.I | 97 | 60 | 29.I | — | 93 | 137,7 |
| 37 | 10.I | 56 | 15.I | 61 | 20.I | 66 | 60 | 21.II | 13.II | — | 102,5 |
| 38 | 3.I | 59 | 25.I | 72 | 8.II | 23 | 67 | — | — | 87 | 133,3 |

bile că numai după o zi să treacă prin cele două diviziuni de maturatie, încit să apară stadiul de tetradă cu stratul tapet parțial resorbit (fig. 5 și 6).

Prin urmare, dacă se constată la microscop situația amintită mai sus și dacă survine o temperatură de peste $6,5^{\circ}$, atunci cu siguranță începe diviziunea, deci încep procesele legate de activarea creșterii.

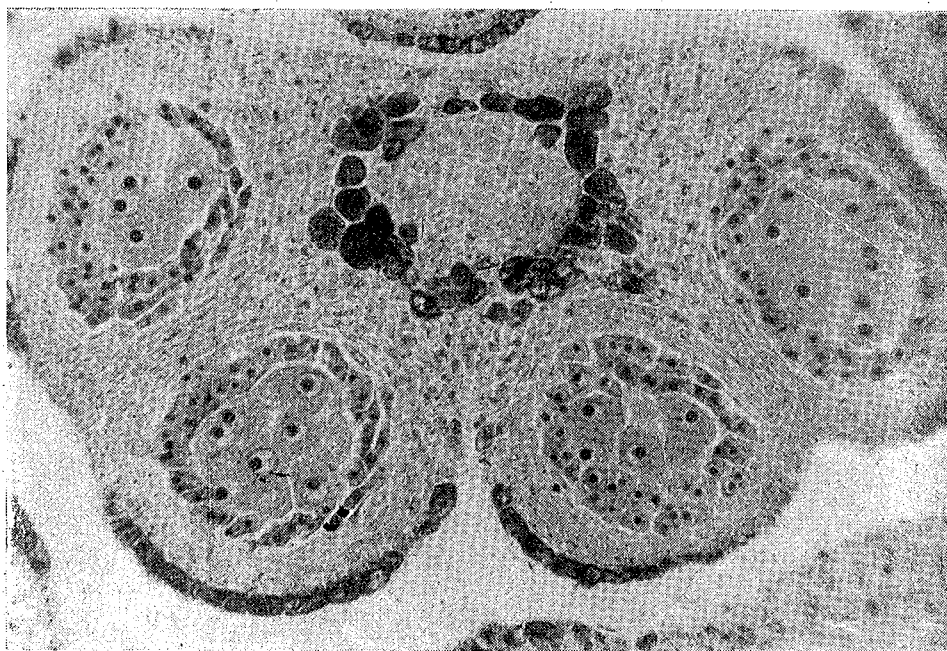


Fig. 4. — Nucleii celulelor-mame polinice măriți, cu început de structurare.

În condițiile de livadă acest proces a avut loc la 13.I.1959 (deci cu 7 zile mai tîrziu) pentru soiul Tîrzii de București, la 24.I pentru Falca roșie și Ananas, la 21.II pentru Umberto. În condițiile anului 1960, acest proces a avut loc, respectiv, la 3.I., 29.I și 13.II.

Mugurii de pe ramurile recoltate din livadă și de la pomii din ghivece, introduși din toamnă pînă la 16.XII în 1958 și pînă la 26.XI în 1959, n-au manifestat nici un semn de pornire în vegetație în condițiile de seră la temperatura de $6,5 - 7^{\circ}$ (V_3). Acest fapt constituie o dovadă că în condiții de livadă în intervalul respectiv mugurii de rod nu și-au terminat încă repausul de iarnă.

Prin analiza microscopică s-a stabilit că la mugurii, atît de pe ramurile recoltate din livadă, cît și la pomii cultivati în ghivece, puși în aceleasi condiții după aceste date (16.XII.1958 și 26.XI.1959) celulele intră în diviziune în interval de 10—14 zile.

Deci temperatura de $6,5 - 7^{\circ}$ este suficientă pentru începerea activității celulelor-mame polinice; ea nu asigură totuși condițiile necesare

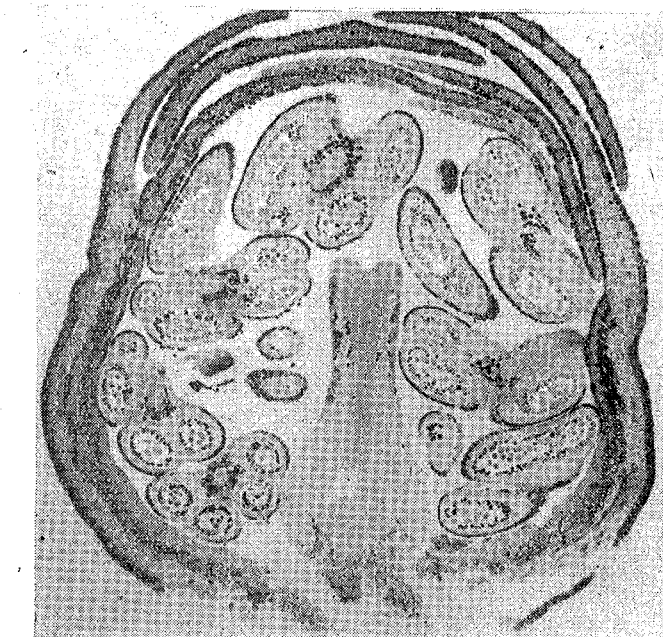


Fig. 5. — Secțiune longitudinală printr-un primordiu floral, în care celulele-mame polinice sunt în diviziunile de maturatie.

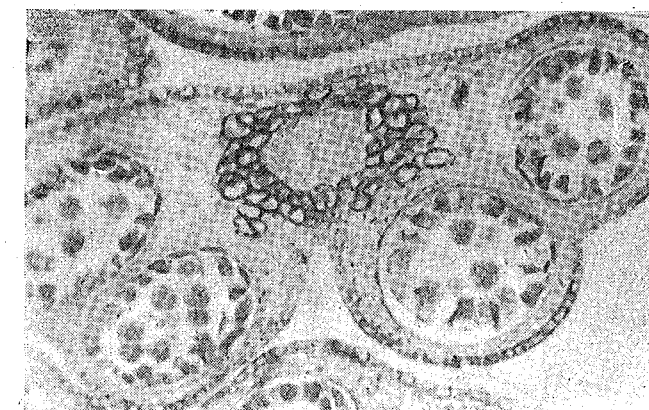


Fig. 6. — Secțiune transversală printr-o anteră cu celulele-mame polinice în stadiu de tetradă.

pentru continuarea sau pentru desăvîrsirea proceselor pînă la înflorirea normală. În acest caz, multe flori avortează, la unele filamentele stâmnelor se lungesc mult, iar sepalele rămîn în stare rudimentară.

În condiții de temperatură de $17-18^{\circ}$ (V_4), mugurii recoltați din livadă și de la pomii din ghivece și introduși din toamnă pînă la 16.XII.1958 și 26.XI.1959 au prezentat aceleași fenomene ca și în V_3 , adică n-au pornit în vegetație în cursul iernii întregi. După ce, în luna martie, au fost scoși din seră și îngropați cu ghivece în condiții de livadă, pomii respectivi au pornit în vegetație. Acest fapt denotă că ridicarea temperaturii în cursul perioadei de repaus provoacă oprirea acestei perioade; de asemenea, repunerea pomilor în condiții de temperatură joasă ($\text{sub } 10^{\circ}$) favorizează reînceperea parcurgerii, în continuare, a perioadei de repaus.

La mugurii de pe ramurile recoltate din livadă și de pe pomii din ghivece, introduși în seră la temperatura de $17-18^{\circ}$ după aceste date, procesele de activare a creșterii au fost mult mai intense și normale, iar diviziunea celulelor-mame polinice a avut loc la 5-7 zile după introducerea în seră. De aici rezultă că perioada de pregătire a procesului de diviziune a celulelor respective este mult mai scurtă în condiții de temperatură mai ridicată decît în livadă.

Faptul că mugurii care și-au terminat perioada de ieșire din repaus în condiții de livadă sint în stare să pornească în vegetație de îndată ce se realizează o temperatură medie de $6,5-7^{\circ}$, denotă că pentru mugurii de rod de cais, această temperatură poate fi considerată drept prag biologic.

Luînd ca prag biologic temperatura de $6,5^{\circ}$, potrivit datelor cuprinse în tabelul nr. 1, rezultă că pentru parcurgerea perioadei de pregătire în vederea activării creșterii, soiul Tîrzii de București are nevoie de o temperatură de $104,2-117,4^{\circ}$; soiurile Falcă roșie și Ananas – de $117,6-137,7^{\circ}$, iar soiul Umberto – de $102,5-133,3^{\circ}$.

Faptul că umflarea mugurilor, ca fază fenologică care marchează începutul vegetației, începe de-abia după 25-30 de zile de la începerea diviziunilor meiotice, constituie o dovedă că pragul biologic – ca limită de temperatură vitală pentru mugurii de rod ai caisului – nu este corelat cu manifestări morfologice exterioare.

CONCLUZII

1. Din cercetările întreprinse și rezultatele obținute reiese că din punct de vedere fiziologic temperatura minimă pentru intrarea sau ieșirea din repaus nu este general valabilă, ci ea variază de la pom la pom și de la un organ la altul.

2. În condițiile din București, caisul intră în perioada de repaus în fenofaza îngălbénirii și căderii frunzelor care, în funcție de condițiile meteorologice ale anului, corespunde cu luna octombrie.

3. Intrarea în repaus este indicată de încreșterea activității intense a celulelor și diferențierea țesuturilor din structura staminei, și prin evidențierea primordiilor ovulului.

4. Între începutul și terminarea repausului la mugurii de rod ai caisului există o durată de timp care din punct de vedere fiziologic se apreciază prin modificările structurale ale celulelor, iar din punct de vedere practic prin manifestări morfologice.

5. Pentru soiurile de cais studiate, repausul de iarnă se termină aproximativ la sfîrșitul lunii noiembrie sau la începutul lunii decembrie.

6. Repausul adînc de iarnă la cais durează 37-67 de zile, iar repausul facultativ, datorită condițiilor de temperatură joasă din mediul înconjurător, se prelungeste pînă în ianuarie-februarie.

7. Pentru parcurgerea perioadei de repaus adînc în condițiile de la București, mugurii de rod ai caisului necesită temperaturi medii zilnice sub 10° pentru o perioadă de 26-41 de zile.

8. Ridicarea temperaturii la $17-18^{\circ}$ în acest interval de timp între rupe repausul, ceea ce înseamnă că în condiții de temperaturi ridicate repausul biologic la cais nu poate fi realizat.

9. Între începutul modificările structurale ale celulelor respective și începutul manifestărilor morfologice există o durată de timp care, pentru același soi și în aceleași condiții agropedoclimatice, este condiționată de temperatura medie zilnică.

10. Perioada de pregătire pentru activarea creșterii se suprapune în cea mai mare parte cu repausul facultativ, care la București, în funcție de soi și condițiile meteorologice ale anului, durează 28-67 zile.

11. Pragul biologic pentru mugurii florali de cais în condițiile regiunii București este de $6,5^{\circ}$, temperatură la care celulele-mame polinice intră în diviziunea de maturatie.

12. Cunoașterea celor de mai sus permite ca, prin folosirea diferitelor mijloace agrotehnice și mai ales a substanțelor de creștere, să se grăbească sau să se întîrzie intrarea în vegetație a caisului și astfel să se combată urmările nefaste ale influenței temperaturilor scăzute de la sfîrșitul iernii și începutul primăverii.

ИССЛЕДОВАНИЕ ЗИМНЕГО ПОКОЯ И БИОЛОГИЧЕСКОГО ПОРОГА У ЦВЕТОЧНЫХ ПОЧЕК АБРИКОСА

РЕЗЮМЕ

Опыты проводились в 1958 и 1959 гг. в условиях Бухарестской области над четырьмя сортами абрикоса с неодновременным периодом цветения, а именно: Тырзий де Букурешть, Краснощекий, Ананас и Умберто; деревья были 14-летнего возраста, привитые на алыче.

Проведенные исследования установили следующее: абрикос вступает в период покоя в фенофазе цветения и опадения листьев, что совпадает с октябрь месяцем.

Вступление в период покоя сопровождается прекращением интенсивной деятельности клеток, которая заканчивается дифференциацией тканей, входящих в состав тычинки.

Глубокий зимний покой абрикоса длится от 37—до 67 дней, то есть до конца ноября месяца или до начала декабря, после чего начинается факультативный покой, который длится до января — февраля месяцев.

Для прохождения периода глубокого покоя плодовые почки абрикоса требуют средних дневных температур ниже 10°C, в продолжение 26—41 дней.

Температура выше 17—18°C, во время покоя, приостанавливает нормальное течение этого биологического процесса.

Для активации роста существует период подготовки, который следует за зимним покоем и в значительной мере совпадает с факультативным покоем. В зависимости от сорта и метеорологических годовых условий он длится от 28 до 67 дней.

Биологический порог для цветочных почек абрикоса в условиях опыта равен 6,5°C, когда материнские пыльцевые клетки начинают митотическое деление.

ОБЪЯСНЕНИЕ РИСУНКОВ

Рис. 1. — Последнее проявление интенсивной клеточной деятельности, имеющей результатом дифференциацию тканей, составляющих тычинку.

Рис. 2. — Появление зачатков семяпочки в одногнездной завязи.

Рис. 3. — Аномалии в зачатках цветка.

Рис. 4. — Увеличение ядра материнских пыльцевых клеток в начале образования.

Рис. 5. — Продольный срез через зачаток цветка, в котором материнские пыльцевые клетки находятся в состоянии деления.

Рис. 6. — Поперечный срез через пыльник с материнскими пыльцевыми клетками в стадии тетрад.

ÉTUDE DU REPOS HIVERNAL ET DU SEUIL BIOLOGIQUE DES BOURGEONS À FLEURS DE L'ABRICOTIER

RÉSUMÉ

Des expériences ont été entreprises en 1958 et 1959, dans les conditions de la région de Bucarest, sur quatre variétés d'abricotiers à période de floraison échelonnée (Tîrzii de București, Falcă roșie, Ananas et Umberto), âgées de 14 ans et greffées sur mirabellier. Ces études ont permis de constater ce qui suit :

L'entrée de l'abricotier dans la période de repos coïncide avec la phase phénologique de jaunissement et de chute des feuilles, ce qui correspond au mois d'octobre.

L'entrée en repos est indiquée par la cessation de l'activité intense des cellules, qui s'achève par la différenciation des tissus constituants de la structure de l'étamine.

Le repos profond hivernal dure, chez l'abricotier, entre 37 et 67 jours, respectivement, jusqu'à la fin de novembre ou au début de décembre. Il est suivi du repos facultatif, qui se prolonge jusqu'en janvier-février.

Pour parcourir la période de repos profond, les bourgeons à fruits de l'abricotier exigent des températures moyennes quotidiennes, inférieures à 10°C, pendant 26-41 jours.

Les températures élevées, de plus de 17—18°C, au cours de la période de repos, arrêtent l'évolution normale de ce processus biologique.

L'activation de la croissance a lieu au cours d'une période de préparation qui suit immédiatement la sortie du repos profond et se superpose, en grande partie, au repos facultatif. Cette période a une durée de 28-67 jours, en fonction de la variété et des conditions météorologiques de l'année.

Dans les conditions étudiées, le seuil biologique des bourgeons à fleurs de l'abricotier est de 6,5°C, température à laquelle commence la division de maturation des cellules-mères polliniques.

EXPLICATION DES FIGURES

Fig. 1. — Dernière manifestation d'activité cellulaire intense, ayant pour résultat la différenciation des tissus constituants de la structure de l'étamine.

Fig. 2. — Apparition des rudiments d'ovule dans la cavité ovarienne uniloculaire.

Fig. 3. — Anomalies des rudiments floraux.

Fig. 4. — Noyaux grossis des cellules-mères polliniques accusant une structure commençante.

Fig. 5. — Coupe longitudinale d'un rudiment floral montrant les divisions de maturation des cellules-mères polliniques.

Fig. 6. — Coupe longitudinale d'une anthère où les cellules-mères polliniques se trouvent au stade de tétrade.

BIBLIOGRAFIE

1. BARBAT I. și PALFY F., *Stadiul de iarvizare și stadiul de lumină la plantă*, Ed. Acad. R.P.R., București, 1959.
2. COJENEANU NATALIA, *Ritmul de creștere și de dezvoltare al mugurilor floriferi la caiș*, Lucrări științifice ale Institutului agronomic „Ion Ionescu de la Brad”, Iași, 1958.
3. — *Rezistența la înghet a mugurilor floriferi de caiș în legătură cu etapele de creștere și de dezvoltare*, Stud. și cercet. biol., Seria biol. veget., 1961, **XIII**, 1.
4. CONSTANTINESCU GH. și colab., *Studiul mijloacelor agrotehnice de bază care condiționează mărirea producției viilor pe rod*, Ed. Acad. R.P.R., București, 1956, 7—93.
5. CONSTANTINESCU GH. și colab., *Criterii biologice pentru stabilirea momentului de înflorire la viața de vie (Vitis vinifera sativa)*, Bul. științ. Acad. R.P.R., Secția de biologie și științe agricole, 1956, **VIII**, 4.
6. CONSTANTINESCU N., *Pomicultura*, Ed. agro-silvică de stat, București, 1957.
7. GARTNER R. V., *Basic horticulture*, Macmillan Company, New York, 1955.
8. ГУЖЕВ Ю. Л., *Изучение периода покоя плодовых растений*, Журнал общей биологии, 1957, **XVIII**, 4, 298—311.

9. ИОНОВА М. А., Продолжительность периода покоя у абрикоса в средней полосе, Физиология растений, 1958, 12.
10. — Зимостойкость цветочных почек абрикоса в связи с динамикой и условиями их развития, Бюл. научно-технической информации Научно-исследовательского Института садоводства имени „И. В. Мичурина”, 1958, 6, 64—67.
11. КОБЕЛ Ф., Плодоводство на физиологической основе, Москва, 1957.
12. MAXIMOV N. A., Fiziologia plantelor, Ed. de stat pentru literatură științifică, București, 1951, 378—406.
13. НИКИШИН Ф. М., Влияние дифференцированного воздействия температуры в период зимнего покоя на сеянцы яблони, Физиология растений, 1957, IV, 121, 352—361.
14. POENARU I. și LAZĂRESCU V., Condiții termice necesare pentru pornirea vegetației la viața de vie, Stud. și cercet. biol., Seria biol. veget., 1959, XI, 2.
15. POPESCU EM., Contribuții la cunoașterea fazei „plînsului” și a consecințelor ce decurg pentru practica viticolă, Anal. I.C.A.R., 1958, XXV.
16. SCHNELLE FR., Pflanzen-Phänologie, Leipzig, 1955.
17. РЯДНОВА И. М., Развитие почек в осенне-зимний период и их зимостойкость, Агробиология, 1951, 5.
18. СЕРГЕЕВ Л. И. и ЧЮХНО Д. Ф., О годичном цикле развития плодовых культур, Сад и огород, 1951, 1.
19. SERGHEEV L. I., Analiza biologică a ciclului anual de dezvoltare a culturilor pomicele și împorlanței, Anal. rom.-sov., seria Agricultură-Zootehnie, 1953, 1, 93.
20. СЕРГЕЕВ Л. И., ВОЙКОВ и СЕРГЕЕВА А. Р., Яровизация древесных растений, Доклады Академии Наук СССР, 1957, 116, 3, 510—513.
21. TEODORESCU C. I., Condiții critice create de factori climatice în cultura viței de vie la Mursallar, Bul. științ. Acad. R.P.R., Secțiunea de științe biologice, agronomice, geologice și geografice, 1952, IV, 3, 697—704.
22. — Metode de interpretare a elementelor climatice cu aplicare la cultura viței de vie, Bul. științ. Acad. R.P.R., Secțiunea de științe biologice, agronomice, geologice și geografice, 1954, VI, 2, 621—637.
23. ЦИРИНА В. А., О зимнем развитии почек, Физиология растений, 1958, V, 2.
24. ТУМАНОВ И. И. и КАЗАВЦЕВ О. А., Закаливание северных древесных растений отрицательными температурами, Физиология растений, 1959, VI, 6, 654—667.
25. ТУПЦИН И. Д., Период покоя и микроспорогенез сливы, Ботанический журнал, 1957, XLII, 3.
26. ВЕНЦКЕВИЧ Г. З., Агрометеорология, Ленинград, 1953.
27. ВЫЮНОВ С. Ф., Особенности формирования цветочных и вегетативных почек абрикоса, Сад и огород, 1957, 2.

OBSERVAȚII CU PRIVIRE LA EXISTENȚA UNUI STRAT VIU DE CELULE ÎN TEGUMENTELE SEMINALE

DE

DORINA COSMA, VIOREL SORAN și MARIA RADOVICI

Comunicare prezentată de academician EM. POP în ședința din 31 mai 1961

Tegumentele semințelor mature, după datele existente în literatura de specialitate (6), (11), sunt alcătuite din diferite straturi de celule moarte. Totuși, în unele cazuri s-a observat că celulele epidermei interne ale integumentului intern sunt foarte bogate în protoplasmă și își păstrează nucleul (5), (10). Recent unul dintre autori (8) a urmărit comportarea acestui strat de celule la semințele de soia (*Soja hispida*), în tot timpul germinației. Cu această ocazie s-a constatat că, după terminarea perioadei de imbibition, celulele epidermei interne a tegumentelor seminale trec de la o viață latentă la una activă. Ele acumulează coloranții bazici în manieră vitală, plasmolizează și contribuie prin protoplasma vie la procesele de semipermeabilitate din tegumente. Acest din urmă fapt ne-a sugerat ideea extinderii observațiilor făcute la soia și asupra altor semințe, deoarece în privința permeabilității învelișurilor seminale (2), (3), (4), (7) domină încă părerea că proprietățile lor de semipermeabilitate se datorează exclusiv structurilor moarte.

MATERIALUL ȘI METODA DE LUCRU

Observațiile le-am efectuat pe semințe de floarea-soarelui (*Helianthus annuus*), creson (*Lepidium sativum*) și în (*Linum usitatissimum*) în diferite etape ale imbibitioni și germinației (după 4, 8, 12, 16, 20, 24, 28, 32, 36, 40, 44, 48, 52, 56, 60, 80 și 104 ore de la începutul imbibitioni).

Controlul vitalității diferitelor strate de celule ce intră în alcătuirea tegumentelor seminale s-a făcut prin metoda colorației vitale și a plasmolizei (1), (9). Pentru aceasta tegumentele s-au desprins de pe semințe și au fost scufundate timp de 10—15 minute într-o soluție de roșu neutru (concentrație 1 : 5 000) făcută în apă de robinet. Simultan s-au executat și experiențele de plasmoliză, cu soluții 1M de KNO_3 și KSCN .

REZULTATELE OBȚINUTE ȘI DISCUȚIA LOR

În figura 1 este redată structura anatomică a învelișurilor seminale de la speciile studiate. Cu excepția inului, structurile desenate corespund descrierilor găsite în literatura de specialitate (6). La in, între stratul de celule parenchimatică al integumentului extern și cel de celule sclerenchimatică am găsit un strat de celule fibroase, după cunoștința noastră nesem-

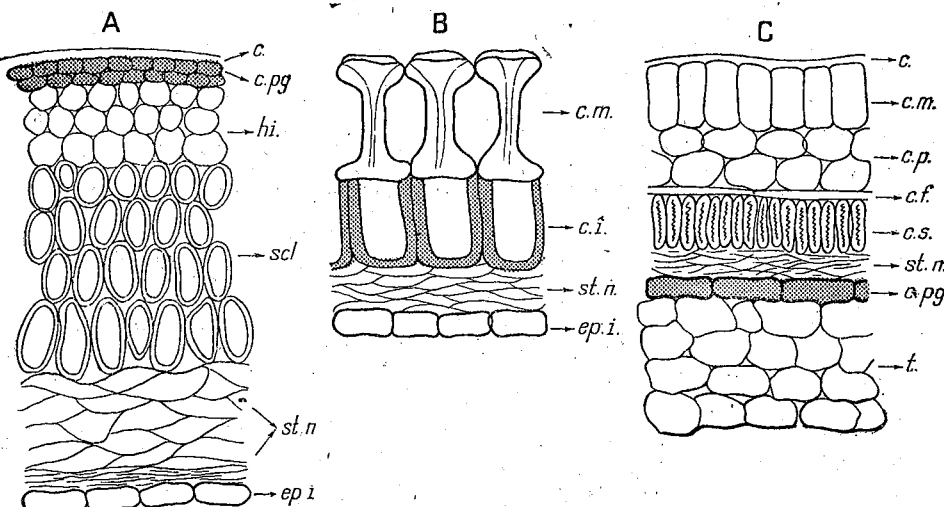


Fig. 1. — Structura învelișurilor fructului și semințelor la : A, achenele de floarea-soarelui (*Helianthus annuus*) ; B, semințele de creson (*Lepidium sativum*) ; C, semințele de in (*Linum usitatissimum*). c., Cuticula; c.f., celule fibroase; c.i., celule cu îngroșări; c.m., celule mucilaginoase; c.p., celule parenchimatică; c.pg., celule pigmentare; hi., hipoderma; c.s., celule sclerenchimatică; ep.i., epiderma internă; scl., sclerenchim; st.n., strat de celule nucleare strivite; t., tapetul sau epiderma internă pluristratificată.

nalat pînă acum, care este orientat perpendicular pe direcția celulelor sclerenchimatică.

În cursul cercetării de față atenția noastră s-a îndreptat îndeosebi asupra celulelor care manifestă reacții vitale. La floarea-soarelui și creson ele se găsesc cuprinse într-un singur strat, acela al epidermei interne (fig. 1, A și B), format din celule cu aspect dreptunghiular, cînd sunt privite în secțiune transversală, și de formă patrată sau poligonală dacă le privim din față. La in celulele vii alcătuiesc un parenchim pluristratificat, cunoscut sub numele de tapet (fig. 1, C), ce se găsește situat imediat sub stratul de celule pigmentare. În cursul germinației straturile vii de celule se desprind de cele moarte cu atit mai ușor, cu cît s-a scurs mai mult timp de la începutul imbibitionei. Prin urmare ele pot fi tratate separat cu coloranți vitali și cu plasmolitici, iar apoi studiate la microscop.

În perioada de imbibitione, care de regulă durează pînă la circa 30 de ore de la punerea semințelor la germinare, celulele vii din straturile profunde ale tegumentelor nu reacționează față de plasmolitici. În schimb,

vacuolele lor se colorează intens cu roșu neutru prin formarea, pe fondul difuz colorat, a unor corpusculi-sferice de dimensiuni reduse, dar numeroși.

După terminarea perioadei de imbibitione celulele încep să reacționeze și față de plasmolitici și, pe măsură ce înaintează germinația, timpul de plasmoliză scade corelativ. Astfel, după 32 de ore de la începutul imbibitionei, în cazul cresonului sunt necesare circa 5—7 minute pentru ca plasmoliza să înceapă, în cazul inului durata este mult mai mare, iar în acel al florii-soarelui nu se semnalează nici o reacție. Ceva mai tîrziu, după 36 de ore, timpul de plasmoliză pentru floarea-soarelui este de 10 minute, iar pentru creson și in se reduce la 2—3 minute.

În perioada cuprinsă între 30 și 60 de ore de la începutul imbibitionei caracterul colorației vitale suferă schimbări. La început numărul corpusculilor care se formează este ridicat, iar dimensiunile lor sunt din ce în ce mai mari (fig. 2, A). Apoi numărul lor scade treptat, odată cu reducerea dimensiunilor. Acest proces are loc relativ mai repede la in și creson, mai lent la floarea-soarelui. La 60 de ore, celulele din straturile vii se află încă în plină manifestare a activității lor vitale. Ele posedă uneori curenti protoplasmatici, de exemplu la floarea-soarelui, și plasmolizează aproape instantaneu (fig. 2, B).

După 60 de ore de la începutul imbibitionei tegumentele cad de pe cotiledoanele deja înverzite. În această fază, vitalitatea celulelor din epiderma internă ori tapet, intră în declin. La circa 104 ore, colorația vitală și plasmoliza ne arată că numeroase celule din stratul viu au murit. Ele aveau membranele celulare și nucleul colorate în roșu sau roșu-cărămiziu, iar protoplasma lor era coagulată. Degenerarea poate fi observată și în celulele rămase încă vii. Vacuolele lor se colorează difuz în roz palid, fără formarea de corpusculi, iar față de plasmolitici nu mai reacționează prin plasmoliza protoplastului, ci numai prin contractia tonoplastului, îndeosebi în cazul utilizării KSCN.

Observațiile efectuate de noi în cursul întregii perioade de germinație asupra tegumentelor de la cele trei specii amintite, ne-au dovedit că în profunzimea învelișurilor seminale există celule mono- sau pluristratificate, care după terminarea imbibitionei trec de la viață latentă la cea activă. Acest fapt este atestat de acumularea în manieră vitală a roșului neutru, de reacția față de plasmolitici și de apariția în unele celule a curentilor protoplasmatici.

Aspectul colorației vitale a celulelor în cursul germinației suferă schimbări, datorită golirii vacuolelor de substanțele ce reacționează cu roșu neutru prin formarea de corpusculi. În ultimele etape ale germinației numărul și dimensiunile corpusculilor scad, pînă cînd aceștia nu se mai formează de loc.

Comportamentul față de plasmolitici de asemenea se schimbă. În perioada de imbibitione nu au loc plasmolize. Apoi, paralel cu progresarea germinației, timpul de plasmoliză se scurtează, iar după ce vacuolele s-au golit de substanțele de rezervă, contractarea protoplastului se produce instantaneu.

Toate aceste fapte ne dovedesc că în celulele din straturile vii, în timpul germinației are loc un consum de substanțe de rezervă. Deoarece

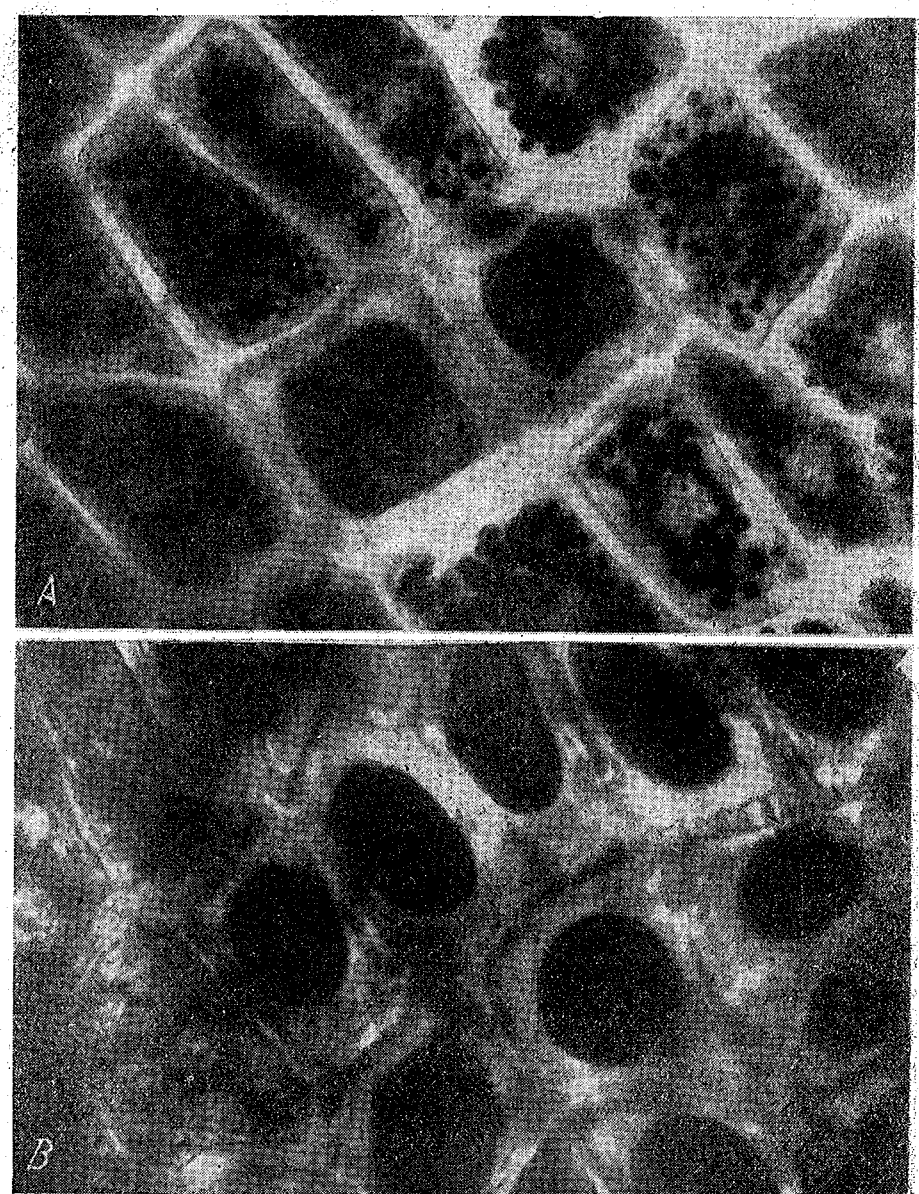


Fig. 2. — Colorarea vitală și plasmoliza epidermei interne a integumentului intern de la semințele de floarea-soarelui (*Helianthus annuus*), după 60 de ore de la germinare. A, Colorarea vitală cu roșu neutru (în vacuolele celulelor vii se observă numeroase sferule de diferite dimensiuni); B, celule colorate cu roșu neutru și plasmolizate cu KCSN (se observă fenomenul de contracție a vacuolei).

atât epiderma internă cît și tapetul său straturi de celule complet separate prin cuticule de cotiledoane, este mai greu de presupus un eventual rol trofic. Mai degrabă suntem înclinați să credem că degradarea substanțelor de rezervă deserveste numai metabolismul celulelor în cauză, care fără îndoială joacă un rol însemnat în semipermeabilitatea tegumentelor seminale.

CONCLUZII

1. În profunzimea tegumentelor seminale de la speciile cercetate există celule, care în timpul germinației trec de la o viață latentă la una activă. Aceste celule aparțin fie epidermei interne a integumentului intern, fie așa-numitului tapet.
2. Vitalitatea celulelor din aceste țesuturi a fost controlată prin metoda colorației vitale a plasmolizei și prin observarea incidentală a curentilor protoplasmatici.
3. În primele etape ale germinației celulele din straturile vii sunt încărcate cu substanțe de rezervă, care apoi se consumă treptat în timpul proceselor metabolice.
4. Presupunem că stratul de celule vii participă alături de elementele moarte ale învelișurilor seminale în procesele de semipermeabilitate.

*Universitatea „Babeș-Bolyai”, Cluj,
Laboratorul de fiziologia plantelor*

ЗАМЕЧАНИЯ ОТНОСИТЕЛЬНО СУЩЕСТВОВАНИЯ СЛОЯ ЖИВЫХ КЛЕТОК В СЕМЕННЫХ ОБОЛОЧКАХ

РЕЗЮМЕ

Применяя метод прижизненного окрашивания и плазмолиза, авторы показали, что в глубине семенных оболочек подсолнечника (*Helianthus annuus*) клоповника посевного (*Lepidium sativum*) и культурного льна (*Linum usitatissimum*) существуют однослойные или многослойные клетки, переходящие после прекращения набухания от латентного существования к активному.

Аспект прижизненного окрашивания клеток в течение прорастания меняется, вследствие потери вакуолями веществ, взаимодействующих с нейтральным красным путем образования корпукул. На последнем этапе прорастания размеры и количество корпукул соответственно уменьшаются.

Поведение по отношению к веществам, вызывающим плазмолиз, также изменяется. В период набухания семян в слое живых клеток плазмолиз не наблюдается. Позже, по мере прорастания, продолжитель-

ность плазмолиза сокращается; после же потери вакуолями запасных веществ, сокращение протопласта происходит мгновенно.

На основании проведенных наблюдений авторы приходят к выводу, что во время прорастания, в живых слоях происходит расход запасных веществ, поддерживающий обмен веществ в соответствующих клетках. Предполагается, что живые клетки этих слоев играют важную роль в процессах, обусловливающих полупроницаемость и происходящих в семенных оболочках.

ОБЪЯСНЕНИЕ РИСУНКОВ

Рис. 1. — Строение плодовой и семенной оболочек у: A — семян подсолнечника (*Helianthus annuus*); B — семян клоповника посевного (*Lepidium sativum*); C — семян льна (*Linum usitatissimum*). c. — кутикула; c.f. — волокнистые клетки; c.t. — клетки с утолщениями; c.m. — слизистые клетки; c.p. — паренхимные клетки; c.pg. — рулигантные клетки; h. — гиподерма; c.s. — склеренхимные клетки; ep.i. — внутренний эпидермис; scl. — склеренхима; st.n. — слой сжатых нутцеллярных клеток; t. — тапетум или внутренний многослойный эпидермис.

Рис. 2. — Приживленная окраска и плазмолиз внутреннего эпидермиса внутренней оболочки семян подсолнечника (*Helianthus annuus*) после 60 часов прорастания. A — Приживленная окраска нейтральным красным (в вакуолях живых клеток заметны многочисленные шаровидные образования различных размеров); B — клетки, окрашенные нейтральным красным и плазмолизированные (наблюдаются явление сокращения вакуоли).

OBSERVATIONS RELATIVES À L'EXISTENCE D'UNE COUCHE DE CELLULES VIVANTES DANS LES TÉGUMENTS SÉMINAUX

RÉSUMÉ

Les auteurs ont prouvé — à l'aide de la méthode de coloration vitale et de la plasmolyse — l'existence dans les couches séminales profondes du tournesol (*Helianthus annuus*), du cresson (*Lepidium sativum*) et du lin (*Linum usitatissimum*) de cellules mono- ou pluristratifiées qui passent d'une vie latente à une vie active, une fois l'imbibition finie.

Au cours de la germination, l'aspect de la coloration vitale des cellules subit des changements, en raison de ce que les substances qui réagissent au rouge neutre par la formation de corpuscules désertent les vacuoles. Aux dernières étapes de la germination, les dimensions et le nombre des corpuscules diminuent corrélativement.

Le comportement à l'égard des plasmolytiques est également modifié. Durant la période d'imbibition des semences, la plasmolyse n'a pas lieu dans la couche de cellules vivantes. A mesure que la germination progresse, le temps de plasmolyse diminue et, une fois que les substances de réserve ont déserté les vacuoles, la contraction du protoplaste se produit instantanément.

Par suite des observations qu'ils ont faites, les auteurs aboutissent à la conclusion que, pendant la germination, il y a, dans les couches vivantes, une consommation des substances de réserve qui entretient le métabolisme des cellules en cause. Il est à supposer que les cellules vivantes de ces couches jouent un rôle important dans les processus de semi-perméabilité dont les téguments séminaux sont le siège.

EXPLICATION DES FIGURES

Fig. 1. — Structure des téguments du fruit et des graines : A, akènes de tournesol (*Helianthus annuus*); B, graines de cresson (*Lepidium sativum*); C, graines de lin (*Linum usitatissimum*). c., Cuticule; c.f., cellules fibreuses; c.t., cellules à épaissements; c.m., cellules mucilagineuses; c.p., cellules parenchymateuses; c.pg., cellules pigmentaires; h., hypoderme; c.s., cellules sclérenchymateuses; ep.i., épiderme interne; scl., sclérenchyme; st.n., couche de cellules nucléaires écrasées; t, tapetum ou épiderme interne pluristratifié.

Fig. 2. — Coloration vitale et plasmolyse de l'épiderme interne de l'intégument interne des graines de tournesol (*Helianthus annuus*) 60 heures après la germination. A, Coloration vitale au rouge neutre (dans les vacuoles des cellules vivantes, on observe de nombreuses sphères de différentes dimensions); B, cellules colorées au rouge neutre et plasmolysée au KSCN (on observe le phénomène de contraction de la vacuole).

BIBLIOGRAFIE

- АЛЕКСАНДРОВ В. Я., Цитофизиологическая оценка различных методов определения жизнеспособности растительных клеток, Тр. Бот. инст. Акад. Наук СССР, Экспериментальная бот., сер. IV, 1955, 10, 309—357.
- BRAUNER L., Die Permeabilität der Zellwand, in RUHLANDS, Handbuch der Pflanzenphysiologie, Springer, Berlin — Göttingen — Heidelberg, 1956, II, 337—357.
- КРОКЕР В. и БАРТОН Л., Физиология семян (Physiology of seeds), Изд. иностр., лит., Москва, 1955, 97—116.
- FREY-WYSSLING A., Die Stoffausscheidung der höheren Pflanzen, Springer, Berlin, 1953, 133—145.
- JONSSON B., Om embryosäckens utveckling hos Angiospermerna, Lunds Univ. Årsskr., 1879, 16 (цитат după NETOLITZKY F.).
- NETOLITZKY F., Anatomie der Angiospermen-Samen, in LINSBAUERS, Handbuch der Pflanzenanatomie, Borntraeger, Berlin, 1926, X, 18—26.
- САВИНН Д. А., Физиологические основы питания растений, Изд. Акад. Наук СССР, Москва, 1955, 75—163.
- SORAN V., Cercetări privind dezvoltarea regiunilor absorbante ale semințelor în cursul germinatiei, Stud. și cercet. biol., Acad. R.P.R., Filiala Cluj, 1960, 11, 1, 41—65.
- СТРУГГЕР З., Практикум по физиологии растительных клеток и тканей (Praktikum der Zell- und Gewebehysiolgie der Pflanze), Изд. Иностр. Лит., Москва, 1953.
- THOMSON R. J., Morphology and anatomy of the seed and fruit of *Onobrychis viciaefolia* Scop, C. R. Assoc. Internat. Ess. Semen., 1960, 25, 848—864.
- ЦИНГЛЕР Н. Б., Семя, его развитие и физиологические свойства, Изд. Акад. Наук СССР, Москва, 1958, 188—257.

INFLUENȚA SECETEI EXPERIMENTALE DIN SOL, ÎN DIFERITE FAZE DE VEGETAȚIE, ASUPRA PROducțIEI SI ACUMULĂRII COMPONENTELOR CHIMICE LA ORZ

DE

D. SĂNDOIU, H. SLUŞANSCHI, ILEANA RAIU și LIVIA MILITESCU

Comunicare prezentată de A. VASILIU, membru corespondent al Academiei R.P.R.,
în ședința din 14 iunie 1961

Seceta poate surprinde orzul atât în regiunile secetoase cât și în cele umede. Pentru a putea aprecia în ce măsură ea influențează producția și calitatea acestei cereale, este necesar să se cunoască efectele în diferite faze ale perioadei de vegetație. În acest scop s-au efectuat cercetări în vase de vegetație tip Mitscherlich, timp de 2 ani (1957 și 1958) la Institutul de cercetări agronomice, București.

METODA DE LUCRU

S-a lucrat după metoda descrisă într-o lucrare anterioară (6) privitoare la ovăz. Vasele s-au încărcat cu cîte circa 5 kg sol brun-roșcat de pădure de la Băneasa, uscat la aer, a cărui higroscopicitate, determinată după E. A. Mitscherlich (2), a fost de 7,72% în anul 1957 și de 8,41% în anul 1958). Solul s-a amestecat cu o soluție de azotat de amoniu, fosfat monocalcic și sulfat de potasiu (0,6 g N, 0,6 g P₂O₅ și 0,6 g K₂O₅), apoi a fost acoperit cu 1 kg de pietris de 2–5 mm Ø. În fiecare vas s-au lăsat să crească cîte 30 de plante de orz de primăvară Cenad 396.

Experiența s-a urmărit în 5 variante:

V₁ (Mt.), fără secetă;

V₂, secetă la începutul înfrățirii;

V₃, secetă la începutul împăierii;

V₄, secetă la începutul înspicării;

V₅, secetă la formarea bobului (cind bobul de la mijlocul spicului era pe jumătate format).

La fiecare variantă s-au recoltat cîte 5 vase-repetiții.

1) Determinările au fost făcute de Victoria Conescu.

Între răsărire și înfrâjire toate vasele au fost udate în același fel, începînd de la 50% (3) din capacitatea de apă, determinată în vas după E.A. M i t s c h e r l i c h (4), și ajungînd treptat pînă la 70% (capacitatea de apă a solului a fost 36,1%). În continuare, atît la V₁ (mator) cît și la celelalte variante s-a asigurat o umiditate permanentă de 70%, cu excepția perioadei de secetă de 21 de zile, în care timp apa a fost menținută în sol la coeficientul de ofilire, calculat înmulțind apa hidroscopică a solului cu 1,5.

Plantele în creștere au fost analizate pe faze de vegetație (numai în experiența din anul 1957), cercetîndu-se separat, după caz, rădăcinile, tulipinile și boabele atît înainte cît și după diversele perioade de secetă, spre a se cunoaște efectele acesteia asupra compoziției lor. S-au analizat de asemenea boabele recoltate de la plantele ajunse la maturitate. Azotul s-a determinat după K j e l d a h l, fosforul prin metoda Lorenz, după mineralizare pe cale umedă, potasiul și calciul în cenușă — primul spectrotometric, al doilea manganometric — celuloza brută după S c h a r r e r-K ü r s c h n e r, iar cenușa prin incinerare la 550°. Conținutul de proteină brută corespunzător azotului determinat a fost calculat prin înmulțire cu factorul 6,25. Prin diferență s-a calculat și suma substanțe extractive neazotate + lipide. Rezultatele analizelor chimice s-au exprimat pe de o parte în g/vas, pe de altă parte în procente din substanță absolut uscată.

Pînă la împăiere s-a urmărit în paralel și conținutul de elemente nutritive ușor solubile din sol, exprimat în mg/kg de sol uscat la aer.

REZULTATELE OBTINUTE

1. Influența secetei asupra acumulării componentelor chimice în plantele de orz, pe faze de vegetație. Rezultatele obținute la aceste analize sunt prezentate în tabelul nr. 1, în care se indică, pentru fiecare din variantele urmărite, cantitățile de componente acumulate pînă la începutul diferitelor perioade de secetă (V_{1a}), apoi cele acumulate în plantele udate în continuare la regimul normal amintit timp de încă 21 de zile (V_{1b}), în sfîrșit cele acumulate în plantele care în aceeași perioadă au fost supuse secetei (V₂ — V₅).

Tabelul nr. 1

Influența secetei din diferite faze de vegetație asupra acumulării componentelor chimice în plantele de orz (g/vas) în anul 1957

| Materialul analizat | N | P ₂ O ₅ | K ₂ O | CaO | Proteină brută | Cenușă | Hidrați de carbon | | Substanță uscată |
|---|-------|-------------------------------|------------------|-------|----------------|--------|-------------------|-------------------------|------------------|
| | | | | | | | Celuloză brută | Extractive neazotate**) | |
| V₂ — Secetă la începutul înfrâjirii | | | | | | | | | |
| Rădăcina | | | | | | | | | |
| V _{1a} * | 0,016 | 0,003 | 0,013 | 0,013 | 0,10 | 0,10 | 0,35 | 0,55 | |
| V _{1b} | 0,128 | 0,030 | 0,089 | 0,126 | 0,80 | 1,29 | 4,16 | 6,25 | |
| V ₂ | 0,059 | 0,010 | 0,024 | 0,033 | 0,37 | 0,25 | 1,20 | 1,82 | |
| Tulpina | | | | | | | | | |
| V _{1a} | 0,131 | 0,016 | 0,125 | 0,045 | 0,82 | 0,30 | 0,34 | 0,60 | 2,06 |
| V _{1b} | 0,605 | 0,141 | 1,192 | 0,475 | 3,78 | 3,06 | 5,31 | 6,48 | 18,63 |
| V ₂ | 0,259 | 0,040 | 0,337 | 0,123 | 1,62 | 0,81 | 1,49 | 1,26 | 5,18 |
| Planta întreagă | | | | | | | | | |
| V _{1a} | 0,147 | 0,019 | 0,138 | 0,058 | 0,92 | 0,40 | 1,29 | 2,61 | |
| V _{1b} | 0,733 | 0,171 | 1,281 | 0,601 | 4,58 | 4,35 | 11,95 | 24,88 | |
| V ₂ | 0,318 | 0,050 | 0,361 | 0,156 | 1,99 | 1,06 | 3,95 | 7,00 | |

*) V_{1a} — plante udate normal, analizate la începutul perioadei de secetă de la variantele V₂ — V₅.

V_{1b} — plante udate normal, analizate la sfîrșitul perioadei de secetă de la variantele V₂ — V₅.

V₂ — V₅ — plante supuse secetei, analizate la sfîrșitul perioadei de secetă.

Tabelul nr. 1 (continuare)

| Materialul analizat | N | P ₂ O ₅ | K ₂ O | CaO | Proteină brută | Cenușă | Hidrați de carbon | | Substanță uscată |
|---|-------|-------------------------------|------------------|-------|----------------|--------|-------------------|-------------------------|------------------|
| | | | | | | | Celuloză brută | Extractive neazotate**) | |
| V₃ — Secetă la începutul împăierii | | | | | | | | | |
| Rădăcina | | | | | | | | | |
| V _{1a} | 0,125 | 0,032 | 0,094 | 0,127 | 0,78 | 0,99 | 4,18 | | 5,95 |
| V _{1b} | 0,118 | 0,026 | 0,073 | 0,152 | 0,74 | 1,16 | 5,74 | | 7,64 |
| V ₃ | 0,131 | 0,028 | 0,060 | 0,114 | 0,82 | 0,79 | 4,99 | | 6,60 |
| Tulpina | | | | | | | | | |
| V _{1a} | 0,570 | 0,121 | 0,999 | 0,424 | 3,57 | 2,57 | 4,26 | 5,45 | 15,85 |
| V _{1b} | 0,902 | 0,232 | 1,505 | 0,918 | 5,64 | 4,77 | 14,18 | 21,45 | 46,04 |
| V ₃ | 0,681 | 0,148 | 0,959 | 0,585 | 4,26 | 2,66 | 8,06 | 14,23 | 29,21 |
| Planta întreagă | | | | | | | | | |
| V _{1a} | 0,695 | 0,153 | 1,093 | 0,551 | 4,35 | 3,56 | 13,89 | | 21,80 |
| V _{1b} | 1,020 | 0,258 | 1,578 | 1,070 | 6,38 | 5,93 | 41,37 | | 53,68 |
| V ₃ | 0,812 | 0,176 | 1,019 | 0,699 | 5,08 | 3,45 | 27,28 | | 35,81 |
| V₄ — Secetă la începutul înspicării | | | | | | | | | |
| Rădăcina | | | | | | | | | |
| V _{1a} | 0,134 | 0,029 | 0,069 | 0,166 | 0,84 | 1,18 | 6,03 | | 8,05 |
| V _{1b} | 0,143 | 0,024 | 0,059 | 0,270 | 0,90 | 1,24 | 7,03 | | 9,17 |
| V ₄ | 0,092 | 0,016 | 0,039 | 0,163 | 0,58 | 0,86 | 5,50 | | 6,94 |
| Tulpina***) | | | | | | | | | |
| V _{1a} | 0,853 | 0,222 | 1,656 | 0,877 | 5,33 | 4,69 | 13,59 | 20,18 | 43,79 |
| V _{b1} | 0,402 | 0,067 | 1,482 | 1,256 | 2,51 | 5,44 | 14,85 | 20,19 | 42,99 |
| V ₄ | 0,247 | 0,057 | 1,347 | 1,072 | 1,55 | 4,24 | 14,92 | 18,95 | 39,66 |
| Bobul | | | | | | | | | |
| V _{1b} | 0,936 | 0,289 | 0,240 | 0,129 | 5,85 | 1,27 | 1,62 | 25,86 | 34,60 |
| V ₄ | 0,807 | 0,234 | 0,206 | 0,139 | 5,05 | 0,69 | 1,47 | 20,00 | 27,21 |
| Planta întreagă | | | | | | | | | |
| V _{1a} | 0,987 | 0,251 | 1,725 | 1,043 | 6,17 | 5,87 | 39,80 | | 51,84 |
| V _{1b} | 1,481 | 0,380 | 1,781 | 1,655 | 9,26 | 7,95 | 69,55 | | 86,76 |
| V ₄ | 1,146 | 0,307 | 1,592 | 1,374 | 7,18 | 5,79 | 60,84 | | 73,81 |
| V₅ — Secetă la formarea bobului | | | | | | | | | |
| Rădăcina | | | | | | | | | |
| V _{1a} | 0,085 | 0,016 | 0,036 | 0,085 | 0,53 | 0,65 | 3,72 | | 4,90 |
| V _{1b} | 0,143 | 0,024 | 0,059 | 0,270 | 0,90 | 1,24 | 7,03 | | 9,17 |
| V ₅ | 0,146 | 0,025 | 0,037 | 0,168 | 0,91 | 1,53 | 7,25 | | 9,69 |
| Tulpina***) | | | | | | | | | |
| V _{1a} | 0,976 | 0,250 | 1,354 | 0,870 | 6,10 | 4,84 | 14,24 | 25,12 | 50,30 |
| V _{1b} | 0,402 | 0,067 | 1,482 | 1,256 | 2,51 | 5,44 | 14,85 | 20,19 | 42,99 |
| V ₅ | 0,322 | 0,049 | 1,281 | 1,074 | 2,01 | 5,01 | 14,96 | 19,57 | 41,55 |
| Bobul | | | | | | | | | |
| V _{1b} | 0,936 | 0,289 | 0,240 | 0,129 | 5,85 | 1,27 | 1,62 | 25,86 | 34,60 |
| V ₅ | 0,777 | 0,231 | 0,184 | 0,128 | 4,85 | 0,71 | 1,59 | 17,80 | 24,95 |
| Planta întreagă | | | | | | | | | |
| V _{1a} | 1,061 | 0,266 | 1,390 | 0,955 | 6,63 | 5,49 | 43,08 | | 55,20 |
| V _{1b} | 1,481 | 0,380 | 1,781 | 1,655 | 9,26 | 7,95 | 69,55 | | 86,76 |
| V ₅ | 1,245 | 0,305 | 1,502 | 1,370 | 7,77 | 7,25 | 61,17 | | 76,19 |

**) Lipidele nu au fost determinate separat și sunt incluse în substanțele extractive neazotate.

***) Tulpina cuprinde și spicul fără boabe.

Din datele înscrise în tabelul nr. 1 rezultă că, în orice fază de vegetație ar interveni, seceta frânează acumularea în plantă a diferitelor componente chimice în cursul perioadei respective.

În ansamblu, efectele secetei se pot urmări în primul rînd examinînd datele referitoare la acumulările de substanță uscată în plantele întregi. Simpla comparație a rezultatelor înregistrate în diferitele faze de vegetație arată că deficitul relativ constatat în urma secetei este cu atît mai mic, cu cît aceasta a intervenit mai tîrziu. Astfel, pe cînd în cazul secetei de la înfrățire acest deficit reprezintă $24,88 - 7,00 = 17,88$ g/vas sau 71,9% față de martor, la împăiere deficitul scade la 33,2%, la înspicare la 15,1% și la formarea bobului la 12,2%. Acest fenomen se manifestă de altfel și în aspectul general al plantelor. Plantele expuse secetei la începutul înfrățirii nu au mai crescut în perioada de secetă și nu au înfrățit, în timp ce la martor ele au crescut de la 14 la 52 cm și au format frâți. Plantele expuse secetei la începutul împăierii nu au mai crescut nici ele în perioada respectivă, pe cînd la martor s-a înregistrat în același timp un spor de înălțime de la 46 la 84,7 cm. Totodată seceta a determinat uscarea tuturor frâților, ceea ce concordă cu observațiile din cîmp, unde adesea, din cauza secetei, plantele își păstrează numai frâtele principal. Seceta intervenită la înspicare a determinat uscarea în masă a frunzelor, iar cea intervenită la formarea bobului a avut drept consecință o considerabilă stînjenire a creșterii acestuia.

Efectele secetei nu s-au manifestat însă la fel de puternic în toate părțile plantelor. Astfel, în ceea ce privește acumulările de substanță uscată, atunci cînd seceta a acționat la înfrățire sau la împăiere, deficitul față de martorul udat normal a fost mai mare la tulipină decît la rădăcină, mai ales în cazul secetei de la împăiere. De altfel, după cum se știe, în primele faze de vegetație majoritatea substanțelor absorbite din sol sau formate prin fotosinteza sunt dirigate și acumulate în tulipină, așa că este cu totul normal ca influența secetei să se resimtă mai puternic tocmai aici. Cînd însă seceta a intervenit mai tîrziu, la înspicare sau la formarea bobului, urmările ei s-au manifestat în primul rînd prin stînjenirea acumulării de substanță uscată în bob, pe cînd tulipina și rădăcina au suferit cu mult mai puțin, îndeosebi în cazul secetei din ultima fază.

Efectele secetei nu s-au răsfrînt în mod egal nici asupra tuturor componentelor substanței uscate ale rădăcinii, tulpinii sau bobului. Se constată în general că deficitul cantitativ a fost mai mare la hidrații de carbon decît la proteina brută, și anume atît la substanțele extractive neazotate cît și la celuloză. Mai ales în primele faze de vegetație (înfrățire, împăiere) este puternic stînjenîta și absorbtia componentelor minerale din sol, după cum se poate constata urmărind în tabelul nr. 1 datele referitoare la cenușă și la principalele ei componente, ca și pe cele referitoare la azot. Acest din urmă fapt a mai fost pus în evidență și prin analiza solului din vasele de vegetație, la sfîrșitul perioadelor de secetă (tabelul nr. 2). La variantele în care plantele au fost expuse lipsei de apă la înfrățire sau la împăiere solul a rămas mai bogat în azot nitric și amoniacal, fosfor și potasiu decît la martor.

Interesant din punct de vedere practic este faptul că, indiferent de fază de vegetație în care s-a provocat seceta, consecințele ei se resimt

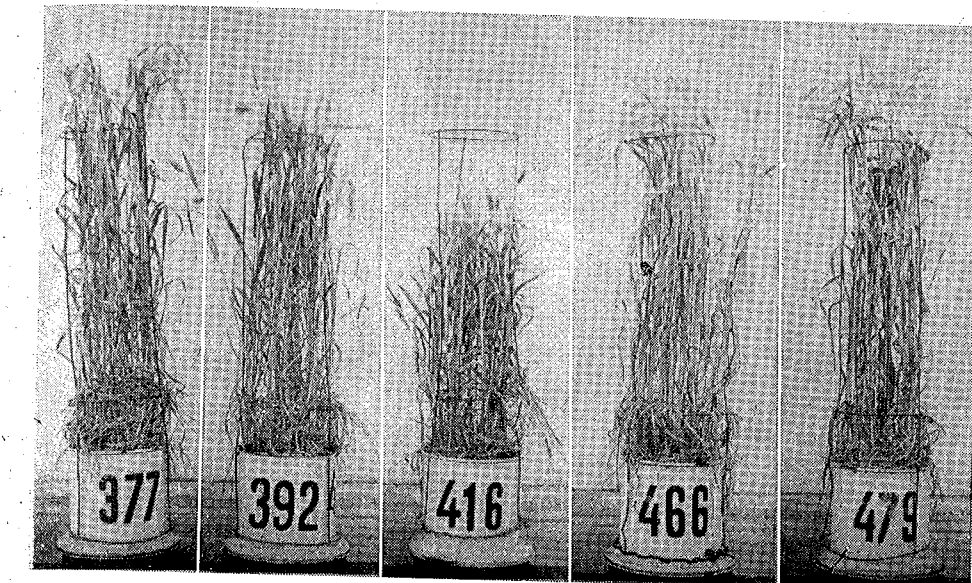


Fig. 1. — Influența secetei experimentale din sol în diferite faze de vegetație la orz. 377 : V₁—fără secetă; 392 : V₂—secetă la începutul înfrățirii; 416 : V₃—secetă la începutul împăierii; 466 : V₄ — secetă la începutul înspicării; 479 : V₅ — secetă la formarea bobului pe jumătate.

Tabelul nr. 2
Conținutul de elemente nutritive din sol la sfîrșitul perioadelor de secetă în anul 1957
(mg/kg sol uscat la aer)

| Varianta | Nc _{NO₃} | Nc _{NH₃} | P ₂ O ₅ | K ₂ O | CaO |
|--|------------------------------|------------------------------|-------------------------------|------------------|-----|
| <i>După seceta de la înfrățire (V₂)</i> | | | | | |
| V ₁ (Mt.) | 4,5 | 2,10 | 40,0 | 11,0 | 318 |
| V ₂ | 144,0 | 14,70 | 150,0 | 17,0 | 400 |
| <i>După seceta de la împăiere (V₃)</i> | | | | | |
| V ₁ (Mt.) | urme | 1,05 | 40,0 | 13,0 | 366 |
| V ₃ | 130,0 | 8,40 | 150,0 | 13,3 | 216 |

pînă la sfîrșit, pagubele provocate nu mai sunt recuperate și duc la un deficit de producție. Acest fapt poate fi constatat atît din aspectul plantelor la recoltă (fig. 1), cît și din rezultatele înscrise în tabelul nr. 3.

Din datele acestui tabel rezultă că seceta provoacă totdeauna o scădere atît a producției de boabe cît și a celei de paie, deficitul total fiind maxim cînd plantele au fost expuse lipsei de apă în fază de împăiere și minim cînd această lipsă s-a provocat de-abia la formarea bobului.

Tabelul nr. 3
Influența secetei în diferite faze de vegetație asupra producției orzului (substanță uscată la aer)

| Varianta | Producția totală | | Boabe | | Paie | |
|-------------------|------------------|-------|-------|-------|-------|-------|
| | g/vas | % | g/vas | % | g/vas | % |
| <i>1957</i> | | | | | | |
| V ₁ | 88,2 ± 2,7 | 100 | 39,4 | 100 | 48,8 | 100 |
| V ₂ | 65,7 ± 3,5 | 74,4 | 28,2 | 71,5 | 37,5 | 76,8 |
| V ₃ | 59,7 ± 1,1 | 67,6 | 21,6 | 54,8 | 38,1 | 78,0 |
| V ₄ | 70,4 ± 1,4 | 79,8 | 24,0 | 60,9 | 44,3 | 90,7 |
| V ₅ | 75,6 ± 1,7 | 85,7 | 28,1 | 71,3 | 47,5 | 97,3 |
| <i>1958</i> | | | | | | |
| V ₁ | 40,8 ± 1,3 | 100 | 15,4 | 100 | 25,4 | 100 |
| V ₂ | 24,7 ± 2,0 | 60,5 | 7,9 | 51,2 | 16,8 | 66,1 |
| V ₃ | 22,1 ± 1,0 | 54,1 | 3,8 | 24,6 | 18,3 | 72,0 |
| V ₄ *) | 37,4 ± 1,5 | 91,6 | 14,1 | 91,5 | 23,3 | 91,7 |
| V ₅ *) | 44,9 ± 2,6 | 110,0 | 16,4 | 106,4 | 28,5 | 112,2 |

*) Seceta a fost declanșată cu o săptămână mai tîrziu decât se stabilise anterior.

Foarte instructive sunt în această privință rezultatele experienței din anul 1958. În luna mai a acestui an temperatura aerului a fost neobișnuit de ridicată (fig. 2) și, în consecință, transpirația plantelor a fost mai intensă, ceea ce a făcut ca acțiunea secetei de la înfrâptire sau împăiere să fie mai puternică și să provoace pînă la urmă o scădere de producție cu mult mai accentuată decît cea din anul precedent. În schimb, seceta de la înspicare sau de la formarea bobului, care în anul 1958 a fost aplicată cu întîrziere de o săptămână față de data stabilită anterior, a avut un efect păgubitor mai puțin pronunțat decît în anul 1957. Seceta tîrzie nu mai micșorează deci producția de orz decît în măsură relativ redusă sau poate fi chiar lipsită de urmări dăunătoare.

În ambele ani seceta a influențat mai puternic producția de boabe și mai puțin pe aceea de paie, indiferent de fază de vegetație în care a intervenit. Detalii cu privire la cantitățile diferitelor componente chimice acumulate în boabele recoltate în anul 1957, de la plantele expuse secetei în diferite faze de vegetație, se pot vedea în tabelul nr. 4 care, între altele, arată că cele mai mici cantități de azot, fosfor, potasiu și calciu se găsesc în boabele recoltate de la plantele expuse secetei la mijlocul perioadei de vegetație, și anume la împăiere. Implicit, solul rămîne mai bogat în aceste elemente nutritive îndeosebi atunci cînd seceta apare în această fază.

2. Influența secetei asupra compoziției chimice a plantelor de orz, pe fază de vegetație. Rezultatele obținute la aceste analize sunt prezentate în tabelul nr. 5, în care se indică, pentru fiecare din variantele urmărite compoziția chimică a plantelor la începutul diferitelor perioade de secetă (V_{1a}), apoi aceea a plantelor udate în continuare normal timp de încă 21 de zile (V_{1b}) și în sfîrșit compoziția plantelor care în aceeași perioadă de timp au fost supuse secetei (V₂ – V₅).

Din datele acestui tabel se desprinde faptul că influența pe care seceta o exercită asupra compoziției chimice a plantelor de orz depinde de fază.

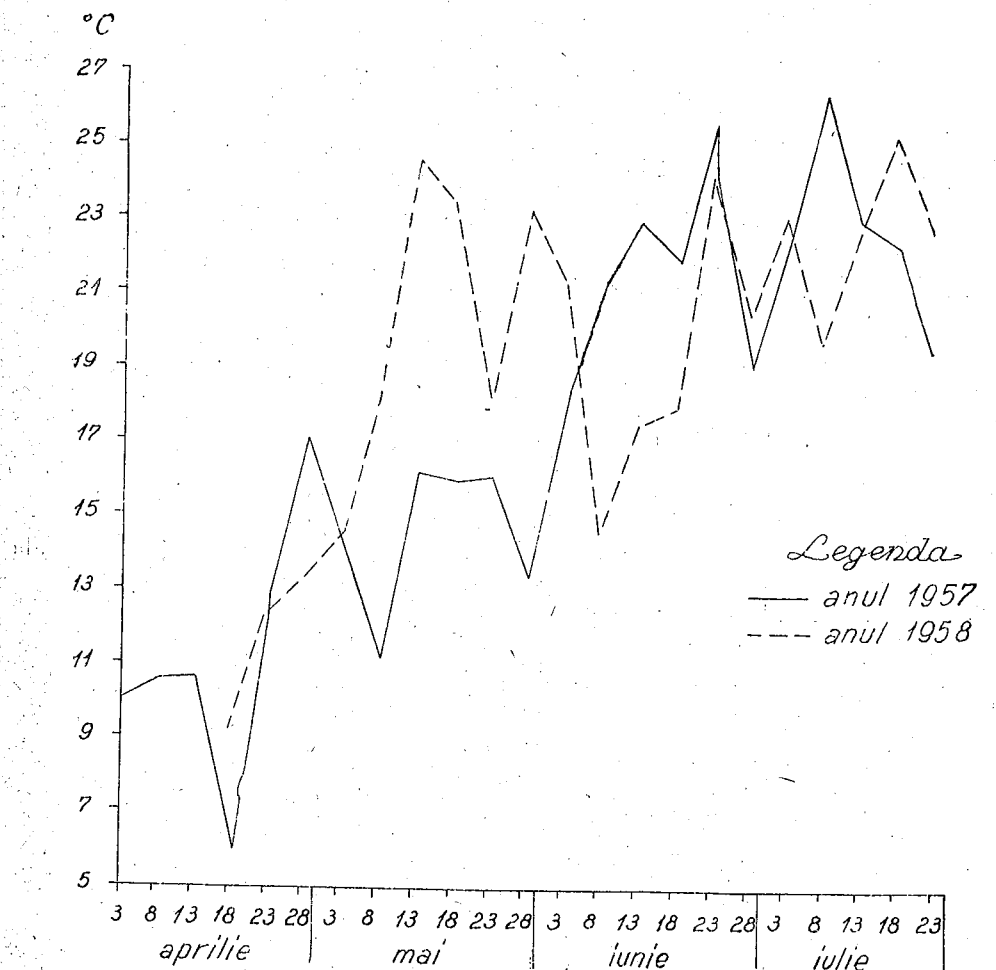


Fig. 2. — Diagrama temperaturilor aerului în anii 1957 și 1958 (la Institutul agronomic „N. Bălcescu”, București; medii pe pentade).

Tabelul nr. 4
Cantitățile de componente chimice acumulate în boabele recoltate de la plantele de orz supuse secetei în diferite faze de vegetație în anul 1957 (g/vas)

| Varianta | N | P ₂ O ₅ | K ₂ O | CaO | Proteină brută | Cenușă | Hidrați de carbon | | Substanță uscată |
|----------------|-------|-------------------------------|------------------|-------|----------------|--------|-------------------|------------------------|------------------|
| | | | | | | | Celuloză brută | extractive neazotate*) | |
| V ₁ | 0,905 | 0,268 | 0,198 | 0,125 | 5,66 | 0,83 | 1,63 | 24,62 | 32,74 |
| V ₂ | 0,730 | 0,194 | 0,147 | 0,087 | 4,57 | 0,56 | 1,11 | 17,20 | 23,44 |
| V ₃ | 0,567 | 0,174 | 0,109 | 0,068 | 3,54 | 0,47 | 0,79 | 13,20 | 18,00 |
| V ₄ | 0,639 | 0,183 | 0,132 | 0,076 | 4,00 | 0,50 | 0,94 | 14,47 | 19,91 |
| V ₅ | 0,725 | 0,220 | 0,165 | 0,085 | 4,53 | 0,68 | 1,30 | 16,77 | 23,28 |

*) Lipidele sunt incluse în substanțele extractive neazotate.

Tabelul nr. 5
Influența secetei din diferite faze de vegetație asupra compoziției chimice a plantelor de orz
(% în substanță uscată)

| Materialul analizat | N | P ₂ O ₅ | K ₂ O | CaO | Proteină brută | Cenușă | Hidrați de carbon | |
|---|-------|-------------------------------|------------------|-------|----------------|--------|-------------------|------------------------|
| | | | | | | | celuloză brută | extractive neazotate** |
| V₂ — Secetă la începutul înfrățirii | | | | | | | | |
| Rădăcina | | | | | | | | |
| V _{1a} *) | 2,926 | 0,557 | 2,290 | 2,251 | 18,27 | 18,66 | | 63,07 |
| V _{1b} | 2,052 | 0,486 | 1,431 | 2,021 | 12,82 | 20,64 | | 66,54 |
| V ₂ | 3,244 | 0,550 | 1,334 | 1,823 | 20,28 | 13,96 | | 65,76 |
| Tulpina | | | | | | | | |
| V _{1a} *) | 6,340 | 0,794 | 6,032 | 2,195 | 39,62 | 14,70 | 16,63 | 29,05 |
| V _{1b} | 3,250 | 0,758 | 6,401 | 2,551 | 20,31 | 16,41 | 28,51 | 34,77 |
| V ₂ | 5,011 | 0,771 | 6,523 | 2,383 | 31,32 | 15,62 | 28,72 | 24,34 |
| V₃ — Secetă la începutul împăierii | | | | | | | | |
| Rădăcina | | | | | | | | |
| V _{1a} *) | 2,100 | 0,535 | 1,575 | 2,140 | 13,12 | 16,60 | | 70,28 |
| V _{1b} | 1,546 | 0,338 | 0,959 | 1,999 | 9,66 | 15,17 | | 75,17 |
| V ₃ | 1,992 | 0,422 | 0,918 | 1,724 | 12,45 | 11,94 | | 75,61 |
| Tulpina | | | | | | | | |
| V _{1a} *) | 3,599 | 0,763 | 6,304 | 2,677 | 22,49 | 16,24 | 26,87 | 34,40 |
| V _{1b} | 1,959 | 0,505 | 3,269 | 1,993 | 12,24 | 10,36 | 30,80 | 46,60 |
| V ₃ | 2,332 | 0,506 | 3,283 | 2,002 | 14,58 | 9,10 | 27,59 | 48,73 |
| V₄ — Secetă la începutul înspicării | | | | | | | | |
| Rădăcina | | | | | | | | |
| V _{1a} *) | 1,661 | 0,357 | 0,854 | 2,067 | 10,38 | 14,70 | | 74,92 |
| V _{1b} | 1,566 | 0,262 | 0,645 | 2,944 | 9,78 | 13,53 | | 76,69 |
| V ₄ | 1,331 | 0,234 | 0,570 | 2,358 | 8,32 | 12,34 | | 79,34 |
| Tulpina ***) | | | | | | | | |
| V _{1a} *) | 1,947 | 0,506 | 3,782 | 2,003 | 12,17 | 10,70 | 31,02 | 46,11 |
| V _{1b} | 0,935 | 0,155 | 3,447 | 2,923 | 5,84 | 12,65 | 34,54 | 46,97 |
| V ₄ | 0,624 | 0,144 | 3,398 | 2,704 | 3,90 | 10,69 | 37,63 | 47,78 |
| Bobul | | | | | | | | |
| V _{1b} | 2,707 | 0,835 | 0,695 | 0,373 | 16,92 | 3,66 | 4,68 | 74,74 |
| V ₄ | 2,967 | 0,859 | 0,758 | 0,511 | 18,54 | 2,54 | 5,41 | 73,51 |
| V₅ — Secetă la formarea bobului | | | | | | | | |
| Rădăcina | | | | | | | | |
| V _{1a} *) | 1,728 | 0,329 | 0,737 | 1,742 | 10,80 | 13,25 | | 75,95 |
| V _{1b} | 1,566 | 0,262 | 0,645 | 2,944 | 9,78 | 13,53 | | 76,69 |
| V ₅ | 1,505 | 0,261 | 0,387 | 1,731 | 9,41 | 15,83 | | 74,76 |
| Tulpina ***) | | | | | | | | |
| V _{1a} *) | 1,940 | 0,498 | 2,691 | 1,730 | 12,13 | 9,62 | 28,30 | 49,95 |
| V _{1b} | 0,935 | 0,155 | 3,447 | 2,923 | 5,84 | 12,65 | 34,54 | 46,97 |
| V ₅ | 0,775 | 0,117 | 3,084 | 2,584 | 4,84 | 12,05 | 36,01 | 47,10 |
| Bobul | | | | | | | | |
| V _{1b} | 2,707 | 0,835 | 0,695 | 0,373 | 16,92 | 3,66 | 4,68 | 74,74 |
| V ₅ | 3,112 | 0,928 | 0,739 | 0,513 | 19,45 | 2,86 | 6,38 | 71,31 |

*) V_{1a} — plante udate normal, analizate la începutul perioadei de secetă de la variantele V₂ — V₅.

V_{1b} — plante udate normal, analizate la sfîrșitul perioadei de secetă de la variantele V₂ — V₅.

V₂ — V₅ — plante supuse secetei, analizate la sfîrșitul perioadei de secetă.

**) Lipidele sunt incluse în substanțele extractive neazotate.

***) Tulpina cuprinde și spicul fără boabe.

de vegetație în care a intervenit lipsa de apă. Astfel, atât rădăcinile cît și tulpinile plantelor expuse secetei la înfrățire sau împăiere se deosebesc la sfîrșit de aceleia ale plantelor udate normal îndeosebi prin conținutul lor mai ridicat de azot, respectiv de proteină brută, și, corespunzător, printr-un conținut micșorat de hidrați de carbon. Tinând seamă de faptul atâtăt mai înainte (tabelul nr. 1) că influența secetei se manifestă, între altele, printr-o stînjenire a acumulațiilor de azot, este evident că expli-

Tabelul nr. 6
Influența secetei din diferite faze de vegetație asupra compoziției chimice a boabelor de orz
(% în substanță uscată)

| Variantă | N | P ₂ O ₅ | K ₂ O | CaO | Proteină brută | Cenușă | Hidrați de carbon | |
|----------------|-------|-------------------------------|------------------|-------|----------------|--------|-------------------|------------------------|
| | | | | | | | celuloză brută | extractive neazotate * |
| V ₁ | 2,764 | 0,819 | 0,606 | 0,381 | 17,28 | 2,53 | 4,98 | 75,21 |
| V ₂ | 3,117 | 0,829 | 0,629 | 0,371 | 19,48 | 2,38 | 4,76 | 73,38 |
| V ₃ | 3,147 | 0,966 | 0,607 | 0,381 | 19,67 | 2,61 | 4,37 | 73,35 |
| V ₄ | 3,210 | 0,918 | 0,665 | 0,380 | 20,06 | 2,53 | 4,73 | 72,68 |
| V ₅ | 3,115 | 0,945 | 0,708 | 0,367 | 19,47 | 2,90 | 5,57 | 72,06 |

*) Lipidele sunt incluse în substanțele extractive neazotate.

cația creșterii conținutului procentual de azot la plantele expuse secetei trebuie căutată în stînjenirea încă mai accentuată a acumulațiilor hidraților de carbon. Conținutul procentual de fosfor, potasiu și calciu rămîne însă practic aproape neinfluentat de intervenția lipsei de apă, mai ales la tulpini, rădăcinile plantelor supuse secetei apărînd totuși ceva mai bogate în fosfor și mai sărace în calciu. În ansamblu, pînă la sfîrșitul perioadelor de secetă din primele două faze de vegetație menționate, compoziția chimică a plantelor se modifică mai puțin la plantele supuse secetei decît la cele udate tot timpul la regim normal, ceea ce corespunde faptului că seceta stînjenescă dezvoltarea celor dintii, le întîrzie înspicarea și le prelungesc perioada de vegetație.

Dacă însă seceta intervine la înspicare sau la formarea bobului, atât rădăcina cît și tulpina plantelor care au suferit din cauza lipsei de apă apar mai sărace în azot, respectiv în proteină brută, decît la plantele udate normal. În schimb, boabele sunt, dimpotrivă, mai bogate în azot la plantele supuse secetei.

De altfel, compoziția chimică a bobului este sensibil influențată în direcția creșterii conținutului procentual de azot chiar în cazul cînd seceta a acționat asupra plantei în primele faze de vegetație, la înfrățire sau împăiere, cum se poate vedea din tabelul nr. 6, unde este arătată compoziția boabelor recoltate în toate variantele la coacerea deplină.

Din datele acestui tabel se vede că, indiferent de faza în care a intervenit lipsa de apă, boabele recoltate de la plantele supuse secetei au aproape aceeași compozitie chimică și sunt sensibil mai bogate în azot, respectiv în proteină brută, și în același timp mai sărace în substanțe extractive neazotate decît aceleia obținute la mărtor. Conținutul de unități nutri-

tive, calculat pentru boabele cu 15% umiditate, este însă aproape același (1,151 UN/kg la V_1 -martor, față de 1,147 la V_2 , 1,145 la V_3 , 1,144 la V_4 și 1,140 la V_5).

3. *Influența secetei asupra consumului de apă al plantelor.* Oricind apare, seceta micșorează producția, deoarece plantele asupra cărora ea a acționat nu se mai pot refa complet. Chiar dacă ulterior ar dispune din abundență de apă provenită din ploi sau prin irigație, ele nu o mai pot

Tabelul nr. 7
Consumul de apă al plantelor de orz pe întreaga perioadă de vegetație în anul 1957

| Apa consumată | V_1 (Mt.) | V_2 | V_3 | V_4 | V_5 |
|---------------|-------------|-------------|-------------|-------------|-------------|
| kg/vas | 36,2 ± 0,75 | 27,8 ± 1,60 | 24,1 ± 0,61 | 22,8 ± 0,18 | 26,6 ± 0,31 |
| % | 100 | 76,8 | 66,6 | 63,0 | 73,5 |

valorifica bine. Acest fapt reiese împede din datele tabelului nr. 7: în toate variantele în care plantele au fost supuse secetei, consumul lor de apă, socotit pe întreaga perioadă de vegetație, a fost considerabil mai mic decât la martor, indiferent dacă seceta a fost provocată la începutul sau spre sfîrșitul acestei perioade. Scăderea cea mai mare a consumului de apă se constată la plantele supuse secetei la încispicare.

Amănunte cu privire la consumul de apă al plantelor de orz udate normal și al celor expuse secetei se pot vedea în figura 3, în care sunt indicate valorile medii înregistrate pe pentade, precum și în tabelul nr. 8, unde sunt înscrise date referitoare la consumul total corespunzător diverselor faze de vegetație sau anumitor perioade de timp, precum și date referitoare la consumul mediu zilnic.

După cum rezultă din figura 3, chiar la martorul udat normal consumul de apă al plantelor a fost relativ mic pînă la împăiere, s-a ridicat apoi mult în perioada de împăiere și a atins un maximum la încispicare, începînd să scadă după aceea, cu toate că temperatura mediului ambiant a mai crescut cîtva timp, după cum se poate constata urmărind mersul temperaturilor în figura 2. Scăderea consumului de apă a fost lenta la început, pînă în a 6-a zi după data la care bobul era pe jumătate format, apoi rapidă, astfel că la 12 zile după această dată, respectiv la 3 săptămîni după încispicare, apa nu mai era practic necesară. În medie pe faze de vegetație, consumul zilnic s-a dublat aproximativ de la fază la fază, pînă la încispicare, după cum rezultă din tabelul nr. 8.

Dacă în vreuna din faze intervine seceta, consumul de apă al plantelor scade considerabil față de cel înregistrat concomitent la martor, cu deosebire în cazul secetei de la înfrățire, cînd, după cum arată datele tabelului nr. 8, plantele expuse secetei nu au mai consumat nici 10% din cantitatea de apă folosită de plantele din varianta martor, deși în timpul acestei secete forță lor de sugere a crescut foarte mult (4,79 la V_1 , 12,0 la V_2)¹⁾.

¹⁾ Determinările au fost făcute de Gh. Popovici.

Tabelul nr. 8

Influența secetei din diferite faze de vegetație asupra consumului de apă al plantelor de orz pe anumite perioade din anul 1957

| Perioada | Plante expuse secetei | | Plante udate normal* | |
|--|-----------------------|---------------------------|----------------------|---------------------------|
| | consum total kg/vas | consum mediu zilnic g/vas | consum total kg/vas | consum mediu zilnic g/vas |
| V_1(Mt.) — Udat normal | | | | |
| Semănat-infrățire**) | (30.III—25.IV) | — | — | 1,86 ± 0,07 93 |
| Infrățire-împăiere | (26.IV—19.V) | — | — | 5,92 0,06 257 |
| Împăiere-încispicare | (20.V—9.VI) | — | — | 9,94 0,14 497 |
| Încispicare-formarea bobului | (10.VI—16.VI) | — | — | 6,94 ± 0,23 1 108 |
| Încispicare-coacere | (10.VI—8.VII) | — | — | 18,51 0,73 661 |
| V_2 — Secetă la începutul înfrățirii | | | | |
| În timpul secetei | 0,58 ± 0,02 | 22 | 7,07 ± 0,07 | 272 |
| După însetarea secetei pînă la încispicare | 12,7 0,42 | 470 | 8,81 0,12 | 518 |
| Total de la semănat la încispicare | 15,1 0,41 | | 17,72 0,17 | |
| De la încispicare la coacere | 12,7 1,55 | 422 | 18,51 0,73 | 661 |
| V_3 — Secetă la începutul împăierii | | | | |
| În timpul secetei | 2,85 ± 0,04 | 136 | 12,1 ± 0,16 | 576 |
| Total de la semănat la încispicare | 10,2 0,09 | | 17,72 0,17 | |
| De la încispicare la coacere | 13,9 0,60 | 309 | 18,51 0,73 | 661 |
| V_4 — Secetă la începutul încispării | | | | |
| În timpul secetei | 5,08 ± 0,05 | 232 | 17,2 ± 0,68 | 899 |
| De la încispicare la coacere | 5,08 0,05 | 232 | 18,51 0,73 | 661 |
| V_5 — Secetă la formarea bobului | | | | |
| În timpul secetei | 1,92 ± 0,09 | 113 | 10,3 ± 0,47 | 606 |
| De la încispicare la coacere | 8,86 0,25 | 531 | 18,51 0,73 | 661 |

*) Datele înscrise în această rubrică în dreptul celor corespunzătoare variantelor V_2 — V_5 arată consumul înregistrat concomitent la martor, fie pe durata secetei, fie în intervalul de timp necesar pentru parcurgerea acelorași faze de vegetație.

**) Plantele au răsărit la 5 IV.

Consumul de apă a rămas apoi mai scăzut decât la martor și după însetarea secetei, indiferent de faza de vegetație în care aceasta a intervenit, ceea ce denotă că lipsa de apă a provocat în țesuturile plantelor anumite transformări ireversibile. Constatări asemănătoare s-au făcut într-o experiență similară cu iarba de Sudan¹⁾, iar Ilinin (citat după (1)), în anul 1957, a ajuns de asemenea la concluzia că o plantă supusă secetei severe nu mai este în stare să-și restabilească funcțiunile la nivelul normal. De aceea, în cazul nostru intensitatea procesului de transpirație s-a men-

¹⁾ D. Sandoiu, *Seceta și consumul de apă la iarba de Sudan*, I.C.A.R., 1958 (manuscris).

tinut și în continuare la un nivel sensibil inferior aceluia înregistrat la plantele martor. Astfel, pe cînd la martor consumul zilnic maxim din perioada înspicării a trecut de 1 000 ml/vas, la plantele supuse secetei în fază de înrătire acest consum nu a atins în aceeași perioadă nici 800 ml,

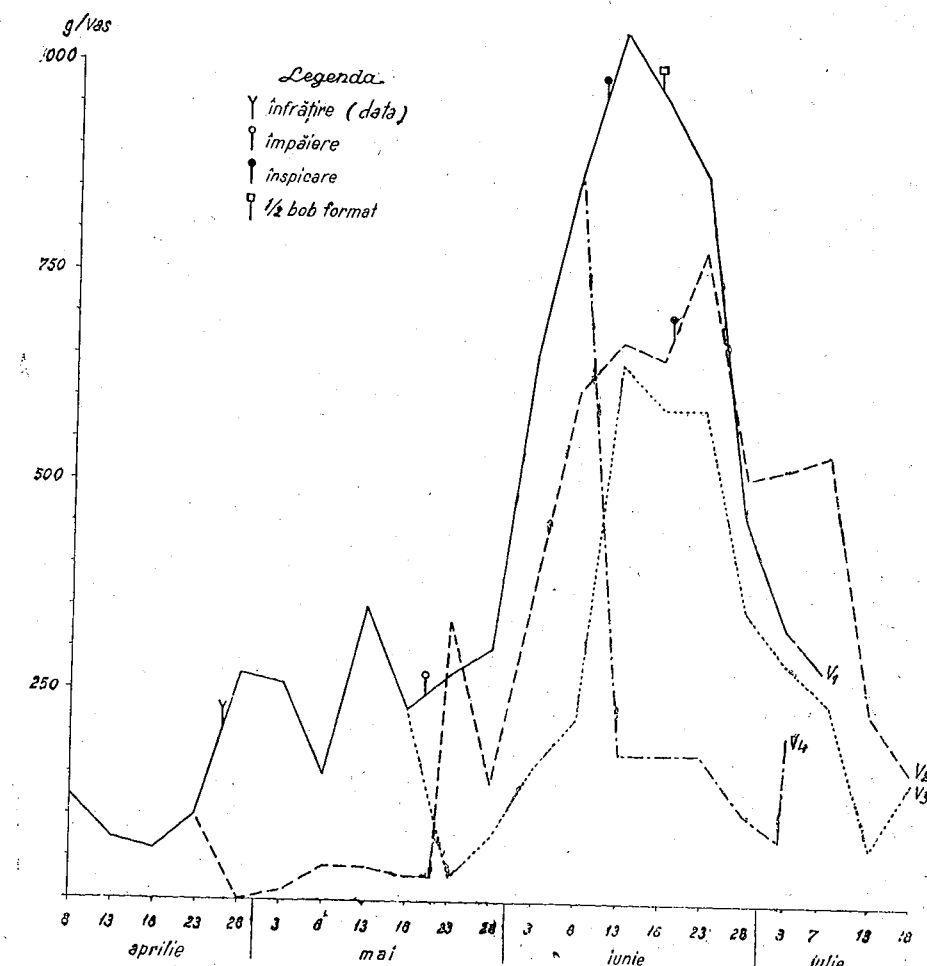


Fig. 3. — Consumul de apă al plantelor de orz în cursul vegetației. V₁ — fără secetă (martor); V₂ — secetă la începutul înrătirii; V₃ — secetă la începutul împăierii; V₄ — secetă la începutul înspicării.

iar la cele supuse secetei la împăiere abia s-a ridicat la circa 600 ml (temperatura 23°).

O altă consecință manifestă a efectelor lipsei de apă a fost încreșterea ritmului de parcurgere a fazelor de vegetație ulterioare la plantele expuse acestei lipse la începutul perioadei de vegetație, respectiv grăbirea-

acelaiași ritm la cele expuse secetei spre sfîrșitul ei. Astfel, seceta de la înrătire a întîrziat înspicatul cu 10 zile și coacerea cu 12 zile față de martor. Tot cu 12 zile a fost întîrziată coacerea și prin seceta de la împăiere, pe cînd seceta de la înspicare sau de la formarea bobului a provocat, dimpotrivă, o coacere mai timpurie, și anume cu 4—5 zile față de martor.

Comparînd datele referitoare la consumul zilnic mediu de apă din perioada de secetă (tabelul nr. 8) cu cele referitoare la producție (tabelul nr. 4), se poate observa că deși deficitul maxim față de consumul normal se înregistrează, în valori absolute, la seceta de la înspicare (899—232 = 667 g/vas) și deși chiar în cazul secetei de la formarea bobului deficitul este mai mare decît la seceta de la împăiere (606—113 = 493 g/vas, față de 576—136 = 440 g/vas), producția a fost micșorată totuși cel mai mult de această din urmă secetă. Aceasta arată că factorul determinant pentru gradul de scădere a producției este nu atât mărimea deficitului de apă, cît faza de vegetație în care acesta intervine și că, din acest punct de vedere, utilitatea apei este diferită în raport cu faza de vegetație.

Ca o indicatie asupra valorificării optime a apei în cazul unei eventuale irigări a culturilor s-a întocmit tabelul nr. 9, în care deficitul consumului total de apă pe întreaga perioadă de vegetație — înregistrat față de martor la diferențele variante cu secetă ale experienței din anul 1957 — a fost raportat la deficitul de producție respectiv, obținându-se astfel cantitățile de apă consumate în plus de plantele din varianta martor pentru fiecare gram de spor de producție realizat față de aceste variante.

Tabelul nr. 9

Consumul de apă necesar pentru evitarea deficitului de producție datorit secetei din diferențele faze de vegetație

| Varianta | Scăderea consumului total de apă față de martor g/vas | Deficit (g/vas) față de martor la producția | | Consumul suplimentar de apă (g) al plantelor udate normal, pentru 1 g spor de producție | |
|----------------|---|---|----------|---|----------|
| | | totală | de boabe | totală | de boabe |
| V ₂ | 8 400 | 22,5 | 11,2 | 373 | 750 |
| V ₃ | 12 100 | 28,5 | 17,8 | 425 | 680 |
| V ₄ | 13 400 | 17,8 | 15,4 | 753 | 870 |
| V ₅ | 9 600 | 12,6 | 11,3 | 762 | 849 |

După cum se vede din acest tabel, cantitățile de apă necesare pentru evitarea deficitului de producție totală (boabe + paie) sunt aproximativ de două ori mai mici în cazul secetei de la înrătire sau împăiere decît în cazul celei de la înspicare sau de la formarea bobului. Diferența nu este atât de mare dacă ne referim numai la producția de boabe, dar și în acest caz necesarul suplimentar de apă este cel mai redus la variantele cu secetă timpurie, mai ales la împăiere. Apa se valorifică deci cel mai bine în fazele timpurii.

Cauza pentru care apa este mai bine folosită la împăiere sau la înrătire decît la înspicare, deși în această din urmă fază plantele consumă în mod normal mai multă apă, stă în legătură cu metabolismul lor, și

anume cu ritmul acumulării componentelor chimice în cursul diferitelor faze de vegetație (tabelul nr. 10).

Datele din tabelul nr. 10 arată că cea mai mare parte din conținutul final de azot, fosfor și potasiu al plantelor udate normal este absorbbită pînă la împăiere, iar cea mai mare parte din substanța uscată, respectiv din componentele glucidice, se acumulează între împăiere și înspicare.

Tabelul nr. 10

Mersul acumulării componentelor chimice în plantele de orz udate normal pe faze de vegetație
(% din cantitatea existentă la coacere)

| Faza de vegetație | N | P ₂ O ₅ | K ₂ O | CaO | Hidrați de carbon | Substanță uscată |
|-------------------|------|-------------------------------|------------------|------|-------------------|------------------|
| Pînă la înfățire | 12 | 6,6 | 7,7 | 3,6 | 2,1 | 3,4 |
| Pînă la împăiere | 57 | 53,3 | 61,2 | 34,9 | 22,5 | 28,4 |
| Pînă la înspicare | 80,9 | 87,4 | 96,6 | 66,0 | 64,5 | 67,7 |
| Pînă la coacere | 100 | 100 | 100 | 100 | 100 | 100 |

spicare, astfel că lipsa apei la înfățire și împăiere stînjenește la maximum absorbția substanțelor nutritive din sol și fotosinteza. Valorificarea mai bună a apei apare deci legată de epoca de absorbție și acumulare intensă a componentelor chimice ale plantelor. De aceea, atunci cînd solul nu are destulă umiditate, este necesar ca seceta să fie combătută în primul rînd la împăiere sau la înfățire.

CONCLUZII

1. Seceta dăunează producției în orice fază de vegetație ar interveni. Pagubele cele mai mari apar în cazul secetei de la împăiere (32,4—45,9%) și cele mai mici în cazul secetei de la formarea bobului (14,3%).

2. Seceta stînjenește acumularea componentelor chimice în acele părți ale plantei care se găsesc în curs de creștere. Influența ei se resimte însă și ulterior, pînă la sfîrșitul perioadei de vegetație.

3. Indiferent dacă seceta este timpurie sau tîrzie, deficitul de producție este totdeauna mai mare la boabe (28,7—45,2% în 1957), decît la paie (2,7—23,2% în 1957).

4. Boabele recoltate de la plantele expuse secetei sunt totdeauna mai bogate în azot, respectiv în proteină brută, de asemenea și în fosfor, decît acele obținute de la martor, dar sunt mai sărace în substanțe extractive neazotate. Conținutul de unități nutritive, raportat la boabele cu aceeași umiditate, rămîne însă practic neschimbăt.

5. Seceta de la înfățire și cea de la împăiere prelungesc perioada de vegetație și întîrzie coacerea cu circa 12 zile, pe cînd seceta de la înspicare și cea de la formarea bobului grăbesc coacerea cu 4—5 zile.

6. În orice fază de vegetație ar apărea, seceta are ca urmare o reducere considerabilă a consumului de apă al plantelor față de martor în tot restul perioadei de vegetație, chiar dacă ulterior plantele ajung să disponă de apă suficientă.

7. Nu există o corelație între reducerea consumului total de apă și deficitul de producție. Cea dintîi este mai mare în cazul cînd seceta a intervenit la înspicare, producția scade însă cel mai mult atunci cînd seceta a apărut la împăiere sau înfățire, adică în fazele cînd în mod normal procesul de absorbție a elementelor nutritive din sol și de acumulare a substanțelor organice prin fotosinteză se desfășoară cu maximum de intensitate. De aceea, seceta trebuie combatută în primul rînd în aceste faze.

ВЛИЯНИЕ ИСКУССТВЕННОЙ ПОЧВЕННОЙ ЗАСУХИ В РАЗЛИЧНЫХ ВЕГЕТАЦИОННЫХ ФАЗАХ НА УРОЖАЙ ЯЧМЕНЯ И НА НАКОПЛЕНИЕ В НЕМ ХИМИЧЕСКИХ КОМПОНЕНТОВ

РЕЗЮМЕ

Опыты проводились в 1957—58 гг. в научно-исследовательском агрономическом институте в вегетационных сосудах с яровым ячменем сорта Ченад 396 в следующих вариантах: V₁ — без засухи (половину до 70% влагоемкости почвы); V₂ — засуха в начале кущения; V₃ — засуха в начале стеблевания; V₄ — засуха в начале выколачивания; V₅ — засуха при образовании зерна (при наполовину сформированном зерне). В последних четырех вариантах влажность почвы поддерживалась в течение 21 дня на уровне коэффициента увлажнения, а в течение остальной части вегетационного периода — на уровне 70% влагоемкости почвы.

Полученные данные показали следующее:

Засуха вредит урожаю в какой бы фазе роста она ни наступила. Наибольшие потери урожая наблюдаются при засухе во время стеблевания (32,4—45,9%), а наименьшие при засухе во время образования зерна (14,3%).

Засуха нарушает накопление химических компонентов в растущих частях растения. Влияние ее, однако, чувствуется и позже, вплоть до окончания вегетационного периода.

Независимо от того появляется ли засуха рано или поздно, недобор урожая зерна (28,7—45,2% в 1957 г.) всегда больше, чем недобор урожая соломы (2,7—23,2% в 1957 г.).

Зерно, собранное от испытавших засуху растений, всегда богаче азотом (а, следовательно, и сырьем белком) и фосфором, но беднее экстрактивными неазотистыми веществами, чем зерно, полученное от контрольных растений. Однако содержание кормовых единиц в зерне одинаковой влажности остается практически неизменным.

Засуха при кущении и при выходе в трубку вызывает увеличение продолжительности вегетационного периода и задерживает созревание, примерно, на 12 дней, тогда как засуха при выколачивании и при образовании зерна ускоряет созревание на 4—5 дней.

Появление засухи в любой фазе вегетации вызывает значительное снижение потребления воды растениями, по сравнению с контролем, в течение всей остальной части вегетационного периода, даже и в том случае, если позже растения имеют в своем распоряжении достаточно влаги.

Не существует коррелятивной связи между снижением общего потребления влаги и недобором урожая. Это снижение потребления влаги больше, когда засуха наступает при выколашивании, наибольшее же снижение урожая наблюдается, когда засуха появляется при стеблевании или кущении, то есть в фазах, когда в нормальных условиях процесс поглощения питательных веществ из почвы и накопления органических веществ путем фотосинтеза имеет наибольшую интенсивность. Поэтому, в первую очередь, борьбу с засухой следует вести в течение этих фаз.

ОБЪЯСНЕНИЕ РИСУНКОВ

Рис. 1. — Влияние искусственной почвенной засухи в различных вегетационных фазах у ячменя: 377 — V_1 — без засухи; 392 — V_2 — засуха в начале кущения; 416 — V_3 — засуха в начале стеблевания; 466 — V_4 — засуха в начале выколашивания; 479 — V_5 — засуха при наполовину сформированном зерне.

Рис. 2. — Диаграмма температур воздуха в 1957 и 1958 гг. (в Бухарестском сельскохозяйственном институте им. Н. Бэлческу; средние по пятидневкам).

Рис. 3. — Расход влаги растениями ячменя в течение вегетационного периода. V_1 — без засухи (контроль); V_2 — засуха в начале кущения; V_3 — засуха в начале стеблевания; V_4 — засуха в начале выколашивания.

INFLUENCE DE LA SÉCHERESSE EXPÉRIMENTALE DU SOL, À DIFFÉRENTES PHASES DE LA VÉGÉTATION DE L'ORGE, SUR LE RENDEMENT ET L'ACCUMULATION DES COMPOSANTS CHIMIQUES DANS LA PLANTE

RÉSUMÉ

Les essais ont été effectués à l'Institut de Recherches Agronomiques entre 1957 et 1958, en vases de végétation, et ont porté sur l'orge de printemps Cenad 396. On a étudié les variantes suivantes : V_1 — sans sécheresse (70% de la capacité pour l'eau du sol); V_2 — sécheresse au début du tallage; V_3 — sécheresse au début de la montée; V_4 — sécheresse au début de l'épiaison; V_5 — sécheresse pendant la formation du grain (grain à moitié formé). Dans les 4 dernières variantes, l'humidité du sol a été maintenue pendant 21 jours au coefficient de flétrissement et, pendant le reste du temps, à 70% de la capacité pour l'eau du sol.

Les conclusions suivantes se dégagent des résultats obtenus :

La sécheresse nuit au rendement, quelle que soit la phase où elle intervient. Les plus fortes diminutions de rendement ont été observées quand la sécheresse a été provoquée pendant la montée (32,4 et 45,9%) et les plus faibles, quand elle a été provoquée à la période de formation des grains (14,3%). La sécheresse entrave l'accumulation des composants chimiques dans la partie de la plante qui est en pleine croissance. Son influence se fait toutefois ressentir par la suite aussi, jusqu'à la fin de la période de végétation.

Que la sécheresse intervienne tôt ou tard, le déficit de rendement est toujours plus marqué pour les grains (28,7 à 45,2%, en 1957) que pour la paille (2,7 à 23,2%, en 1957).

Les grains récoltés des plantes soumises à la sécheresse sont toujours plus riches en azote — respectivement, en protéines brutes — et en phosphore que ceux des plantes témoins et, en revanche, plus pauvres en substances extractives non azotées. La teneur en unités nutritives, rapportée aux grains ayant le même degré d'humidité, reste pourtant pratiquement inchangée.

La sécheresse pendant le tallage et pendant la montée prolonge la période de végétation et retarde la maturation d'environ 12 jours, tandis que la sécheresse à l'époque de l'épiaison et à la formation des grains hâte la maturation de 4 à 5 jours.

Quel que soit le moment de son apparition, la sécheresse détermine une réduction considérable de la consommation d'eau des plantes respectives pendant tout le reste de la période de végétation, même si celles-ci disposent, par la suite, d'une quantité suffisante d'eau.

On ne peut établir une corrélation entre la réduction de la consommation totale d'eau et le déficit du rendement. La première est plus marquée quand la sécheresse s'installe à l'épiaison ; le rendement est plus faible lorsque la sécheresse apparaît pendant la montée ou le tallage, c'est-à-dire au cours des périodes où, normalement, le processus d'absorption des éléments nutritifs du sol et d'accumulation des substances organiques par photosynthèse se déroule avec un maximum d'intensité. La sécheresse doit donc être combattue tout d'abord au cours de ces phases.

EXPLICATION DES FIGURES

Fig. 1. — Influence de la sécheresse expérimentale du sol survenue à différentes phases de la végétation de l'orge. 377 : V_1 — sans sécheresse ; 392 : V_2 — sécheresse au début du tallage ; 416 : V_3 — sécheresse au commencement de la montée ; 466 : V_4 — sécheresse au début de l'épiaison ; 479 : V_5 — sécheresse à la formation du grain à moitié.

Fig. 2. — Diagramme des températures de l'air au cours des années 1957 et 1958, à l'Institut Agronomique «N. Bălcescu» (moyennes par périodes de 5 jours).

Fig. 3. — Consommation d'eau des plantes d'orge au cours de la végétation : V_1 — sans sécheresse (témoin) ; V_2 — sécheresse au début du tallage ; V_3 — sécheresse au début de la montée ; V_4 — sécheresse au commencement de l'épiaison.

BIBLIOGRAFIE

1. GLOVER J., *The apparent behavior of maize and sorghum stomata during and after drought*, J.Agric. Sci., 1959, **53**, partea a 3-a.
2. MITSCHERLICH E. A., *Bodenkundliches Praktikum*, Springer, Berlin, 1927.
3. — *Die Bestimmung des Düngerbedürfnisses des Bodens*, Parey, Berlin, 1930.
4. — *Bodenkunde*, Parey, Berlin — Hamburg, 1954.
5. SĂNDOIU D., *Seceta și producția ierbii de Sudan*, Probl. agricole, 1958, **10**.
6. SĂNDOIU D., SLUSANSCHI H., RAIU I. și VALUTĂ I., *Variatia principalelor componente chimice în cursul vegetației la ovăz și fasole în condiții de secetă experimentală*, Anal. I.C.A.R., 1958, seria C, **XXVI**.

**CERCETĂRI ASUPRA PROCESULUI DE REFACERE
A COROANEI ȘI A INTENSITĂȚII DE TRANSPIRAȚIE
A MOLIZILOR ATACATI DE LYMANTRIA MONACHA L.**

DE

G. G. GEORGESCU
MEMBRU CORESPONDENT AL ACADEMIEI R.P.R.
I. CATRINA și V. TUTUNARU

Comunicare prezentată în ședința din 25 aprilie 1961

În molidișurile din bazinul mijlociu al râului Bistrița, pendinte de ocoalele Borșec și Broșteni, invadate de omida fluturelui *Lymantria monacha* L., s-au făcut o serie de observații asupra modului de refacere (restituție) a coroanei arborilor pentru stabilirea unor criterii, după care să se execute tăierile fitosanitare în arboretele dăunute. În legătură cu procesul de uscare s-a cercetat intensitatea transpirației lujerilor anuali de la arborii defoliati și nefoliatii de omizi, pentru a se stabili influența acestui proces asupra rezistenței la uscare a molizilor defoliati.

În arboretele cercetate atacul omizilor a apărut în anii 1954 și 1955, dar s-a pus în evidență în anii 1956 și 1957, cind au început să se producă uscări de arbori în proporție din ce în ce mai mare. Atacul a atins un maximum în 1958, cind printr-o combatere eficace a fost complet stăvilit (3). Observațiile s-au efectuat în 1958, după înacetarea atacului.



La pornirea vegetației, atacul omizilor începe de la părțile luminate ale coroanei, unde ele înviază mai de timpuriu și au un avans de creștere, din cauză că aici găsesc un surplus de căldură.

Dacă atacul din această perioadă se prelungeste, omizile pot provoca defolierea totală a verticilelor superioare; în asemenea cazuri se produce o uscare a vîrfului coroanei pe o porțiune mai mare sau mai mică. Omizile, găsindu-se în tot cuprinsul coroanei, pe măsură ce se încalzește vremea emigrează din părțile ei defolate, secătuite de ace, spre cele cu

rezerve de ace, și din părțile luminate către cele slab umbrite. Răspindirea omizilor este ajutată — în afară de încălzirea vremii — și de rărirea frunzișului, care îlesnește pătrunderea razelor solare și încălzirea interiorului masivului. Cantitatea de ace consumată sau retezată de omizi în decursul vieții lor crește considerabil, aşa după cum arată G. D i s e c u¹). Ramurile complet denudate se usucă; repartiția acestora este cu totul neregulată. În primul an de atac (1955) s-a manifestat o rărire a frunzișului și uscări de ramuri răzlețe, din care cauză atacul a scăpat observației. Începând din anul 1956, atacul s-a intensificat și s-au produs uscări intense de ramuri și părți ale coroanei pînă la totala uscare a arborilor debilitați prin defolierile din anii precedenți. În arboretele atacate, defolierarea are un mers neregulat și de aceea se găsesc arbori de la slab vătămati, pînă la complet denudați. Sînt unii arbori care păstrează una sau cîteva ramuri răzlețe nedefoliate, datorită cărora se mențin în viață pînă la nivelul acestora timp destul de îndelungat, grație slabului curent de apă pompat de aceste ramuri verzi.

Refacerea (restituția) coroanei are un mers variat în funcție de o serie de factori, încă insuficient cercetați. Intensitatea defolierii, după cum este firesc, determină durata rezistenței la uscare a arborilor atacați. Totuși se constată uneori că arborii cu un grad moderat de defoliere se pot usca rapid în timp ce arborii vecini cu numai una sau cîteva ramuri verzi se usucă lent în una sau două perioade de vegetație, după cum s-a arătat mai sus. Cercetările întreprinse de I. P o p e s c u - Z e l e t i n (8) pot explica unele abateri de acest fel prin vitalitatea diferită a arborilor în raport cu poziția lor în arborete. Arborii dominați, avînd o vitalitate scăzută, sint cei mai puțin rezistenți la uscare, pe cînd arborii predominați, ca și cei de la marginea masivului cu o vitalitate ridicată se usucă într-un procent cu mult mai redus.

În procesul de uscare un rol hotărîtor îl are faptul dacă după defoliere survine o vară secetoasă sau o iarnă lipsită de zăpadă, în care timp se manifestă așa-zisa secetă de iarnă. Anii în care s-a ivit atacul omizilor în bazinul Bistriței au fost în general bogăți în precipitații și, din această cauză, uscarea arborilor nu a luat proporția așteptată în raport cu numărul mare de omizi apărut.

Un factor important este rezistența individuală a arborilor, despre care nu avem cunoștințe și pe care cercetări îndelungate de fiziopatologie trebuie să le dezvăluie.

Refacerea coroanei arborilor este rezultatul reacției lujerilor după defoliere. Molidul, după cîte se cunoaște, nu are proprietatea să formeze muguri adventivi; aceștia sunt caracteristici pentru pin și mai ales pentru pinul negru, de aceea sunt mai rezistenți la uscare decît molidul. Coroana molizilor defoliați se reface numai din muguri rămași nevătămati de pe lujerii anuali sau de pe lujerii mai în vîrstă; la aceștia din urmă mugurii sunt ascuși sub scoarță și se găsesc în stare dormindă. În cazul unei defoliieri timpurii, intense pînă la jumătatea lunii mai, mugurii nedezvoltați

¹⁾ G. D i s e c u, *Cercetări asupra dezvoltării omizii Oeneria monacha L.*, I.C.E.F. (manuscris).

la pornirea vegetației, care în condiții normale ar fi rămas în stare dormindă, se dezvoltă dinănaștere la o generație de lujeri suplimentari. Aceștia se pot considera ca lujeri de refacere. Ei au o creștere redusă și deci acele foarte îngărmădite. Pornirea mugurilor dorminzi de pe lujerii defoliați este posibilă numai pe axele pe care a mai rămas o anumită proporție de ace întregi sau jumătate retezate și care întrețin echilibrul hormonal ce determină dezmagurirea. Apariția acestor pseudolujeri de refacere din rezerva de muguri a axelor defoliate contribuie la refacerea coroanei molizilor chiar în anul defolierii. De regulă, molidul nu produce lujeri noi decît în primăvara următoare defolierii, din muguri situați pe lujerii din anul precedent. În acest mod refacerea coroanei se produce cu însîrziere și cu un număr mai redus de lujeri; arborii din această categorie se usucă într-o proporție mult mai ridicată decît arborii la care s-au format pseudolujeri de refacere.

Dacă se usucă săgeata coroanei (lujerul terminal al tulpinii) atunci se poate dezvolta în locul său un smoc de lujeri care au aspectul unei mături ale vrăjitoarelor. Arborii cu aceste formațiuni au o mare rezistență la uscare, putînd vegeta un timp mai îndelungat chiar cînd coroana este total defoliată, întrucît ramurile verzi din vîrf absorb apa prin întreaga tulpină. În mod practic, arborii pot să se refacă aproape complet în cîțiva ani consecutivi după încetarea atacului de omizi, dacă păstrează în stare verde o proporție de 40—50% din coroană. Procesul de refacere este deplin în condițiile unei defolierii uniforme moderate în tot cuprinsul coroanei arborilor sau ale defolierii intense numai în părțile inferioare ale coroanei. Dacă uscarea deformează coroana, atunci refacerea ei are loc în mod incomplet și arborii cu coroanele defectuoase trebuie eliminati din arboret. Un caz de refacere de importanță practică îl prezintă arborii cu vîrful uscat. În general molizii pînă la vîrsta de 20—30 (40) de ani își pot reface vîrful uscat prin substituirea lui de către o ramură din verticilul superior, care dobîndește o creștere ortotropă. Noul vîrf pînă la vîrsta exploatabilității arborelui de cele mai multe ori are timp să se racordeze cu tulpina și să formeze un ax unic; la arborii mai în vîrstă această racordare nu se mai realizează, iar vîrful restituit stă la capătul tulpinii ca o baionetă. Tulpina de acest fel nu se poate utiliza pentru scopuri industriale decît pînă la nivelul de uscare al vîrfului inițial; deci, în mod practic, creșterea în lungime a trunchiului nu mai contribuie la sporirea masei lemnoase utilizabile. În cele mai multe cazuri, vîrful uscat putrezește ușor și de aici putrezirea poate să se propage în tulpina sănătoasă. După cădere vîrfului uscat se produce o rană la capătul tulpinii, prin care se infiltrează apă și spori de ciuperci xilogfage, care produc mai întîi încinderea și apoi putrezirea duramenului tulpinii. Avînd în vedere pericolul propagării putregaiului în tulpinele molizilor cu vîrful uscat sau retezat, acești arbori nu pot fi menținuți în păduri mai mult de 5—10 ani, în funcție de vîtea de înaintare a putrezirii în duramenul trunchiului lor.

În anul defolierii, arboretele de molid atacate au un aspect dezolant; în anii următori, după extragerea arborilor uscați sau în curs de uscare, arborelul își recapătă aspectul normal. Extragerea arborilor încă verzi pe cît se poate să nu se facă în anul defolierii o dată cu arborii uscați sau

în curs de uscare, cînd sătem înclinați a face tăieri exagerate, ci la un an sau doi după încetarea atacului, cînd se diferențiază vizibil arborii viabili refăcuți de cei cu vitalitate scăzută și care nu mai corespund cerințelor de bună stare fitosanitară a pădurilor.

Măsurările asupra intensității transpirației la molizii vătămati de omidă în comparație cu cei nevătămati s-au efectuat într-o parcelă din pădurea Arcoza (Ocolul silvic Borsec) situată la o altitudine de 900–1000 m, într-o vîlcea îngustă, pe o pantă de 20°, cu o expoziție vestică; arborelul este de tipul moldiș cu *Oxalis*, în diseminatie cu brad. Intensitatea de transpirație s-a determinat prin metoda Huber, folosindu-se lujeri anuali recoltați din verticilele superioare ale molizilor. Cercetările s-au întreprins în intervalele 25.V–3.VI, 20–27.VI, 1–15.VIII și 20–25.IX.1958. Pentru măsurători s-au ales trei categorii de arbori, și anume: molizi cu coroană aproape nevătămată, molizi cu 1/2 din coroană defoliată și molizi cu coroană aproape complet defoliată, dar încă în viață. De la acești arbori s-au recoltat lujeri anuali cu ace cît mai nevătămate. La începutul lunii iunie s-a măsurat transpirația la molizii în vîrstă de 28–30 de ani dintr-o pășune împădurită apropiată de parcela rezervată; în celelalte intervale măsurările s-au făcut la molizi în vîrstă de 80 de ani, cu diametrul la 1,30 m de la sol de 30–35 cm și înălțimea de 30–35 m. Molizii de dimensiuni mari aleși pentru experimentare au fost doborâti spre a se recolta lujerii necesari măsurătorilor.

La data de 3.VI intensitatea de transpirație s-a determinat la lujerii de doi ani, întrucît lujerii anuali nu erau încă formați. La celelalte măsurători intensitatea de transpirație s-a determinat la lujerii anuali.

Măsurările făcute au arătat că se obțin date valabile asupra intensității de transpirație a acelor, dacă se folosesc lujeri tăiați în primele 15 minute după doborârea arborilor, iar doborârea se execută în scurt timp. În fiecare interval de timp, măsurările s-au făcut concomitent atât la molizii defoliați cît și la cei nedefoliați, așa încît datele să poată fi comparabile.

Intensitatea de transpirație a avut următoarele variații la molizii cercetați:

a) La începutul lunii iunie vremea a fost schimbătoare. Numai în ziua de 3.VI timpul a fost cald și senin, favorabil măsurătorilor. Arborii se aflau în faza de pornire a mugurilor.

La arborii nedefoliați variația zilnică a transpirației are un mers regulat în funcție de temperatura și umiditatea aerului (fig. 1), fiind mai ridicată în orele de dimineață decît în cele de după amiază; maximul de intensitate este atins între orele 12 și 13. La arborii defoliați intensitatea transpirației este maximă în cursul dimineții între orele 9 și 10, după care scade treptat către orele de seară cu unele oscilații, care nu influențează alura generală a curbei.

Datele obținute ne arată că în tot timpul zilei molizii defoliați transpiră mai intens decît cei nedefoliați; cele mai mari diferențe sunt în orele de dimineață (59%), după care valorile se apropiu treptat (23%). Valoarea medie a intensității de transpirație la arborii defoliați este cu 45% mai

mare decît la cei nedefoliați (tabelul nr. 1, a). Accentuăm că în acest caz s-a măsurat transpirația acelor de 1–2 ani, așa cum s-a arătat mai înainte.

b) Către sfîrșitul lunii iunie s-au repetat măsurările după ce lujerii din anul curent au atins aproape lungimea definitivă. În tabelul nr. 1, b se prezintă rezultatele măsurătorilor din 27.VI, zi în care vremea

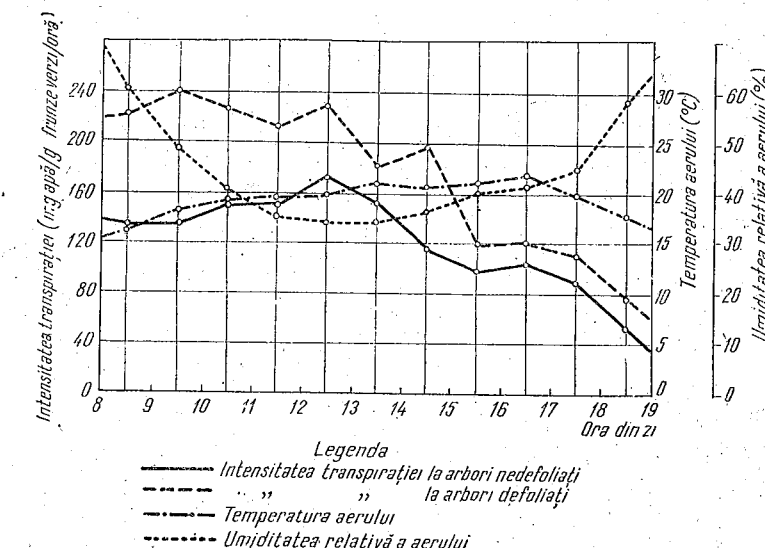


Fig. 1. — Variația intensității de transpirație la molid în cursul unei zile, la 3.VI.1958 și variația factorilor meteorologici.

a fost stabilă dar cu cerul acoperit; în restul zilelor din acest interval timpul a fost nefavorabil cercetărilor.

Datorită cerului înnorat, valorile intensității de transpirație sunt mai reduse și din această cauză și diferențele dintre valorile de la arborii defoliați și nedefoliați sunt mici. Totuși intensitatea de transpirație la arborii defoliați este mai mare decît la cei nedefoliați, în medie cu 18% (tabelul nr. 1, b). Si în acest caz cele mai mari diferențe se constată în cursul orelor de dimineață, ajungîndu-se la o egalizare înspre orele de seară.

c) Dintre măsurările făcute în luna august, au dat rezultate concluzante cele din ziua de 12.VIII, cînd timpul a fost senin și cald. Cu toate că temperatura a fost mai coborâtă decît la ultima măsurătoare din iunie, totuși valorile intensității de transpirație au fost mari, ziua fiind senină și aerul mai uscat. În aceste condiții diferențele de intensitate a transpirației dintre arborii nedefoliați și defoliați sunt accentuate. Ca și în cazurile precedente cele mai mari diferențe se înregistrează în orele de dimineață, după care acestea scad destul de repede ajungîndu-se după amiază la o egalare a valorilor intensității de transpirație. În medie diferențele zilnice între intensitatea de transpirație la molizii defoliați și nedefoliați sunt de 42% (tabelul nr. 1, c).

d) La sfîrșitul perioadei de vegetație, se prezintă rezultatele măsurătorilor din ziua de 30.IX, cînd timpul a fost senin, răcoros și aerul uscat.

În asemenea condiții intensitatea de transpirație a fost foarte ridicată.

Rezultatele obținute sunt asemănătoare, în linii generale, cu cele obținute la datele anterioare. La arborii nefoliați, intensitatea transpirației scade treptat de la prînz pînă după amiază. La arborii defoliați intensitatea transpirației se menține ridicată pe un interval mai mare de timp din cursul zilei. În medie se constată sporirea intensității transpirației cu 87% la molizii defoliați față de cei nefoliați (tabelul nr. 1, d).

e) Experiența a arătat că se pot urmări diferențele intensității de transpirație dintre molizii defoliați și nefoliați în decursul a 20–25 de minute de la tăierea lor. În acest interval de timp măsurătorile s-au făcut din 5 în 5 minute și rezultatele sunt prezentate în figura 2. Se vede că în acest interval, în general, arborii defoliați continuă să aibă o intensitate de transpirație mai mare decît cei nefoliați. Se mai constată că, după trecerea a 20 de minute de la tăierea lujerilor, de regulă, diferențele dintre arborii nefoliați și defoliați se accentuează.

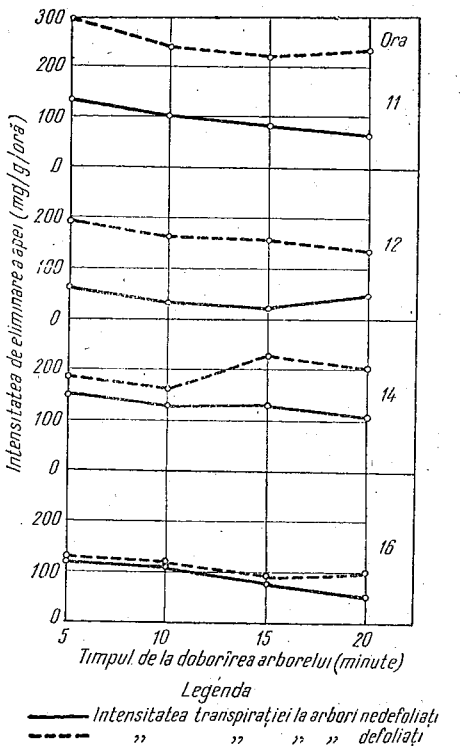


Fig. 2. – Variația intensității de transpirație la molid în decurs de 20 minute de la doborârea arborilor.

Tabelul nr. 1

Intensitatea transpirației în mg apă la 1 g ace verzi (lujeri verzi), pe oră, la molizii defoliați de *Lymnantria monacha* și la cei nefoliați

| Ora | Transpirația arborilor | | Raportul transpirația arbori defoliați/nefoliați | | Elemente meteorologice | | |
|--------------|------------------------|-----------|--|-------------|------------------------|--------------|---|
| | nedefoliați | defoliați | valoarea relativă % | diferența % | temperatura °C | umiditatea % | tărâia vîntului și luminozitatea |
| a. 3.VI.1958 | | | | | | | |
| 8–12 | 144 | 229 | 159 | 59 | 18,1 | 46 | vînt slab cu adieri temporare; cer senin, cu slabă înnorare |
| 12–15 | 146 | 204 | 140 | 40 | 20,5 | 35 | |
| 15–19 | 88 | 108 | 123 | 23 | 17,5 | 46 | |
| Media | 123 | 178 | 145 | 45 | 19,4 | 43 | |

Tabelul nr. 1 (continuare)

| Ora | Transpirația arborilor | | Raportul transpirația arbori defoliați/nefoliați | | Elemente meteorologice | | |
|-----------------|------------------------|-----------|--|-------------|------------------------|--------------|---|
| | nedefoliați | defoliați | valoarea relativă % | diferența % | temperatura °C | umiditatea % | tărâia vîntului și luminozitatea |
| b. 27.VI.1958 | | | | | | | |
| 10–12 | 54 | 64 | 119 | 19 | 20,5 | 60 | vînt slab; cerul acoperit cu nori alburii de mare înălțime |
| 12–15 | 58 | 76 | 131 | 31 | 22,6 | 75 | |
| 15–18 | 42 | 41 | 98 | 2 | 21,5 | 62 | |
| Media | 51 | 118 | 118 | 18 | 21,7 | 66 | |
| c. 12.VIII.1958 | | | | | | | |
| 11–12 | 132 | 298 | 226 | 126 | 19,8 | 57 | vînt potrivit, cu adieri reci; cer senin, cu înnorare de scurtă durată, soarele a strălucit |
| 12–15 | 149 | 190 | 128 | 28 | 20,5 | 53 | |
| 15–16 | 118 | 120 | 102 | 2 | 20,8 | 51 | |
| Media | 140 | 198 | 142 | 42 | 20,4 | 53 | |
| d. 30.IX.1958 | | | | | | | |
| 11–12 | 169 | 278 | 164 | 64 | 17,8 | 25 | |
| 12–15 | 117 | 268 | 228 | 128 | 15,8 | 29 | |
| 15–16 | 112 | 100 | 89 | 11 | 12,8 | 47 | |
| Media | 126 | 236 | 187 | 87 | 15,6 | 32 | |

CONCLUZII

Din observațiile și măsurătorile făcute se pot trage următoarele concluzii :

1. Molizii, neavînd proprietatea de a produce în masă lujeri de refacere, după o defolieră intensă se usucă într-o proporție mare.
2. Procesul de refacere a coroanei, de regulă, începe în primăvara următoare defolierii, o dată cu pornirea mugurilor și formarea de noi lujeri; în unele cazuri acest proces poate începe și în anul defolierii, cînd în urma pierderii timpurii a unei mari mase de ace se produce o stimulare a dezvoltării mugurilor rămași primăvara în stare dormindă.
3. Ramurile mai rămîn în viață, dacă păstrează un număr redus de ace, suficient pentru a sintetiza pre-hormonii necesari pornirii mugurilor.
4. Molizii rezistă la uscare totală după defolieră atît timp cît mai păstrează ramuri în viață. Aceste ramuri pot întreține mișcarea ascendentă a apei pînă la nivelul ramurilor verzi, de la care nivel în sus tulipa se usucă.
5. În perioada de refacere a coroanei, molizii defoliati au o vegetație puțin activă și din această cauză sunt ușor atacați de gîndaciile de scoartă.
6. Molizii defoliați de *Lymnantria monacha* L. prezintă uscări neregulate ale coroanei spre deosebire de gîndaciile de scoartă care usucă coroana arborilor atacați de la vîrf către bază.

7. Intensitatea de transpirație a molizilor defoliați de omizi este mai mare decât a celor nedefoliați, în tot timpul perioadei de vegetație, aşa cum rezultă din sondajele făcute în iunie, august și septembrie 1958. Aceasta se poate atribui, la lujerii din 1957, faptului că o parte din ace fiind retezate pierd intens apă prin evaporația din răni. Chiar la acele nevătămate, cum au arătat măsurătorile făcute la lujerii din 1958, valorile intensității de transpirație se mențin de asemenea mai mari la molizii defoliați, față de cei nedefoliați. Prin urmare, reducerea aparatului foliaciu la arborii defoliați imprimă acelor rămase în viață însușirea de a transpira mai puternic. La aceasta contribuie faptul că acele fiind mai rare beneficiază de mai multă lumină și căldură și deci implicit transpiră și mai puternic. Pe lîngă aceasta, însușirea de a transpira mai intens se datorează în principal slăbirii vitalității arborilor aşa cum s-a constatat în cazuri similare la pin (4).

8. În timpul procesului de defoliere (fig. 2), aşa cum s-a arătat și la pinul negru (5) intensitatea de transpirație a lujerilor de la arborii defoliați se menține superioară celei a lujerilor de la arborii nedefoliați. Deci metoda ofilirii poate da un test pentru aprecierea vitalității și la molid, pe baza căreia să se stabilească, care sunt exemplarele debilitate de defoliere ce pot rămâne sau trebuie să fie extrase din masiv.

9. În cursul zilei, cele mai mari diferențe de transpirație se înregistrează în orele de dimineață, de cînd încep să scadă treptat către seară.

10. Măsurătorile asupra vitezei de ridicare a sevei au arătat că aceasta scade cu reducerea aparatului foliaciu. Mărarea intensității transpirației acelor este un factor al rezistenței arborilor defoliați la uscare. Cercetările anterioare ne-au arătat că la arborii defoliați viteza de circulație a apei scade în raport cu micșorarea aparatului foliaciu, și deci micșorează rezistența la uscare a arborilor defoliați. Aceasta înseamnă că menținerea în viață a arborilor defoliați este posibilă numai cînd transpirația acelor este în concordanță cu aprovisionarea lor cu apă, de care ne dăm seama măsurînd viteza de circulație a apei.

11. Sporirea transpirației la arborii defoliați contribuie la mărirea rezistenței lor la uscare și poate asigura o aprovisionare cu apă, chiar cu un aparat foliaciu redus.

ИЗУЧЕНИЕ ПРОЦЕССА ВОССТАНОВЛЕНИЯ КРОНЫ И ИНТЕНСИВНОСТИ ТРАНСПИРАЦИИ У ПОВРЕЖДЕННЫХ МОНАШЕНКОЙ (*LYMANTRIA MONACHA* L.) ЕЛЕЙ

РЕЗЮМЕ

В работе показаны некоторые особенности явления восстановления кроны у елей, подвергнувшихся дефольяции монашенкой (*Lymantria monacha* L.). Из сделанных наблюдений особенно интересно то, что остаются живыми ветки, у которых сохранилась известная

пропорция живой хвои, обеспечивающая синтез гормонов, необходимых для образования почек на соответствующей ветви. Отмечается также появление в течение мая месяца добавочных образований, которые можно считать побегами восстановления. В течение июня, августа и сентября производилось сравнительное измерение интенсивности транспирации как у деревьев лишенных хвои, так и у пострадавших деревьев. Эти измерения показали, что у подвергшихся дефольяции елей транспирация интенсивнее, чем у деревьев ее сохранивших. Это происходит не только вследствие того, что часть хвои срезана и, следовательно, имеет место потеря влаги через образовавшиеся поражения, но и вследствие того, что у неповрежденной хвои годичных побегов интенсивность транспирации в среднем на 18—87% выше.

Эта реакция хвои деревьев, подвергшихся дефольяции, является фактором устойчивости последних к засыханию при потере хвои. Установление жизнеспособности лишенных хвои деревьев возможно путем измерения интенсивности транспирации во время увидания отделенных от дерева годичных побегов, как то было уже показано ранее на примере черной сосны (5).

ОБЪЯСНЕНИЕ РИСУНКОВ

Рис. 1. — Колебание интенсивности транспирации у ели в течение дня 3.VI. 1958 г. и вариация метеорологических факторов.

Рис. 2. — Колебание интенсивности транспирации у ели в течение 20-минутного промежутка времени с момента валки деревьев.

RECHERCHES SUR LE PROCESSUS DE RESTITUTION DE LA COURONNE ET SUR L'INTENSITÉ DE LA TRANSPiration DES ÉPICÉAS ATTAQUÉS PAR *LYMANTRIA MONACHA* L.

RÉSUMÉ

L'auteur relève, dans ce travail, quelques aspects du phénomène de restitution de la couronne des épicéas défeuillés par les Chenilles de *Lymantria monacha* L. Il est particulièrement intéressant de noter que les seuls axes qui restent en vie sont ceux qui conservent une certaine proportion d'aiguilles pouvant assurer la synthèse des hormones nécessaires à la formation des aiguilles sur ces mêmes axes. En cas de défeuillaison intense, un fait à signaler est la formation, au cours du mois de mai, de pousses annuelles supplémentaires issues de bourgeons normaux, que l'on peut considérer homologues aux pousses de restitution. La transpiration des épicéas défeuillés a été déterminée, comparativement à celle des arbres non défeuillés, au cours des mois de juin, août et septembre.

Il en est ressorti que, chez les épicéas défeuillés, la transpiration est plus intense que chez les sujets au feuillage indemne. Ceci est dû non seulement au fait qu'ils perdent plus d'eau par les plaies formées par les aiguilles tranchées, mais aussi à l'intensité accrue de la transpiration (de 18 à 87% en moyenne) des aiguilles saines restées sur les pousses annuelles.

Cette réaction des aiguilles des épicéas défeuillés est un facteur de la résistance au dessèchement des arbres après défeuillaison. Pour établir la vitalité des arbres défeuillés, il suffit de mesurer l'intensité de la transpiration pendant le flétrissement des pousses détachées (ainsi que cela a été indiqué pour le pin noir) (5).

EXPLICATION DES FIGURES

Fig. 1. — Variations de l'intensité de la transpiration de l'épicéa au cours d'une journée, le 3.6.1958, et variation des facteurs météorologiques.

Fig. 2. — Variations de l'intensité de la transpiration de l'épicéa au cours des 20 premières minutes après le détachement des pousses annuelles.

BIBLIOGRAFIE

1. ARLAND ANTON, *Die Transpirationsintensität der Pflanzen als Grundlage der Ermittlung optimaler acker- und pflanzenbaulicher Kulturmassnahmen*, Berlin, 1952.
2. CIUPERCA M., *Aspecte ale atacului insectei Lymantria monacha L. în raza ocolului Broșteni*, Rev. pădurilor, 1958, 3.
3. ENE M., *Observații asupra reapariției în masă și a atacurilor insectei Oceneria monacha L.*, Rev. pădurilor, 1958, 5.
4. GEORGESCU C. C. și colab., *Contribuții la studiul mersului normal și patologic al transpirației, ofilirii și umidității luierilor tăiașii la pinul negru, sănătos și vătămat*, Bul. științ. Acad. R.P.R., Secția de biologie și științe agricole, 1956, VIII, 4, 739—753.
5. GEORGESCU C. C. și colab., *Contribuții la studiul circulației sevei la pinul negru sănătos și în curs de uscare*, Bul. științ. Acad. R.P.R., Secția de biologie și științe agricole, Seria botanică, 1957, IX, 2, 87—103.
6. GRÄBLER H., *Considerații în legătură cu apariția nonei (Lymantria monacha L.) în Carpații răsăriteni*, Rev. pădurilor, 1958, 6, 318—321.
7. HUBER BRUNO, *Zur Methodik der Transpirationsbestimmung am Standort*, Berichte der Deutsche Bot. Gesellschaft, 1927, 45, 611.
8. POPESCU-ZELETIN I., *Cercetări privind evoluția arborilor defoliați de Lymantria monacha L.*, Stud. și cercet. biol., Seria biol. veget., 1961, XIII, 3.
9. РОДИОНОВ М., *О методах определения интенсивности транспирации у древесных пород*, Ботанический журнал, 1955, 40, 1.
10. СТЕФАНОВ Б., *Определение на дневния ход интензивности на транспирация*, София, 1955.

CERCETĂRI PRIVIND STRUCTURA ȘI DINAMICA CRESTERII RADIALE ÎN PERIOADA DE VEGETAȚIE LA ARBORETE DE *POPULUS × EURAMERICANA* (DODE) GUINIER (CV. 'MARILANDICA')

DE

I. POPESCU-ZELETIN

MEMBRU CORESPONDENT AL ACADEMIEI R.P.R.

V. G. MOCANU și S. PUIU

Comunicare prezentată în ședința din 25 aprilie 1961

Din seria cercetărilor noastre privind dinamica creșterii radiale în perioada de vegetație la speciile lemnoase (ca fenomen de masă) prezentăm în această lucrare rezultatele obținute la o fitocenoză artificială cu *Populus × euramericanus* (Dode) Guinier, cv. 'marilandica'.

Datorită creșterii lor exceptionale, popii euramericanii (hibrizi naturali și de cultură între speciile din secția *Aigeiros* Duby, cunoscute la noi sub denumirea generică de „popii negri hibrizi”) au fost cultivate, în ultimii 20—30 de ani, pe întinderi din ce în ce mai mari, mai ales în țările cu producții de lemn deficitare (Italia, Franța, Spania, Anglia, Olanda și.a.). În R.P.R., deși au fost introduse în culturi silvice cu circa 40 de ani în urmă, abia în ultimii 10—12 ani plantarea lor s-a extins (circa 25 000 ha). În 1965, conform Directivelor Congresului al III-lea P.M.R., se va ajunge la o suprafață împădurită de circa 50 000 ha, care va asigura o producție anuală susținută de peste 1 000 000 m³.

Cercetările anterioare din alte țări (13) și de la noi stimulate de importanța economică deosebită a acestor hibrizi, au adus importante contribuții privind: sistematica, ecologia, selecția, cultura, protecția, productivitatea și calitățile lemnului. Nu s-a studiat încă dinamica creșterii radiale în perioada de vegetație, ca fenomen de masă, la diferențele categorii biologice de arbori, din lipsa unei aparaturi adecvate. Puținele cunoștințe existente, referitoare numai la durata procesului de creștere, se bazează exclusiv pe observații fenologice, care redau numai în parte desfășurarea acestui proces.

Faptul că arboretele de plopi negri hibrizi, rezultate din plantații în dispozitiv strâns și dezvoltate în mod natural (fără intervenții silviculturale) cuprind întreaga gamă de categorii biologice de arbori,



Fig. 1. — Aspect din suprafața de cercetare; arborii cu inclinare generală spre SV.

ne-a determinat să efectuăm cercetările într-un asemenea arboret (cv. 'marilandica') de vîrstă mijlocie, situat în lunca de la confluența rîurilor Argeș și Dâmbovița (subparcela 32a, UP II Mitreni—Herești, Ocolul silvic Mitreni, amenajat în 1954—r. Oltenița).

Arboretul este instalat pe o terasă, anual și de scurtă durată inundabilă, cu sol de luncă aluvionar, nisipo-lutos, profund, cu apă freatică la circa 0,85 m adâncime (în luna octombrie). Pătura ierbacee este formată din graminee și *Rubus caesius* L., uniform răspândită, ocupând circa 20% din suprafață. Temperatura medie anuală: $10,8^{\circ}$; precipitații medii anuale 572 mm; vînturi dominante din sectorul NE (date climatice de la Stațiunea meteorologică Budești — situată la circa 1 km distanță).

Arboretul provine dintr-o plantație efectuată în 1950 în dis-

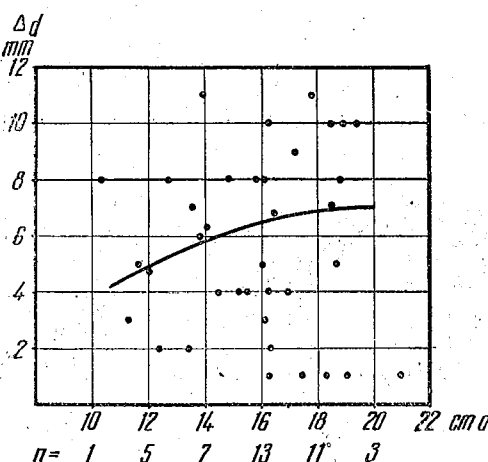


Fig. 2. — Variația excentricității tulpinilor în secțiune transversală la 1,30 m de la sol.

pozitiv strâns (2/2 m cu puieți din butași, completată în 1951 și 1952). El avea la începutul cercetărilor (martie 1959) următoarele caracteristici biometrice principale: număr de arbori la ha = 1 776; diametrul mediu = 16,4 m; înălțimea medie = 17,9 m; clasa de producție = I₇; densitatea = 1,28 și volum mediu la ha = 269 m³ (tabelele nr. 1 și 3).

Datorită vînturilor dominante de la NE arborii au o înclinare generală spre SV (fig. 1), distanța medie dintre proiecția vîrfului și baza

Tabelul nr. 1
Numărul de arbori pe categorii de diametre și înălțimi

| Categorie de înălțimi | Numărul de arbori pe categorii de diametre | | | | | | | Total nr. | % |
|-----------------------|--|------|------|------|------|------|-----|-----------|-------|
| | 10 | 12 | 14 | 16 | 18 | 20 | 22 | | |
| 14 | 4 | 4 | 8 | 1 | — | — | — | 17 | 5,6 |
| 16 | — | 23 | 13 | 22 | 14 | 1 | 1 | 74 | 24,3 |
| 18 | — | 16 | 23 | 41 | 52 | 28 | 4 | 164 | 54,0 |
| 20 | — | — | — | 5 | 25 | 15 | 4 | 49 | 16,1 |
| Total nr. | 4 | 43 | 44 | 69 | 91 | 44 | 9 | 304 | 100,0 |
| % | 1,3 | 14,3 | 14,5 | 22,6 | 29,8 | 14,5 | 3,0 | 100,0 | — |

tulpinii fiind de 1,50 m. Din cauza acestei înclinații tulpinile au secțiuni eliptice, mai accentuate la arborii groși (fig. 2), fenomen semnalat de altfel anterior (6). Partea superioară a tulpinilor prezintă curburi mai mult sau mai puțin accentuate către goulurile apărute în arboret prin eliminarea naturală a arborilor vecini.

METODA DE CERCETARE

În partea cea mai reprezentativă a arboretului, din punctul de vedere al structurii lui, s-a delimitat o suprafață de cercetare de 1 692 m², cuprinzând 304 arbori (fig. 3), la care s-au determinat diametrele de bază și înălțimile totale. La 124 de exemplare s-au măsurat și înălțimile elagate, iar la 42 dintre acestea — din două rînduri alăturate (fig. 3, profilul A—B) — s-au făcut observații asupra formei coroanelor în proiecție orizontală, pe baza unei serii de fotografii, luate din 2 în 2 m de la nivelul solului (fig. 4 și 5).

Pentru cunoașterea variației creșterilor radiale anuale s-au luat probe cu burghiu Pressler (pfnă la măduvă) de la 51 de arbori, cîte 1—4 exemplare din fiecare categorie de diametre (de 2 cm) și de înălțimi (de 2 m). După aceste probe s-a determinat lățimea inelelor anuale (cu stereomicroscopul MBS.1).

La toți arborii din suprafața de cercetare s-au determinat creșterile radiale (pe partea de vest a tulpinilor, la înălțimea de 1,30 m de la sol) după metoda auxometrului comparator (8), în 18 intervale de timp între 27.III și 30.X.1959, cu o eroare medie de $\pm 0,03$ mm.

Precizarea variabilității și determinarea dependenței dintre unele caracteristici biometrice a impus folosirea calculului statistic.

REZULTATE

1. Structura arboretului

Auxologia forestieră consideră arboretul ca o unitate ecologică de vegetație lemnoasă, care se delimitizează în mod natural de cele vecine, avînd: același condiții stationale, același mod de asociere a speciilor și aceeași din-

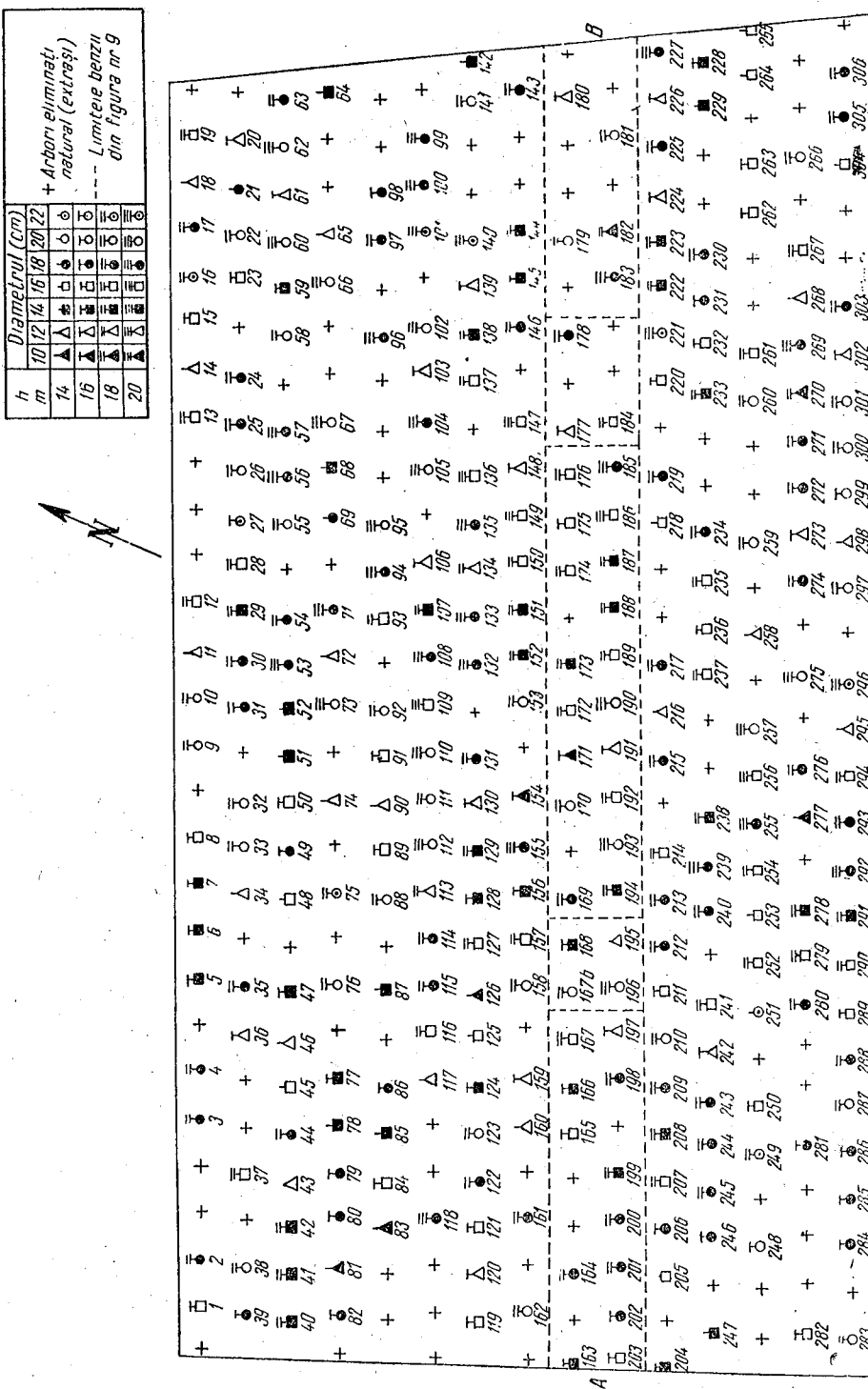


Fig. 3. - Distribuția arborilor în suprafața de cercetare în 1959.

mică a creșterilor (12). Fiecare arboret are o structură proprie, definită de principalele lui caracteristici morfologice: componența, distribuția, dezvol-

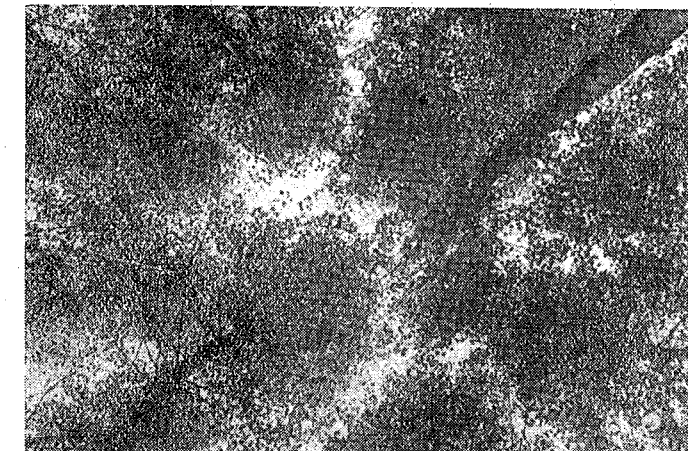


Fig. 4. - Închiderea coroanelor într-o porțiune fără arbori elminati natural (a se vedea fig. 9, arb. nr. 167 b, 168, 195 și 196).

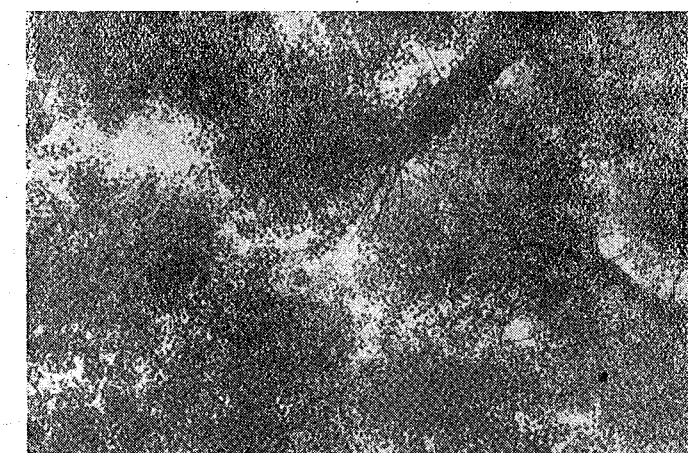


Fig. 5. - Închiderea coroanelor într-o porțiune cu arbori elminati natural (a se vedea fig. 9, arb. nr. 177, 178 și 184).

tarea (în sens biometric), stratificarea și desimea. În cele ce urmează vom analiza structura arboretului cercetat în raport cu aceste caracteristici.

Arboretul cercetat fiind populat numai cu cv. 'marilandica' și provenind dintr-o plantație este pur și echien.

Sub acțiunea procesului de eliminare naturală (intervenit după realizarea stării de masiv, la vîrstă de 3–4 ani) distribuția arborilor din suprafața de cercetare și din restul arboretului, inițial regulată ($2/2 m$), s-a modificat treptat. La data începerii cercetărilor numărul de exemplare la ar (stabilit prin procedeul selectiei întâmplătoare repetată) varia între 13 și 24, numărul mediu fiind 18,8 (coeficient de variație $CV = 16,67\%$). Spațiul individual de nutriție a variat între $4,2$ și $7,7 m^2$ (în medie $5,3 m^2$).

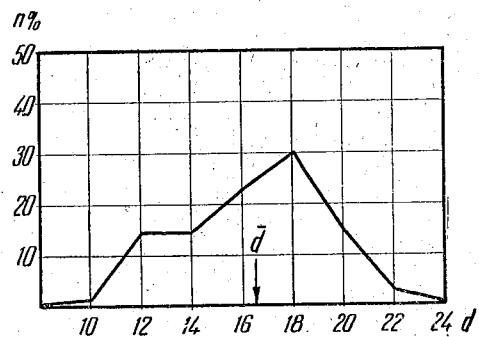


Fig. 6. — Frecvența numărului de arbori pe categorii de diametre.

număr de arbori în categoriile de diametre inferioare, acumulare datorită căreia diametrul mediu este mai mic decât diametrul modul. Amplitu-

Tabelul nr. 2

Indicatori sintetici ai unor caracteristici biometrice ale arboretului

| Caracteristici | Volum. carac- teristicii | Valori | | | σ | CV % |
|-----------------------------------|-----------------------------|---------|--------|-------|----------|-------|
| | | miniime | maxime | medii | | |
| a) Număr arbori la ar (exemplare) | 49 | 13 | 24 | 18,78 | 2,38 | 16,67 |
| b) Grosimea arborilor (cm) | | | | | | |
| — la $h = 14$ m | 17 | 10 | 16 | 13,54 | 1,24 | 9,16 |
| — la $h = 16$ m | 74 | 12 | 22 | 14,92 | 2,67 | 17,89 |
| — la $h = 18$ m | 164 | 12 | 22 | 16,80 | 2,80 | 16,66 |
| — la $h = 20$ m | 49 | 16 | 22 | 18,73 | 1,71 | 9,12 |
| — la $h = 14\dots 20$ m | 304 | 10 | 22 | 16,42 | 2,81 | 17,11 |
| c) Înălțimea totală (m) | | | | | | |
| — la $d_b = 10$ cm | 4 | 14 | 14 | 14 | — | — |
| — la $d_b = 12$ cm | 43 | 14 | 18 | 16,56 | 1,36 | 8,21 |
| — la $d_b = 14$ cm | 44 | 14 | 18 | 16,68 | 1,68 | 10,07 |
| — la $d_b = 16$ cm | 69 | 14 | 20 | 17,45 | 1,34 | 7,68 |
| — la $d_b = 18$ cm | 91 | 16 | 20 | 18,24 | 1,31 | 7,18 |
| — la $d_b = 20$ cm | 44 | 16 | 20 | 18,64 | 1,21 | 6,49 |
| — la $d_b = 22$ cm | 9 | 16 | 20 | 18,67 | 1,49 | 7,98 |
| — la $d_b = 10\dots 22$ cm | 304 | 14 | 20 | 17,60 | 1,59 | 9,03 |
| d) Înălțimea elagată (m) | 124 | 9 | 14 | 11,65 | 1,20 | 10,30 |
| e) Înălțimea coroanelor (m) | 122 | 2 | 11 | 6,00 | 1,58 | 26,33 |

dinea de variație a grosimilor, exprimată în mod obișnuit prin raportul dintre diametrele extreme (minim = \bar{d} ; maxim = \hat{d}) și cel mediu (\bar{d})

$$\frac{\hat{d}}{\bar{d}} = 0,62; \quad \frac{\bar{d}}{\hat{d}} = 1,43,$$

se înscrie între valorile limită stabilite în mod empiric pentru arboretele cultivate ($0,50 - 1,70$). Variabilitatea grosimii arborilor dominantii ($h = 18$ m) și codominanții ($h = 16$ m) este sensibil egală cu variabilitatea diametrelor din întregul arboret (și cu cea a repartiției lor) și aproape de două ori mai mare decât variabilitatea arborilor predominantii ($h = 20$ m) și dominați ($h = 14$ m) (tabelul nr. 2).

La rîndul lor înălțimile arborilor variază între $12,4$ și $20,9$ m ($h = 17,6$ m). Si în acest caz poligonul de frecvențe (fig. 7) prezintă o asimetrie negativă, însă mai puțin pronunțată. Amplitudinea de variație, exprimată în același mod ca la grosimi:

$$\frac{\hat{h}}{h} = 0,71; \quad \frac{h}{\hat{h}} = 1,19,$$

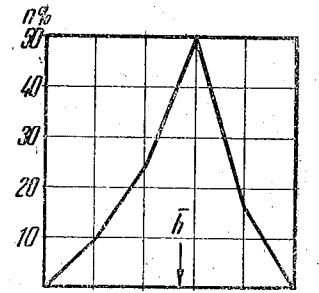


Fig. 7. — Frecvența numărului de arbori pe categorii de înălțimi.

se menține de asemenea în limitele stabilite pentru arboretele cultivate ($0,70 - 1,20$), cu toate că din cauza evoluției lui naturale arborelul are o însemnată trenă cu arbori subțiri pe cale de a fi eliminate natural. Variabilitatea înălțimilor diferă relativ puțin de la o categorie de diametre la alta în comparație cu cea a grosimilor (tabelul nr. 2). Pe categorii de diametre înălțimile variază destul de strîns, după o curbă parabolică (fig. 8) a cărei ecuație este :

$$h = \frac{d^2}{0,033 - 0,001 d + 0,0005 d^2}$$

În arborelul cercetat coroanele arborilor formează un strat continu (fig. 7). Chiar în locurile din care s-au eliminate natural (28% din numărul total inițial) stratul este neîntrerupt (fig. 4 și 5), datorită plasticității fototropice a hibridului, evidentă prin curbarea spre lumină a părții superioare a tulipinilor. Grosimea acestui strat, considerată în raport cu diferența dintre înălțimile arborilor predominantii și înălțimile elagate ale celor dominați este în mediu de $11,6$ m (53% din înălțimi maxime). În cadrul acestui strat coroanele se dispun în raport cu înălțimile arborilor, întîlnindu-se cazuri de tangență și chiar interferență marginală în plan orizontal și de suprapunerile parțiale în plan vertical (fig. 4, 5 și 9). Între variația înălțimii coroanelor (hc) și variația înălțimii

totale a arborilor (h) există o corelație destul de strânsă ($r = 0,720$), ecuația dreptei de regresie corespunzătoare (fig. 10) fiind :

$$hc = 0,71 h - 6,71.$$

Prin faptul că arboretul a evoluat în mod natural, și că indicele de desime este de 1,24 și indicii de suprafață de bază și de volum au aceeași

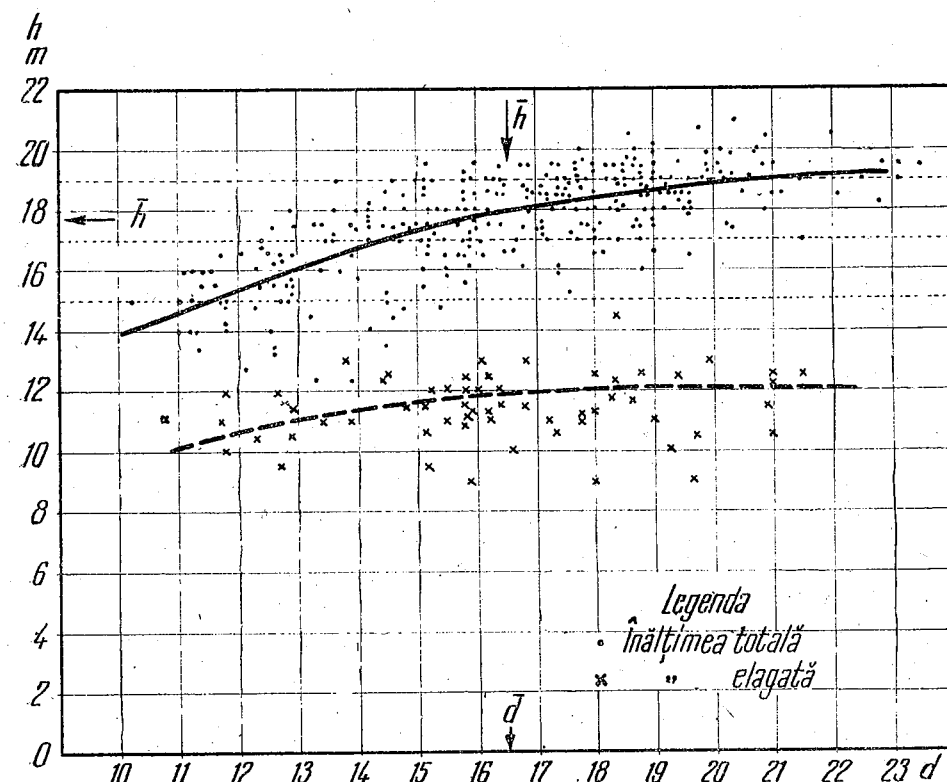


Fig. 8. — Variația înălțimilor totale și elagate pe categorii de diametre.

valoare de 1,28 (tabelul nr. 3) se poate conchide că, la vîrstă și în condițiile staționale date, arboretul este expresia maximului posibil de populare.

Densițății supraunitare îi corespund un surplus de volum la ha de $59 m^3$ la arboretul principal, surplus egal cu suma produselor secundare dată în tabelul de producție (tabelul nr. 3). Dacă se ia în considerare și volumul arborilor eliminați natural rezultă că arboretul a produs o masă lemnosă totală mai mare decât producția medie a arborelor cultural conduse, de aceeași vîrstă și clasă de producție, nu numai în primii ani (13), ci chiar la vîrstă de 10 ani.

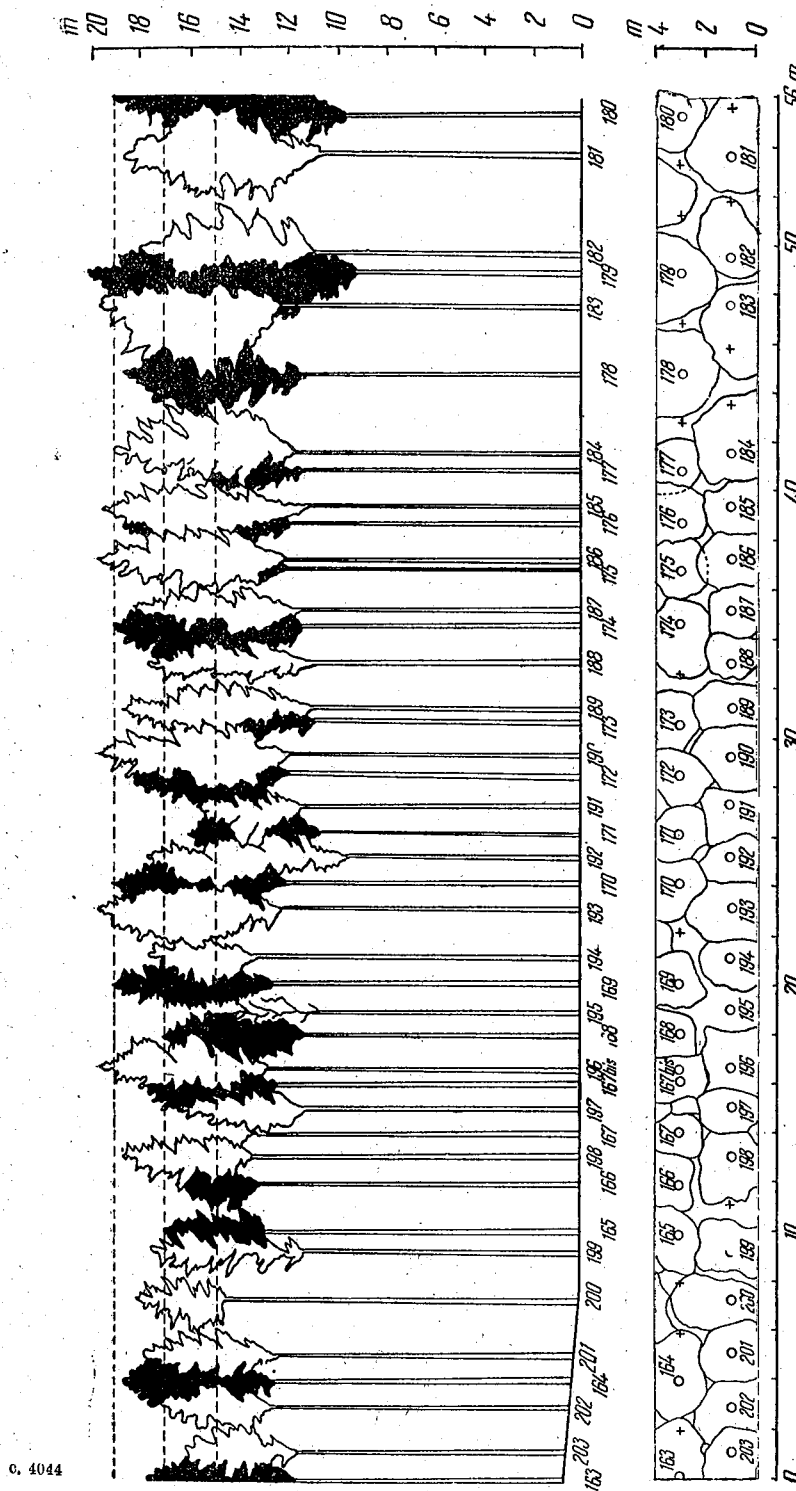


Fig. 9. — Vederea în plan și în elevație a două rânduri de arbori (a se vedea fig. 3).

Tabelul nr. 3
Valorile medii ale unor caracteristici biometrice, la arborete cultivate (normale) și la cel cercetat

| Specificări (clasa de producție I ₇) * | Valori medii la ha | | | | | | |
|--|---------------------|-----------------|--------------------|-----------|--------------------|------------------------|-------------------|
| | \bar{N} arbori | \bar{D} cm | \bar{G} m^2 | \bar{F} | \bar{V} m^3 | $\frac{V}{t}$ m^3 | $V + V'$ m^3 |
| Arboret cultivat (normal) | 1 478 | 16,8 | 30,8 | 0,380 | 210 | 21,0 | $210 + 60 = 270$ |
| Arboret evoluat natural (cercetat) | 1 796 | 16,4 | 39,1 | 0,385 | 269 | 26,9 | $269 + ?$ |
| ± | +318 | -0,4 | +8,3 | - | +59 | +5,9 | + ? |
| Indici | 1,24 | - | 1,28 | - | 1,28 | - | - |

Notă. \bar{N} = număr arbori; \bar{D} = diametrul mediu; \bar{G} = suprafața de bază medie; \bar{F} = coeficientul de formă mediu; \bar{V} = volumul mediu; $\frac{V}{t}$ = creșterea medie și V' = volumul produselor secundare.

* După tabelele de producție românești (S. Armășescu și al.).

2. Creșterea radială

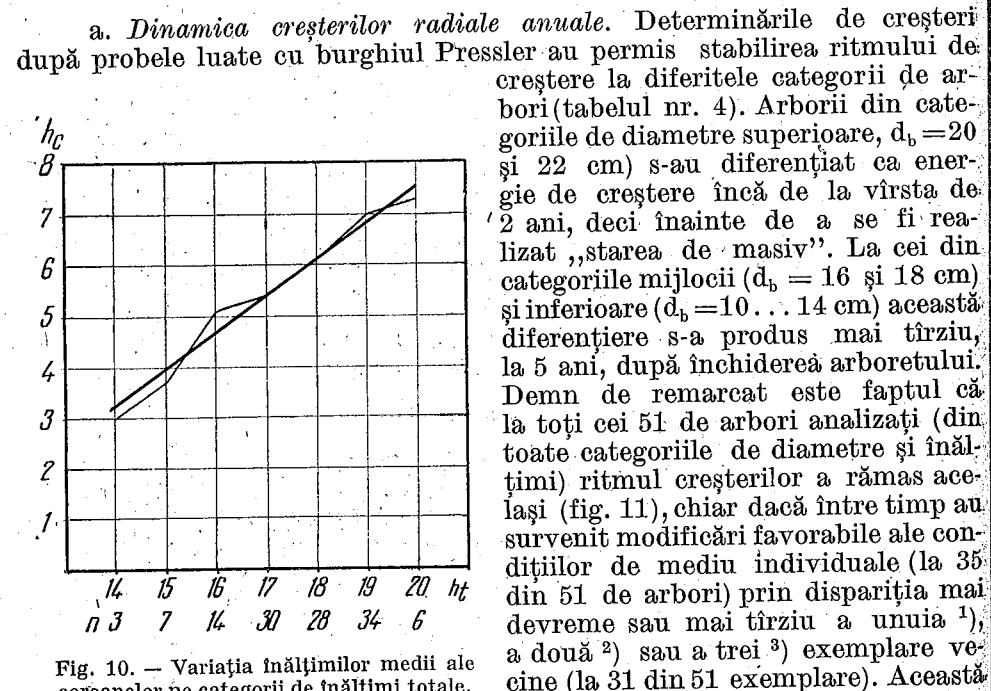


Fig. 10. - Variația înălțimilor medii ale coroanelor pe categorii de înălțimi totale.

¹⁾ La arborii nr. : 23, 38, 46, 48, 57, 97, 101, 102, 136, 140, 141, 143, 144, 145, 177, 221, 225, 229, 249, 251, 280, 296 și 297 (fig. 3).

²⁾ La arborii nr. : 28, 36, 67, 74, 98, 120, 229 și 284 (fig. 3).

³⁾ La arborii nr. : 58, 99, 247 și 248 (fig. 3).

constatare pune în evidență capacitatea redusă a hibridului de a reacționa prin creșteri sporite de îndată ce spațiul de nutriție a crescut și suprafața luminată a coroanei s-a mărit. Ea apare ca o caracteristică specifică hibridului dacă o raportăm la constatarea anterioară că... „,facultatea

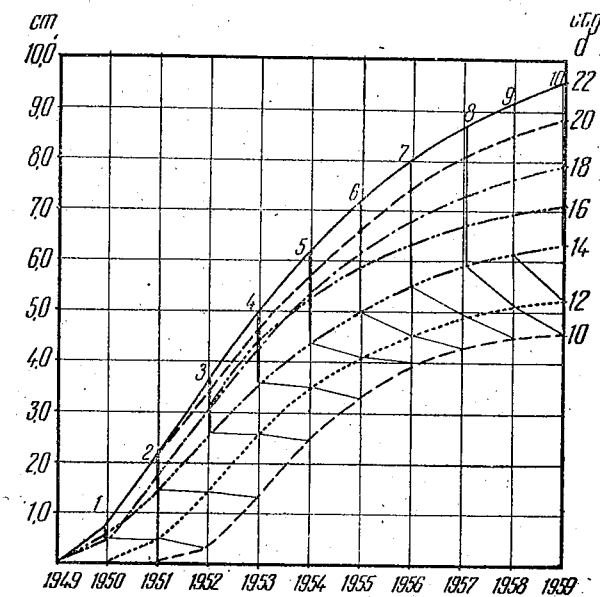


Fig. 11. - Variația creșterilor radiale anuale cumulate, cu vîrstă.

de a reacționa (a plopilor negri hibrizi, n.n.) la iluminare, abstracție făcind de unele nuanțe corespunzătoare tipurilor, scade puternic cu vîrstă" (13)¹⁾.

Dispozitivul strâns de plantare și evoluția naturală ulterioară au influențat în mod hotărîtor ritmul creșterilor radiale anuale. Arborii din toate categoriile de grosimi au realizat creșteri curente maxime la vîrstă de 3 ani, indiferent de anul plantării. Această vîrstă corespunde momentului realizării stării de masiv. Culminarea creșterilor medii s-a produs cu doi ani mai tîrziu la arborii din categoriile de diametre mai mari de 12 cm și numai după un an la cei găsiți în ultima categorie. După culminare atît creșterile curente, cît și cele medii scad progresiv, aproape liniar, la toate categoriile amintite, curbele respective formînd fascicule strînse (fig. 12).

b. Dinamica creșterilor radiale în perioada de vegetație. Determinările auxometrice, efectuate în 18 intervale de timp (între 27. III și 31.X. 1959), au pus în evidență durata, ritmul și energia de creștere pe categorii

¹⁾ p. 145.

Tabelul nr. 4
Creșterile radiale anuale la arbori reprezentativi din fiecare categorie de diametre și de înălțimi

| Cate-gori-a d | Cate-gori-a h | Nr. ar-bori | d̄ | h̄ | Lătimea inclusului anual (mm) | | | | | | | | | |
|---------------|---------------|-------------|------|------|-------------------------------|------|------|------|------|------|------|------|------|------|
| | | | 1959 | 1959 | 1959 | 1958 | 1957 | 1956 | 1955 | 1954 | 1953 | 1952 | 1951 | 1950 |
| 10 | 14 | 1 | 10,7 | 14,5 | 1,1 | 2,4 | 3,6 | 6,5 | 8,1 | 11,6 | 10,5 | 3,5 | — | — |
| 12 | 14 | 3 | 11,9 | 14,0 | 1,3 | 2,7 | 4,3 | 4,1 | 5,8 | 8,6 | 11,9 | 8,9 | 4,5 | — |
| | 16 | 3 | 12,2 | 16,0 | 0,8 | 2,0 | 3,7 | 5,2 | 7,0 | 11,3 | 13,1 | 9,7 | 3,0 | — |
| | 18 | 3 | 12,7 | 17,6 | 0,7 | 1,7 | 3,5 | 3,7 | 4,2 | 7,9 | 10,8 | 11,5 | 5,5 | — |
| | media | — | — | — | 0,9 | 2,1 | 3,8 | 4,3 | 5,7 | 9,3 | 11,9 | 10,0 | 4,3 | — |
| 14 | 14 | 2 | 14,0 | 13,7 | 1,2 | 3,6 | 4,2 | 6,8 | 5,6 | 6,0 | 10,3 | 12,0 | 6,7 | 5,8 |
| | 16 | 3 | 13,9 | 16,5 | 1,7 | 2,5 | 3,9 | 4,0 | 6,7 | 10,5 | 10,9 | 7,6 | 9,1 | 6,2 |
| | 18 | 3 | 14,3 | 17,9 | 1,4 | 1,9 | 3,5 | 4,7 | 6,3 | 7,9 | 11,0 | 13,0 | 9,4 | 5,9 |
| | media | — | — | — | 1,4 | 2,7 | 3,9 | 5,2 | 6,2 | 8,1 | 10,7 | 10,9 | 8,4 | 5,9 |
| 16 | 14 | 1 | 15,4 | 14,8 | 1,1 | 0,8 | 3,8 | 4,0 | 6,6 | 8,8 | 13,6 | 12,1 | 11,3 | 5,8 |
| | 16 | 3 | 15,8 | 16,6 | 1,7 | 1,4 | 3,1 | 4,4 | 5,1 | 7,4 | 11,0 | 16,0 | 11,0 | 5,8 |
| | 18 | 3 | 16,0 | 18,2 | 2,5 | 1,7 | 3,5 | 4,6 | 6,7 | 9,2 | 13,1 | 12,6 | 12,9 | 6,2 |
| | 20 | 2 | 16,3 | 19,5 | 3,2 | 3,7 | 4,8 | 5,9 | 7,3 | 9,2 | 14,1 | 15,8 | 12,0 | 5,2 |
| | media | — | — | — | 2,1 | 1,9 | 3,8 | 4,2 | 6,4 | 8,6 | 12,9 | 14,1 | 11,8 | 5,8 |
| 18 | 16 | 3 | 18,0 | 16,4 | 2,3 | 2,4 | 4,1 | 5,3 | 7,8 | 11,7 | 11,7 | 14,0 | 10,8 | 4,7 |
| | 18 | 3 | 18,0 | 18,2 | 3,2 | 4,7 | 6,4 | 7,2 | 9,9 | 11,5 | 12,2 | 13,4 | 13,4 | 4,6 |
| | 20 | 3 | 18,2 | 19,5 | 2,8 | 2,5 | 4,0 | 4,8 | 6,3 | 8,6 | 12,4 | 14,3 | 15,0 | 5,1 |
| | media | — | — | — | 2,8 | 3,2 | 4,8 | 5,8 | 8,0 | 10,6 | 12,1 | 13,9 | 13,1 | 4,8 |
| 20 | 16 | 1 | 19,6 | 16,5 | 3,2 | 3,4 | 5,7 | 8,0 | 9,7 | 10,0 | 9,8 | 12,7 | 14,0 | 7,3 |
| | 18 | 3 | 19,9 | 18,5 | 3,3 | 5,2 | 7,2 | 7,7 | 8,0 | 11,3 | 12,4 | 13,7 | 10,2 | 5,6 |
| | 20 | 3 | 20,3 | 19,8 | 3,8 | 3,9 | 5,1 | 8,9 | 9,2 | 10,2 | 15,1 | 15,2 | 17,5 | 8,5 |
| | media | — | — | — | 3,4 | 4,1 | 6,0 | 8,2 | 9,0 | 10,5 | 12,4 | 13,9 | 13,9 | 7,1 |
| 22 | 16 | 1 | 21,5 | 17,0 | 2,9 | 3,0 | 5,2 | 5,8 | 8,7 | 10,0 | 12,1 | 13,0 | 15,1 | 6,8 |
| | 18 | 3 | 22,2 | 18,7 | 3,7 | 4,7 | 6,8 | 8,1 | 9,6 | 12,7 | 13,6 | 16,7 | 13,0 | 6,7 |
| | 20 | 4 | 22,9 | 19,7 | 4,0 | 7,3 | 7,6 | 9,9 | 11,8 | 13,2 | 16,5 | 16,6 | 14,9 | 7,6 |
| | media | — | — | — | 3,5 | 5,0 | 6,5 | 7,9 | 10,0 | 12,0 | 14,1 | 15,4 | 14,0 | 7,0 |

de diametre și de înălțimi (tabelul nr. 5). Aceste determinări fiind afectate de o eroare de $\pm 0,03$ mm, vom considera că procesul de creștere radială (aparentă și efectivă) a început și s-a oprit cînd valorile înregistrate au depășit sau au scăzut sub această eroare.

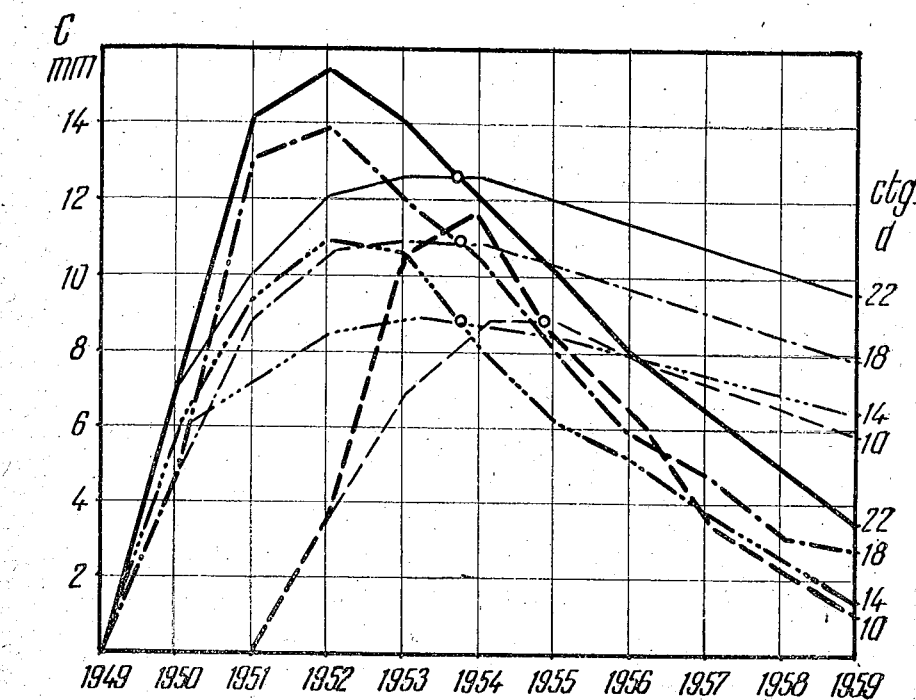


Fig. 12. — Variația creșterilor radiale anuale, curente și medii, cu vîrstă.

Creșterea radială (aparentă) a început în intervalul 27.III – 10.IV la arborii din categoriile de grosimi mai mari de 12 cm și în intervalul 21 – 29.IV la cei din ultima categorie (o dată cu înfrunzirea). Ea s-a încheiat cu atît mai tîrziu, cu cît arborii au fost mai bine dezvoltăți (tabelul nr. 5, fig. 13 și 14).

La arborii cu diametre de bază peste 15 cm și înălțimi mai mari de 15 m durata procesului de creștere radială a variat numai cu grosimea, între 136 de zile la categoriile de 16 și 18 cm și 146 de zile la cele de 20 și 22 cm; la cei mai subțiri și cu înălțimi sub 19 m ea a variat atît cu grosimea, cît și cu înălțimea (tabelul nr. 6).

Procesul de creștere radială a început după un repaus hibernal secetos (70,3 mm precipitații între 1.XI.1958 și 27.III.1959), în ultima decadă a lunii martie, cînd temperaturile medii zilnice (pe pentade) au trecut de 8–9° și nivelul apelor freatici considerat în raport cu mira de la Budești (pe rîul Arges), s-a ridicat peste 60 cm adîncime (fig. 16). În

Tabelul nr. 5
Dinamica creșterilor radiale în perioada de vegetație din 1959.

| Categorie de diametru cm | Clasa de înălțime m ³ | Nr. arbori mediu cm | Diame- trul timbră medie cm | Inăl- timea medie cm | Creșterile medii radiale (în sutimi de mm) | | | | | | | | | | | | Total mm % | |
|--------------------------|----------------------------------|---------------------|-----------------------------|----------------------|--|-------|------|-----|------|------|-------|-------|--------|--------|---------|-------|------------|-----|
| | | | | | 10 IV | 21 IV | 29 V | 8 V | 18 V | 9 VI | 25 VI | 8 VII | 18 VII | 8 VIII | 19 VIII | 22 IX | | |
| | | | | | 10 | 21 | 29 | 8 | 18 | 9 | 25 | 8 | 18 | 28 | 8 | 19 | 22 | |
| (9,1–11,1) | <15,1 | 4 | 10,7 | 14,5 | 0 | 0 | 1 | 3 | 7 | 4 | 3 | 1 | 0 | 0 | -1 | -1 | 0 | 0 |
| 12 | <15,1 | 4 | 11,9 | 14,0 | 0 | 2 | 1 | 4 | 12 | 6 | 6 | 5 | 1 | 0 | 0 | -2 | -1 | 0 |
| (11,1–13,0) | 15,1–17,0 | 23 | 12,2 | 16,0 | 1 | 4 | 3 | 9 | 21 | 6 | 9 | 5 | 1 | 1 | -2 | 0 | 0 | 0 |
| 14 | <15,1 | 8 | 14,0 | 13,7 | 1 | 6 | 5 | 14 | 27 | 15 | 20 | 18 | 6 | 2 | 3 | 0 | -2 | -1 |
| (13,1–15,0) | 15,1–17,0 | 13 | 13,9 | 16,5 | 2 | 4 | 2 | 14 | 28 | 18 | 25 | 10 | 4 | 2 | 1 | -2 | 0 | 0 |
| 16 | <15,1 | 1 | 15,4 | 14,8 | 2 | 11 | 3 | 19 | 4 | 14 | 26 | 27 | 21 | 9 | 3 | -1 | -3 | -1 |
| (15,1–17,0) | 15,1–17,0 | 22 | 15,8 | 16,6 | 3 | 8 | 5 | 24 | 46 | 35 | 43 | 23 | 12 | 10 | 6 | -2 | 0 | 0 |
| 18 | <15,1 | 41 | 16,0 | 18,2 | 3 | 5 | 5 | 25 | 49 | 36 | 46 | 27 | 14 | 10 | 6 | -2 | 0 | 0 |
| (17,1–19,0) | >19,0 | 5 | 16,3 | 19,5 | 2 | 3 | 5 | 26 | 53 | 36 | 45 | 30 | 18 | 14 | 9 | 1 | -1 | 2 |
| 20 | 15,1–17,0 | 14 | 18,0 | 16,4 | 4 | 8 | 5 | 29 | 52 | 44 | 51 | 53 | 29 | 20 | 19 | 10 | 0 | 0 |
| (19,1–21,0) | 17,1–19,0 | 52 | 18,0 | 18,2 | 3 | 7 | 5 | 29 | 56 | 46 | 60 | 59 | 35 | 23 | 21 | 14 | 1 | 0 |
| 22 | 15,1–17,0 | 1 | 19,6 | 16,5 | 3 | 4 | 3 | 25 | 56 | 47 | 46 | 59 | 36 | 31 | 32 | 22 | 3 | 2 |
| (21,1–23,0) | >19,0 | 15 | 20,3 | 19,8 | 3 | 8 | 7 | 33 | 66 | 56 | 75 | 72 | 47 | 33 | 38 | 27 | 7 | 2 |
| | Total | | | | | | | | | | | | | | | | | 304 |

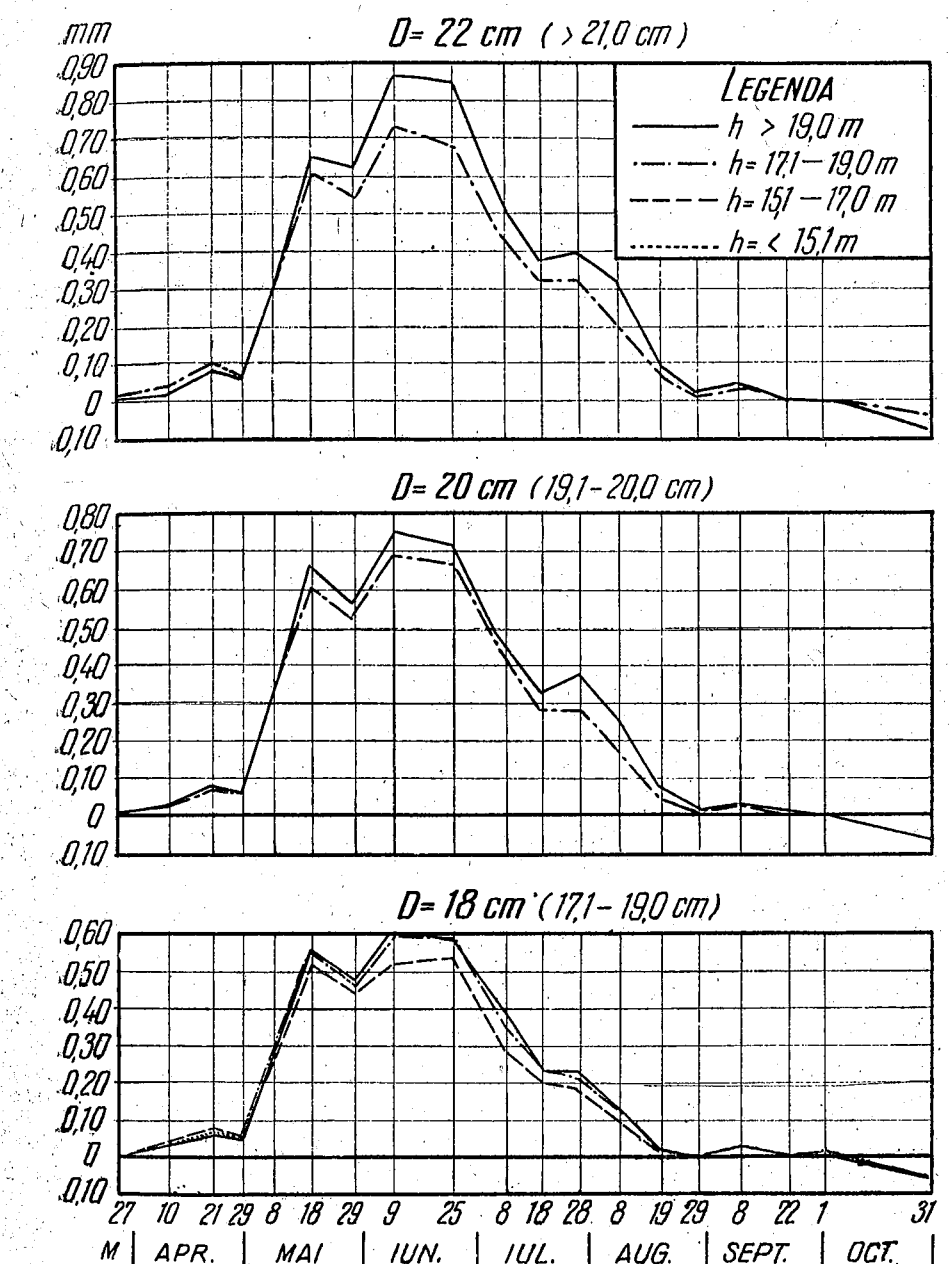


Fig. 13. — Dinamica creșterilor radiale, în perioada de vegetație, la arborii din categoriile de diametre de bază : 18, 20 și 22 cm.

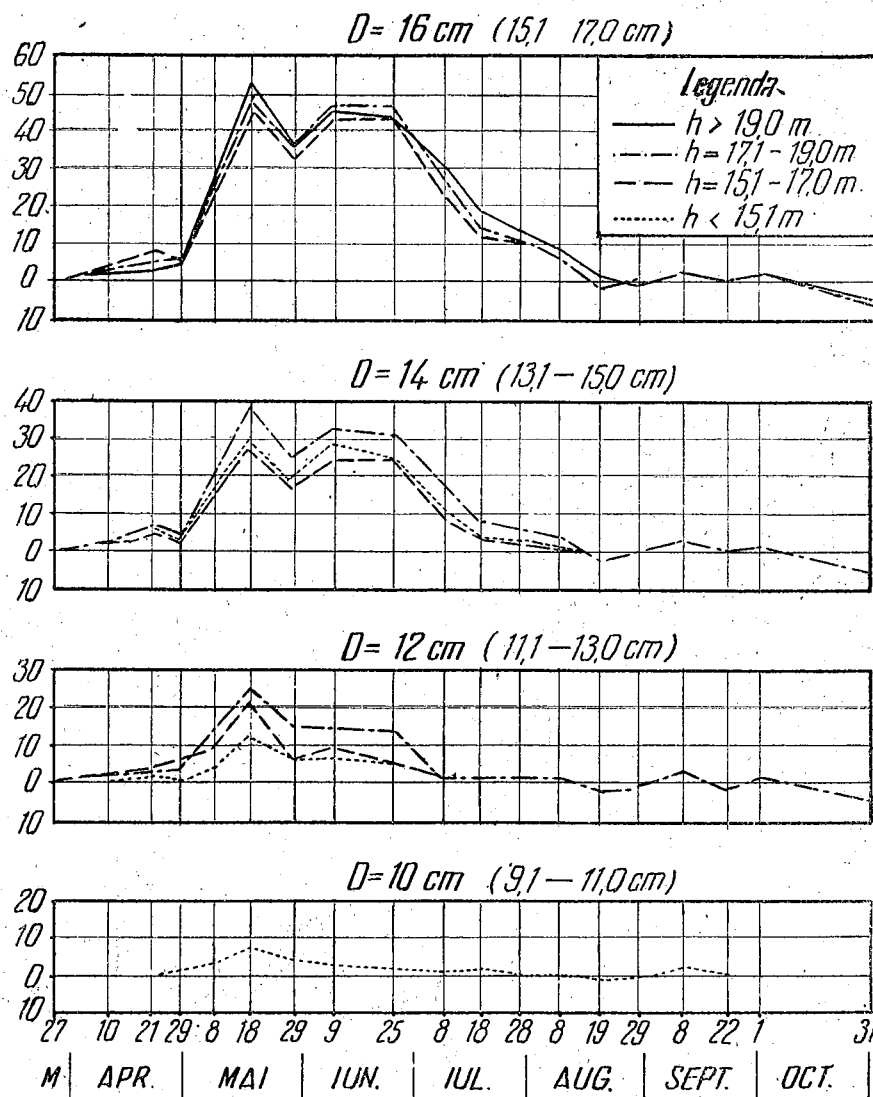


Fig. 14. — Dinamica creșterilor radiale, în perioada de vegetație, la arborii din categoriile de diametre de bază: 10, 12, 14 și 16 cm.

cadrul perioadei mari de creștere el s-a încheiat la arborii cu dimensiunile cele mai mari, în luna august, după o secetă de vară prelungită, cînd:

- precipitațiile cumulate (inclusiv cele din starea de anabioză) au ajuns la 383 mm, respectiv 89% din totalul precipitațiilor din anul de vegetație (1.XI.1958 – 31.X. 1959),

- nivelul apelor freatici au scăzut sub 60 cm (fig. 16) și

- temperaturile medii zilnice variau între 21 și 23° (fig. 15).

În decursul perioadei mari de creștere s-au înregistrat variații de ritm, respectiv etape de flux și reflux, care definesc 4 faze successive de creștere (fig. 13 și 14).

Tabelul nr. 6

Durata procesului de creștere radială (zile)

| $h \backslash d_b$ | 10 | 12 | 14 | 16 | 18 | 20 | 22 |
|--------------------|----|----|-----|-----|-----|-----|-----|
| 14 | 41 | 56 | 88 | — | — | — | — |
| 16 | — | 76 | 114 | 136 | 136 | 146 | — |
| 18 | — | 76 | 136 | 136 | 136 | 146 | 146 |
| 20 | — | — | — | 136 | 136 | 146 | 146 |

Prima fază, de 33 de zile (27.III – 29.IV), apare numai la arborii cu grosimi mai mari de 14 cm și înălțimi peste 16 m. Fluxul apare ca o creștere aparentă, determinată de circulația apei anterior deschiderii mugurilor. Etapa de reflux, înregistrată între 21 și 29.IV, coincide cu înfrunzirea arborilor și cu scăderea brusă a temperaturilor medii zilnice, de la circa 15° la circa 7° (fig. 15), cînd nivelul apelor freatici era în urcare (fig. 16).

Faza a doua, de 30 de zile (29.IV – 29.V), observată la arborii din categoriile de diametre mai mari de 12 cm, se caracterizează printr-un flux foarte puternic, în decursul căruia s-au înregistrat cele mai mari creșteri curente la categoriile de grosimi de 12, 14 și 16 cm. Etapa de flux apare în condiții de secetă locală, cu nivelul apelor freatici în urcări și de creștere a temperaturilor medii zilnice, de la 11 la 18°, iar cea de reflux într-un interval cu ploi abundente (52 mm), cînd nivelul apelor freatici era maxim (inundație de scurtă durată, fig. 16) și temperaturile medii zilnice variau între 21 și 23° (fig. 15).

Faza a treia a variat ca durată astfel: 50 de zile la categoriile de diametre de 18, 20 și 22 cm (29.V – 18.VII), 71 de zile la categoria 16 cm (29.V – 8.VIII) și 60 de zile la categoria de 14 cm (29.V – 28.VII). Durata mai mare de la categoriile de 14 și 16 cm se datorează unui reflux prelungit, care înlocuiește fază următoare, observată numai la categoriile de grosimi mai mari. În etapa de flux s-au înregistrat cele mai mari creșteri la categoriile de diametre superioare (18–22 cm), etapă cu precipitații destul de abundente (37 mm), cu nivelul apelor freatici în descreștere (fig. 16) și temperaturi medii zilnice puțin variate (16–17°). Refluxul s-a produs într-o etapă bogată în precipitații, cînd s-au înregistrat oscilații relativ mari în nivelul apei freatici și temperaturi medii în creștere, de la 17 la 25° (fig. 15).

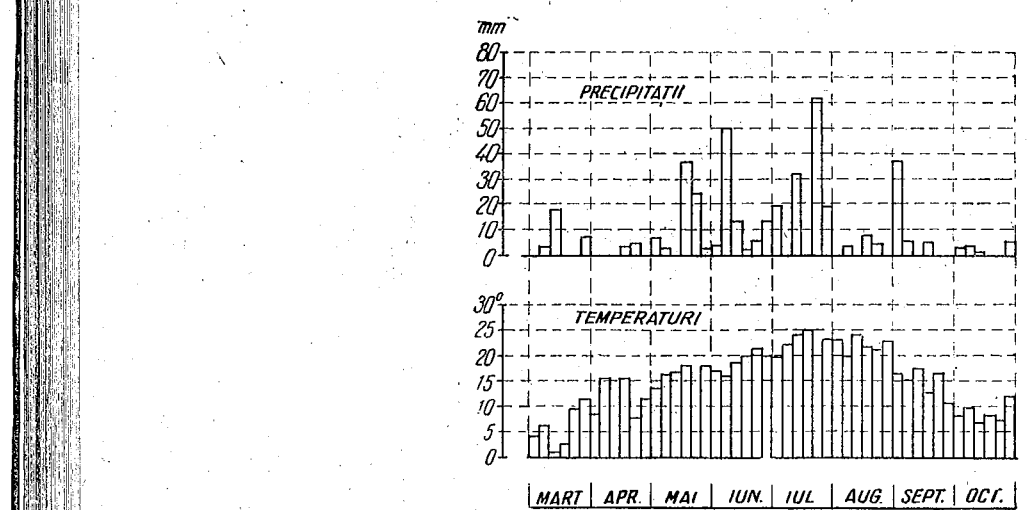


Fig. 15. — Variația — pe pentade — a precipitațiilor și temperaturilor medii zilnice în perioada de vegetație din 1959.

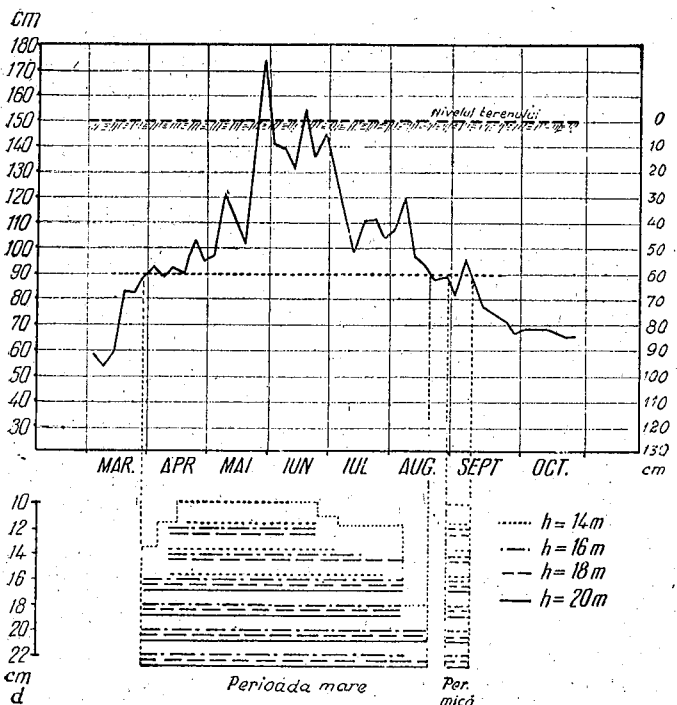


Fig. 16. — Variația nivelului apelor din rîul Argeș (la Budești) în comparație cu durata procesului de creștere.

Faza a patra, durează 32 de zile la arborii din categoriile de grosimi de 20 și 22 cm (18.VII — 19.VIII) și numai 21 de zile la cei din categoria 18 cm (18.VII — 8.VIII). Fluxul este foarte redus, iar refluxul încheie perioada mare de creștere. Etapa de flux apare într-un interval cu precipitații abundente, iar refluxul în condiții de secetă, cu scăderea treptată a nivelului apelor freatiche, cînd temperaturile medii zilnice au variat între 20 și 24°.

La arborii din categoria 12 cm, procesul de creștere a început mai tîrziu, în același timp cu faza a doua de la categoriile superioare. Ei au înregistrat creșteri radiale maxime concomitent cu exemplarele din categoriile 14—16 cm. În etapa de ascendență a creșterilor nu apar faze, în schimb — în cea de descendență — creșterile sensibil egale din intervalele dintre 29.V și 25.VI marchează tendința de a se forma o fază.

În sfîrșit, arborii din categoria ultimă, de 10 cm, au înregistrat cele mai mari creșteri curente în același interval ca și cei din categoriile 12, 14 și 16 cm (fig. 14).

Slaba reluare a procesului de creștere în intervalul 29.VIII — 8.IX, după latență (stagnarea) care a urmat perioadei mari, cu valori care se înscriu în limita erorilor de determinare, se poate accepta numai ca o tendință de apariție a perioadei mici, determinată evident de ploile abundente căzute, și de urcarea nivelului apelor freatiche (fig. 16). În acest interval temperaturile medii zilnice au variat între 15 și 17° (fig. 15). Ulterior (pînă la 1.X) s-a observat din nou o latență, după care s-a înregistrat începutul unei perioade de contragere radială a tulpinilor.

Din însumarea algebrică a valorilor înregistrate în cele 18 intervale de timp din perioada de vegetație din 1959 au rezultat creșterile radiale anuale (tabelul nr. 7, cifre cu caractere grase). Valorile relative ale acestor creșteri, calculate pe de o parte pentru fiecare categorie de diametre (cifre cursive) și de înălțimi (cifre drepte) în raport cu creșterile lor cele mai

Tabelul nr. 7

Variația creșterilor radiale anuale pe categorii de diametre și înălțimi
(în valori absolute și relative)

| h | $d_b \rightarrow$ specifi- care | 10 | | 12 | | 14 | | 16 | | 18 | | 20 | | 22 | |
|----|---------------------------------------|-----------|-----|-----------|-----|------------|-----|------------|-----|------------|-----|------------|-----|------------|-----|
| | | mm | % | mm | % | mm | % | mm | % | mm | % | mm | % | mm | % |
| 14 | mm | 19 | 100 | 28 | 33 | 111 | 65 | 132 | 46 | — | — | — | — | — | — |
| | % | 14 | 4 | 21 | 6 | 84 | 22 | 100 | 26 | — | — | — | — | — | — |
| 16 | mm | — | — | 57 | 66 | 131 | 77 | 254 | 90 | 321 | 90 | 365 | 77 | 352 | 69 |
| | % | — | — | 16 | 11 | 37 | 26 | 72 | 50 | 91 | 63 | 104 | 72 | 100 | 69 |
| 18 | mm | — | — | 86 | 100 | 171 | 100 | 266 | 94 | 357 | 100 | 412 | 87 | 436 | 86 |
| | % | — | — | 20 | 17 | 39 | 33 | 62 | 52 | 82 | 70 | 94 | 81 | 100 | 86 |
| 20 | mm | — | — | — | — | — | — | 282 | 100 | 358 | 100 | 472 | 100 | 510 | 100 |
| | % | — | — | — | — | — | — | 55 | 55 | 70 | 70 | 92 | 92 | 100 | 100 |

mari (100%), iar pe de altă parte în funcție de creșterea realizată de exemplarele cu cele mai mari dimensiuni (cifre cu caracter mici) dă o imagine generală asupra variabilității lor (tabelul nr. 7).

Energia de creștere a fost cu atât mai mare, cu cît arborii dimensionali au fost mai bine dezvoltăți. Ea variază mai mult cu înălțimea (în-

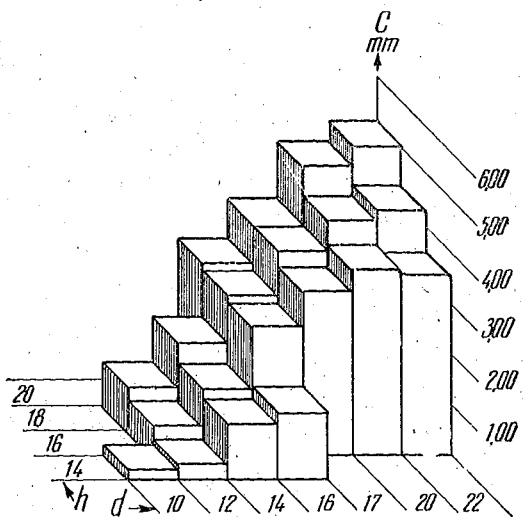


Fig. 17. — Variatia cresterilor radiale totale din 1959, pe categorii de diametre și de înălțimi.

tre 14 și 100% la $h = 14$ m și între 55 și 100% la $h = 20$ m) și mai puțin cu grosimea (între 33 și 100% la $d_b = 12$ cm și între 90 și 100% la $d_b = 18$ cm). Creșterea arborilor din categoria cea mai mică ($d_b = 10$ cm și $h = 14$ m) reprezintă abia 4% față de creșterea exemplarelor cu cele mai mari dimensiuni (tabelul nr. 6, fig. 17).

Din analiza statistică a datelor rezultă că variabilitatea cresterilor radiale anuale este de circa 3 ori mai mare decât variabilitatea diametrelor de bază și cea a înălțimii coroanelor și de circa 6 ori mai mare decât variabilitatea înălțimilor totale (tabelul nr. 8). Se constată că între variația cresterilor radiale și cea a diametrelor de bază există o strânsă corelație ($r = 0,806$), în timp ce între variația acelorași creșteri și cea a înălțimilor totale și a coroanelor corelația este destul de slabă ($r = 0,569$ și $r = 0,540$). În toate aceste 3 cazuri valorile medii pe categorii se ordonează vizibil liniar, fapt care a permis trasarea dreptelor de regresie (fig. 18, 19 și 20) pe baza datelor determinante analitic cu ajutorul ecuațiilor de regresie (tabelul nr. 8).

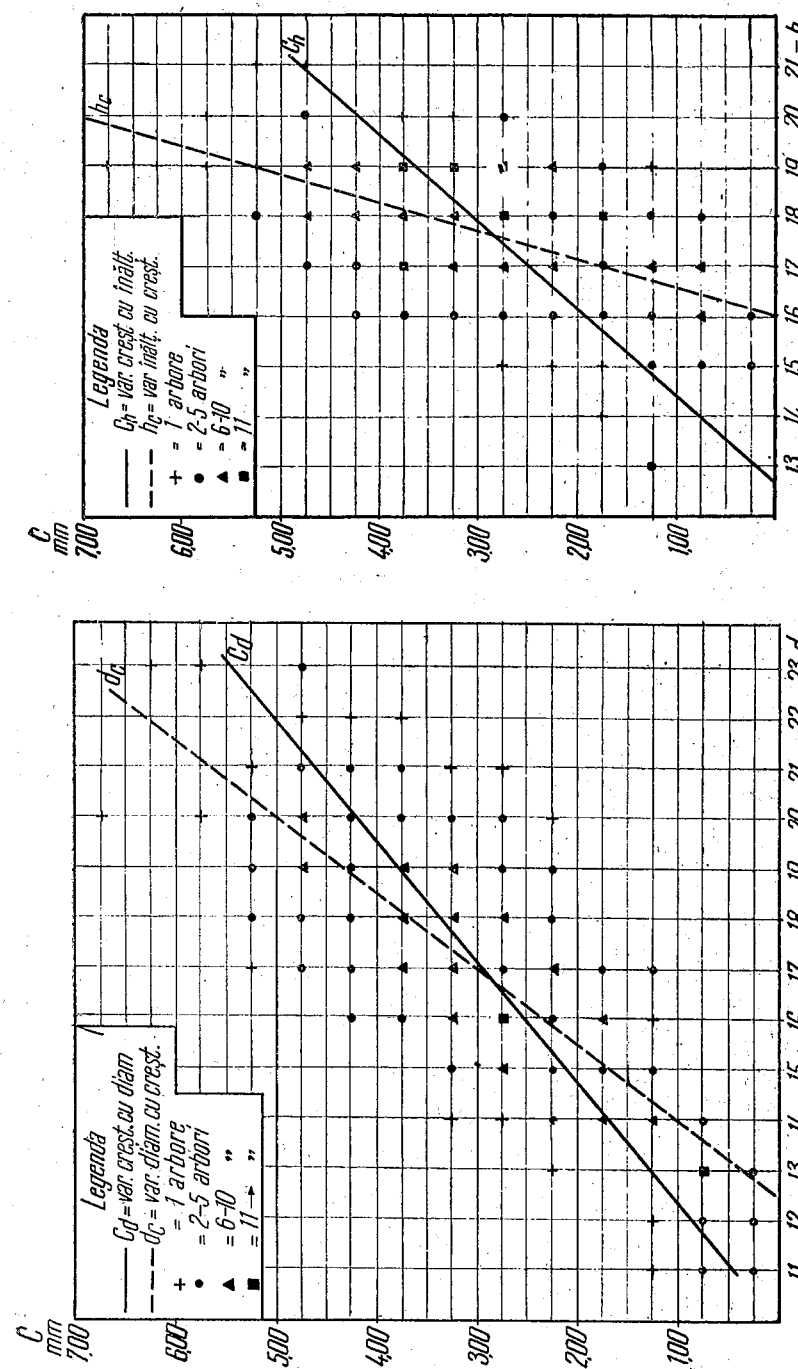


Fig. 18. — Dreptele de regresie corespunzătoare variației cresterilor radiale în funcție de diametrul de bază și invers.
Fig. 19. — Dreptele de regresie corespunzătoare variației cresterilor radiale în funcție de înălțime totală și invers.

Fig. 19. — Dreptele de regresie corespunzătoare variației cresterilor radiale în funcție de înălțime totală și invers.

Tabelul nr. 8

Date privind variabilitatea creșterilor radiale și corelația lor cu unele caracteristici dimensionale ale arborilor

| $Y = f(x)$ | \bar{y} mm | \bar{x} cm sau m | CV_y % | CV_x % | r | ecuații de regresie | Nr. arbori |
|--------------|-----------------|-----------------------|-------------|-------------|-------|---|---------------|
| $C = f(d_b)$ | 2,89 | 16,82 | 48,1 | 15,6 | 0,806 | $C_d = 42,59d - 4,27$ $d_e = 12,49 + 0,015c$ | 276 |
| $C = f(h)$ | 2,89 | 17,66 | 48,1 | 7,9 | 0,569 | $C_h = 56,9h - 716,8$ $h_e = 0,0057c + 16,02$ | 274 |
| $C = f(h_c)$ | 2,96 | 6,54 | 41,3 | 16,5 | 0,540 | $C_{hc} = 61,02h_c - 103,0$ $h_c = 5,15 + 0,0047c$ | 70 |

Notă: Valorile x și CV_x diferă față de cele date în tabelul nr. 2 datorită numărului mai mic de arbori luat în considerare în cazul de față.

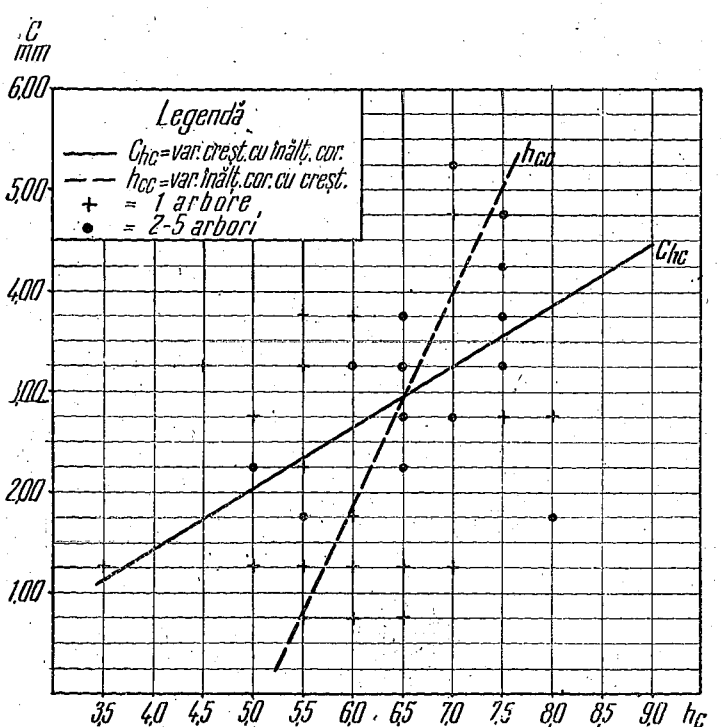


Fig. 20. — Dreptele de regresie corespunzătoare variației creșterii radiale în funcție de înălțimile coroanelor și invers.

DISCUȚIA REZULTATELOR

În arboretul cercetat (pur și echien) trecerea de la distribuția arborilor inițial regulată, la cea neregulată înregistrată la începutul cercetărilor ($CV = 16,67\%$) s-a produs treptat, după realizarea stării de masiv, sub acțiunea procesului de eliminare naturală. Variabilitatea destul de mare a distribuției apare ca o consecință a răspândirii întimplătoare a exemplarelor cu cea mai mică vitalitate inițială, eliminate între timp în mod natural și care — în ceea mai mare parte — provin din puietii plantati sub formă de completări (tabelul nr. 4).

Crescînd în masiv strîns arborii s-au diferențiat dimensional ca urmare a vitalității lor diferite. Faptul că la vîrstă de 10 ani variabilitatea diametrelor de bază este de circa două ori mai mare decît cea a înălțimilor și aceasta din urmă de 3 ori mai mică decît variabilitatea înălțimii coroanelor trebuie considerat ca o caracteristică structurală a arboretului (cv. 'marilandica') la vîrstă și în condițiile staționale date. Variabilitatea mai mare (aproape dublă) a grosimilor la arborii dominanti și codominanți în raport cu cea a arborilor predominanți și dominați pune în evidență numărul relativ mare de trepte de trecere de la poziția dominantă la cea de dominat, care indică capacitatea cv. 'marilandica' de a vegeta și în condiții de lumină destul de precare.

Stratul coroanelor: gros (circa 50% din înălțimea arborilor predominant), continuu (chiar în locurile în care s-au produs eliminări naturale, datorită plasticității fototropice a cultivarului) și destul de compact (coroane tangente și în unele cazuri marginal interferente sau suprapuse parțial) evidențiază un alt aspect structural, care confirmă observația anterioară privind capacitatea acestui hibrid de a vegeta și în condiții de acoperire parțială. Această situație apare cel puțin ca o excepție de la regula cunoscută, că plopii euramericanii... „nu suportă chiar o ușoară acoperire” (13)¹⁾.

Densitatea supraunitară (1,28), ca rezultat al dispozitivului strîns de plantare și al evoluției naturale a arboretului, indică gradul maxim de populare la vîrstă și în condițiile staționale ale arboretului cercetat. În această situație producția totală de lemn (volumul arborilor existenți + volumul arborilor eliminați) este mai mare decît cea medie a arborelor cultural conduse (arboret principal + arboret secundar) dată în tabelul de producție. În măsura în care surplusul de volum depășește volumele cele mai mari, înregistrate cu ocazia întocmirii acestor tabele, s-ar putea conchide că cv. 'marilandica' este mai productiv decît ceilalți hibrizi de plop cultivati în țara noastră.

Creșterile radiale anuale — curente și medii — au înregistrat cele mai mari valori foarte devreme (respectiv la 3 și 5 ani) și în același timp la toate categoriile de arbori. Faptul că pînă la vîrstă de 10 ani nu s-a observat la nici unul din arborii cercetați (51 de exemplare) activări ca efect al modificărilor favorabile ale condițiilor de mediu, intervenite prin eliminarea naturală a unor exemplare vecine, trebuie privit

¹⁾ p. 134.

ea o caracteristică biologică, mai accentuată la acest cultivar (13). S-au eliminat natural, în mod succesiv, numai arborii cu cea mai mică vitalitate inițială, iar selecția naturală a constat din diferențierea de la an la an, din ce în ce mai accentuată, a creșterilor radiale în raport cu aceeași vitalitate inițială precizată după realizarea stării de masiv.

Spre deosebire de situațiile întâlnite la speciile studiate anterior (9), (10)¹⁾, la cv. 'marilandica' procesul de creștere radială a început și s-a sfîrșit – pe categorii de arbori – la date diferite. Pe baza observațiilor făcute în ziua cînd nivelul apelor freatici era maxim (29.V) și din comparația datelor de creștere cu cele hidrologice din figura 16 se constată că procesul de creștere radială a început și s-a sfîrșit, respectiv cînd nivelul apelor freatici a depășit și a scăzut sub adâncimea de 50 cm. Arborii cu dimensiuni mai mici au și înrădăcinarea mai puțin profundă, ceea ce face ca să găsească în sol cantitatea de apă necesară creșterii numai în perioadele cînd debitul rîurilor este ridicat sau cînd ploile locale sunt abundente, adică în lunile: aprilie (spre sfîrșit), mai și iunie. În aceste condiții la diferitele categorii de arbori perioada de creștere este cu atît mai lungă, cu cît înrădăcinarea este mai adâncă, respectiv dezvoltarea dimensională a părții aeriene mai mare (tabelul nr. 5).

Cele 4 faze de creștere ale perioadei mari, diferențiate prin variațiile de ritm, sunt sincrone la marea majoritate a categoriilor de arbori. În ceea ce privește influența regimului termic numai refluxul primei faze pare a se datora coborîrii brusă a temperaturilor medii zilnice.

Slaba reluare a procesului de creștere care pare să indice tendința de apariție a perioadei mici – în același interval de timp la toate categoriile de arbori (după latență care a urmat perioadei mari), cînd temperaturile medii zilnice oscilau în jur de 15–16°, trebuie atribuită precipitațiilor abundente căzute în acest interval (fig. 15) și urcării pronunțate a nivelului apelor freatici (fig. 16). Contragerea radială a tulpinilor înregistrată după perioada de latență, fenomen observat și la alte specii (10), corespunde etapei în care au loc procese fiziologice interne, care pregătesc arborii pentru starea de anabioză. Remarcăm faptul că și în acest caz contragerea apare independentă de grosimea arborilor, fapt explicabil prin reducerea apei din țesuturile exterioare, reducere cu atît mai profundă, cu cît arborii (și coaja lor) sunt mai subțiri.

Variația creșterilor totale din perioada de vegetație în raport cu dezvoltarea dimensională a arborilor corespunde vitalității arborilor. Amplitudinea mare de variație a creșterilor (de la 4 la 100%) apare ca o caracteristică biologică a cultivarului, pusă în evidență de evoluția naturală a arboretului. Valorile diferite ale coeficientilor de corelație, redau cîfrică dependența creșterii radiale anuale de dezvoltare dimensională a arborilor, în condițiile arboretului cercetat.

Din analiza de mai sus se desprind unele indicații care pot contribui la ameliorarea silvotehnicii actuale a cv. 'marilandica'. Faptul că planătăile în dispozitiv strîns (2/2m), evolute în mod natural, asigură maxi-

¹⁾ I. Popescu-Zeletin, V. G. Mocanu și S. Puiu, *Cercetări privind dinamica creșterii radiale în perioada de vegetație la arboretele de salcăm* (manuscris), 1961.

mum de producție totală de lemn la vîrstă mijlocii (10 ani) pledează pentru extinderea lor și aplicarea răriturilor slabe de jos (extragerea exemplarelor pe cale de a fi eliminate natural) dacă, țelul de gospodărire este producția maximă de masă lemnoasă nediferențiată. Datorită caracteristicilor biologice a cultivarului de a nu reacționa după realizarea stării de masiv la modificarea favorabilă a condițiilor individuale de mediu printr-o activare a creșterii, apare indicată aplicarea în arboretele dese, existente, a aceluiași tip de rărituri, dacă se urmărește țelul de producție amintit, cel mai convenabil de altfel pentru acoperirea nevoilor de materie primă ale industriei de plăci de fibre și de lemn aglomerat, în plină dezvoltare în prezent și în viitorul apropiat. În sfîrșit, cunoașterea duratei, ritmului și energiei de creștere pe categorii de arbori impune limitarea efectuării răriturilor și tăierilor de regenerare numai în timpul anabiozei și execuțarea lucrărilor de îngrijire a tulpinilor numai în intervalele de timp cu creșteri active (3).

CONCLUZII

1. Structura arboretului cercetat, caracterizată atît prin variabilitatea distribuției și dimensiunilor arborilor cît și prin stratificare și densitate, pune în evidență capacitatea hibridului (cv. 'marilandica') de a vegeta ani de-a rîndul și în condiții precare de lumină.

2. Ritmul creșterilor radiale, anuale, este determinat de vitalitatea inițială a arborilor. Modificările favorabile ale condițiilor de mediu, survenite la unii arbori, după realizarea stării de masiv prin eliminarea naturală a unor exemplare vecine, n-au avut ca efect activări vizibile ale creșterilor.

3. Durata procesului de creștere radială în perioada de vegetație variază în raport cu dezvoltarea dimensională a arborilor (între 41 și 146 de zile). Ea pare a fi determinată de unele praguri termice și de variația în decursul perioadei de vegetație a nivelului apelor freatici. Creșterea radială aparentă începe primăvara cînd temperaturile medii zilnice trec de 8–9°, iar cea efectivă pornește și se oprește respectiv cînd aceste temperaturi depășesc și scad sub 15–16°.

4. Variațiile de ritm din perioada mare de creștere sub formă de flux și reflux pun în evidență 4 faze de creștere. Numai refluxul primei faze pare a se datora unei accentuate scăderi a temperaturilor medii zilnice. Contragerea tulpinilor, observată în luna octombrie, practic de același mărime la toate categoriile de arbori, se datorează reducerii apei sub acțiunea unor procese fiziologice interne, care pregătesc planta pentru starea de anabioză.

5. Energia de creștere radială a arborilor este în raport direct cu grosimea lor. Amplitudinea ei de variație, extrem de mare (între 4 și 100%) reflectă variabilitatea potențialului de creștere a arborilor din arboret (populat la maximum).

6. Producția totală a arboretului cercetat este mai mare decît cea medie a arboretelor cultural conduse, de același vîrstă și clasă de pro-

ductie. Această constatare pledează pentru culturi în dispozitiv strins și rărituri slabe de jos în toate situațiile în care telul de gospodărire este producția maximă de masă lemnoasă nediferențiată.

ИЗУЧЕНИЕ СТРУКТУРЫ И ДИНАМИКИ РАДИАЛЬНОГО ПРИРОСТА В ТЕЧЕНИЕ ВЕГЕТАЦИОННОГО ПЕРИОДА В ДРЕВОСТОЯХ *POPULUS × EURAMERICANA* (DODE) GUINIER CV. ('MARILANDICA')

РЕЗЮМЕ

Изучая структуру и радиальный прирост в течение вегетационного периода, авторы проводили в 1959 году исследования в древостое *Populus × euramericana* (Dode) Guinier cv. 'marilandica' 10-летнего возраста, являющегося частью естественной, тесно растущей посадки (2м/2м), расположенной на редко затопляемой террасе, с пойменной супесчаной, аллювиальной, глубокой почвой и с уровнем грунтовой воды на глубине около 80 см (в октябре месяце). Травяной покров, занимающий 20% всей площади, состоит из злаковых трав и ежевики (*Rubus caesius* L.). Климатические данные: среднегодовая температура 10,8°; среднегодовое количество осадков 572 мм. Характеристика древостоя: $n = 1776$; $\bar{d} = 16,4$; $\bar{h} = 17,9$; бонитет насаждения = I_7 ; $k = 1,28$; $v = 269 \text{ m}^3$.

На изучавшейся площади (в 1692 м²) была проведена инвентаризация всех деревьев (304 экземпляра). На основании проб, взятых приростным буравом, был установлен ритм годовых приростов (рис. 11 и 12), а путем 19-кратного измерения всех деревьев с помощью ауксилометропаратора (8), проведенного между 27 марта и 31 октября, была установлена динамика радиальных приростов в течение вегетационного периода.

Строение древостоя, характеризующееся сходной изменчивостью распределения и толщины деревьев, являющейся почти в два раза большей, по сравнению с изменчивостью высот, которая почти в 3 раза меньше изменчивости высоты крон (таблица № 2), а также расположение деревьев в разных пологах показывает способность этой разновидности (культивара) произрастать и в неблагоприятных условиях освещения. Благоприятные изменения условий среды для некоторых деревьев, произошедшие путем естественного выпадения соседних деревьев (рис. 3), не имели результатом активизацию процесса роста (рис. 11). Было замечено, что энергия роста зависит от начальной жизнеспособности деревьев (рис. 12). Продолжительность процесса радиального роста колебалась, в зависимости от толщины деревьев, от 41 до 146 дней и, по-видимому, зависела от колебания уровня грунтовой воды в течение вегетационного периода (рис. 13 и 14). Кажущийся рост (до появления листвы) начинался, когда среднесуточные тем-

пературы начинали превышать 8—9°, тогда как действительный рост происходит лишь в течение того времени, когда эти температуры превышают 15°.

В течение основного периода роста наблюдались колебания его ритма в виде усиления и ослабления, характеризующих 4 фазы роста. Лишь ослабление первой фазы, по-видимому, зависело от резкого понижения температуры (рис. 15). Сжатие стволов, наблюдавшееся в октябре месяце (таблица № 5), происходило вследствие уменьшения содержания влаги под влиянием физиологических и биохимических процессов, подготовляющих растение к состоянию анабиоза.

Энергия радиального роста деревьев колеблется в зависимости от их толщины.

Значительная амплитуда этих колебаний (от 4 до 100%) отражает изменчивость потенциала роста деревьев изучавшегося древостоя (таблица № 7).

В 10-летнем возрасте объем изучавшегося древостоя равняется среднему валовому объему (главное насаждение + подчиненный древостой) культурных древостоев того же возраста и бонитета.

ОБЪЯСНЕНИЕ РИСУНКОВ

Рис. 1. — Внешний вид изучавшегося участка; деревья с общим наклоном к юго-западу.

Рис. 2. — Колебание эксцентричности попечного сечения стволов на высоте 1,30 м от земли.

Рис. 3. — Распределение деревьев на площади, изучавшейся в 1959 году.

Рис. 4. — Смыкание крон на участке без естественно выпавших деревьев (см. рис. 9, дер. № 167b, 168, 195 и 196).

Рис. 5. — Смыкание крон на участке с естественно выпавшими деревьями (см. рис. 9, дер. № 177, 178 и 184).

Рис. 6. — Встречаемость деревьев по различным категориям диаметров.

Рис. 7. — Встречаемость деревьев по различным категориям высоты.

Рис. 8. — Колебание общей высоты и высоты обрезанных деревьев по категориям диаметров.

Рис. 9. — Вид в плане и по вертикали двух рядов деревьев (см. рис. 3).

Рис. 10. — Колебание средних высот крон по категориям общей высоты.

Рис. 11. — Колебание кумулятивных годовых радиальных приростов, в зависимости от возраста.

Рис. 12. — Колебание текущих годовых радиальных приростов, в зависимости от возраста.

Рис. 13. — Динамика радиальных приростов в течение вегетационного периода у деревьев с диаметром на высоте груди в 18,20 и 22 см.

Рис. 14. — Динамика радиальных приростов в течение вегетационного периода у деревьев с диаметром на высоте груди в 10,12, 14 и 16 см.

Рис. 15. — Колебание — по пятидневкам — атмосферных осадков и среднесуточных температур в течение вегетационного периода 1959 года.

Рис. 16. — Колебание уровня воды в реке Арджеш (у Будешть), по сравнению с продолжительностью процесса роста.

Рис. 17. — Колебания общих радиальных приростов в 1959 году по категориям диаметров и высот.

Рис. 18. — Прямые регрессии, соответствующие вариации радиальных приростов, в зависимости от диаметров на высоте груди и диаметров в зависимости от приростов.

Рис. 19. — Прямые регрессий, соответствующие вариации радиальных приростков, в зависимости от общих высот и общих высот в зависимости от приростов.

Рис. 20. — Прямые регрессий, соответствующие вариации радиальных приростов, в зависимости от высот крон, и высот крон в зависимости от радиальных приростов.

RECHERCHES SUR LA STRUCTURE ET LA DYNAMIQUE DE L'ACCROISSEMENT RADIAL PENDANT LA PÉRIODE DE VÉGÉTATION D'UN PEUPLEMENT DE *POPULUS × EURAMERICANA* (DODE) GUINIER (CV. 'MARILANDICA')

RÉSUMÉ

Pour étudier la structure et l'accroissement radial, au cours de la période de végétation, les auteurs ont effectué des recherches, en 1959, dans un peuplement de *Populus × euramericana* (Dode) Guinier, cv. 'marilandica', âgé de 10 ans. Ce peuplement, provenant d'une plantation serrée (2 m/2 m), développée naturellement, est situé sur une terrasse rarement inondable, au sol alluvionnaire de vallée inondable, sableux-argileux, profond, où la couche d'eau phréatique se trouve à environ 80 cm (en octobre). Couverture d'herbes, formée de graminées et de *Rubus caesius* L., sur les 20% de sa superficie. Données climatiques : température moyenne annuelle — 10,8°; précipitations moyennes annuelles — 572 mm. Caractéristiques du peuplement : $n = 1\,776$; $\bar{d} = 16,4$; $\bar{h} = 17,9$; cl. de prod. = I_r; $k = 1,28$; $v = 269 \text{ m}^3$.

On a inventorié tous les arbres (304 exemplaires) d'une parcelle de recherche (1 692 m²) et on en a établi le rythme d'accroissement annuel (fig. 11 et 12) d'après les épreuves prélevées à l'aide de la tarière de Pressler; 19 déterminations effectuées sur tous les arbres, entre le 27 mars et le 31 octobre, par la méthode de l'auxomètre comparateur (8), ont donné la dynamique de l'accroissement radial pendant la période de végétation.

La structure du peuplement, caractérisée par la variabilité rapprochée de la répartition et de la grosseur des arbres — presque double par rapport à celle des hauteurs, qui est d'environ 3 fois inférieure à la variabilité de la hauteur des couronnes (tableau 2) — ainsi que par la stratification des arbres, fait ressortir la capacité de la cultivar de végéter aussi dans des conditions de lumière précaires. Les modifications favorables survenues dans les conditions de milieu de certains arbres, par suite de l'élimination naturelle de quelques exemplaires voisins (fig. 3), n'ont pas eu pour effet une activation du processus d'accroissement (fig. 11). On a observé que l'énergie d'accroissement est fonction de la vitalité initiale des arbres (fig. 12).

La durée du processus d'accroissement radial a varié en raison de la grosseur des arbres (entre 41 et 146 jours) et semble être due à la

variation du niveau des nappes phréatiques au cours de la période de végétation (fig. 13 et 14). L'accroissement apparent (antérieur à la feuillaison) a commencé quand les températures moyennes quotidiennes ont dépassé 8 à 9°, tandis que l'accroissement effectif ne se produit que dans l'intervalle où ces températures s'élèvent à plus de 15°.

Pendant la grande période d'accroissement, on a observé des variations du rythme, sous forme de flux et de reflux, qui définissent 4 phases d'accroissement. Seul le reflux de la première phase semble dû à des baisses soudaines des températures (fig. 15). La contraction des fûts, au mois d'octobre — du même ordre pour toutes les catégories d'arbres (tableau 5) — est due à la diminution de la quantité d'eau sous l'influence des processus physiologiques et biochimiques qui préparent la plante à l'état d'anabiose.

L'énergie d'accroissement radial des arbres varie en raison de leur grosseur. Sa grande amplitude (entre 4% et 100%) reflète la variabilité du potentiel d'accroissement des arbres du peuplement étudié (tableau 7).

A l'âge de 10 ans, le peuplement qui a fait l'objet de cette étude a un volume égal à la production totale moyenne (peuplement principal + produits secondaires) des peuplements cultivés, du même âge et de la même classe de production.

EXPLICATION DES FIGURES

- Fig. 1. — Aspect de la surface étudiée : arbres à inclinaison générale vers le sud-ouest.
- Fig. 2. — Variation de l'excentricité des fûts, en section transversale à 1,30 m du sol.
- Fig. 3. — Distribution des arbres dans la parcelle étudiée, en 1959.
- Fig. 4. — Couronnes qui se touchent dans un lot ne contenant pas d'exemplaires éliminés par voie naturelle (cf. fig. 9, arbres nos 167 b, 168, 115 et 116).
- Fig. 5. — Couronnes qui se touchent dans un lot contenant des exemplaires éliminés par voie naturelle (cf. fig. 9, arbres nos 177, 178 et 184).
- Fig. 6. — Fréquence du nombre d'arbres par catégories de diamètres.
- Fig. 7. — Fréquence du nombre d'arbres par catégories de hauteurs.
- Fig. 8. — Variations des hauteurs totales et élaguées par catégories de diamètres.
- Fig. 9. — Plan et élévation de deux rangées d'arbres (cf. fig. 3).
- Fig. 10. — Variation des hauteurs moyennes des couronnes, par catégories de hauteurs totales.
- Fig. 11. — Variations avec l'âge, de l'accroissement radial annuel cumulé.
- Fig. 12. — Variations avec l'âge, de l'accroissement radial annuel courant.
- Fig. 13. — Dynamique de l'accroissement radial dans la période de végétation, pour les arbres faisant partie des catégories de diamètres terriers de 18, 20 et 22 cm.
- Fig. 14. — Dynamique de l'accroissement radial dans la période de végétation pour les arbres faisant partie des catégories de diamètres terriers de 10, 12, 14 et 16 cm.
- Fig. 15. — Variations — par périodes de 5 jours — des précipitations et des températures moyennes quotidiennes, durant la période de végétation 1959.
- Fig. 16. — Variations du niveau de la rivière Argeș (à Budești), en comparaison avec la durée du processus d'accroissement.
- Fig. 17. — Variations de l'accroissement radial total en 1959, par catégories de diamètres et de hauteurs.
- Fig. 18. — Droites de régression correspondant aux variations de l'accroissement radial, en raison des diamètres terriers, et vice versa.
- Fig. 19. — Droites de régression correspondant aux variations de l'accroissement radial, en raison des hauteurs totales, et vice versa.
- Fig. 20. — Droites de régression correspondant à la variation de l'accroissement radial, en raison de la hauteur des couronnes et vice versa.

BIBLIOGRAFIE

1. HUBER B., *Pflanzenphysiologie*, Leipzig, 1941.
2. KLEIN L., *Forstbotanik. Handbuch der Forstwissenschaft*, Berlin, 1926.
3. KOLTAY G., *Popul*, Ed. agro-silvică, București, 1956.
4. MAC DOUGAL D., *Tree Growth*, Weiden Holand, 1938.
5. MAXIMOV N. A., *Fiziologia plantelor*, Ed. de stat, București, 1951.
6. PETRESCU L., *Cresterea arborilor și arboretelelor de popi negri hibizi*, Rev. pădurilor, 1957, 7.
7. POP E., PETÉRFI ST., SĂLĂGEANU N. și CHIRILEI H., *Manual de fiziologia plantelor*, București, 1960, II.
8. POPESCU-ZELETIN I., MOCANU V., PUIU S. și ENESCU V., *Contribuții la stabilirea unei metode pentru determinarea creșterii în grosime la arbori în perioada de vegetație*, Comunicările Acad. R.P.R., 1960, X, 12.
9. POPESCU-ZELETIN I., PUIU S. și MOCANU V., *Contribuții la cunoașterea creșterii în grosime a arboretelelor de salcâm în perioada de vegetație*, Stud. și cercet. biol., Seria biol. veget., 1960, XII, 4.
10. — *Cercetări privind evoluția arborilor defoliați de Lymantria monacha L.*, Stud. și cercet. biol., Seria biol. veget., 1961, XIII, 2.
11. TOPÇUOGLU A., *Die Verteilung des Zuwachses auf die Schaftlänge der Bäume*, Berlin, 1940.
12. WECK J., *Zuwachs. und Ertragskunde*, Berlin, 1955.
13. * * * *Les peupliers dans la production et l'utilisation des terres*, F.A.O., Roma, 1956.
14. * * * *Instrucțiuni pentru amenajarea pădurilor din R.P.R.*, București, 1959.

**INFLUENȚA LUMINII ASUPRA ABSORBȚIEI FOSFORULUI
LA PORUMB ȘI SOIA DETERMINATĂ CU AJUTORUL
IZOTOPULUI P³²**

DE

N. ZAMFIRESCU și ST. URTILĂ

Comunicare prezentată de N. SĂLĂGEANU, membru corespondent al Academiei R.P.R., în ședința din 18 mai 1961

Primele cercetări cu privire la influența luminii asupra absorbției au fost făcute de Lepeskin (1908—1909) și Tröndle (1909—1910), autori care constată o mărire a permeabilității membranelor celulare pentru unele substanțe, determinată de lumină.

În decursul timpului s-au înmulțit cercetările urmărindu-se fenomenul atât la organismele vegetale inferioare (alge, saccharomiceți etc.) cât și la cele superioare (O. Schmidt 1936), (8) (Arisz 1948, 1954), (1).

În legătură cu rolul luminii în fenomenul absorbției substanțelor minerale prin rădăcini N. A. Maximov (9) este de părere că hidrații de carbon, formați în cursul fotosintezei, permit o respirație intensă, deci dezvoltarea unei energii mai mari, care favorizează absorbția sărurilor.

Cu privire la absorbția fosforului sunt interesante cercetările făcute de Th. Alberda (1) care constată că fosfații nu pot fi absorbiți de rădăcină decât numai cînd părțile aeriene sunt iluminate, în timp ce la întuneric are loc o ușoară pierdere de fosfor.

Pînă de interes sunt și cercetările făcute de O. M. van Andel, W. H. Arisz și R. Y. Heldér (2) și R. Y. Heldér (6) care conduc pe autori la concluzia că în plante se produce „fosforilarea” glucozei rezultată în cursul fenomenului de fotosinteză.

În experiențele publicate în anul 1960, N. Zamfirescu și colaboratori (11), lucrînd cu plante de porumb ajunse în fază de 3—4 frunze, avînd endospermul încă neepuizat de substanțe nutritive, constată că intensitatea absorbției fosforului prezintă oscilații apreciabile de la

zi la noapte și chiar în timpul zilei, ceea ce constituie o indicație pentru autori, în sensul că lumina joacă un anumit rol în desfășurarea acestui fenomen și că intensitatea afluxului de lumină nu este indiferentă.

Determinați de constatăriile noastre anterioare, precum și de importanță ce-o prezintă cunoașterea amănunțită a factorilor ce influențează utilizarea fosforului de către plantele cultivate, am întreprins experiențe pentru a stabili, dacă lumina este într-adevăr un factor determinant sau numai important în fenomenul de absorbtie a fosforului, în ce măsură ea intensifică pătrunderea ionilor de fosfor și dacă există, din acest punct de vedere, deosebiri între plantele cultivate.

Experiențele au fost executate cu porumb și soia, folosindu-se izotopul P^{32} .

METODA

Plantele crescute în vase pline cu rumegus de lemn pină în fază de 2–3 frunze având încă rezerve de hrană în semințe, erau introduse cu rădăcinile într-o soluție nutritivă în care se adăugase fosforul radioactiv în cantitate de 15–25 $\mu\text{C/l}$.

Pentru menținerea constantă a temperaturii mediului nutritiv ne-am folosit de vase Dewar, temperatura soluției păstrându-se la 20°, în tot cursul experienței.

Plantele au fost așezate cîte două în fiecare vas (numărul total de vase fiind 10), unde au fost ținute la început timp de 24 de ore în condiții naturale de zi-noapte. După acest interval plantele din două vase au fost sacrificiate pentru determinarea fosforului radioactiv absorbit. Restul vaselor au fost împărțite în două grupe de cîte patru. Una din ele a fost ținută 48 de ore în condiții obișnuite de zi-noapte, iar cealaltă la întuneric. După acest timp au fost sacrificiate la fiecare grupă plantele din cîte două vase, determinindu-se din nou fosforul absorbit. În continuare, vasele păstrate la întuneric au fost trecute la condiții obișnuite de zi-noapte, iar celelalte au fost schimbată la întuneric. După 48 de ore s-a făcut ultima determinare a fosforului.

Pentru determinarea fosforului radioactiv ajuns în plantă ne-am folosit de contorul Geiger – Müller. Determinările s-au făcut de fiecare dată în două repetiții, la cantitatea de 10 mg cenușă, rezultată prin incinerarea părților aeriene ale plantelor.

REZULTATE

1. Experiențe cu soia (*Glycine hispida*)

1. Experiențele cu soia s-au executat în prima jumătate a lunii iulie (4–10.VII) cînd ziua durează aproximativ 14 ore, iar noaptea 10 ore.

Fondul inițial de P^{32} , cu care s-a început tratamentul diferențiat al plantelor, a fost de 344 imp./min., realizat în primele 24 de ore cînd plantele au fost ținute în condiții normale de zi-noapte.

Rezultatele obținute sunt redate mai jos:

Faza I (primele 48 de ore)

| | |
|--|---------------|
| a) După 48 de ore la întuneric | 593 imp./min. |
| Fondul inițial | 344 " " |
| Diferență | 249 " " |
| b) După 48 de ore în condiții de zi-noapte | 722 imp./min. |
| Fondul inițial | 344 " " |
| Diferență | 378 " " |

Faza a II-a (următoarele 48 de ore)

| | |
|--|---------------|
| a) După 48 de ore la întuneric | 819 imp./min. |
| Fondul inițial | 722 " " |
| Diferență | 97 " " |
| b) După 48 de ore în condiții de zi-noapte | 858 imp./min. |
| Fondul inițial | 593 " " |
| Diferență | 265 " " |

Rezultatele menționate mai sus dovedesc că plantele de soia absorb fosforul nu numai la lumină dar și la întuneric, fapt care nu concordă în întregime cu constatarilor unora dintre autorii citiți (1).

După primele 48 de ore de absorbtie la întuneric am găsit, în părțile aeriene ale plantelor, o cantitate de fosfor radioactiv ce corespunde la 593 imp./min. din care, dacă se scade fondul inițial de 344 imp./min., rămîne o diferență de 249 imp./min.

În faza a doua a experienței, deci în următoarele 48 de ore, cînd plantele ținute în întuneric au fost trecute în condiții normale de zi-noapte, iar cele ce fusese în condiții normale au fost trecute la întuneric, se constată:

La întuneric după 48 de ore s-a acumulat, în părțile aeriene, o cantitate de P^{32} corespunzătoare la 819 imp./min., ceea ce înseamnă un plus față de fondul inițial de 97 imp./min.

Prin intervenția luminii, mai precis în condiții normale de zi-noapte, se obțin în prima fază a experienței 722 imp./min., deci un plus față de fondul inițial de 378 imp./min., iar față de ceea ce se petrece la întuneric un plus de 39 imp./min., adică o valoare mult mai mică decit cea găsită la întuneric în aceleasi condiții în primele 48 de ore.

După cum reiese din datele obținute, absorbtia fosforului se face atât la lumină, cît și la întuneric. Lumina nu este deci un factor determinant; ea însă, mărește apreciabil capacitatea plantei de a-și însuși fosforul din mediul nutritiv în care funcționează rădăcinile.

Pentru a scoate mai bine în evidență contribuția luminii la absorbtia fosforului, socotim nimerit să calculăm și viteza medie de absorbtie a fosforului la întuneric (în timpul noptii) și la lumină (în timpul zilei) exprimată prin numărul de impulsuri ce revin pe oră. Pentru aceasta ne servim de unele din datele mai sus amintite.

| Faza I (primele 48 de ore) | Fosfor absorbit | Viteză medie/oră |
|--|-----------------|------------------|
| Întuneric (48 de ore) | 249 imp./min. | 5,18 imp./min. |
| Întuneric-lumină (noapte 20 de ore + zi 28 de ore) | 378 " " | 7,87 " " |
| Lumină (zi 28 de ore) | 274 " " | 9,80 " " |

Faza a II-a (următoarele 48 de ore)

| | | |
|--|--------------|----------------|
| Întuneric (48 de ore) | 97 imp./min. | 2,02 imp./min. |
| Întuneric-lumină (noapte 20 de ore + zi 28 de ore) | 265 " " | 5,33 " " |
| Lumină (zi 28 de ore) | 225 " " | 8,03 " " |

Reiese de aici că în primele 48 de ore viteza medie cu care se absoarbe fosforul la întuneric (în timpul nopții) corespunde la 5,18 imp./min./oră, iar în timpul zilei la 9,80 imp./min./oră. Cu alte cuvinte în timpul zilei fosforul este absorbit cu intensitate medie aproximativ de două ori mai mare decât în timpul nopții.

În următoarele 48 de ore de experimentare, viteza de absorbție scade atât la întuneric, cât și la lumină, probabil datorită satisfacerii parțiale a necesităților plantei pentru fosfor. La întuneric viteza medie de absorbție scade la 2,02 imp./min./oră, iar la lumină la 8,03 imp./min./oră. După cum se vede, în faza a doua a experienței efectul stimulator al luminii asupra absorbției deși se manifestă într-o măsură ceva mai redusă decât în prima fază, totuși în raport cu viteza absorbției la întuneric ea este aproximativ de 4 ori mai mare.

Dacă luăm în considerare și fosforul absorbit în primele 24 de ore (înainte de începerea tratamentului diferențiat), cînd s-au măsurat 344 imp./min., ceea ce însemnează o intensitate medie de 14,33 imp./min./oră, putem afirma că intensitatea absorbției scade în timp, pe măsură ce plantele își acoperă parțial necesitatea de fosfor, după cum urmează :

| | |
|-----------------------|---------------------|
| Primele 24 de ore | 14,33 imp./min./oră |
| Următoarele 48 de ore | 7,87 " " " |
| Ultimele 48 de ore | 5,33 " " " |

Datele obținute în experiența cu soia arată foarte clar că plantele absorb fosforul nu numai cînd părțile verzi sunt expuse luminii, dar și la întuneric. Din acest punct de vedere constatăriile noastre se deosebesc de ale altor autori (1). Lumina nu pare a fi un factor determinant, cel puțin atît timp cît în sămîntă mai sunt încă rezerve de hrană, așa cum este cazul în experiența noastră.

Lumina intervine totuși în fenomenul absorbției fosforului în mod indirect prin substanțele hidrocarbonate elaborate de plantă în cursul fotosintezei. După părereea noastră ea acționează, prin substanțele hidrocarbonate produse, în două direcții : o parte din substanțele hidrocarbonate sunt oxidate în procesul de respirație, furnizînd energia ce stă la baza fenomenelor vitale, inclusiv a absorbției fiziológice ; o altă parte formează cu fosforul compuși organo-minerali, fapt care facilitează pătrunderea în plantă a noi cantități de fosfor, ceea ce mărește capacitatea momentană de acumulare a plantei față de fosfor. În sprijinul acestei păreri vin și cercetările făcute de O. M. van Andel, W. H. Arisz și R. Y. Helder (2) și R. Y. Helder (6) autori care aduc dovezi în sprijinul „fosforilării” glucozei rezultată în fotosinteză.

Datele prezentate mai înainte dovedesc participarea luminii la absorbția fosforului, lumina fiind însă factor favorizator, dar nu determinant al fenomenului. Ea acționează indirect prin substanțele hidrocarbonate produse în fotosinteză, care măresc atît viteza de absorbție cât și capacitatea plantei de a acumula fosforul.

2. Experiență cu porumb (*Zea mays*)

Experiența cu porumb a fost executată între 12 și 20.VII, în aceleasi condiții ca și experiența precedentă, cu singura deosebire că soluția nutritivă a avut un conținut ceva mai ridicat de P³². Fondul initial de P³² (după 24 de ore de absorbție în condiții normale de zi-noapte) a fost de 3 893 imp./min.

Rezultatele obținute sunt expuse mai jos :

Faza I (primele 48 de ore)

| | |
|--|-----------------|
| a) După 48 de ore la întuneric | 6 996 imp./min. |
| Fondul initial | 3 893 " " |
| Diferență | 1 888 " " |
| b) După 48 de ore în condiții de zi-noapte | 8 884 " " |
| Fondul initial | 3 893 " " |
| Diferență | 4 991 " " |

Faza a II-a (următoarele 48 de ore)

| | |
|--|------------------|
| a) După 48 de ore la întuneric | 12 124 imp./min. |
| Fondul initial | 8 884 " " |
| Diferență | 3 240 " " |
| b) După 48 de ore (în condiții de zi-noapte) | 13 378 " " |
| Fondul initial | 6 996 " " |
| Diferență | 6 482 " " |

Din cifrele expuse mai înainte reiese că porumbul, ca și soia, absoarbe fosforul nu numai cînd părțile aeriene primesc lumina zilei, dar și la întuneric. Într-adevăr, după primele 48 de ore, la întuneric s-a acumulat în plante o cantitate însemnată de fosfor, peste aceea inițială, care corespunde la 1 888 imp./min., ceea ce reprezintă 79% peste fondul inițial.

În următoarele 48 de ore (faza a II-a) s-a absorbit și acumulat la întuneric, în părțile aeriene, o cantitate de P³², peste fondul inițial, ce corespunde la 3 240 imp./min., adică s-a produs o sporire a intensității de absorbție față de prima fază, fapt care se exprimă prin diferență $3 240 - 1 888 = 1 352$ imp./min. (spre deosebire de constatariile făcute la soia), ceea ce înseamnă un plus de 71%.

Din momentul în care intervine influența luminii de zi, deci în condițiile normale de zi-noapte, fosforul se absoarbe cu intensitate mai mare decât la întuneric, ajungîndu-se în faza I a experienței (după primele 48 de ore) la 8 884 imp./min., adică la 4 991 imp./min. peste fondul inițial, ceea ce înseamnă un plus de 128%, iar în comparație cu fosforul absorbit la întuneric un plus de 3 103 imp./min. sau 69%.

În faza a II-a a experienței, deci în următoarele 48 de ore, intensitatea absorbției fosforului în condiții de zi-noapte se mărește față de ceea ce se întâmplă la întuneric. Într-adevăr, se acumulează în părțile verzi ale plantei o cantitate de fosfor corespunzătoare la un număr de 6 482 imp./min., ceea ce constituie un plus față de plantele ținute la întuneric de 3 242 imp./min., adică 100%.

Absorbția fosforului în condiții de zi-noapte are loc deci cu intensitate mai mare decât la întuneric, iar cantitatea de fosfor absorbit nu scade cind plantele trec în faza a II-a de experimentare, ci dimpotrivă sporește, ceea ce reprezintă o deosebire marcantă față de cele constatate la soia, plantă la care, în aceeași perioadă, s-a înregistrat o scădere de 36% a cantității de fosfor pătruns în plantă.

Rezultă în mod foarte clar că porumbul, ca și soia, absoarbe fosforul atât la lumină cât și la întuneric, lumina fiind un factor care ajută plantei să-și însușească mai mult fosfor din mediul nutritiv. Există totuși unele deosebiri între plantele cercetate.

Pentru a scoate mai bine în evidență particularitățile porumbului sub raportul absorbției fosforului, precum și unele din deosebirile biologice dintre porumb și soia, este indicat să se calculeze viteza medie orară cu care fosforul pătrunde prin rădăcini.

În acest scop ne folosim de datele de mai sus procedind ca și în experiențele cu soia.

| Faza I (primele 48 de ore) | Fosfor absorbit | Viteza medie/oră |
|--|-----------------|------------------|
| Întuneric 48 de ore | 1 888 imp./min. | 39,3 imp./min. |
| Întuneric-lumină (noapte 20 de ore + zi 28 de ore) | 4 991 " " | 103,9 " " |
| Lumină (zi 28 de ore) | 4 205 " " | 150,1 " " |
| Faza a II-a (următoarele 48 de ore) | | |
| Întuneric (48 de ore) | 3 240 " " | 67,5 " " |
| Întuneric-lumină (noapte 20 de ore + zi 28 de ore) | 6 482 " " | 135,0 " " |
| Lumină (zi 28 de ore) | 5 132 " " | 183,1 " " |

După cum rezultă din calcule, viteza medie orară cu care plantele de porumb și-au însușit fosforul la întuneric în prima fază a experienței a fost corespunzătoare la 39,3 imp./min., iar în timpul zilei la 150,1 imp./min. Adică la lumină porumbul a absorbit fosforul cu o viteza aproximativ de 4 ori mai mare decât la întuneric.

În faza a II-a de experimentare, viteza de absorbție la întuneric sporește la 67,5 imp./min., adică este cu 28,2 imp./min./oră mai mare decât în prima fază, iar la lumină viteza atinge 183,1 imp./min./oră, fiind deci cu 33,1 imp./min./oră mai mare decât în prima fază. De aici se poate deduce că efectul stimulator al luminii a crescut în oarecare măsură.

Dacă ne referim la viteza de absorbție a fosforului în condiții de zi-noapte, începând cu primele 24 de ore înainte de aplicarea tratamentului diferențiat constatăm :

| | | |
|-----------------------|-------|---------------|
| Primele 24 de ore | 162,1 | imp./min./oră |
| Următoarele 48 de ore | 103,9 | " " " |
| Ultimele 48 de ore | 135,0 | " " " |

De aici deducem că intensitatea absorbției în condiții de zi-noapte scade la început, probabil datorită acoperirii parțiale a necesităților plantelor față de fosfor. Mai târziu însă, în ultimele 48 de ore, fosforul pătrunde cu o viteza sporită, probabil din cauza creșterii suprafetei foliare, care permite formarea de cantități mai mari de substanțe hidrocarbonate. Aceste substanțe, așa cum am arătat mai înainte, măresc viteza de absorbție a fosforului, ca și capacitatea plantei de a acumula acest element.

CONCLUZII

Datele experimentale obținute, ne permit să tragem următoarele concluzii mai importante :

Absorbția fosforului prin rădăcini are loc indiferent dacă părțile aeriene ale plantelor primesc sau nu lumina zilei. Așadar, lumina nu este un factor determinant.

Lumina reprezintă totuși un factor stimulator important al absorbției fosforului, ea acționând indirect, prin substanțele hidrocarbonate produse în fenomenul fotosintezei. Aceste substanțe oxidate în procesul de respirație furnizează energie pentru pătrunderea pe cale fiziologică a fosforului și tot ele fixează fosforul în compușii organo-minerali. Consecința este o sporire a vitezei de absorbție, precum și a capacitatii plantei pentru înmagazinarea fosforului.

Desigur că sănătatea plantei este deosebită între specii din punctul de vedere al rolului ei și că lumina în absorbția fosforului prin rădăcini, fapt care devine evident dacă se compară soia (*Glycine hispida*) cu porumbul (*Zea mays*).

Lumina favorizează marcat absorbția fosforului la ambele plante, dar în măsură mai mare la porumb decât la soia. Astfel, în prima fază a experienței soia și sporește, sub influența luminii, intensitatea absorbției cu 89%, în timp ce porumbul cu 281%.

De asemenea, în ultima fază a experienței influența luminii se resimte la soia mai puțin decât în prima fază, spre deosebire de ceea ce se petrece cu porumbul, la care viteza de absorbție sporește în măsură apreciabilă.

Faptul că lumina primită de părțile verzi ale plantei este un puternic factor stimulator al absorbției fosforului, întărește importanța ce trebuie să acordăm în fitotehnică folosirii unei distanțe potrivite între plante, justei orientări a rîndurilor, ca și înălțării buruienilor din culturi.

Din cele expuse mai înainte se mai poate conchide că valorificarea îngrășămintelor fosfatice de către plante are loc mai bine în timpul

verii, cind zilele sunt lungi și intensitatea luminoasă mare, decât în celelalte anotimpuri.

De altfel, datele fitotehnice referitoare la absorbția fosforului arată că plantele cultivate, în marea lor majoritate, își insușesc din sol fosforul în proporție precum părțile în lunile iunie-iulie-august.

ВЛИЯНИЕ СВЕТА НА ПОГЛОЩЕНИЕ ФОСФОРА У КУКУРУЗЫ И СОИ, ОПРЕДЕЛЕННОЕ С ПОМОЩЬЮ ИЗОТОПА Р³²

РЕЗЮМЕ

Данные опытов позволяют нам сделать следующие основные выводы.

Поглощение фосфора корнями имеет место независимо от того, получают ли или нет наземные части растений дневной свет. Таким образом, дневной свет не является определяющим фактором. Все же свет представляет собой важный стимулирующий поглощение фосфора фактор, действующий косвенно через углеводы, получаемые путем фотосинтеза. Эти вещества, окисляемые в процессе дыхания, поставляют энергию для проникновения фосфора физиологическим путем и они же фиксируют фосфор в виде органо-минеральных соединений. Следствием этого является повышение скорости поглощения, а также способности растения накапливать фосфор.

Существуют, конечно, различия между видами в отношении роли, играемой светом в поглощении фосфора корнями; это становится ясным, если сравнивать сою (*Glycine hispida*) с кукурузой (*Zea mays*).

Свет заметно благоприятствует поглощению фосфора обоими растениями, но кукурузой в более сильной степени, чем соей. Так, в первой фазе опыта, под влиянием света у сои интенсивность поглощения повысилась на 89%, тогда как у кукурузы — на 281%.

В последней фазе опыта влияние света у сои чувствуется в меньшей степени, чем в первой фазе, в отличие от кукурузы, у которой скорость поглощения в значительной мере увеличивается.

То обстоятельство, что свет, освещая зеленые части растения, является мощным стимулятором поглощения фосфора, подтверждает значение, которое следует придавать в растениеводстве сохранению надлежащих расстояний между растениями, правильному направлению рядов и удалению сорняков из посевов.

Из изложенного можно заключить, что использование фосфорных удобрений растениями лучше всего происходит летом при длинном дне и большой интенсивности света, чем в другие времена года.

Данные, касающиеся поглощения фосфора, также показывают, что большинство культурных растений большую часть фосфора усваивают из почвы в течение июня, июля и августа месяцев.

INFLUENCE DE LA LUMIÈRE SUR L'ABSORPTION DU PHOSPHORE PAR LES PLANTES DE MAÏS ET DE SOJA, DÉTERMINÉE À L'AIDE DE L'ISOTOPE P³²

RÉSUMÉ

Les données expérimentales obtenues permettent aux auteurs des conclusions dont les plus importantes sont les suivantes :

L'absorption du phosphore par les racines a lieu, indifféremment du fait que les parties aériennes des plantes reçoivent la lumière du jour ou non. La lumière n'est donc pas un facteur déterminant. Elle représente toutefois un facteur stimulant important de l'absorption du phosphore, en agissant directement, par les hydrates de carbone produits au cours du phénomène de photosynthèse. Ces substances, oxydées au cours du processus de la respiration, fournissent l'énergie nécessaire à la pénétration du phosphore par voie physiologique et ce sont encore elles qui fixent le phosphore dans les composés organo-minéraux. D'où, vitesse d'absorption et capacité de la plante d'emmagerer le phosphore, accrues, toutes deux.

Il y a évidemment des différences entre les espèces, au point de vue du rôle de la lumière dans l'absorption du phosphore par les racines, qui ressortent clairement si l'on compare le soja (*Glycine trispida*) au maïs (*Zea mays*).

La lumière facilite d'une manière très nette l'absorption du phosphore par les deux plantes et surtout par le maïs. A la première phase de l'expérimentation, l'intensité d'absorption du phosphore s'accroît chez le soja de 89% et chez le maïs, de 281%.

A la dernière phase de l'expérience, l'influence de la lumière est moins marquée qu'à la première phase, pour le soja, tandis que, pour le maïs, la vitesse d'absorption s'élève en une mesure appréciable.

Le fait que la lumière qui baigne les parties vertes constitue un puissant facteur stimulant de l'absorption du phosphore fait ressortir l'importance que l'on doit accorder, en phytotechnie, à la distance de semis, à l'orientation convenable des lignes, à la destruction des mauvaises herbes des cultures.

Il ressort de ce qui précède que les plantes font un meilleur usage des engrains phosphatés en été, quand les jours sont longs et la lumière intense, que dans les autres saisons.

D'ailleurs, les données phytotechniques relatives à l'absorption du phosphore témoignent du fait que la grande majorité des plantes cultivées assimilent le phosphore du sol, en une proportion prépondérante, aux mois de juin, juillet et août.

BIBLIOGRAFIE

1. ALBERDA TH., *The influence of some external factors on growth and phosphate uptake of maize plants of different salt conditions*, Rec. Trav. bot. neerl., 1948, **41**, 541–601.
2. ANDEL O. M. VAN, ARISZ W. H. a. HELDER R. Y., *Influence of light and sugar on growth and salt intake by maize*, Proc. Kon. Nederl. Akad. V. Wetensch., 1950, **53**, 159–171.
3. BRAUNER LEO, *Die Beeinflussung des Stoffaustausches durch das Licht. Handbuch der Pflanzenphysiologie*, Berlin, 1956, **II**, 381–397.
4. BURG A. H. VAN DER, *Influence of light on the absorption of potassium by maize plants in carbon dioxide-free air*, Proc. Kon. Nederl. Akad. V. Wetensch., C 1952, **55**, 279–281.
5. BÜNNING E., MOTHEK K. V. u. WETTSTEIN E., *Lehrbuch der Pflanzenphysiologie*, Berlin, 1939, **II**.
6. HELDER R. Y., *Analysis of the process of anion uptake of intact maize plants*, Acta bot. neerl., 1952, **1**, 361–434.
7. INOLD C. T., *The effect of light on the absorption of salts by Elodea canadensis*, New physiologist, 1936, **35**, 132–141.
8. LUTTKUS u. BÜTTICHER, *Über die Ausscheidung von Aschenstoffen durch die Wurzeln I*, Planta, 1939, **29**, 325–340.
9. MAXIMOV N. A., *Fiziologia plantelor*, Ed. de stat, București, 1951.
10. RUHLAND W., *Handbuch der Pflanzenphysiologie*, Berlin – Göttingen – Heidelberg, 1956, **II**.
11. ZAMFIRESCU N., BILTEANU GH. și URTILĂ ST., *Influența temperaturii asupra absorbției fosforului la porumb, fasole, măzăre, determinată cu ajutorul fosforului radioactiv P^{32}* , Stud. și cercet. biol. veget., 1960, **XII**, 1, 107–119.

DESPRE FOTOSINTEZA LA FRUNZELE PERSISTENTE
ALE UNOR SPECII ÎN DECURSUL IERNII

DE

N. SĂLĂGEANU

MEMBRU CORESPONDENT AL ACADEMIEI R.P.R.

și L. ATANASIU

Comunicare prezentată în ședința din 18 mai 1961

Găsind în bibliografia științifică date contradictorii referitoare la fotosinteză în timpul iernii, la frunzele persistente ale diferitelor plante, am făcut în iarna anului 1959–1960 unele cercetări în această privință.

Materialul de experiență a constat din ramuri cu frunze de *Hedera helix*, *Thuja orientalis*, *Mahonia aquifolium* și *Buxus sempervirens*, provenit din Grădina botanică.

Ne-am servit de metoda lui L. A. Ivanov (15) și de metoda curentului de aer (16). În ambele metode ne-am folosit de ramuri desprinse de plantă, introduse în camerele de asimilatie respective. Expunerea s-a făcut la lumina zilei și la temperatura aerului de afara. Durata expunerii a fost de 2–3 ore, la determinările făcute prin metoda Ivanov, și de 60–70 minute prin metoda curentului de aer. S-a determinat temperatura în camera de asimilație, intensitatea luminii și concentrația CO_2 în aer înainte și după expunerea frunzelor. Rezultatele experiențelor sunt trecute în tabelele nr. 1–6.

La *Hedera helix*, în determinările efectuate prin metoda Ivanov (tabelul nr. 1), frunzele au asimilat CO_2 . În aceste experiențe temperatura aerului nu a depășit -6° , iar lumina a fost relativ intensă, cuprinsă între 8 000 și 40 000 lux.

În determinările efectuate prin metoda curentului de aer (tabelul nr. 2), temperatura nu a coborât sub -1° . Lumina a fost în multe determinări slabă, ajungând pînă la 2 700 lux în 26. I. 1960. Frunzele au asimilat CO_2 , cu excepția a două cazuri, cînd s-a constatat o ușoară producere de CO_2 la lumină. Aceste cazuri au fost în 26. I. 1960, cînd intensitatea luminii era slabă.

Tabelul nr. 1
Fotosinteză frunzelor de *Hedera helix*
 Determinări efectuate prin metoda L. A. Ivanov

| Nr. probei | Data | Ora expunerii | Durata expunerii | Intensitatea luminii lux | Temperatura în camera de asimilatie °C | Greutatea materialului g | cm³ CO₂ la 1000 cm³ aer la 0°C proba de experientă marțor | cm³ CO₂/g s.p./h | Intensitatea fotosintizei cm³ CO₂/g cm³ CO₂/dm²/h | Observații |
|------------|-------------|---------------------|------------------|--------------------------|--|--------------------------|---|------------------|---|---------------------------|
| 1 | 1.III.1960 | 10—12 ³⁰ | 150 | 40 000 | -2 | 4,2 | 0,3238 | 0,0284 | 0,0906 | — |
| 2 | 1.III.1960 | 10—12 ³⁰ | 150 | 40 000 | -2 | 3,6 | 0,3238 | 0,0333 | 0,1040 | — |
| 3 | 1.III.1960 | 10—12 ³⁰ | 150 | 40 000 | -2 | 3,7 | 0,3238 | 0,0305 | 0,1021 | — |
| 4 | 3.III.1960 | 9 ³⁰ —12 | 150 | 15 000 | -2,5 | 2,75 | 0,3224 | 0,2001 | 0,0571 | 0,1378 |
| 5 | 3.III.1960 | 9 ³⁰ —12 | 150 | 15 000 | -2,5 | 2,62 | 0,3224 | 0,1506 | 0,0845 | 0,2031 |
| 6 | 3.III.1960 | 9 ³⁰ —12 | 150 | 15 000 | -2,5 | 2,75 | 0,3224 | 0,1945 | 0,0598 | 0,1442 |
| 7 | 6.III.1960 | 11—13 ³⁰ | 150 | 38 000 | -6 | 4,6 | 0,3095 | 0,1363 | 0,0491 | 0,1184 |
| 8 | 6.III.1960 | 11—13 ³⁰ | 150 | 38 000 | -6 | 2,97 | 0,3095 | 0,1503 | 0,0728 | 0,1760 |
| 9 | 6.III.1960 | 11—13 ³⁰ | 150 | 38 000 | -6 | 2,95 | 0,3095 | 0,1753 | 0,0593 | 0,1436 |
| 10 | 6.III.1960 | 11—13 ³⁰ | 150 | 38 000 | -6 | 3,65 | 0,3095 | 0,1164 | 0,1042 | 0,2554 |
| 11 | 12.III.1960 | 10—12 ³⁰ | 150 | 8 000 | 5 | 6,35 | 0,3636 | 0,2481 | 0,0227 | 0,0523 |
| 12 | 12.III.1960 | 10—12 ³⁰ | 150 | 8 000 | 5 | 4,25 | 0,3636 | 0,3493 | 0,0400 | 0,0193 |
| 13 | 12.III.1960 | 10—12 ³⁰ | 150 | 8 000 | 5 | 4,20 | 0,3636 | 0,3921 | -0,0084 | sub punctul de compenșare |
| | | | | | | | | | -0,0202 | pensie |

Tabelul nr. 2
Fotosinteză frunzelor de *Hedera helix*
 Determinări efectuate prin metoda enervanțui de aer

| Nr. probei | Data | Ora expunerii | Durata expunerii | Intensitatea luminii lux | Temperatura în camera de asimilatie °C | Greutatea materialului g | cm³ CO₂ la 1000 cm³ aer la 0°C proba marțor | cm³ CO₂/g s.p./h | Intensitatea fotosintizei cm³ CO₂/g s.p./h | Observații |
|------------|-----------|------------------------------------|------------------|--------------------------|--|--------------------------|---|------------------|--|----------------------------|
| 1 | 26.I.1960 | 9 ⁴⁵ —10 ⁵⁰ | 65 | 2 700 | -1 | 4,8 | 0,3459 | 0,3536 | -0,0089 | sub punctul de compensație |
| 2 | 26.I.1960 | 9 ⁴⁵ —10 ⁴⁵ | 60 | 2 700 | -1 | 3,1 | 0,3459 | 0,3682 | -0,0433 | idem |
| 3 | 26.I.1960 | 12—13 ¹⁰ | 70 | 2 900 | 0 | 3,75 | 0,3523 | 0,3120 | 0,0552 | — |
| 4 | 26.I.1960 | 12—13 ¹² | 72 | 2 900 | 0 | 2,85 | 0,3523 | 0,3548 | 0 | la punctul de compensație |
| 5 | 28.I.1960 | 8 ⁴⁵ —9 ⁴⁵ | 60 | 45 000 | 5,3 | 3,65 | 0,3563 | 0,3182 | 0,0104 | — |
| 6 | 28.I.1960 | 8 ⁴⁵ —9 ⁴⁵ | 60 | 45 000 | 5,3 | 4,45 | 0,3563 | 0,3182 | 0,0850 | — |
| 7 | 28.I.1960 | 10 ⁵⁰ —12 ⁰⁸ | 78 | 4 000 | 9 | 1,75 | 0,3590 | 0,1768 | 0,4643 | — |
| 8 | 28.I.1960 | 10 ⁵⁰ —12 ⁰⁸ | 73 | 4 000 | 9 | 2,45 | 0,3590 | 0,1605 | 0,3844 | — |
| 9 | 29.I.1960 | 8 ⁴⁵ —9 ⁵⁰ | 65 | 15 000 | -1 | 2,73 | 0,3469 | 0,2634 | 0,0435 | — |
| 10 | 29.I.1960 | 8 ⁴⁵ —9 ⁵⁰ | 65 | 15 000 | -1 | 3,20 | 0,3469 | 0,2723 | 0,0327 | — |
| 11 | 29.I.1960 | 11—12 ¹⁰ | 70 | 4 000 | 2 | 2,40 | 0,3405 | 0,2068 | 0,0743 | — |
| 12 | 29.I.1960 | 11—12 ¹⁰ | 67 | 4 000 | 2 | 2,95 | 0,3405 | 0,2344 | 0,0595 | — |

Tabelul nr. 3
Fotosinteză frunzelor de *Thuya orientalis*
 Determinări efectuate prin metoda curentului de aer

| Nr. probei | Data | Ora expunerii | Durata expunerii minute | Intensi- tatea luminii lux | Tempera- tură luminii °C | Greutatea materi- alului g | $\text{cm}^3 \text{CO}_2$ la 1000 cm ³ aer la 0°C | | Intensitatea fotosinteză cm^3 $\text{CO}_2/\text{g s.p./h}$ | Observații |
|---------------|-------------|------------------------------------|-------------------------------|-------------------------------------|-----------------------------------|-------------------------------------|---|------------------------|---|------------|
| | | | | | | | proba marțor | proba de experiенță | | |
| 1 | 24.XII.1959 | 11 ⁵⁰ —12 ⁵² | 62 | 400 | 5,5 | 6,8 | 0,3116 | 0,2152 | 0,0688 | |
| 2 | 24.XII.1959 | 11 ⁵⁰ —12 ⁵⁰ | 60 | 500 | 5,5 | 9,9 | 0,3116 | 0,3528 | -0,0412 | |
| 3 | 24.XII.1959 | 13 ³⁰ —14 ³² | 62 | 500 | 5,5 | 7,35 | 0,3074 | 0,3224 | -0,0146 | |
| 4 | 24.XII.1959 | 13 ³⁰ —14 ³⁰ | 60 | 500 | 5,5 | 6,14 | 0,3074 | 0,2542 | 0,0532 | |
| 5 | 25.XII.1959 | 9 ⁵⁵ —11 ²⁰ | 85 | 500 | 8 | 9,00 | 0,3342 | 0,4484 | -0,0520 | |
| 6 | 25.XII.1959 | 9 ⁵⁵ —11 ¹⁴ | 79 | 500 | 8 | 6,70 | 0,3342 | 0,3076 | 0,0089 | |
| 7 | 26.XII.1959 | 10 — 10 ⁵⁴ | 54 | 3 000 | 4 | 9,2 | 0,3235 | 0,3334 | -0,0069 | |
| 8 | 26.XII.1959 | 10 — 10 ⁵² | 52 | 3 000 | 4 | 5,07 | 0,3235 | 0,3201 | 0,0042 | |
| 9 | 26.XII.1959 | 14 ⁰⁸ —15 ⁰⁸ | 55 | 3 000 | 4 | 7,04 | 0,3155 | 0,2875 | 0,0256 | |
| 10 | 26.XII.1959 | 14 ⁰⁸ —15 ⁰⁸ | 54 | 3 000 | 4 | 4,03 | 0,3155 | 0,3216 | -0,0098 | |
| 11 | 30.XII.1959 | 9 ⁵⁷ —10 ⁵⁸ | 57 | 50 000 | 12 | 4,2 | 0,3432 | 0,2446 | 0,1442 | |
| 12 | 30.XII.1959 | 9 ⁵⁷ —10 ⁵¹ | 51 | 50 000 | 12 | 3,5 | 0,3432 | 0,2549 | 0,1542 | |
| 13 | 30.XII.1959 | 11 ³⁷ —12 ²³ | 46 | 50 000 | 12 | 4,5 | 0,3409 | 0,1721 | 0,2436 | |
| 14 | 30.XII.1959 | 11 ³⁷ —12 ³⁴ | 57 | 50 000 | 12 | 4,25 | 0,3409 | 0,1721 | 0,3190 | |

| | | | | | | | | | | |
|----|------------|------------------------------------|-----|--------|------|-------|--------|--------|---------|--|
| 15 | 19.I.1960 | 9 ⁵⁰ —11 ¹⁵ | 85 | 4 000 | 2 | 2,10 | 0,3388 | 0,3253 | 0,0268 | |
| 16 | 19.I.1960 | 9 ⁵⁰ —11 ¹⁵ | 85 | 4 000 | 2 | 2,37 | 0,3388 | 0,2933 | 0,0805 | |
| 17 | 19.I.1960 | 13 ⁰⁵ —14 ¹⁵ | 100 | 2 500 | 4 | 1,37 | 0,3233 | 0,2936 | 0,0744 | |
| 18 | 19.I.1960 | 13 ⁰⁵ —14 ¹⁵ | 100 | 2 500 | 4 | 1,20 | 0,3233 | 0,2298 | 0,2950 | |
| 19 | 20.I.1960 | 8 ³⁰ —9 ⁴⁰ | 70 | 30 000 | 3 | 8,15 | 0,3272 | 0,1555 | 0,4060 | |
| 20 | 20.I.1960 | 8 ³⁰ —9 ⁵⁵ | 85 | 30 000 | 3 | 1,50 | 0,3272 | 0,2268 | 0,2800 | |
| 21 | 20.I.1960 | 11 — 12 ⁴⁰ | 100 | 12 000 | 3 | 2,07 | 0,3367 | 0,3111 | 0,0439 | |
| 22 | 20.I.1960 | 11 — 12 ⁴⁰ | 100 | 12 000 | 3 | 1,60 | 0,3367 | 0,2487 | 0,1950 | |
| 23 | 21.I.1960 | 9 ²⁵ —10 ⁴² | 77 | 5 000 | 5 | 1,83 | 0,3387 | 0,2455 | 0,2344 | |
| 24 | 21.I.1960 | 9 ²⁵ —10 ⁴⁴ | 79 | 5 000 | 5 | 1,35 | 0,3387 | 0,2993 | 0,1244 | |
| 25 | 3.III.1960 | 8 ⁴⁵ —10 ⁰⁶ | 80 | 35 000 | -3 | 4,2 | 0,3138 | 0,2377 | 0,0824 | |
| 26 | 3.III.1960 | 8 ⁴⁵ —10 | 75 | 35 000 | -3 | 3,76 | 0,3138 | 0,2658 | 0,0748 | |
| 27 | 5.III.1960 | 9 ²⁵ —10 ⁵⁵ | 70 | 40 000 | -9 | 9,51 | 0,3518 | 0,2132 | 0,0769 | |
| 28 | 5.III.1960 | 9 ²⁵ —10 ⁵⁵ | 70 | 40 000 | -9 | 9,10 | 0,3518 | 0,2313 | 0,0689 | |
| 29 | 5.III.1960 | 14 ³⁰ —15 ²⁵ | 55 | 3 000 | -5,7 | 11,85 | 0,3349 | 0,4395 | -0,0586 | |
| 30 | 5.III.1960 | 14 ³⁰ —15 ¹⁵ | 45 | 3 000 | -5,7 | 11,45 | 0,3349 | 0,4012 | -0,0493 | |
| 31 | 8.III.1960 | 9 ¹⁰ —10 ⁰⁸ | 59 | 11 000 | -7,5 | 4,50 | 0,3124 | 0,2808 | 0,0653 | |
| 32 | 8.III.1960 | 9 ¹⁰ —10 ¹⁴ | 64 | 11 000 | -7,5 | 6,72 | 0,3124 | 0,2754 | 0,0228 | |
| 33 | 8.III.1960 | 11 ⁵⁰ —13 | 70 | 4 000 | -5,5 | 5,72 | 0,3066 | 0,2488 | 0,0576 | |
| 34 | 8.III.1960 | 11 ⁵⁰ —12 ⁵⁵ | 65 | 4 000 | -5,5 | 6,25 | 0,3066 | 0,3264 | -0,0198 | |

Tabelul nr. 4

Fotosintiza frunzelor de *Mahonia aquifolium*
Determinari efectuate prin metoda cuantului de aer

| Nr. probei | Data | Ora expunerii | Durata expunerii minute | Intensitatea lumini lux | Temperatura in camera de asimilatie °C. | Greutatea materialului g | proba de experimentator | Intensitatea fotosintizei cm ³ CO ₂ /g s.p./h | Observatii |
|------------|-----------|------------------------------------|-------------------------|-------------------------|---|--------------------------|-------------------------|---|-----------------------------|
| 1 | 9.I.1960 | 10 ⁵⁰ -12 ⁰⁵ | 75 | 45 000 | 3 | 1,27 | 0,3495 | 0,2387 | 0,4629 |
| 2 | 9.I.1960 | 10 ⁵⁰ -12 ¹⁴ | 84 | 45 000 | 3 | 0,97 | 0,3495 | 0,2712 | 0,3310 |
| 3 | 9.I.1960 | 13 ⁵⁰ -14 ³⁵ | 45 | 20 000 | 3 | 1,27 | 0,3348 | 0,3317 | 0 la punctul de compensatie |
| 4 | 9.I.1960 | 13 ⁵⁰ -15 ⁰⁷ | 77 | 20 000 | 3 | 0,97 | 0,3348 | 0,3324 | 0 idem |
| 5 | 19.I.1960 | 9 ⁵⁰ -11 ¹⁵ | 85 | 4 000 | 2 | 2,10 | 0,3726 | 0,3580 | 0,0348 |
| 6 | 19.I.1960 | 9 ⁵⁰ -11 ¹⁵ | 85 | 4 000 | 2 | 2,37 | 0,3726 | 0,3215 | 0,9944 |
| 7 | 19.I.1960 | 13 ⁰⁵ -14 ⁴⁵ | 100 | 2 500 | 4 | 1,37 | 0,3576 | 0,3205 | 0,0959 |
| 8 | 19.I.1960 | 13 ⁰⁵ -14 ⁴⁵ | 100 | 2 500 | 4 | 1,25 | 0,3576 | 0,2458 | 0,3168 |
| 9 | 20.I.1960 | 9 ³⁰ -10 ⁴⁰ | 70 | 30 000 | 3 | 2,15 | 0,3601 | 0,1719 | 0,4446 |
| 10 | 20.I.1960 | 9 ³⁰ -10 ⁴⁵ | 85 | 30 000 | 3 | 1,50 | 0,3601 | 0,2495 | 0,3080 |
| 11 | 20.I.1960 | 12 ⁰⁵ -13 ⁴⁵ | 100 | 3 000 | 3 | 2,07 | 0,3702 | 0,2903 | 0,1370 |
| 12 | 20.I.1960 | 12 ⁰⁵ -13 ⁴⁵ | 100 | 3 000 | 3 | 1,60 | 0,3702 | 0,2736 | 0,2148 |
| 13 | 21.I.1960 | 10 ¹⁰ -11 ²⁷ | 77 | 5 000 | 5 | 1,83 | 0,3738 | 0,2707 | 0,2581 |
| 14 | 21.I.1960 | 10 ¹⁰ -11 ²⁹ | 79 | 5 000 | 5 | 1,35 | 0,3738 | 0,3304 | 0,1377 |
| 15 | 21.I.1960 | 12 ¹⁵ -13 ³⁷ | 77 | 5 000 | 5 | 1,50 | 0,3681 | 0,2408 | 0,4014 |
| 16 | 21.I.1960 | 12 ¹⁵ -13 ⁴¹ | 81 | 5 000 | 5 | 2,01 | 0,3681 | 0,3205 | 0,1029 |

Tabelul nr. 5

Fotosintiza frunzelor de *Mahonia aquifolium*
Determinari efectuate prin metoda L. A. Ivanov

| Nr. probei | Data | Ora expunerii | Durata expunerii minute | Intensitatea lumini lux | Temperatura in camera de asimilatie °C. | Greutatea materialului g | proba de experimentator | Intensitatea fotosintizei cm ³ CO ₂ /g s.p./h | Observatii |
|------------|------------|---------------------|-------------------------|-------------------------|---|--------------------------|-------------------------|---|---------------------------------------|
| 1 | 3.II.1960 | 9 ³⁰ -12 | 150 | 50 000 | -3 | 2,75 | 0,3226 | 0,2221 | 0,0471 |
| 2 | 3.II.1960 | 9 ³⁰ -12 | 150 | 50 000 | -3 | 2,85 | 0,3226 | 0,2221 | 0,0454 |
| 3 | 3.II.1960 | 9 ³⁰ -12 | 150 | 50 000 | -3 | 2,67 | 0,3226 | 0,1945 | 0,0620 |
| 4 | 8.II.1960 | 8 ³⁰ -11 | 150 | 20 000 | -6,5 | 1,27 | 0,3360 | 0,2057 | 0,1341 |
| 5 | 8.II.1960 | 8 ³⁰ -11 | 150 | 20 000 | -6,5 | 1,18 | 0,3360 | 0,2064 | 0,1438 |
| 6 | 8.II.1960 | 8 ³⁰ -11 | 150 | 20 000 | -6,5 | 1,10 | 0,3360 | 0,2187 | 0,1396 |
| 7 | 10.II.1960 | 9 ³⁰ -12 | 150 | 50 000 | -1 | 1,08 | 0,3319 | 0,3194 | 0,0448 |
| 8 | 10.II.1960 | 9 ³⁰ -12 | 150 | 50 000 | -1 | 1,15 | 0,3319 | 0,3207 | 0,0131 |
| 9 | 10.II.1960 | 9 ³⁰ -12 | 150 | 50 000 | -1 | 1,05 | 0,3319 | 0,3299 | 0,0131 la punctul de compensatie idem |

La *Thuja orientalis* toate determinările au fost efectuate prin metoda curentului de aer. Temperatura aerului a fost cuprinsă între 12 și -9°. Așa cum se vede din tabelul nr. 3, în majoritatea experiențelor frunzele au asimilat CO₂. Numai în experiențele nr. 2, 3, 5, 7, 10, 29, 30 și 34 frunzele au produs la lumină puțin CO₂. Toate aceste experiențe au fost efectuate în condițiile unei lumiini slabe sub 4 000 lux și în majoritatea cazurilor de 3 000 sau sub 3 000 lux.

Frunzele de *Mahonia aquifolium*, după cum arată datele obținute prin metoda curentului de aer (tabelul nr. 4), au asimilat CO₂ la temperaturile de 2 și 5°. Numai în două cazuri, la determinările efectuate în experiențele nr. 3 și 4 din 9. I. 1960, frunzele s-au aflat la punctul de compensație. În această zi temperatura din camera de asimilație a fost de 3°.

După cum se vede în tabelul nr. 5, în care sunt trecute rezultatele determinării fotosintezei prin metoda Ivanov, frunzele de *Mahonia aquifolium* au asimilat la temperaturile de -1, -3 și -6,5°. Numai la determinările 8 și 9 din 10.II.1960 frunzele s-au aflat la punctul de compensație, desi lumina în această zi a fost relativ intensă.

Determinarea fotosintezei, la ramurile cu frunze de *Buxus sempervirens*, s-a efectuat numai prin metoda Ivanov. Rezultatele obținute sunt trecute în tabelul nr. 6, de unde reiese că la temperaturile de -3, -4 și -5° fotosinteza a mai avut loc. La temperatura de -9°, ramurile cu frunze de *Buxus sempervirens* nu au mai asimilat în nici una din cele trei experiențe paralele; în două experiențe ele au produs puțin CO₂, iar într-o frunză s-au găsit la punctul de compensație.

Analizând lucrările diferiților autori care au determinat fotosinteza la temperaturi scăzute, constatăm că J. B. Boussingault (1) nu a putut pune în evidență, la acele coniferelor, fotosinteza sub punctul de înghețare. A. J. Ewart (2) a constatat că sub punctul de înghețare, diferite plante terestre din regiunile temperate, arctice și alpine asimilează foarte slab. După acest autor, temperatura scăzută provoacă dăunarea protoplasmăi, manifestată prin reducerea intensității fotosintezei. Protoplasma revine la intensitatea normală de asimilare a CO₂ după un timp, cu atât mai lung cu cît temperatura mediului înconjurător a fost mai scăzută.

Spre deosebire de acești autori, alții au pus în evidență fotosinteza pînă la temperaturi cu mult mai scăzute. Astfel H. Jumell (7) a determinat asimilarea CO₂ la acele de molift, la *Juniper* și la lichenul *Evernia prunastri*, pînă la temperatura de -30° și chiar -40°. Aceste rezultate sunt puse la îndoială de A. J. Ewart (3). M. Henrici (5) a constatat fotosinteza la unele fanerogame alpine la -16°, iar la licheni sub -20°. Unii cercetători dau limita inferioară a fotosintezei la temperaturi mai puțin scăzute. Astfel G. L. G. Matthaiei (9) arată că la *Prunus lauro cerasus* fotosinteza începează la -6°. După U. Kreusler (8) frunzele de *Rubus* mai asimilează pînă la -2,4°. L. A. Ivanov și I. M. Orlov (6) au constatat că la acele pinului fotosinteză mai are loc la -7°. Spre deosebire de ei, H. Printz (13) a constatat fotosinteză la acele pinului numai pînă la -2 sau -3°. R. O. Frelan (4), tot la acele pinului, a constatat asimilarea CO₂ numai pînă la temperatura de -6°. I. S. Satilov,

Tabelul nr. 6
Fotosintiza frunzelor de *Buxus sempervirens*
Determinări efectuate prin metoda L. A. Ivanov

| Nr. probei | Data | Ora expunerii | Durata expunerii minute | Intensitatea luminii lux | Temperatura în camera de asimilație °C | Greutatea materialelor g | cm ³ CO ₂ la 1 000 cm ³ aer la 0°C | | Intensitatea fotosintezei cm ³ CO ₂ g.s.p./h | Observații |
|------------|------------|---------------|-------------------------|--------------------------|--|--------------------------|---|---------------------|--|----------------------------|
| | | | | | | | proba martor | proba de experiență | | |
| 1 | 2.II.1960 | 9:30-12 | 150 | 50 000 | -5 | 2,70 | 0,3170 | 0,1770 | 0,0662 | |
| 2 | 2.II.1960 | 9:30-12 | 150 | 50 000 | -5 | 3,27 | 0,3170 | 0,1497 | 0,0653 | |
| 3 | 2.II.1960 | 9:30-12 | 150 | 50 000 | -5 | 3,10 | 0,3170 | 0,1602 | 0,0280 | |
| 4 | 6.II.1960 | 10-12:30 | 150 | 25 000 | -9 | 2,94 | 0,3420 | 0,3751 | -0,0146 | sub punctul de compensație |
| 5 | 6.II.1960 | 10-12:30 | 150 | 25 000 | -9 | 3,20 | 0,3420 | 0,3429 | 0 | la punctul de compensație |
| 6 | 6.II.1960 | 10-12:30 | 150 | 25 000 | -9 | 3,36 | 0,3420 | 0,3737 | -0,0123 | sub punctul de compensație |
| 7 | 9.II.1960 | 8:55-11:25 | 150 | 34 050 | -3 | 2,05 | 0,3185 | 0,1800 | 0,0872 | |
| 8 | 9.II.1960 | 8:55-11:25 | 150 | 34 000 | -3 | 3,35 | 0,3185 | 0,1841 | 0,0445 | |
| 9 | 9.II.1960 | 8:55-11:25 | 150 | 34 000 | -3 | 2,95 | 0,3185 | 0,1135 | 0,0898 | |
| 10 | 12.II.1960 | 13:35-16:55 | 150 | 5 000 | -4 | 3,15 | 0,3089 | 0,1379 | 0,0708 | |
| 11 | 12.II.1960 | 13:35-16:55 | 150 | 5 000 | -4 | 4,25 | 0,3089 | 0,1793 | 0,0398 | |
| 12 | 12.II.1960 | 13:35-16:55 | 150 | 5 000 | -4 | 3,07 | 0,3089 | 0,2331 | 0,0332 | |

V. V. Racinski și L. T. Polikarpova (14) au pus în evidență absorbția $C^{14}O_2$ de către frunzele unor ierbură perene la temperaturi de -12 și -14° . Această fixare de $C^{14}O_2$ la temperaturi joase are loc și la intueric, însă cu o intensitate mai scăzută. Z. Pavletie și H. Lieftinck (10) au determinat punctul de compensație la ramuri de conifere și arbuști. Scădere temperatura, în luna ianuarie la -9° a dus la o puternică creștere a punctului de compensație la conifere și aproape nu a exercitat vreo influență asupra plantelor cu frunze veșnic verzi. Trecerea ramurilor, timp de 24 de ore, la temperatura de $12\ldots15^\circ$ a provocat o scădere puternică a punctului de compensație, mai ales la *Taxus baccata*, *Buxus sempervirens* și *Prunus laurocerasus*. Autorii au conchis că oscilarea punctului de compensație se datorează modificărilor survenite în fotosinteză. Mai recent, A. Pisek și E. Winkler (11) au determinat temperatura minimă a asimilației, la *Picea excelsa* și *Pinus cembra*, la $-4\ldots-5^\circ$. După ei, asimilația la aceste conifere oscilează în funcție de profunzimea înghețului, durată și continuitatea lui.

La plantele mediteraneene, veșnic verzi, dicotiledonate (*Arbutus*, *Olea*, *Laurus*) A. Pisek și G. Rehner (12) au găsit minimul de temperatură al asimilației mai scăzut, oscilând în funcție de specie între -2 și -7° .

CONCLUZII

S-a constatat că la plantele cu frunze persistente în timpul iernii, fotosintiza are loc și la temperaturi sub 0° .

Frunzele de *Hedera helix* asimilează CO_2 încă la -6° ; *Thuja orientalis* la -9° ; *Mahonia aquifolium* la $-6,5^\circ$ și *Buxus sempervirens* pînă la -5° .

Numai în puține experiențe frunzele nu au fotosintetizat la aceste temperaturi sub 0° .

О ФОТОСИНТЕЗЕ У НЕОПАДАЮЩИХ ЛИСТЬЕВ НЕКОТОРЫХ ВИДОВ В ТЕЧЕНИЕ ЗИМЫ

РЕЗЮМЕ

Работа содержит данные о фотосинтезе в зимний период у неопадающих листьев плюща (*Hedera helix*), туи (*Thuja orientalis*), магонии (*Mahonia aquifolium*) и самшита (*Buxus sempervirens*).

У *Hedera helix* фотосинтез наблюдался еще при $-6^\circ C$; у *Thuja orientalis* при $-9^\circ C$; у *Mahonia aquifolium* при $-6,5^\circ C$ и у *Buxus sempervirens* до $-5^\circ C$.

Лишь в очень небольшом числе опытов не наблюдалось ассимиляции CO_2 листьями при температурах ниже $0^\circ C$.

DE LA PHOTOSYNTÈSE DE QUELQUES ESPÈCES À FEUILLES PERSISTANTES, EN HIVER

RÉSUMÉ

Ce travail apporte des données sur la photosynthèse, au cours de l'hiver, des feuilles persistantes de *Hedera helix*, *Thuja orientalis*, *Mahonia aquifolium* et *Buxus sempervirens*.

La photosynthèse a encore été observée chez *Hedera helix* à $-6^\circ C$; chez *Thuja orientalis*, à $-9^\circ C$; chez *Mahonia aquifolium*, à $-6,5^\circ C$ et chez *Buxus sempervirens*, jusqu'à $-5^\circ C$.

Ce n'est que dans peu d'expériences que les feuilles n'ont pas assimilé le CO_2 à ces températures inférieures à $0^\circ C$.

BIBLIOGRAFIE

1. BOUSSINGAULT J. B., *Agronomie, Chimie agricole et Physiologie*, Malet-Becheler, Paris, 1874, 5.
2. EWART A. J., Linnean Soc. London botany., 1896, 31, 364.
3. — Linnean Soc. London botany., 1897, 31, 554.
4. FREELAND R. O., Plant physiol., 1944, 19, 179.
5. HENRICI M., Verhandl. Naturworsch. Ges. Basel, 1921, 32, 107.
6. ИВАНОВ І. А. и ОРЛОВА І. М., Изв. Русск. бот. общ., 1931, 16, 139.
7. JUMELL H., Revue générale de botanique, 1892, 4, 259—272 și 305—320.
8. KREUSLER U., Landw. Jahrb., 1887, 16, 711.
9. MATTHAEI G.L.G., Trans. Roy. Soc. London, 1904, 197, 47.
10. PAVLETIC Z. u. LIETT H., Ber. dtsch. Bot. Ges., 1958, 71, 8, 309—314.
11. PISEK A. u. WINKLER E., Planta, 1958, 51, 4, 518—543.
12. PISEK A. u. REHNER G., Ber. dtsch. Bot. Ges., 1958, 71, 4, 188—193.
13. PRINTZ H., Nytt. Magazin Naturvidensk, 1933, 73, 167.
14. ШАТИЛОВ И. С., РАЧИНСКИЙ В. В. и ПОЛИКАРПОВА Л. Т., Докл. Моск. с. — х. акад. им. К. А. Тимирязева, 1956, 22, 104—109.
15. СКАЗКИН Ф. Д., ЛОВЧИНОВСКАЯ Е. И., КРАСНОСЕЛЬСКАЯ Т. А., МИЛЛЕР М. С. и АНИКИЕВ В. В., *Практикум по физиологии растений*, Москва, 1953, 156—157.
16. SALAGEANU N., Stud. și cercet. biol., Seria biol. veget., 1958, X, 2,

O METODĂ EXPEDITIVĂ PENTRU DETERMINAREA VIABILITĂȚII POLENULUI DE PORUMB *)

DE

PETRE DIACONU

*Comunicare prezentată de AL. PRIADENCU, membru corespondent al Academiei R.P.R.,
în ședința din 24 martie 1961*

Cunoașterea viabilității polenului în momentul executării încrucișării are o deosebită importanță în munca de cercetare, fiind unul din factorii hotăritori ai procesului de fecundare. În mod deosebit este nevoie să cunoașterea viabilității polenului la încrucișarea de soiuri sau linii cu un oarecare decalaj în înflorire sau la încrucișarea de forme valoroase, geografic îndepărtate.

Trecerea la producerea de sămîntă de porumb dublu hibrid pe bază de linii androsterile și linii restauratoare a fertilității, impune de asemenea cunoașterea calității polenului atât în timpul înfloritului, cât și pe parcursul procesului de selecție.

Primele referiri asupra necesității cunoașterii viabilității polenului se întâlnesc în lucrările lui E. K a m p e r (5), J. G. K o e l r e u t e r (6) etc. ele apărând ca o urmare a executării primelor hibridări artificiale la plante.

În literatura de specialitate, privind biologia plantelor, sunt descrise diferite metode pentru determinarea viabilității polenului, metode ce pot fi împărtășite în două grupe : directe și indirekte. Din prima grupă de metode se recomandă : 1) germinarea polenului pe stigmat ; 2) germinarea polenului pe mediu artificial ; 3) polenizarea stigmatelor cu polenul respectiv.

Dintre metodele amintite, mai simplă — în cazul porumbului — ar fi polenizarea știuleților izolați din timp, cantitatea de boabe obținută servind ca indice al viabilității polenului. Folosirea acestei metode nu ne

*) Elaborată sub conducerea prof. A. P. G o r i n , locuitorul șefului catedrei de genetică și ameliorare plantelor de la Academia agricolă „K. A. Timireazev” din Moscova.

dă însă posibilitatea de a stabili procentul de grăunciori viabili, iar de faptul dacă polenul a fost viabil sau nu, ne putem da seama numai după 10–15 zile.

Germinarea polenului pe stigmat se folosește mai mult în citologie și în fiziologia plantelor, ea neputind fi recomandată ca metodă expeditivă de determinare a viabilității polenului.

În practică, dintre metodele enumerate, preferabilă este germinarea grăunciorilor de polen pe mediu artificial compus din 15% zaharoză și 0,7% agar-agar. În cazul folosirii polenului de porumb, rezultatele sunt întotdeauna inferioare celor reale și aceasta mai ales în cazul păstrării sau transportării polenului.

În lucrările lui A. V. Dorosenko (2) se arată că cerințele grăunciorilor de polen față de concentrația și temperatura mediului sunt diferite, în funcție atât de mărimea cît și de starea lor fiziologică. O influență destul de însemnată asupra germinării grăunciorilor de polen o au de asemenea uniformitatea și densitatea răspândirii lor pe mediul artificial.

Metodele indirecte (reacții și coloranți chimici) sunt puțin studiate, deoarece polenul fiecărei plante păstrează particularitățile lui specifice biologice. Mai des întâlnite în literatură sunt : 1) colorarea cu aceto-carmin; 2) reacția cu iod; 3) determinarea peroxidazei (metoda lui V. S. Saradakov).

Colorarea grăunciorilor de polen cu aceto-carmin se bazează pe colorarea protoplasmei polenului viabil în roz. Întrucât prin pierderea viabilității polenului, în timpul păstrării, protoplasma suferă numai o mică pierdere și o oarecare regrupare a substanțelor plastice, iar prin folosirea acestei metode polenul neviabil se colorează în același fel ca și cel viabil. Același lucru se poate spune și în cazul folosirii reacției cu iod, care se bazează pe prezența amidonului în polen. În experiențele noastre, pierderea de amidon în timpul păstrării polenului a oscilat în jurul lui 3%.

Referiri asupra imposibilității folosirii acestei reacții ca indice al viabilității polenului se întâlnesc și în literatura de specialitate (3), (12), (19) etc.

În anii 1939–1940, V. S. Saradakov, presupunând că fermentul respirator, peroxidaza, poate fi prezent numai în celulele organismului, viu, a elaborat o nouă metodă pentru determinarea viabilității polenului. Metoda se bazează pe determinarea prezenței peroxidazei în grăunciorii de polen cu ajutorul unei reacții colorate—benzidin.

În acest scop el a folosit polen absolut proaspăt recoltat de la diferenții hibrizi de bumbac. Rezultatele determinării peroxidazei au arătat că hibrizii studiați produc polen cu diferențe grade de viabilitate, fapt care corespunde realității.

Cercetătorii care au verificat mai departe această metodă, nu au luat însă în studiu și polenul conservat mai mult timp. Aceeași metodă este recomandată în unele manuale de fiziologie (16) și ameliorarea plantelor (14).

În urma verificărilor executate de V. I. Ostapenko, Lidița și V. N. Iurtev a reieșit că metoda recomandată de

V. S. Saradakov nu poate fi folosită pentru determinarea viabilității polenului conservat un timp mai îndelungat.

Astfel, în experiențele lui V. I. Ostapenko, polenul provenit de la pomi fructiferi (meri, peri, pruni), după o conservare de 12 luni, analizat conform metodei lui V. S. Saradakov, a prezentat o „viabilitate” în proporție de 80–94%. Germinarea pe mediu artificial a arătat însă că polenul respectiv își pierduse viabilitatea de mult. Rezultate absolut asemănătoare celor arătate în lucrările lui V. I. Ostapenko au fost obținute și în experiențele noastre cu soiuri, linii și hibrizi de porumb. Determinând viabilitatea polenului conservat, după metoda recomandată de Saradakov, am obținut în permanență rezultate specifice viabilității polenului proaspăt recoltat, adică 90–95%. Cifre analoge au fost obținute chiar și în cazul conservării polenului 18 luni în laborator, precum și la cel supus conservării liofilice și păstrat după uscare în exicator la o temperatură de -5° pînă la -10° .

Inconvenientul metodei lui V. S. Saradakov constă în presupunerea greșită că fermentul respirator, peroxidaza, dispără din organism o dată cu încreșterea respirației.

Cercetările din ultimii ani au arătat însă că peroxidaza este un ferment chimic destul de stabil, iar cu ajutorul reacțiilor chimice specifice lui, poate fi determinat și în celulele moarte (9), (15). H. B. Ritter și J. J. Olson (15) au stabilit chiar o metodă citochimică de determinare a fermentului peroxidază pe bază de material fixat (țesuturi, celule).

Necesitatea determinării duratei de menținere a viabilității polenului la diferenții soiuri, linii și hibrizi de porumb ne-a obligat să căutăm o altă metodă, care să fie destul de precisă, expeditivă și lipsită de neajunsurile metodelor descrise.

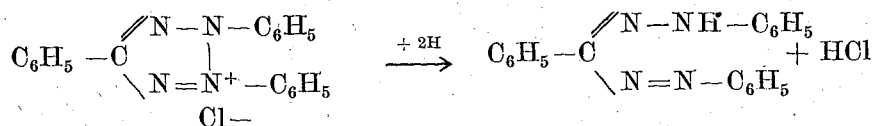
În acest scop am studiat, în primul rînd, fermentii respiratori : peroxidaza, citocromoxidaza, catalaza dehidrataze, precum și o serie de substanțe de bază ale polenului de porumb ca : amidon, zahăr, albumine, acid ascorbic, heteroauxină, aminoacizi etc. Rezultatele ne arată că fermentii și substanțele studiate sunt prezente nu numai în polenul viabil, dar și în cel ce își pierde viabilitatea în procesul de păstrare. Continutul cantitativ al acestor substanțe suferă unele modificări, însă nu atât de mari încit să poată fi considerate ca indice de determinare a viabilității. Trebuie arătat că polenul provenit de la linii sau hibrizi androsterili (cu polen steril) se deosebește de polenul obișnuit, prin lipsa totală sau parțială a fermentilor și substanțelor amintite mai sus.

Cercetările au demonstrat că indicele viabilității trebuie căutat totuși în procesul de respirație, el fiind cel mai strîns legat de procesele vitale.

În urma multor încercări s-a dovedit posibilă scoaterea în evidență a participării sau neparticipării în procesul de respirație a fermentilor din grupa dehidraze, și anume a fermentului succindehidraza. Această grupă de fermenti are un rol foarte important în procesele de oxidare și reducere din organism. Dehidrazele catalizează dehidrogenarea (desprinderă atomilor de hidrogen), respectiv oxidarea unei substanțe, și în același timp catalizează combinarea hidrogenului cu alte substanțe. Deci

dehidrazele pot realiza atît procese de oxidare cît și procese de reducere, asigurînd transportul hidrogenului de la o substanță la alta.

Pentru a ne putea da seama dacă grăunciorii de polen sînt vii (respiră) este de ajuns să găsim o reacție chimică cu ajutorul căreia să unim hidrogenul catalizat de dehidraze și să obținem o nouă substanță colorată, care va distinge polenul viu de cel mort. Această problemă a fost rezolvată prin folosirea reactivului 2,3,5-trifeniltetrazol clorid¹⁾ (trifeniltetrazolium chloride), un praf de culoare galbuiu, ușor solubil în apă, otrăvitor, care unește hidrogenul (în cazul polenului viu), reducîndu-se în formazan (o substanță de culoare roșie), conform următoarei formule :



Grăunciorii de polen neviabili, ca urmare a lipsei de hidrogen, catalizat de dehidraze, rămîn galbeni (necolorați). Această reacție a fost folosită și de G. L a k o n (7), pentru determinarea viabilității semințelor, și de F. H. S t r a u s (17), pentru determinarea viabilității țesuturilor animale.

Pentru determinarea viabilității polenului de porumb cu ajutorul reactivului trifeniltetrazol clorid se procedeaază astfel :

Se pregătește un amestec tampon 0,1 N cu pH = 7,2 (amestecul fosfatic Serensen)²⁾, în care se dizolvă reactivul trifeniltetrazol clorid — 1 mg la 1 cm³ de amestec tampon (se obține astfel o soluție cu o concentrație de 0,1%).

Pe lama microscopului se presară puțin din polenul supus studiului și, cu ajutorul unei pipete, se adaugă 1—2 picături din amestecul tampon (pH = 7,2) și se lasă 3—4 minute.

Amestecul fosfatic (tampon) se înlătură prin absorbire atentă cu ajutorul hîrtiei de filtru. Se adaugă 1—2 picături din soluția de 0,1% trifeniltetrazol clorid. Preparatul se acoperă cu lamela și se introduce în termostat pentru 20—30 de minute, la o temperatură de 37°.

Pentru determinarea viabilității polenului se analizează, cu ajutorul microscopului, 3—5 preparate, cîte 5 cîmpuri microscopice în fiecare preparat. Cîmpurile microscopice se vor alege în așa fel, încît aceiași grăunciori de polen să nu fie numărați de două ori. Cea mai bună claritate se obține prin folosirea microscopului biologic obișnuit, întrebuintînd obiectivul 8 × și ocularul 10 × sau 15 × (obținînd o mărire de 80—120 de ori).

¹⁾ Substanța 2,3,5-trifeniltetrazol clorid se folosește în bacteriologie pentru determinarea germenilor vii.

²⁾ Pentru pregătirea soluției tampon 0,1 N (amestecul fosfatic Serensen) se dizolvă separat 11,8 g Na₂HPO₄·2H₂O într-un litru de apă distilată și 13,6 g KH₂PO₄ în alt litru. pH = 7,2 se obține făcînd un amestec din 7 părți soluție Na₂HPO₄·2H₂O și 3 părți din soluția KH₂PO₄. Aceste două soluții inchise ermetice, pot fi păstrate o perioadă de cîteva luni în condiții de laborator. Se recomandă ca amestecul să se facă în ziua pregătirii soluției de trifeniltetrazol clorid. Această soluție va putea fi întrebuită atât timp cît își păstrează transparența.

Fig. 1. — Grăunciori de polen viabil. În urma tratării cu reactivul 2,3,5-trifeniltetrazol clorid acești s-au colorat în roșu (cei de culoare inchisă).

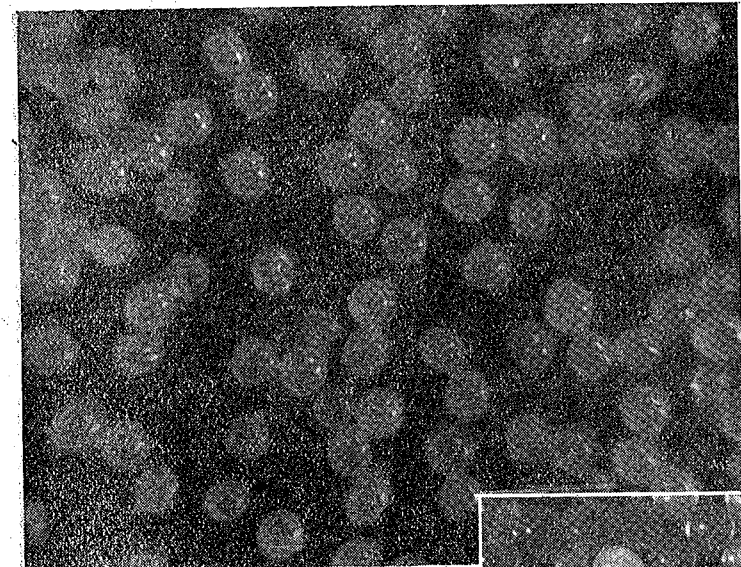


Fig. 2. — Grăunciori de polen care și-au pierdut parțial viabilitatea. Grăunciorii de culoare deschisă — neviabili.

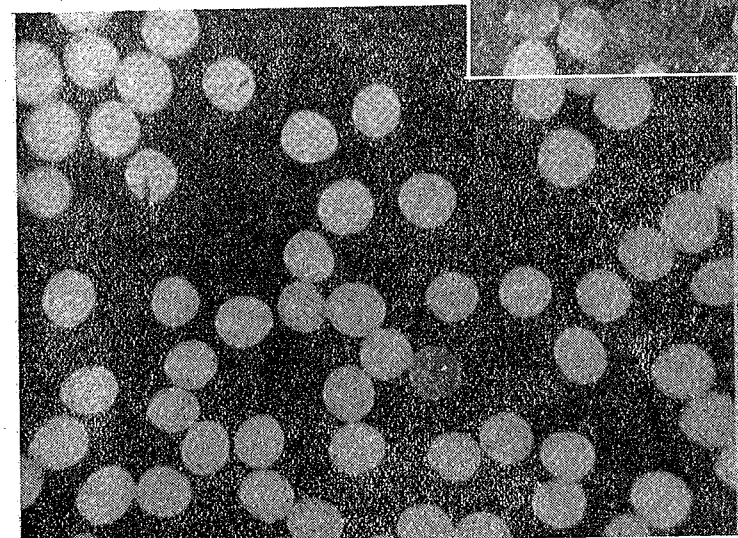


Fig. 3. — Polen ce și-a pierdut viabilitatea în proporție de 98%. Grăunciori de culoare deschisă — neviabili; în centru un grăuncior viabil.

Rezultatele cercetărilor au arătat că grăunciorii de polen viabil, în urma unirii hidrogenului catalizat de dehidraze cu reactivul trifeni-tetrazol clorid, au un colorit roșu (fig. 1), iar cei neviabili își păstrează culoarea lor inițială (galbenă) (fig. 2 și 3). Folosind această metodă putem

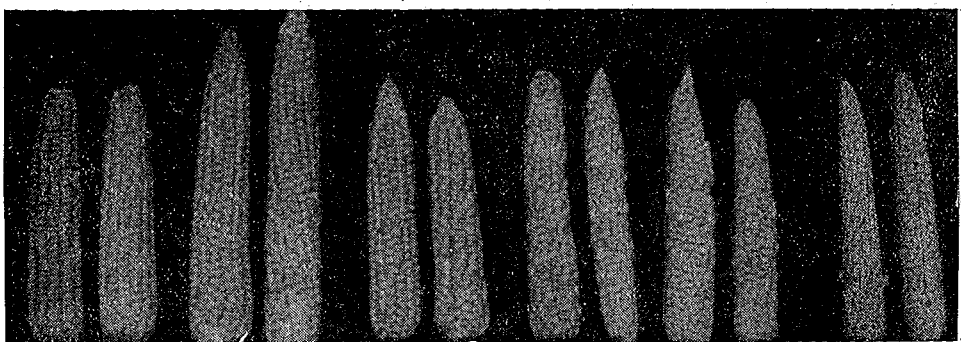


Fig. 4. — Știuleți proveniți din polenizarea cu polen conservat la o temperatură de 3–5° și 70–80% umiditate. Polenizarea s-a efectuat în momentul recoltării polenului și după fiecare 3, 5, 6, 7 și 11 zile.

observa cu ușurință diferite grade ale intensității procesului de respirație la polen, între liniile și hibrizii de porumb și de asemenea între soiurile precoce și tardive. În zilele de vară, cu cer senin, polenul viabil va avea un colorit mai intens decât în zilele noroase. Grăunciorii de polen ce parțial și-au pierdut viabilitatea vor avea un colorit roșu deschis.

Pentru verificarea datelor obținute folosind metoda recomandată, am făcut concomitent determinări și cu ajutorul metodelor cunoscute pînă în prezent: germinarea pe mediul artificial, colorarea cu aceto-carmen, metoda lui V. S. Šardakov. Rezultatele obținute sunt redate în tabelele nr. 1 și 2.

Tabelul nr. 1

Viabilitatea polenului de porumb (%) păstrat în condiții de cimp (hibridul I VIR-26 1960)

| Starea polenului \ Metoda | Trifeni-tetrazol clorid | Germinarea pe mediul artificial | Colorare cu aceto-carmen | Metoda V. S. Šardakov |
|---------------------------|-------------------------|---------------------------------|--------------------------|-----------------------|
| Polen proaspăt | 95,5 | 81,0 | 95,0 | 94,0 |
| , conservat 24 de ore | 53,0 | 40,0 | 95,5 | 95,0 |
| , , 48 „ „ | 18,0 | 9,5 | 94,0 | 94,0 |
| , , 72 „ „ | 6,6 | 1,5 | 95,0 | 93,5 |
| , , 86 „ „ | 2,5 | 0,0 | 96,0 | 94,5 |
| , , 96 „ „ | 0,0 | 0,0 | 95,0 | 95,5 |

De asemenea, am efectuat polenizări forțate la știuleți izolați în prealabil, folosind polen păstrat de la 3 pînă la 5° și 70–80% umiditate (fig. 4).

Tabelul nr. 2

Viabilitatea polenului de porumb (%) păstrat în condiții de temperatură de 3 pînă la 5° și 70–80% umiditate (solul Voronejskala 76)

| Starea polenului \ Metoda | Trifeni-tetrazol clorid | Germinarea pe mediul artificial | Colorare cu aceto-carmen | Metoda V. S. Šardakov |
|---------------------------|-------------------------|---------------------------------|--------------------------|-----------------------|
| Polen proaspăt | 94,0 | 82,0 | 95,0 | 96,0 |
| , conservat 3 zile | 71,0 | 59,0 | 92,0 | 94,0 |
| , , 5 „ | 35,0 | 24,0 | 96,0 | 95,0 |
| , , 6 „ | 18,0 | 11,0 | 95,0 | 93,0 |
| , , 7 „ | 8,0 | 3,0 | 94,0 | 96,0 |
| , , 11 „ | 2,0 | 0,5 | 96,0 | 94,0 |
| , , 13 „ | 0,0 | 0,0 | 95,0 | 95,0 |

Din datele prezentate în aceste tabele reiese clar că metodele recomandate în literatura de specialitate, pînă în prezent, nu pot fi folosite pentru determinarea viabilității polenului de porumb conservat mai mult timp. În cazul folosirii lor se obțin date necorespunzătoare, specifice viabilității polenului proaspăt recoltat. Rezultate apropiate de cele obținute prin metoda recomandată de noi se obțin și prin germinarea polenului pe mediul artificial; practic, această metodă este însă destul de complicată.

Metoda elaborată de noi poate fi recomandată pentru determinarea viabilității polenului de porumb și necesită să fie verificată și la alte plante de cultură.

Academia agricolă
„K. A. Timirezev” — Moscova

БЫСТРЫЙ МЕТОД ОПРЕДЕЛЕНИЯ ЖИЗНЕНСПОСОБНОСТИ ПЫЛЬЦЫ КУКУРУЗЫ

РЕЗЮМЕ

В данной работе кратко излагаются существующие методы определения жизнеспособности пыльцы.

За исключением метода проращивания пыльцы на искусственной среде, все остальные методы оказались непригодными для определения жизнеспособности пыльцы, подвергнутой хранению. При определении жизнеспособности хранящейся пыльцы рекомендуемые в литературе методы дают завышенные результаты.

Предлагаемый метод основан на определении активности дегидраз с применением реагента 2,3,5-trifeniltetrazolium chloride (трифенилтетразолиум хлорид).

После обработки пыльцы этим реагентом жизнеспособные пыльцевые зерна окрашиваются в красный цвет, неживеспособные же не окрашиваются.

ОБЪЯСНЕНИЕ РИСУНКОВ

Рис. 1. — Зерна жизнеспособной пыльцы. После обработки реагентом 2, 3, 5 — трифенилтетразолиум хлоридом, они окрасились в красный цвет (на черно-белой фотографии они темного цвета).

Рис. 2. — Зерна пыльцы, частично утратившие жизнеспособность. Зерна светлого цвета — нежизнеспособные.

Рис. 3. — Пыльца, потерявшая на 98% жизнеспособность. Зерна светлого цвета — нежизнеспособные; посередине одно зерно жизнеспособное.

Рис. 4. — Початки, полученные от опыления пыльцой, хранившимся при температуре в 3—5° и при 70—80% влажности. Опыление производилось в момент сбора пыльцы и через 3, 5, 6, 7 и 11 дней после сбора.

UNE MÉTHODE EXPÉDITIVE POUR DÉTERMINER LA VIABILITÉ DU POLLEN DU MAÏS

RÉSUMÉ

Un exposé succinct est donné des principales méthodes appliquées en pratique à la détermination de la viabilité du pollen.

A l'exception de la germination du pollen sur un milieu artificiel, les autres méthodes recommandées dans la littérature de spécialité ne peuvent pas servir à déterminer la viabilité du pollen conservé, car elles donnent des résultats éloignés de la réalité.

La méthode recommandée par l'auteur est basée sur la détermination de l'activité des déshydrases à l'aide du réactif 2,3,5-triphényltétrazolium chloride.

En présence de ce réactif, les grains de pollen viable prennent une coloration rouge, tandis que les grains de pollen non viable restent incolores.

EXPLICATION DES FIGURES

Fig. 1. — Grains de pollen viable. Après traitement au réactif 2,3,5-triphényltétrazolium chloride, ils ont pris une coloration rouge (teinte foncée sur la photo en noir et blanc).

Fig. 2. — Grains de pollen ayant partiellement perdu leur viabilité. Grains de couleur claire, non viables.

Fig. 3. — Pollen ayant perdu sa viabilité en proportion de 98%. Grains de couleur claire, non viables; au centre, un grain viable.

Fig. 4. — Epis obtenus par pollinisation au pollen conservé à 3-5°C et 70-80% d'humidité. La pollinisation a été effectuée immédiatement après le prélèvement du pollen et au bout de 3, 5, 6, 7 et 11 jours.

BIBLIOGRAFIE

- ANDRONESCU D. I., *The physiology of the pollen of Zea mays with special record to vitality*, Thesis for degree of Ph. D. Univ. of Illinois, 1915.
- ДОРОШЕНКО А. В., *Физиология пыльцы (обзор)*, Труды по прикладной ботанике, генетике и селекции, 1928, 18, 5.

- FLORY W. S. a. TOMES M. L., *Studies of plum pollen. Its appearance and germination*, J. of Agricultural Research, V, 9, 67.
- ЮРЦЕВ В. Н., *Применение прижизненных красителей для определения жизнеспособности пыльцы злаков и других растений*, Известия ТСХА, 1959, 2.
- KAMPER E., *Amoenitates exotica etc.*, Lemgoviac, 1712, 1—788.
- KOELKREUTER J. G., *Vorläufige Nachricht von einigen des Geschelecht der Pflanzen betreffenden Versuchen und Beobachtungen nebst Fortsetzungen*, 1767.
- LAKON GEORG., *Topographischer Nachweis der Keimfähigkeit der Getreidefrüchte durch Tetrazoliumsalze*, Berichte der deutschen Botanischen Gesellschaft, 1942, 69, 299.
- ЛИ ДВИ-ДЖЕН, *Методика просачивания пыльцы пшеницы на искусственной среде и продолжительности сохранения пыльцы пшеницы и кукурузы при различных условиях*, Диссертация ТСХА, 1957.
- МАКСИМОВ Н. А., *Краткий курс физиологии растений*, Москва, 1958.
- МАУРИН А. М. и КАУКОВ И. А., *Сравнение методов определения жизнеспособности пыльцы древесных пород*, Ботанический журнал, 1956, 41, 1.
- НАВАШИН М. С., *Методика цитологического исследования для селекционных целей*, 1936, 19.
- ОСТАПЕНКО В. И., *К вопросу об оценке различных способов определения жизнеспособности пыльцы*, Бюллетень научно-технической информации Центральной генетической лаборатории В. И. Мичурина, 1956, 2.
- ПИРС Е., *Гистохимия*, Москва, 1956.
- ПОПОВА Г. М., *Руководство к практическим занятиям по селекции и семеноводству полевых культур*, Москва-Ленинград, 1960.
- RITTER H. B. a. OLESON J. J., Archives pathology, 1947, 43, 330.
- СКАЗКИН Ф. Д. и др., *Практикум по физиологии растений*, Москва, 1958.
- STRAUS F. H., SCHERONIS N. D. a. STRAUS E., *Demonstration of reducing enzyme systems in neoplasms and living mammalian tissues by triphenyltetrazolium chloride*, Science 108, 2796.
- ШАРДАКОВ В. С., *Реакция на пероксидазу как показатель жизнеспособности пыльцы растений*, ДАН СССР, 1940, 26, 3.
- *Новый метод определения жизнеспособности пыльцы растений*, Диссертация, 1947.
- *Новый метод определения жизнеспособности пыльцы хлопчатника*, Вестник С. Х. науки, Технические культуры, 1940, 5.

ALGE NOI PENTRU FLORA R.P.R. (I)

DE

LUCIAN GRUIA

Comunicare prezentată de ST. PETERFI, membru corespondent al Academiei R.P.R., în ședința din 31 mai 1961

Pe teritoriul țării noastre au fost citate, pînă în aprilie 1958 (8), (9), (10), 2 179 de unități sistematice de alge, din care 1 502 specii, 535 de varietăți și 142 de forme. La acestea trebuie să mai adăugăm cîteva unități sistematice noi pentru țara noastră, publicate sau în curs de publicare în lucrările lui C. Moruzi și colaboratori, M. řerbănescu și I. řerbănescu, L. Gruiu.

O scurtă privire asupra numărului unităților sistematice de alge, citate în țările vecine sau în condiții ecologice existente și în țara noastră, ne arată clar că deși primele date despre flora algologică a țării noastre au fost publicate încă din 1857 (7) inventarul algelor de la noi nu este nici pe departe cunoscut.

În lucrarea de față prezentăm o serie de 10 unități sistematice de alge, necitate încă pentru teritoriul țării noastre. Pentru recunoaștere am socotit necesar să dăm, la fiecare unitate sistematică, o scurtă caracterizare.

Algele menționate în această lucrare au fost identificate într-o serie de probe colectate în anii 1958, 1959 și 1960 din cîteva bălti și lacuri din împrejurimile localității Cîmpina (reg. Ploiești).

C Y A N O P H Y C E A E

Merismopedia minima G. Beck

(Fig. 1)

Celule aproape sferice, în diametru de 0,5—0,7 μ , de culoare albăstră-verde palid. Colonii mici, de 4—32 celule.

În literatură este citată din bălti și lacuri, uneori din ape sărate.

Răspândită în R.S.S. Estonă, Marea Caspică, lacul Sevan și R.S.S.A. Tacută.

Colectată la 25. VI. 1960 din colțul de nord-est al lacului Vlădoaiei, printre alte alge care produsesează „înflorirea” apei, și la 7.XI. 1959 o dată cu planctonul mlaștinilor colmatate de la sud-est de Cîmpina. În al doilea caz temperatura apei era de $11,4^{\circ}$, iar pH-ul = 6,4. Foarte rară.

Gomphosphaeria aponina Kütz. f. multiplex (Nyg.) Elenk.
(Fig. 2)

Se deosebește de specia tipică prin coloniile foarte bogate în celule care sunt înconjurate, fiecare, de o membrană gelatinoasă specială.

În literatură este citată din zona tropicală.

Colectată la 7. XI. 1959 de pe fundul mlaștinilor colmatate de la sud-est de Cîmpina, la 20–30 cm adâncime, într-o apă cu pH-ul = 6,4 și temperatură de $11,2^{\circ}$. Rară.

Oscillatoria ingrica Woronich.
(Fig. 3)

Trichomi de culoare verde-albastră, lungi de $780-1\,000\ \mu$, cu capete ușor îndoite. Lățimea trichomului de $4,8\ \mu$. Celule de obicei mai scurte decât lățimea trichomului, de $2,8-4,1\ \mu$ lățime, uneori aproape pătrate, cu conținut granular. Celula terminală rotunjită, foarte slab turtit-rotunjită sau conic-rotunjită.

În literatură este citată din planctonul rîurilor din regiunea Leningradului.

Colectată la 1.VIII. 1958 dintr-un lac de pe valea rîului Doftana, la est de Cîmpina. Relativ rară.

Oscillatoria Boryana (Ag.) Bory
(Fig. 4)

Trichomi de culoare albastră-verde, la partea terminală sinuos îndoiti, de $7,5\ \mu$ lățime. La peretele transversal al celulelor trichomii sunt slab strangulați. Celule de obicei aproape pătrate, cu lungimea de $(4,8)-5,4-6,2-(10,2)\ \mu$. Celula terminală alungită, larg rotunjită, fără caliptră.

În literatură este citată din ape calde și reci, în special în ape minerale. Rară.

Răspândită în regiunea Kuibîșev, Asia centrală, Europa de vest, R. S. Cehoslovacă, America de Nord, Africa.

Colectată la 6.XI.1959 dintr-un lac sărat, situat pe locul unei vechi sonde (la sud-est de Cîmpina), cu pH-ul = 6,8 și temperatură apei de

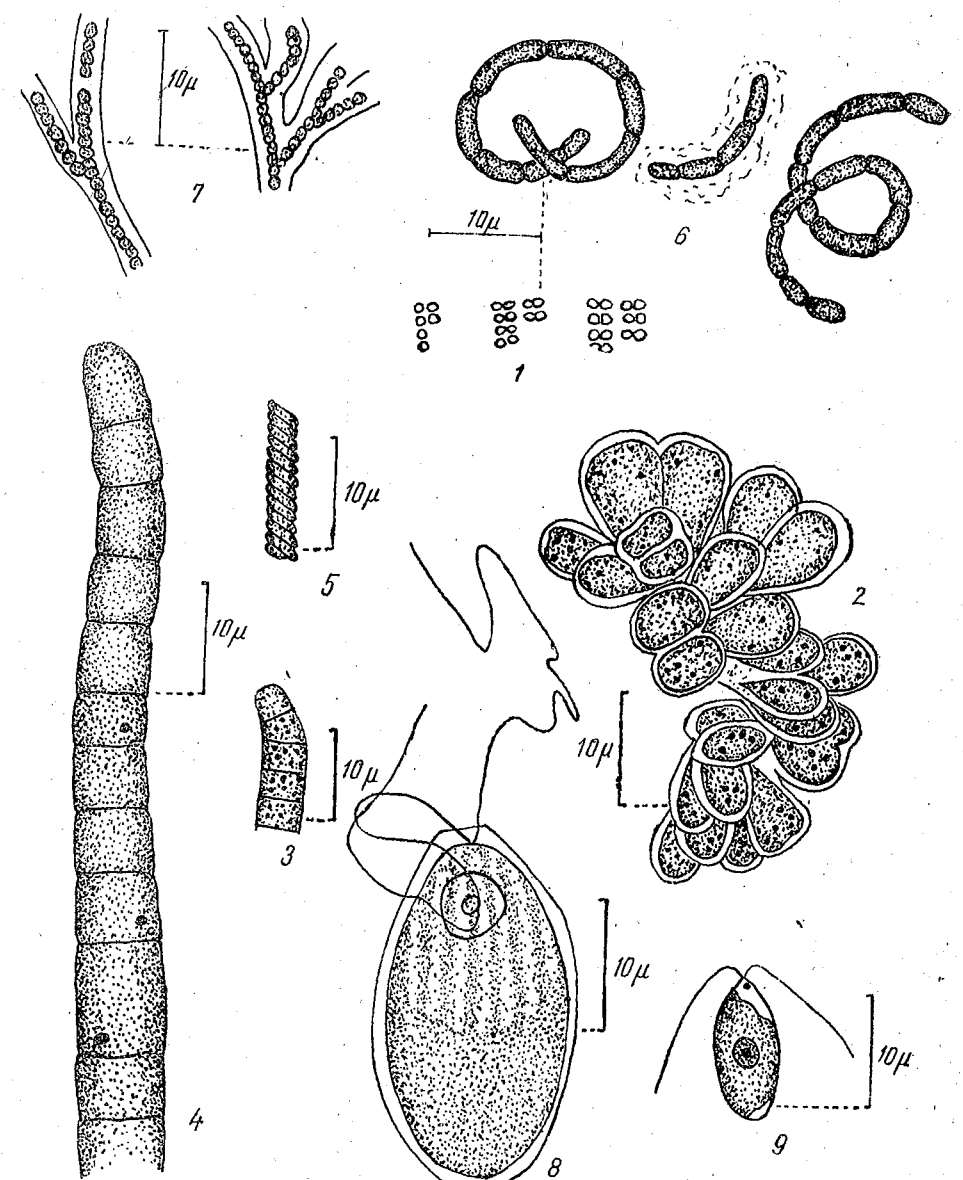


Fig. 1 – 9. – 1, *Merismopedia minima* G. Beck.; 2, *Gomphosphaeria aponina* Kütz. f. *multiplex* (Nyg.) Elenk.; 3, *Oscillatoria ingrica* Woronich.; 4, *Oscillatoria Boryana* (Ag.) Bory; 5, *Spirulina labyrinthiformis* (Menegh.) Gom.; 6, *Romeria elegans* (Wolosz.) Koczw.; 7, *Plectonema Boryanum* Gom.; 8, *Chlamydomonas costata* Korsch.; 9, *Chlamydomonas kuteinkovii* Gorosch. (original).!

9,8°, printre plantele de lîngă mal, într-un strat de apă de 10 cm de la suprafață; identificată și în planctonul colectat la 7.XI.1959 dintr-un lac de decantare, cu apă poluată cu hidroxid de fier și urme de petrol, cu pH = 6,4 și temperatură apei de 11,1°, lac situat la sud-est de localitatea Cîmpina. Relativ rară.

Spirulina labyrinthiformis (Menegh.) Gom.

(Fig. 5)

Trichomi de culoare albastră-verde, de 1 μ lățime, răsuciți în spirale regulate care se ating. Diametrul spiralei de 2,4 — 2,7 μ. Un singur trichom poate avea pînă la 120 de spire.

În literatură este citată din ape săratătoare salmastre, cîteodată în ape calde, curgătoare.

Răspîndită în Marea Caspică, Asia centrală, Franța, Italia, Africa.

Identificată în planctonul colectat la 7.XI.1959 din apa mlaștinilor colmatate de la sud-est de Cîmpina. pH = 6,4, temperatură apei de 11,4°. Relativ rară.

Romeria elegans (Wolosz.) Koczw. (= **Raciborskia elegans** Wolosz.)

(Fig. 6)

Trichomi de culoare albastră-verde palid, de 1,3 — 1,6 μ lățime. Celule de 4,7 — 7,5 μ lungime. Trichomi strangulați în dreptul peretelor transversali ai celulelor, încorjurați de o teacă gelatinoasă, cu marginile nedefinite, teacă ce poate lipsi.

În literatură este citată din bălti și rîuri în cursul mediu al fluviului Volga și împrejurimile Lvovului.

Relativ des întîlnită în planctonul colectat la 31.VII.1958 din lacul Voila—Cîmpina (G.A.S. Movila-Vulpii), cu pH = 6,5 — 6,7 și temperatură apei de 22,4°.

Plectronema Boryanum Gom.

(Fig. 7)

Filamente rare, divers îndoite, cu pseudoramificații, învelite într-o teacă gelatinoasă, incoloră. Trichomi de culoare albastră-verde palid, în diametru de 1,3 — 1,4 μ, la peretele transversal al celulelor puternic strangulați, fără granulații sau vacuoale. Celule aproape patrate, cu colțurile rotunjite sau aproape sferice.

Specie foarte rară, citată de pe sol și din sol, la un pH = 5,1 — 6,3.

Răspîndită în U.R.S.S. în jurul orașului Tomsk și regiunea Leningradului, precum și în Franță.

Colectată la 7.XI.1959 de pe plantele (*Alisma plantago*, *Juncus* sp.) ce creșteau într-un lac de decantare cu apă curată (la data colectării probei), situat la sud-est de Cîmpina. pH = 6,4, temperatură apei de 8,3°.

CHLOROPHYCEAE

Chlamydomonas costata Korsch.

(Fig. 8)

Celule de formă elipsoidală, pînă la 30 μ lungime și 19 μ lățime (în literatură de 23 μ lungime și 15 μ lățime). Membrana subțire. Flagelii lungi de 34 — 60 μ. Cromatofor în formă de clopot, cu coaste paralele, longitudinale, cu un pirenoid. Nucleul așezat în partea anterioară a celulei.

În literatură este citată din probe de vară provenite din mlaștini. Răspîndită în împrejurimile Harkovului.

Colectată la 7.XI.1959 de pe fundul mlaștinilor colmatate de la sud-est de Cîmpina. pH = 6,4, temperatură apei de 11,2°. Foarte rare exemplare.

Chlamydomonas kuteinikovii Gorosch.

(Fig. 9)

Celule alungite elipsoidale, de 13,6 — 14,3 μ lungime și 6,1 — 7,0 μ lățime. Membrana subțire, strîns lipită de protoplast.

Cromatofor în formă de placă. Flagelii lungi de 11,1 — 15,6 μ. Nucleu invizibil în materialul fixat. Un pirenoid relativ mic în partea centrală a celulei.

În literatură este citat din bălti, lunci etc.

Răspîndit în multe locuri dar destul de rar întîlnit.

Colectat la 5.IV.1960 dintr-o baltă cu apă feruginoasă, situată la nord-vest de localitatea Cîmpina. Exemplare rare.

DIATOMAE

Chaetoceras Muelleri Lemm. (= **Ch. subsalsus** Lemm.,
Ch. Thienemannii Hust.)

(Fig. 10)

Celule solitare. Căsuță scurt cilindrică. Valve eliptice sau aproape rotunde, cu diametrul de 8,5 μ. Tepi subțiri, drepti sau îndoîti, pornind din „colțurile” celulei.

Specie de apă salmastră, răspândită în zona litorală a mărilor și apele sărate continentale.

În U.R.S.S. răspândită în râurile de stepă, lacurile raioanelor sudice, lacul Balhiaș, apele sărate din Siberia de vest și Uzbekistan, în Marea Azov, ca și în limanurile acesteia.

Este de asemenea citată din apele sărate continentale ale Europei de vest și din zona litorală a mărilor europene.

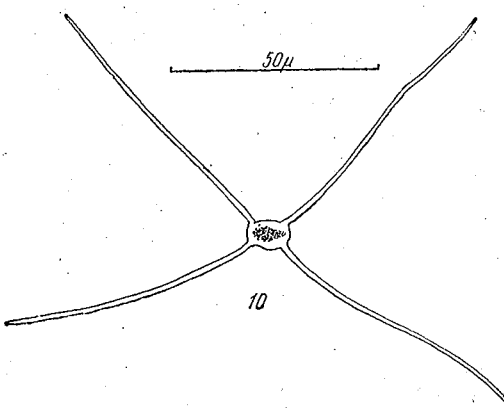


Fig. 10. — *Chaetoceras Muelleri* Lemm. (original).

Colectată la 6.XI.1959 dintr-un lac sărat, situat în locul unei vechi sonde, la sud-est de Cîmpina. Probă planctică de pe lîngă mal, printre plante, pînă la 10 cm adîncime. pH = 6,8, temperatură apei de 9,8°. Exemplare rare.

Stația zoologică Sinaia,
Laboratorul de algologie

НОВЫЕ ДЛЯ ФЛОРЫ РПР ФОРМЫ ВОДОРОСЛЕЙ (I)

РЕЗЮМЕ

В работе автор отмечает следующие 10 новых для флоры РПР форм водорослей: *Merismopedia minima* G. Beck; *Gomphosphaeria aponina* Kütz. f. *multiplex* (Nyg.) Elenk.; *Oscillatoria ingrica* Woronich.; *Oscillatoria Boryana* (Ag.) Bory; *Spirulina labyrinthiformis* (Menegh.) Gom.; *Romeria elegans* (Wolosz.) Koczw.; *Plectonema Boryanum* Gom.; *Chlamydomonas costata* Korsch.; *Chlamydomonas kuteinikovii* Gorosch.; *Chaetoceras Muelleri* Lemm.

Весь этот материал был собран в 1958—1960 гг. в озерах и болотах вблизи города Кымпина (Плоештской области).

Работа содержит 10 оригинальных рисунков.

ALGUES NOUVELLES POUR LA FLORE DE LA RÉPUBLIQUE POPULAIRE ROUMAINE (I)

RÉSUMÉ

L'auteur signale dans le travail présent 10 unités systématiques d'algues, nouvelles pour la flore de la République Populaire Roumaine : *Merismopedia minima* G. Beck ; *Gomphosphaeria aponina* Kütz. f. *multiplex* (Nyg.) Elenk. ; *Oscillatoria ingrica* Woronich. ; *Oscillatoria Boryana* (Ag.) Bory ; *Spirulina labyrinthiformis* (Menegh.) Gom. ; *Romeria elegans* (Wolosz.) Koczw. ; *Plectonema Boryanum* Gom. ; *Chlamydomonas costata* Korsch. ; *Chlamydomonas kuteinikovii* Gorosch. ; *Chaetoceras Muelleri* Lemm.

Tous le matériel a été collecté entre 1958 et 1960, dans les étangs et les marais des environs de la localité de Cîmpina (région de Ploiești).

Le travail est illustré de 10 figures originales.

BIBLIOGRAFIE

1. ДЕДУСЕНКО-ЩЕГОЛЕВА Н. Т., МАТВИЕНКО А. И. и ШКОРБАТОВ Л. А., Зеленые водоросли, Определитель пресноводных водорослей СССР, Изд. Акад. Наук СССР, Москва—Ленинград, 1959, 8.
2. ЕЛЕНКИН А. А., Monographia algarum Cyanophycearum aquiculicium et terrestrium in finibus U.R.S.S. inventarum, pars specialis, Sumptibus Academiae Scientiarum U.R.S.S., Moscova-Leningrad, 1949, II.
3. ГЕЙТЕЛЬ Л., Cyanophyceae, in PASCHER A.; Die Süßwasser-Flora Deutschlands, Österreichs u. der Schweiz, Jena, 1912, 12.
4. — Cyanophyceae, in RABENHORST'S L., Kryptogamen-Flora von Deutschland, Österreichs u. der Schweiz, Leipzig, 1932.
5. ГОЛЛЕРБАХ М. М., КОСИНСКАЯ Е. К. и ПОЛЯНСКИЙ В. И., Синезеленые водоросли, Определитель пресноводных водорослей СССР, Гос. Изд. „Советская наука”, Москва, 1953, 2.
6. КОМАРЕК ЙИŘIA ETIL HANUŠ, Algologische Studien, NČAV, Praha, 1958.
7. SCHUR I. FR., Die Siebenbürgischen Characeen, Österreichische Botanische Zeitschrift, 1957, VII, 45, 46.
8. TARNAVSCHI I. T. și OLTEAN M., Materiale pentru un conspect al algetelor din R.P.R. I, An. Univ. „C. I. Parhon”, seria st. nat., 1956, 12.
9. — Materiale pentru un conspect al algetelor din R.P.R. II, Stud. și cercet. biol., Seria biologie vegetală, 1958, X, 3.
10. — Materiale pentru un conspect al algetelor din R.P.R. II (continuare), Stud. și cercet. biol., Seria biologie vegetală, 1958, X, 4.
11. ЗАБЕЛИНА И. И., КИСИЛЕВ В. А., ПРОШКИНА-ЛАВРЕНКО А. В. и ШЕШУКОВА Б. С., Диатомовые водоросли, Определитель пресноводных водорослей СССР, Гос. изд. „Советская наука”, Москва, 1951, 4.

CONTRIBUȚII LA CUNOAȘTEREA MICROFLOREI DE PE PLANTELE DE IN

DE

ANA HULEA și MARINA NEAGU-ȚIRCOVNICU

Comunicare prezentată de ALICE SĂVULESCU, membru corespondent al Academiei R.P.R.,
în ședința din 14 iulie 1961

În anii 1958—1960 au fost analizate la Laboratorul central de carantină al Ministerului Agriculturii un mare număr de tulpi de in de diferite soiuri (Concurrent, Svetoci, Bernbürger, Voronijki, Kirovograd, Pabloci on Facultad, Textil Ochay MA, Mapum s.a.), din diferite localități din țară, precum și din cîmpul de carantină al Ministerului Agriculturii, cu scopul de a depista eventualele atacuri de paraziți de carantină. Pe plantele analizate s-au identificat numeroase specii de ciuperci parazite și saprofite dintre care unele sunt cîtate în literatură fie pe in, fie pe alte plante-gazdă, altele nu. Printre acestea cea mai importantă pentru țara noastră (fiind parazit de carantină) este ciuperca *Septoria linicola* (Speg.) Gar. și forma ei perfectă *Mycosphaerella linorum* (Wr.) Gar. R., găsită pentru prima dată la noi.

În prezenta comunicare descriem în ordine sistematică 15 din speciile de ciuperci identificate pe tulpinile de in recoltate din diferite localități.

I. ASCOMYCETAE

1. *Mycosphaerella linorum* (Wr.) Gar. R.

Syn.: *Sphaerella linicola* Wollenw., Liloa Rev. Bot. Nat. Univ. Tucum., Inst. Miguel Lillo, 2, 483, 1938.

Peritecii globuloase de 100—220 μ diametru, prevăzute cu osteolă. Ascele sunt hialine, oval-alungite, sesile, măsurînd 30—37 \times 7—12 μ .

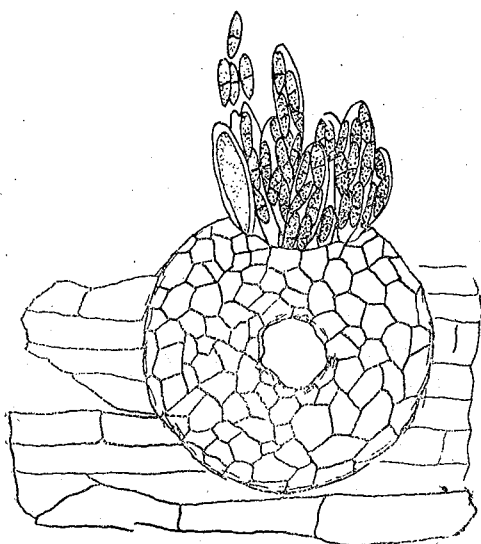


Fig. 1. — Peritecie cu asce și ascospori de *Mycosphaerella linorum* (Wr.) Gar. R.

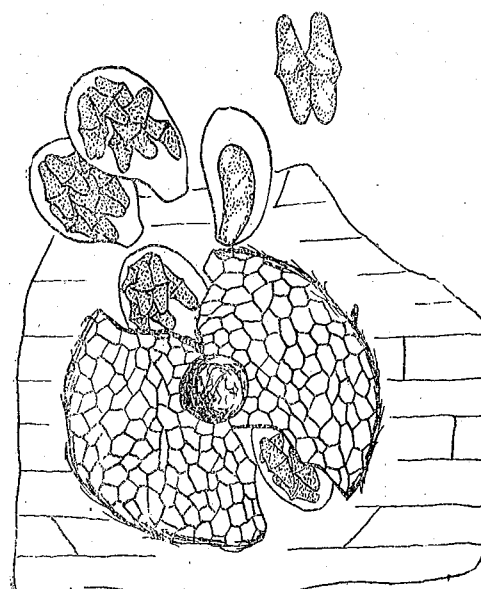


Fig. 2. — Peritecie cu asce și ascospori de *Mycosphaerella Lini* n. sp.

Ascosporii așezați întâi neregulat, apoi pe două siruri (fig. 1) sunt fuziformi, bicelulari, slab gălbui, măsurând $9-10,5 \times 3,5-4 \mu$.

2. *Mycosphaerella Lini* n. sp.

Peritecii risipite, globoase, de culoare brună deschis, osteolate, subepidermice, de $140-190 \mu$ diametru. Ascele sunt oval-clavate sau piriforme, foarte scurt pedunculate, hialine, măsurând $36,3-52,7 \times 16,5-36 \mu$. Ascosporii sunt oval-alungiti, hialini, bicelulari, cu ambele celule egale, ușor îngustăti la capete și mai largi în dreptul septei. Măsoară $19,8-26,4 \times 6,6-8,2 \mu$ (fig. 2).

Specia găsită de noi se deosebește net de specia precedentă ca și de *Sphaerella Dobryakensis*, identificată de Bubák pe tulpi de *Linum laevis*, prin forma și mărimea ascelor și ascosporilor; de aceea am considerat-o specie nouă. Ea ar putea reprezenta forma perfectă a uneia din speciile de *Phoma* descrise mai departe.

3. *Pleospora socialis* Niessl. et Kunze f. *lini* Feltg.

Vorst. Pilz. Luxemb. Nachr., II, 191 (1903).

Peritecii, superficiale, globuloase, brune, cu osteolă bine vizibilă. Ascele sunt ovale, puțin clavate sau piriforme, scurt pedunculate, măsurând $66-72 \times 36,3-46,2 \mu$. Ascosporii hialini la început, apoi pal gălbui-aurii, ovali, ușor îngustăti la capete, cu 3-5 septe transversale (mai des cîte 4 septe) și 1-2 septe longitudinale. La

maturitate ei devin ușor strangulați în dreptul peretei transversali căpătind un aspect muriform, puțin pronunțat (fig. 3). Măsoară $23-31,3 \times 9-14,5 \mu$, în medie $26,6 \times 11,7 \mu$.

Specia identificată de noi diferă de forma originală, citată pe o specie nedeterminată de in, prin aceea că are ascosporii mai mari ($23-31,3 \times 9-14,4 \mu$ în loc de $18-24 \times 9-10 \mu$). Numărul de septe transversale este în majoritate 4, iar forma ascosporilor este foarte puțin pronunțat muriformă.

Prezența fructificațiilor pe tulpiile analizate era mare.

II. BASIDIOMYCETAE

4. *Melampsora Lini* (Schum.) Lév.

Ann. Sci. Nat., 3 sér., VII, 376 (1847).

Teleutosori cafenii închis, apoi negri, alungiti și puțin bombați.

Teleutosporii subepidermici, bruni, prismatici ca formă și dezvoltăți în siruri, strîns lipiți unul de altul. Măsoară $13-36 \times 12-18 \mu$.

Ciuperca a fost destul de frecventă pe materialul studiat.

III. ADELOMYCETAE (Fungi imperfecti)

A. SPHAEROPSIDALES-SPHAEROIDACEAE

5. *Phoma exigua* Desm.

În Ann. Sci. Nat., 3 sér., IX, 282.

Picnidii foarte mici, aglomerate, subepidermice, globuloase, cu peretele brun închis, măsoară $78-150 \mu$ diametru, cu osteolă de $9,4-13 \mu$ diametru. Picnosporii sunt mici, hialini, de $4-6,6 \times 2,2-2,6 \mu$, de formă ovală sau neregulată (fig. 4).

Această ciupercă a fost semnalată în țara noastră din anul 1941, provocînd pagube mai ales la inul de fuior.

6. *Phoma linicola* Bubák, 1914

Syn.: *Phoma linicola* Pethybr. et Laffer., 1921.

Phoma linicola Naumov, Novosti mestnoi mikroflora, Mycology, Leningrad, vol. I, 1926.

Phoma linicola March. et Verpl., Bull. Soc. Roy. Bot. Belg., 59 (N. S. 9), 19 (1926).

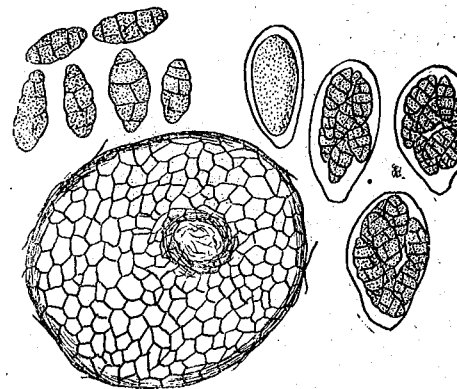


Fig. 3. — Peritecie cu asce și ascospori de *Pleospora socialis* Niessl. et Kunze f. *lini* Feltg.

Ciuperca identificată de noi ca *Phoma linicola* formează picnidii aglomerate, subepidermice, negre, globuloase, cu osteolă bine vizibilă. Pienosporii ies din picnidie risipiti, sunt oval-cilindrici, drepti, rotunjiți la ambele capete, hialini, unicelulari, cu o picătură de grăsimă la mijloc. Măsoară $6,5-10 \times 3,3-3,8 \mu$ (fig. 5).

În privința identificării acestei ciuperci există unele controverse în literatură. După diagnoza dată de P. Saccardo (14), pienosporii

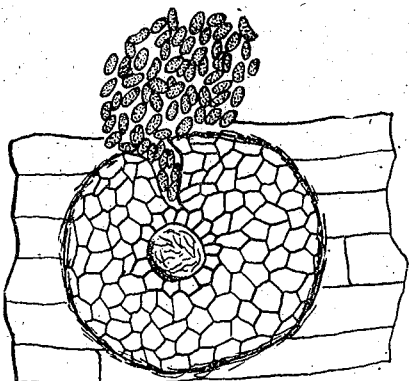


Fig. 4. — Picnidie cu pienospori de *Phoma exigua* Desm.

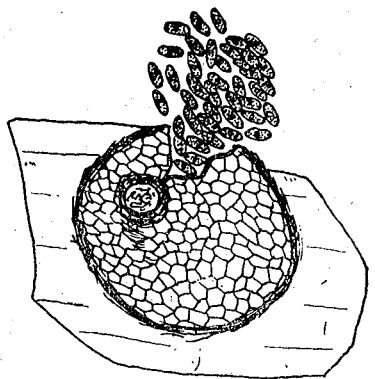


Fig. 5. — Picnidie cu pienospori de *Phoma linicola* Bubák.

sunt cilindrici sau oblong-cilindrici, drepti, rar puțin curbați, rotunjiți la capete și măsoară $7-11 \times 2,5-3,5 \mu$. E. Radulescu și I. Bulinaru (12) citează, sub denumirea de *Phoma linicola* March., o ciupercă cu sporii hialini, unicelulari, cilindrici, ovoizi, drepti sau ușor curbați, dar numai de $3-7 \times 1,5-3 \mu$. După Marchal și apoi Sorauer și G. Viennot-Bougoin (21) pienosporii sunt elipsoidali și măsoară $8,5-13 \times 4-8,5 \mu$.

Specia descrisă de noi se apropie mai mult de diagnoza lui P. Saccardo.

Pînă acum nu a mai fost semnalată în țara noastră.

7. *Phoma usitatissima* n. sp.

Formează picnidii aglomerate, superficiale, mai mici decât la specia precedentă ($85-204 \mu$ diametru) și mai mari decât la *Phoma exigua*. Picnidii sunt globuloase, brune, cu osteolă de $5-6 \mu$ diametru, bine vizibilă. Pienosporii sunt hialini, ovali, ascuțiti la capete, foarte regulați ca formă, spre deosebire de cei de la *Phoma exigua*, și măsoară $8,2-10 \times 3-5 \mu$ (fig. 6). Fiind deosebiti ca formă și mărime de ai celorlalte specii de *Phoma* citate în literatură am considerat-o specie nouă pe care am denumit-o *Phoma usitatissima*.

Ciuperca a fost frecvent găsită pe materialul analizat.

8. *Macrophoma (Cylindrophoma) cylindrica* Passer.

Diagn., F. N. V., nr. 30., var. *lini* n. var.

Picnidii dezvoltă în grupuri, întîi cufundate în substrat, apoi superficiale, negre, globuloase, de $148-220 \mu$ diametru, cu osteolă bine

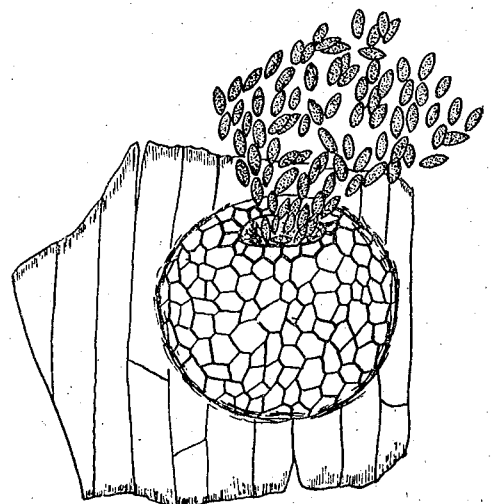


Fig. 6. — Picnidie cu pienospori de *Phoma usitatissima* n. sp.

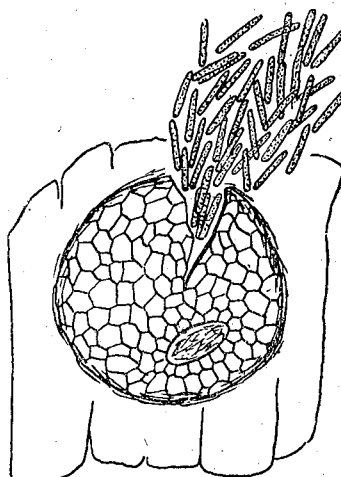


Fig. 7. — Picnidie cu pienospori de *Macrophoma (Cylindrophoma) cylindrica* Passer.

vizibilă. Pienosporii ies din picnidie în coloană compactă, sunt alungit-cilindrici, în formă de bastonașe, subțiri, cu capetele rotunjite, drepti, rareori puțin curbați, hialini, unicelulari, foarte regulați ca formă, măsurând $9-20 \times 2,5-3,3 \mu$ (fig. 7).

Este destul de frecventă pe materialul studiat. Nu a fost găsită pînă acum la noi în țară.

În literatură *Macrophoma cylindrica* a fost semnalată numai pe tulpini moarte de *Pulicaria viscosa*. Dat fiind deosebirile de habitat și mai ales dimensiunea sporilor am considerat-o varietate nouă și am denumit-o *Macrophoma cylindrica* var. *lini*.

9. *Amerosporium Lini* n. sp.

Picnidii risipiti, negre, subepidermice, turtite, chiar ușor convexe, fără deschidere. La bază sunt prevăzute cu peri lungi pînă la 105μ și groși de $3,8-4 \mu$, de culoare brună-negricioasă spre bază și din ce în ce mai decolorați spre vîrf. Treimea superioară este prevăzută cu țepi fini, asemenea aristelor de la cereale. Pienosporii sunt fuziformi, aproape acicu-

lari, înguști, de culoare verzuie, de $10-14 \times 2-3,3 \mu$, cei mai mulți fiind de $13,2 \times 2,3 \mu$ (fig. 8).

Specia de *Amerosporium* identificată de noi pe in, nu poate fi apropiată de nici una dintre speciile citate de P. Saccardo (14) și de

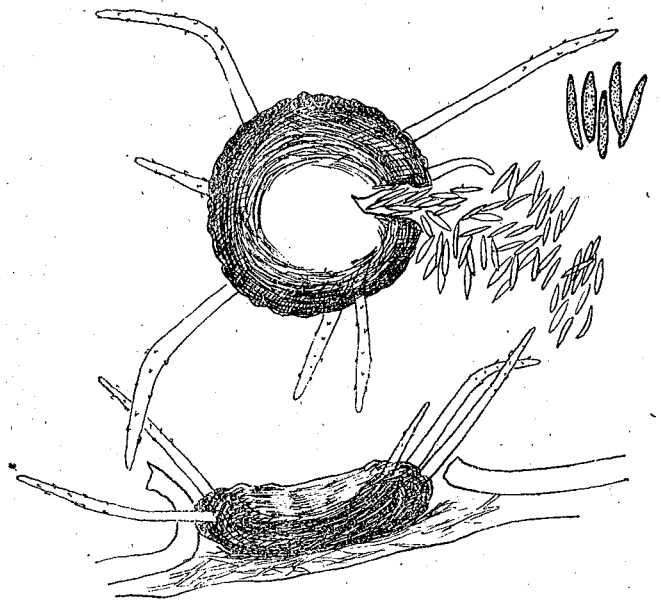


Fig. 8. — Picnidii cu picnospori de *Amerosporium Lini* n. sp.

W. Allescher (1) pe diferite plante-gazdă, pe de o parte datorită diagnozelor prea sumare, iar pe de altă parte habitatului deosebit pe care a fost găsită.

10. *Ascochyta linicola* Naum. et Vassil.

Naum., Novosti mestnoi mikroflora Mycology, Leningrad, vol. I, 1926.

Picnidii de culoare brună-negricioasă, subepidermice, risipite, ușor turtite, mai rar sferice, de $92-165 \times 92-122 \mu$, prevăzute cu osteolă. Picnosporii sunt bicelulari, rar unicelulari, hialini, oval-alungiti, cu capetele puțin îngustate sau rotunjite. Dimensiunea picnosporilor variază în funcție de specia de in pe care o parazitează. De exemplu, pe varietatea de in Concurrent, sporii aveau $15,8-16,8 \times 3,3-4 \mu$, iar pe varietatea Svetoci $10,5-17,5 \times 3,3-5 \mu$ (fig. 9). Aceasta poate explica de ce în literatură sunt indicate dimensiuni variabile pentru această specie. Astfel după N. A. Naumov (10) mărimea picnosporilor de *Ascochyta linicola* este de

$12-15 \times 4-5 \mu$, după L. I. Dobrozkova (4) $8-13 \times 5-8 \mu$, iar după E. Radulescu și I. Bulinaru (12) $5-6 \times 2-2,5 \mu$.

În materialul cercetat de noi am găsit o formă de *Ascochyta* puțin deosebită de aceea menționată mai sus și care avea sporii ușor galbui, iar capetele mai rotunjite, măsurând $16,5-18 \times 3-3,5 \mu$ (fig. 10). Ti-

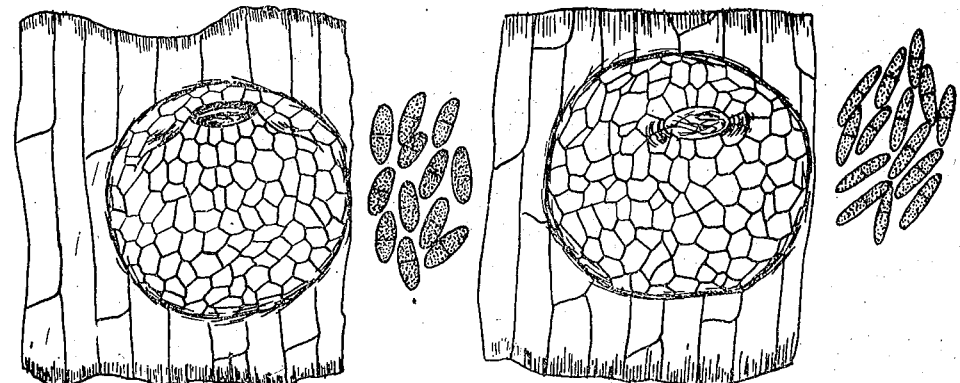


Fig. 9. — Picnidie cu picnospori de *Ascochyta linicola* Naum. et Vassil., pe soiul Concurrent.

Fig. 10. — Picnidie de *Ascochyta linicola* Naum. et Vassil. cu alt tip de spori.

nind seama de colorația sporilor, această formă ar putea fi considerată o *Ascochytyella* care însă nu a fost niciodată citată pe tulpinile de in. Prin faptul că deosebirile în forma sporilor sunt foarte mici, am considerat și această specie tot ca *Ascochyta linicola* Naum.

În literatură mai este citată o specie de *Ascochyta* pe in, anume *Ascochyta lini* Rostrup (Fungi in Bot. of the Faeroës, U, 314 1901; Sacc., Syll. Fung., XVIII, 337, 1906), care însă pare a fi diferită de specia găsită de noi prin mărimea sporilor și mai ales prin faptul că are sporii strangulați în dreptul septei, caracter neîntîlnit la specia descrisă de noi.

11. *Septoria linicola* (Speg.) Gar.

Brentzel E. W., Journ. Agric. Reserch., nr. 1, 1926.

Syn.: *Phlictaena linicola* Speg. Mycetes argentinensis, V, 389, in Ann. Mus. Nac. B. Aires, XX, 1910.

Formează pete mari ($0,5-1$ cm diametru) brune, în jurul tulpinilor sau numai pe o parte a lor, pe suprafața cărora se dezvoltă picnidii. Acestea sunt plate, cu un perete pseudoparenchimatos, subțire și cu osteolă slab vizibilă. Picnosporii au forma unor bastonașe de diferite mărimi, cu capetele rotunjite, drepte sau îndoite în formă de virgulă sau de S (fig. 11), hialini, cu 1-3 pereti transversali. Măsoară $20-40 \times 2,2-2,5 \mu$.

Pe tulpini și capsule de in de diferite specii.

Până acum această ciupercă nu a fost găsită la noi în țară.

12. *Robillarda linicola* n. sp.

Picnidii globuloase sau ușor turtite, brune deschis, cu peretele parenchimatos, cu osteolă bine vizibilă, asemenea celor de la genurile *Phoma*, *Phyllosticta* etc. Picnosporii cilindrici, cu capete rotunjite,

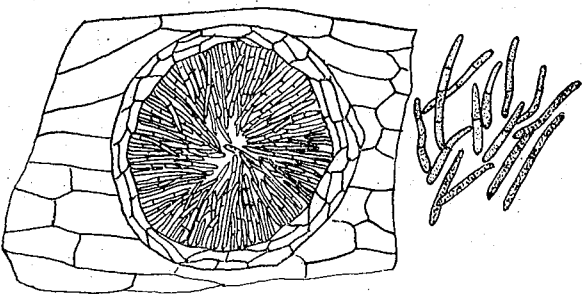


Fig. 11. — Picnidie cu picnospori de *Septoria linicola* (Speg.) Gar.

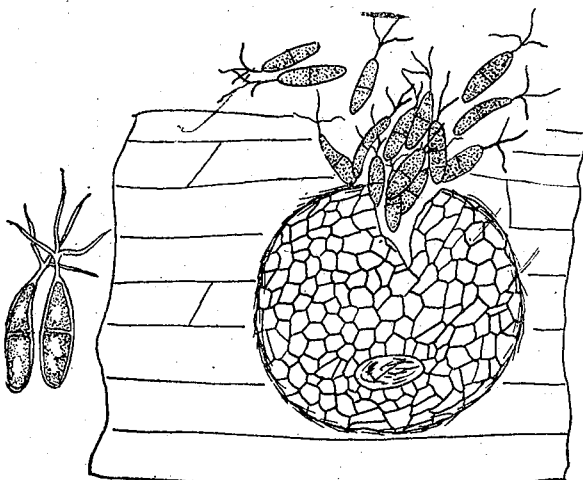


Fig. 12. — Picnidie și picnospori de *Robillarda linicola* n. sp.

bicelulari, ușor colorați în brun. La unul din capete ei au un cil trifurcat, bine vizibil, filiform și aproximativ de lungimea sporilor. Sporii măsoară $15-21 \times 3-3,5 \mu$ (fig. 12).

Ciuperca a fost găsită rar pe tulpinile de in cercetate. Ea a fost determinată ca specie nouă, întrucât nu corespunde nici uneia din speciile citate în literatură (Sacc., Syll. Fung., III, 408, 1884), pe diferite alte plante-gazdă decât pe in. Deosebirile constau atât în forma cît și în dimensiunile picnosporilor.

B. MELANCONIACEAE

13. *Colletotrichum lini* Manus et Bolley

N. Dak. Agr. Exp. Stat. Bull., 57, 1932.

Syn.: *Colletotrichum lini* Bolley, 1910.

Colletotrichum linicola Pethybr. et Lafferty, 1918.

Gloeosporium lini Wester., 1915.

Pete circulare, brune sau cu centrul roz. Fructificații sub forma de lagăre cu conidii și conidiofori (fig. 13). Conidiile sunt ovale, drepte sau curbate, hialine, măsurând $14,3-21,4 \times 3-5,7 \mu$.

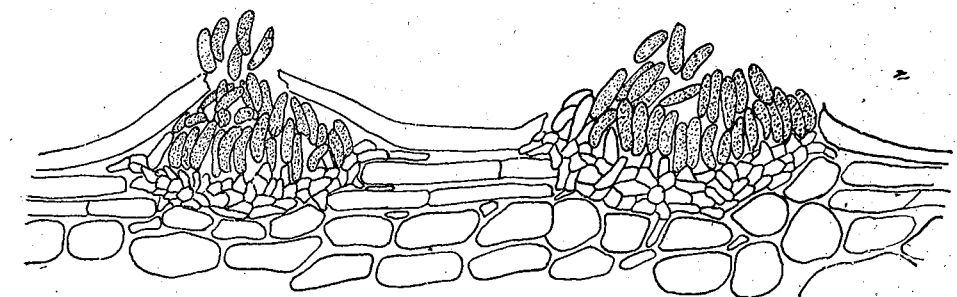


Fig. 13. — Lagăre de conidiofori și conidii de *Colletotrichum lini* Manus et Bolley.

14. *Vermicularia atramentaria* Berk. et Br., 1850

Specia identificată de noi se deosebește puțin de cea descrisă de B. N. Vassilievski și P. N. Karakulin (20) prin forma conidilor pe care acești autori o dau: „alungit-cilindrice sau rareori măciucate, drepte în majoritatea cazurilor”, mai apropiată de specia *Colletotrichum atramentarium* descrisă de G. Viennot-Bougoin (21). În materialul nostru conidiile sunt ascuțite la ambele capete, ușor curbate, având una din fețe puțin concavă iar cealaltă dreaptă sau puțin convexă. Forma aceasta de conidii, precum și prezența numeroșilor peri ne-au determinat să considerăm ciuperca noastră ca apartinând genului *Vermicularia* și nu lui *Colletotrichum*.

Vermicularia atramentaria, identificată de noi, se deosebește de specia citată de H. Rost (13) pe plantele de in în putrefacție, prin forma dreaptă a conidilor, capetele rotunjite și prin dimensiuni ($12-27 \times 2,5-5 \mu$, în loc de $16,5-26,5 \times 2,5-3 \mu$ cît măsoară conidiile speciei identificate de noi) (fig. 14).

C. MUCEDINACEAE

15. *Pestalozzia (Pestalotia) truncata* Lév. var. *Lini* n. var.

Acervuli grupați, globuloși sau turtiți, cu conținutul brun, întâi subepidermici apoi superficiali, care la maturitate se deschid și pun în

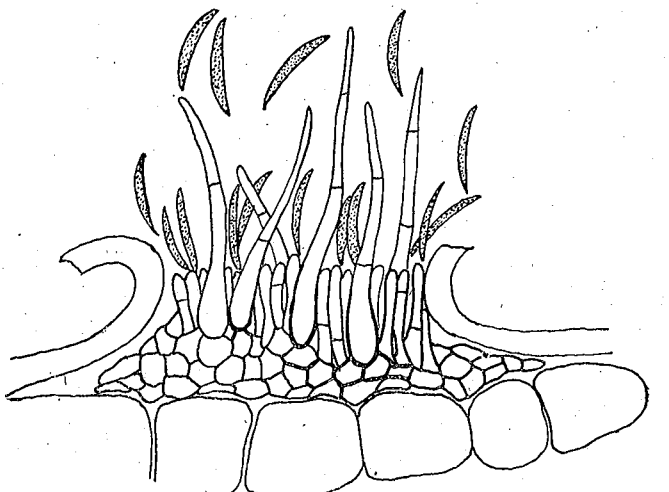


Fig. 14. — Lagăr cu conidiofori și conidii de *Vermicularia atramentaria* Berk. et Br.

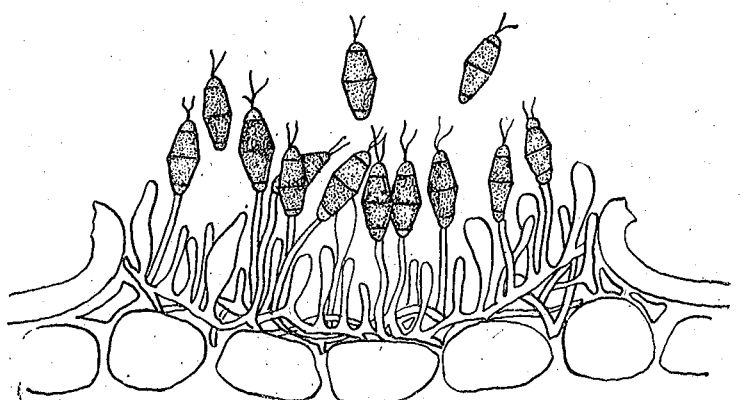


Fig. 15. — Lagăr de conidii și conidiofori de *Pestalozzia (Pestalotia) truncata* Lév. var. *Lini* n. var

libertate conidiile. Conidioforii sunt simpli, hialini, neramificați și adesea puțin mai lungi decât conidiile. Acestea la început sunt hialine sau ușor gălbui și de formă măciucată, apoi devin oval-alungite, tetracelulare. Celulele mijlocii sunt mai mari, aproape cubice sau trapezoidale, de

culoare brună, cu pereții groși. Celulele de la capete sunt mai mici, hialine și cu pereții subțiri. Celula superioară este prevăzută cu 2–3 cili hialini, drepti sau ușor curbați, de $8,2-15,2 \times 1 \mu$. Conidiile tetra-cellulare măsoară $17-21,4 \times 6,6-8,2 \mu$ (fig. 15).

Datorită habitatului deosebit de cel indicat în literatură (ramuri de *Quercus*, *Fagus*, *Padus*, *Eucaliptus*, *Salix*, *Populus* și altele) am considerat necesară a descrie ciuperca găsită pe tulpinile de in ca o varietate nouă și am denumit-o *Pestalozzia truncata* Lév. var. *Lini*.

К ИЗУЧЕНИЮ ГРИБНОЙ ФЛОРЫ РАСТЕНИЙ ЛЬНА

РЕЗЮМЕ

В работе описывается 15 паразитных и сапротитических грибов, обнаруженных на большом количестве стеблей льна, собранных с участков, засеянных импортными семенами. Анализ стеблей проводился с целью обнаружения возможного присутствия карантинных паразитов.

Некоторые из обнаруженных грибов отмечены в литературе или на льне, или же на других растениях-хозяевах, другие же в литературных данных не фигурируют. Последние оказались или новыми разновидностями, или же новыми видами. Из всех описанных в работе грибов наибольшее значение для РНР имеет гриб *Septoria linicola* (Spieg.) Gar. и его совершенная форма *Mycosphaerella linorum* (Wr.) Gar. R., впервые завезенные в РНР. Этот гриб фигурирует в перечне карантинных паразитов, как весьма опасный.

ОБЪЯСНЕНИЕ РИСУНКОВ

Рис. 1. — Перитеций с сумками и аскоспорами гриба *Mycosphaerella linorum* (Wr.) Gar. R.

Рис. 2. — Перитеций с сумками и аскоспорами гриба *Mycosphaerella Lini* n. sp.

Рис. 3. — Перитеций с сумками и аскоспорами гриба *Pleospora socialis* Niessl. et Kunze f. *lini* Feltg.

Рис. 4. — Пикнида с пикноспорами гриба *Phoma exigua* Desm.

Рис. 5. — Пикнида с пикноспорами гриба *Phoma linicola* Bubák.

Рис. 6. — Пикнида с пикноспорами гриба *Phoma usitatissima* n. sp.

Рис. 7. — Пикнида с пикноспорами гриба *Macrophoma (Cylindrophoma) cylindrica* Passer.

Рис. 8. — Пикнида с пикноспорами гриба *Aerosporium Lini* n. sp.

Рис. 9. — Пикнида с пикноспорами гриба *Ascochyta linicola* Naum. et Vassil. на сорте „Конкурент”.

Рис. 10. — Пикнида гриба *Ascochyta linicola* Naum. et Vassil. с другим видом спор.

Рис. 11. — Пикнида с пикноспорами гриба *Septoria linicola* (Spieg.) Gar.

Рис. 12. — Пикнида с пикноспорами гриба *Robillarda linicola* n. sp.

Рис. 13. — Конидиальное ложе с конидиями гриба *Colletotrichum lini* Manus et Bolley.

Рис. 14. — Конидиальное ложе с конидиями гриба *Vermicularia atramentaria* Berk. et Br.

Рис. 15. — Конидиальное ложе с конидиями и конидиеносцами гриба *Pestalozzia (Pestalotia) truncata* Lév. var. *Lini n. var.*

CONTRIBUTION À L'ÉTUDE DE LA MYCOFLORE PARASITE DES PLANTES DE LIN

RÉSUMÉ

Cette Note est consacrée à 15 champignons parasites et saprophytes, trouvés sur un grand nombre de plantes de lin, issues de graines importées. L'analyse des tiges a été effectuée en vue de dépister les éventuels parasites de quarantaine.

Quelques-uns de ces champignons sont cités par la littérature soit sur le lin, soit sur d'autres plantes hôtes; d'autres ne le sont pas. Ces derniers ont été établis être soit des variétés nouvelles, soit des espèces nouvelles. Parmi tous les champignons décrits, le plus important pour la République Populaire Roumaine est *Septoria linicola* (Speg.) Gar. et sa forme parfaite *Mycosphaerella linorum* (Wr.) Gar. R., signalés pour la première fois dans le pays. Ce champignon figure sur la liste des parasites de quarantaine et est des plus nuisibles.

EXPLICATION DES FIGURES

- Fig. 1. — Périthèce à asques et ascospores de *Mycosphaerella linorum* (Wr.) Gar. R.
- Fig. 2. — Périthèce à asques et ascospores de *Mycosphaerella Lini n. sp.*
- Fig. 3. — Périthèce à asques et ascospores de *Pleospora socialis* Niessl. et Kunze f. *lini* Feltg.
- Fig. 4. — Pycnide à pycniospores de *Phoma exigua* Desm.
- Fig. 5. — Pycnide à pycniospores de *Phoma linicola* Bubák.
- Fig. 6. — Pycnide à pycniospores de *Phoma usitatissima* n. sp.
- Fig. 7. — Pycnide à pycniospores de *Macrophoma (Cylindrophoma) cylindrica* Passer.
- Fig. 8. — Pycnide à pycniospores d'*Amerosporium Lini* n. sp.
- Fig. 9. — Pycnide à pycniospores d'*Ascochyta linicola* Naum. et Vassil. sur la variété Concurrent.
- Fig. 10. — Pycnide d'*Ascochyta linicola* Naum. et Vassil. avec un autre type despores.
- Fig. 11. — Pycnide à pycniospores de *Septoria linicola* (Speg.) Gar.
- Fig. 12. — Pycnide à pycniospores de *Robillarda linicola* n. sp.
- Fig. 13. — Loges de conidiophores et de conidies de *Colletotrichum lini* Manus et Bolley.
- Fig. 14. — Loge de conidiophores et de conidies de *Vermicularia atramentaria* Berk. et Br.
- Fig. 15. — Loge de conidies et de conidiophores de *Pestalozzia (Pestalotia) truncata* Lév. var. *Lini n. var.*

BIBLIOGRAFIE

1. ALLESCHER W., in RABENHORT'S, *Kryptogamen Flora von Deutschland*, Leipzig, 1901, ed. a VI-a.
2. DIEDICKE H., *Kryptogamen Flora der Mark Brandenburg*, Cambridge, 1912, IX.
3. DICKSON J., *Diseases of field crops*, New York, 1956.
4. ДОБРОЗРАКОВА Л. И. и др., *Определитель болезней растений*, Москва-Ленинград, 1956.
5. GROVE W. B., *British stem and leaf fungi*, Sphaerops, 1935, I.
6. LAUBER u. RICHTER, in SORAUER, *Handbuch der Pflanzenkrankheiten*, Berlin, 1932, III, ed. a V-a.
7. MIGULA W., *Kryptogamen Flora von Deutschland*, Pilze, 1921, III, 4, 1.
8. НАУМОВ Н. А., *Новости местной микробиологии Mycology*, Ленинград, 1926, I.
9. — *Болезни сельскохозяйственных культур*, Ленинград, 1940.
10. — *Болезни сельскохозяйственных растений*, Ленинград-Москва, 1952, изд. II.
11. OUDEMANS J., *Ennumeratio Systematica Fungorum*, Haga, 121, III.
12. RĂDULESCU E. și BULINARU I., *Bolile plantelor industriale*, Ed. agro-silvică, București, 1957.
13. ROST H., *Die Pasmo-Krankheit des Leins in Europa*, Angew. Botanik, 1937, 19; 1938, 20.
14. SACCARDO P., *Sylloge Fungorum*, Pavia, 1884, III; 1905, XVII; 1931, XXV.
15. SĂVULESCU A. și colab., *Dăunătorii, paraziți și buruienile de carantină*, Îndrumări tehnice, 1958, 71.
16. SĂVULESCU TR., *Monografia Uredinalelor din R.P.R.*, București, 1953, I și II.
17. SĂVULESCU TR. și colab., *Starea fitosanitară din România în anii 1940—1941*, 1943.
18. UBRISZY GABOR, *Növenykortan*, Budapest, 1952.
19. UNAMUNO E., *Ennumeratio Esferops. Penins. Iber.*, Madrid, 1933.
20. ВАСИЛЬЕВСКИЙ Б. Н. и КАРАГУЛИН П. Н., *Параз. несовершенные грибы*, Москва-Ленинград, 1950, II.
21. VIENNOT-BOURGIN G., *Les champignons parasites des plantes cultivées*, Paris, 1949, I și II.

**STUDII ȘI CERCETĂRI
DE BIOLOGIE
SERIA
BIOLOGIE VEGETALĂ**

Tomul XIII

1961

INDEX ALFABETIC

| Nr. | Pag. |
|-----|------|
| 2 | 233 |
| 4 | 427 |
| 1 | 75 |
| 3 | 405 |
| 1 | 49 |
| 4 | 441 |
| 2 | 223 |
| 3 | 357 |
| 4 | 529 |
| 1 | 7 |
| 4 | 467 |
| 3 | 369 |
| 4 | 539 |
| 4 | 547 |
| 1 | 99 |
| 2 | 203 |
| 3 | 417 |

BRAD I., LASZLO IULIA, VALUȚĂ G. și SOTIRIU V., Contribuții la stabilirea unor indici biochimici și fiziolegici de rezistență la ger a cerealelor de toamnă
 BORDEIANU T., TARNAVSCHI I., RADU F. I., BUMBAC ECATERINA, BOTEZ M. și MARIN ANA, Studiu privind repausul de iarnă și pragul biologic la mugurii floriferi de cais
 BUICAN D., URTILĂ ST., IONESCU AL. și LUPAŞ V., Contribuții la studiul nutriției radiculare a grului de toamnă și a porumbului dublu hibrid în funcție de regimul hidric și îngrășăminte aplicate
 CHIRIȚĂ D. C., Contribuții la sistematica regimurilor de apă din solurile R.P.R.
 COJENEANU NATALIA, Etapele de creștere și de dezvoltare la cais în legătură cu rezistența la ger
 COSMA DORINA, SORAN VIOREL și RADOVICI MARIA, Observații cu privire la existența unui strat viu de celule în tegumentele semințelor
 CSURÖS ST. și RESMERITĂ I., Procesul evolutiv al pajiștilor de *Festuca rubra* L. din Transilvania
 CUPCEA EMILIA și STOICOVICI LUCIA, Influența acizilor 2,4-diclorfenoxiacetic și monoiodacetic asupra respirației semințelor în curs de germinație
 DIACONU PETRE, O metodă expeditivă pentru determinarea viabilității polenului de porumb
 ELIADE EUGENIA, Cîteva micromycete noi pentru flora R.P.R. recoltate din Masivul Bucegi
 GEORGESCU C. C., CATRINA I. și TUTUNARU V., Cercetări asupra procesului de refacere a coroanei și a intensității de transpirație a molizilor ataçați de *Lymantria monacha* L.
 GRINVALD CLARA, GUTENMAHER I. și MAVROMATI ELENA, Studiul genetic al hibrizilor gru-secară
 GRUIA LUCIAN, Alge noi pentru flora R.P.R. (I)
 HULEA ANA și NEAGU-TÎRCOVNICU MARINA, Contribuții la cunoașterea microflorei de pe plantele de in
 MIHALCA GH., Contribuții la studiul înrădăcinării portaltoilor în silvostepă, al identificării și recunoașterii lor după rădăcină
 MORARIU I. și PARASCAN D., Buruienile perdelelor forestiere de la Jegălia (Bărăgan)
 NYÁRADY I.E., Despre stadiul actual al cercetărilor referitoare la flora Carpaților din R.P.R.

- PANDELE IULIANA, Continutul în caroten (provitamina A) și în riboflavină (vitamina B₂) al principalelor specii de legume cultivate în țara noastră
 POENARU I., LAZĂRESCU V. și CORBEANU STELA, Contribuții la studiul dinamicii creșterii lăstarului și a frunzelor la viața de vie
 POP EMIL și SORAN VIOREL, Cercetări privind natura fizică și chimică a substanțelor vacuolare responsabile de formarea corpusculilor cu coloranți vitali bazici
 POPESCU A. D. și TĂNASE VIORICA, Despre acțiunea îngrășămintelor chimice cu N, P și K asupra unor procese fizioleice la porumb (Notă preliminară)
 POPESCU-ZELETIN I., MOCANU G. V. și PUIU S., Cercetări privind evoluția arborilor defoliati de *Lymnaea monacha* L.
 POPESCU-ZELETIN I., MOCANU G. V. și PUIU S., Cercetări privind structura și dinamica creșterii radiale în perioada de vegetație la arborete de *Populus × euramericana* (Dode) Guinier (cv. 'marilandica')
 RAICU P. și EREMIA P., Cercetări comparative privind biologia înfloritului la hibrizul dublu de porumb Warwick 401, la hibrizii simpli și liniile consanguinize care îl formează
 SĂLĂGEANU N. și ATANASIU L., Despre fotosinteza la frunzele persistente ale unor specii în decursul iernii
 SÂNDROIU D., SLUŞANSCHI H., RAIU ILEANA și MILITESCU LIVIA, Influența secerelor experimentale din sol, în diferite faze de vegetație, asupra producției și acumulației componentelor chimice la orz
 SÂNDULESCU R. și LANDAUER I., Studiul hibrizilor F₁ obținuți prin încrucișare sexuală între diferite specii de tufun
 SÂVULESCU ALEXANDRU, FURNICĂ HORATIU și ENESCU VALERIU, Contribuții la cunoașterea stăjărelor din șesul Bîrsiei
 SÂVULESCU ALICE, COCIU EVDOCHIA, BECERESCU D., ȘTEFĂNESCU A., PUȘCAȘU A., MOGA RODICA și BOJOR O., DRAGOMIRESCU-MANUCHIAN MARIA, PLATON FLORENTINA, Cercetări asupra producției cornului secarei în R.P.R.
 SINIUHIN M.A. și SALNA I.L., Caracteristica electrofiziologică a reacțiilor de răspuns ale plantelor la acțiunea factorilor externi
 STĂNESCU NELLY, Schimbări fizioleice și biochimice produse de ciuperca *Ustilago tritici* (Pers.) Jensen în plantele de grâu
 STEFUREAC I., TRAIAN și TECULESCU VENERA, Contribuții la cunoașterea characelor din R.P.R.
 TARNAVSCHI T. ION și RÂDULESCU DIDONA, Contribuții la cunoașterea morfologiei microsporilor de *Cucurbitaceae*
 ZAMFIRESCU N. și URTILA ST., Influența luminii asupra absorbției fosforului la porumb și soia determinată cu ajutorul izotopului P³²

| Nr. | Pag. |
|-----|------|
| 1 | 113 |
| 1 | 87 |
| 3 | 313 |
| 1 | 59 |
| 3 | 383 |
| 4 | 477 |
| 2 | 243 |
| 4 | 517 |
| 4 | 449 |
| 2 | 261 |
| 2 | 273 |
| 2 | 149 |
| 3 | 337 |
| 1 | 129 |
| 2 | 175 |
| 1 | 29 |
| 4 | 507 |

АКАДЕМИЯ РУМЫНСКОЙ НАРОДНОЙ РЕСПУБЛИКИ

ТРУДЫ И ИССЛЕДОВАНИЯ ПО БИОЛОГИИ

СЕРИЯ БИОЛОГИЯ РАСТЕНИЙ

Том XIII

1961

АЛФАВИТНЫЙ УКАЗАТЕЛЬ

| № | Стр. |
|--|-------|
| БОРДЕЯНУ Т., ТАРНАВСКИ И., РАДУ И. Ф., БУМБАК ЕКАТЕРИНА, БОТЕЗ М. и МАРИН АНА, Исследование зимнего покоя и биологического порога у цветочных почек абрикоса | 4 427 |
| БРАД И., ЛАСЛО ЮЛИЯ, ВАЛУЦЭ Г. и СОТИРИУ В., К установлению некоторых биохимических физиологических показателей морозустойчивости озимых зерновых | 2 233 |
| БУЙКАН Д., УРТИЛЭ С., ИОНЕСКУ А. и ЛУПАШ В., К изучению корневого питания озимой пшеницы и двойных гибридов кукурузы в зависимости от водного режима и внесенных удобрений | 1 75 |
| ГРИНВАЛЬД КЛАРА, ГУТЕНМАХЕР И. и МАВРОМАТИ ЕЛЕНА, Генетическое изучение гибридов пшеницы с рожью | 3 369 |
| ГРУЯ ЛУЧИАН, Новые для флоры РНР формы водорослей (I) | 4 539 |
| ДЖЕОРДЖЕСКУ К. К., КАТРИНА И. и ТУТУНАРУ В., Изучение процесса восстановления кроны и интенсивности транспирации поврежденных монашенкой (<i>Lymnaea Monacha</i> L.) елей | 4 467 |
| ДИАКОНУ ПЕТРЕ, Быстрый метод определения жизнеспособности пыльцы кукурузы | 4 529 |
| ЗАМФИРЕСКУ Н. и УРТИЛЭ СТ., Влияние света на поглощение фосфора у кукурузы и сои, определенное с помощью изотопа P ³² | 4 507 |
| КИРИЦЭ К. Д., К вопросу систематики водных режимов почв РНР | 3 405 |
| КОЖЕНЯНУ НАТАЛИЯ, Этапы роста и развития абрикоса в связи с его морозустойчивостью | 1 49 |
| КОСМА ДОРИНА, СОРАН ВИОРЕЛ и РАДОВИЧ МАРИЯ, Замечания относительно существования слоя живых клеток в семенных оболочках | 4 441 |
| КЮЮРОС Ш. и РЕЗМЕРИЦЭ И., Процесс эволюции лугов овсяницы красной (<i>Festuca rubra</i> L.) в Трансильвании | 2 223 |
| КУПЧА ЭМИЛИЯ и СТОЙКОВИЧ ЛУЧИЯ, Влияние 2, 4-дихлорфеноуксусной и моноiodуксусной кислот на дыхание семян во время их прорастания | 3 357 |
| МИХАЛКА Г., К изучению укоренения подвойов в условиях лесостепи, их идентификация и распознавание по корням | 1 99 |
| МОРАРИУ И. и ПАРАСКАН Г., Сорняки лесозащитных полос в Жегэлии (Бэраган) | 2 203 |
| НИАРАДИ Е. И., О современной стадии исследования флоры Карпат РНР | 3 417 |

- ПАНДЕЛЕЮЛИАНА, Содержание каротина (провитамина А) и рибофлавина (витамина В₂) в основных видах культивируемых в РРР овощей
- ПОЕНАРУ И., ЛЭЗЭРЕСКУ В. и КОРЯНУ СТЕЛА, К изучению динамики роста побега и листьев виноградной лозы
- ПОПЭМИЛЬ и СОРАН ВИОРЕЛ, Изучение физической и химической природы вакуольных веществ, обуславливающих образование телец с приживленными щелочными красителями
- ПОПЕСКУ Д. А. и ТЭНАСЕ ВИОРИКА, Влияние химических удобрений с N, P и K на некоторые физиологические процессы у кукурузы (Предварительное сообщение)
- ПОПЕСКУ-ЗЕЛЕТИН И., МОКАНУ В. Г. и ПУЮ С., Изучение эволюции деревьев, подвергшихся дефолиации монашкой (*Lymantia monacha* L.)
- ПОПЕСКУ-ЗЕЛЕТИН И., МОКАНУ В. Г. и ПУЮ С., Изучение структуры и динамики радиального ириоста в течение вегетационного периода в древостоях *Populus × euramericana* (Dode) Guinier ср. ('marilandica')
- РАЙКУ И. и ЕРЕМИЯ П., Сравнительное исследование биологии цветения у двойного гибрида кукурузы Варвик 401 и у образующих его простых гибридов и инцуктных линий
- САНДОЮ Д., СЛУШАНСКИЙ Х., РАОУ ИЛЯНА и МИЛИТЕСКУ ЛИВИЯ, Влияние искусственной почвенной засухи в различных вегетационных фазах на урожай ячменя и на накопление в нем химических компонентов
- СИНЮХИН А. М. и САЛНА Л. И., Электрофизиологическая характеристика ответных реакций растений на внешние воздействия
- СТЭНЕСКУ НЕЛЛИ, Физиологические и биологические изменения, вызываемые грибом *Ustilago tritici* (Pers.) Jensen у растений пшеницы
- СЭВУЛЕСКУ АЛЕКСАНДРУ, ФУРНИКА ХАРАЦИУ и БНЕСКУ ВАЛЕРИУ, К изучению дубовых лесов в низменности Бырсы
- СЭВУЛЕСКУ АЛИС, НОЙЧИУ ЕВДОКИЯ, БЕЧЕРЕСКУ Д., ШТЕФЕНСКУ А., ПУШКАШУ А., МОГА РОДИКА, БОЖОР О., ДРАГОМИРЕСКУ-МАНУКИАН МАРИЯ и ПЛАТОН ФЛОРЕНТИНА, Исследования по выращиванию спорыньи в РРР
- СЭЛЭДЖАНУ Н. и АТАНАСИУ Л., О фотосинтезе у неоподающих листьев некоторых видов в течение зимы
- СЭНДУЛЕСКУ Р. и ЛАНДАУЕР И., Изучение гибридов F₁, полученных путем полового скрещивания между различными видами табака
- ТАРНАВСКИЙ ИОН Т. и РЭДУЛЕСКУ ДИДОНА, К изучению морфологии микроспор у тыквенных (Cucurbitaceae)
- ХУЛЯНА и НЯГУ-ЦЫРКОВНИКУ МАРИНА, К изучению грибной флоры растений льна
- ШТЕФУРЯН ТРАЯН И. и ЦЕКУЛЕСКУ ВЕНЕРА, К изучению харовых водорослей ((Charales))
- ЭЛИАДЕ ЕУДЖЕНИЯ, Некоторые новые виды микромицетов во флоре РРР, обнаруженные в горном массиве Бучедж

| № | Стр. |
|---|------|
| 1 | 113 |
| 1 | 87 |
| 3 | 313 |
| 1 | 59 |
| 3 | 383 |
| 4 | 477 |
| 2 | 243 |
| 4 | 449 |
| 3 | 337 |
| 1 | 129 |
| 2 | 273 |
| 2 | 149 |
| 4 | 517 |
| 2 | 261 |
| 1 | 29 |
| 4 | 547 |
| 2 | 175 |
| 1 | 7 |

ÉTUDES ET RECHERCHES
DE BIOLOGIE
SÉRIE
BIOLOGIE VÉGÉTALE

Tome XIII

1961

INDEX ALPHABÉTIQUE

| Nº | Page |
|----|------|
| 2 | 233 |
| 4 | 427 |
| 1 | 75 |
| 3 | 405 |
| 1 | 49 |
| 4 | 441 |
| 2 | 223 |
| 3 | 357 |
| 4 | 529 |
| 1 | 7 |
| 4 | 467 |
| 3 | 369 |
| 4 | 539 |
| 4 | 547 |
| 1 | 99 |

BRAD I., LASZLO IULIA, VALUTĂ G. et SOTIRIU V., Contribution à la détermination de quelques indices biochimiques et physiologiques de résistances aux gelées des céréales d'automne

BORDEIANU T., TARNAVSCHI I., RADU I. F., BUMBAC ECATERINA, BOTEZ M. et MARIN ANA, Etude du repos hivernal et du seuil biologique des bourgeons à fleurs de l'abricotier

BUICAN D., URTILĂ ST., IONESCU AL. et LUPAŞ V., Contribution à l'étude de la nutrition radiculaire du blé d'hiver et du maïs hybride double, en raison du régime hydrique et de la fumure

CHIRITĂ D. C., Contribution à la systématique des régimes d'eau des sols de la République Populaire Roumaine

COJENEANU NATALIA, Les étapes de croissance et de développement de l'abricotier, eu égard à sa résistance aux gelées

COSMA DORINA, SORAN VIOREL et RADOVICI MARIA, Observations relatives à l'existence d'une couche de cellules vivantes dans les téguments séminaux

CSURÖS ST. et RESMERITĂ I., Evolution des prairies à *Festuca rubra* L. de Transylvanie

CUPCEA EMILIA et STOICOVICI LUCIA, Influence des acides 2,4-dichlorophenoxyacétique et monoiodacétique sur la respiration des semences, au cours de la germination

DIACONU PETRE, Une méthode expéditive pour déterminer la viabilité du pollen du maïs

ELIADE EUGENIA, Quelques micromycètes nouveaux pour la flore de la République Populaire Roumaine, récoltés dans le massif des Bucegi

GEORGESCU C. C., CATRINA I. et TUTUNARU V., Recherches sur le processus de restitution de la couronne et sur l'intensité de la transpiration des épicéas attaqués par *Lymantria monacha* L.

GRINVALD CLARA, GUTENMACHER I. et MAVROMATI ELENA, Etude génétique des hybrides blé-seigle

GRIUA LUCIAN, Algues nouvelles pour la flore de la République Populaire Roumaine (I)

HULEA ANA et NEAGU-TIRCOVNICU MARINA, Contribution à l'étude de la mycoflore parasite des plantes de lin

MIHALCA GH., Contribution à l'étude du racinement des porte-greffes dans la steppe à forêt, de leur identification et reconnaissance d'après les racines

- MORARIU I. et PARASCAN D., Les mauvaises herbes des écrans forestiers de Jegălia (Bărăgan)
 NYÁRÁDY I. E., Du stade actuel des recherches sur la flore des Carpates roumaines
 PANDELE IULIANA, Teneur en carotène (provitaminine A) et riboflavine (vitamine B₂) des principales espèces de légumes cultivés dans la R. P. Roumaine
 POENARU I., LĂZĂRESCU V. et CORBEANU STELA, Contribution à l'étude de la marche de la croissance des pousses et des feuilles de vigne
 POP EMIL et SORAN VIOREL, Recherches sur la nature physique et chimique des substances vacuolaires génératrices de corpuscules avec les colorants vitaux basiques
 POPESCU A. D. et TĂNASE VIORICA, De l'action des engrains chimiques aux N, P et K sur certains processus physiologiques du maïs (Note préliminaire)
 POPESCU-ZELETIN I., MOCANU G. V. et PUIU S., Recherches sur l'évolution des arbres défeuillés par *Lymantia monacha* L.
 POPESCU-ZELETIN I., MOCANU G. V. et PUIU S., Recherches sur la structure et la dynamique de l'accroissement radial pendant la période de végétation d'un peuplement de *Populus × Euramericanana* (Dode) Guinier (cv. 'marilandica')
 RAICU P. et EREMIA P., Recherches comparatives sur la biologie de la floraison chez l'hybride double de maïs Warwick 401, chez les hybrides simples et chez les lignées consanguines qui le forment
 SĂLĂGEANU N. et ATANASIU L., De la phytosynthèse de quelques espèces à feuilles persistantes, en hiver
 SĂNDOIU D., SLUŞANSCHI H., RAIU ILEANA et MILITESCU LIVIA, Influence de la sécheresse expérimentale du sol, à différentes phases de la végétation de l'orge, sur le rendement et l'accumulation des composants chimiques dans la plante
 SĂNDULESCU R. et LANDAUER I., Etude des hybrides F₁ obtenus par croisement sexué entre différentes espèces de tabac
 SĂVULESCU ALEXANDRU, FURNICĂ HORATIU et ENESCU VALERIU, Contribution à la connaissance des peuplements de chêne pédonculé de la plaine de la Bîrsa
 SĂVULESCU ALICE, COCIU EVDOCHIA, BECERESCU D., ȘTEFĂNESCU A., PUȘCAȘU A., MOGA RODICA et BOJOR O., DRAGOMIRESCU-MANUCHIAN MARIA, PLATON FLORENTINA, Recherches sur la production de l'ergot de seigle dans la République Populaire Roumaine
 SINIUHIN M. A. et SALNA I. L., Caractéristiques électrophysiologiques des réactions de réponse des plantes à l'action des facteurs externes
 STĂNESCU NELLY, Changements physiologiques et biochimiques déterminés par le champignon *Ustilago tritici* (Pers.) Jensen dans la plante de blé
 ȘTEFUREAC I., TRAIAN und TECULESCU VENERA, Beiträge zur Kenntnis der Characeen aus der Rumänischen Volksrepublik
 TARNAVSCHI T. ION et RĂDULESCU DIDONA, Données sur la morphologie des microspores des *Cucurbitaceae*
 ZAMFIRESCU N. et URTILĂ ST., Influence de la lumière sur l'absorption du phosphore par les plantes de maïs et de soja, déterminée à l'aide de l'isotope P³²

| No | Page |
|----|------|
| 2 | 203 |
| 3 | 417 |
| 1 | 113 |
| 1 | 87 |
| 3 | 313 |
| 1 | 59 |
| 3 | 383 |
| 4 | 477 |
| 2 | 243 |
| 4 | 517 |
| 4 | 449 |
| 2 | 261 |
| 2 | 273 |
| 2 | 149 |
| 3 | 337 |
| 1 | 129 |
| 2 | 175 |
| 1 | 29 |
| 4 | 507 |

Pentru a vă asigura o colecție completă și primirea la timp a revistei, reînnoiți abonamentul Dvs. pentru anul 1961.

ABONAMENTELE SE FAC LA OFICIILE POȘTALE, AGENȚIILE POȘTALE, PRIN FACTORII POȘTALI ȘI DIFUZORII VOLUNTARI DIN ÎNTreprinderi și INSTITUȚII.

LUGRĂRI APĂRUTE ÎN EDITURA ACADEMIEI R.P.R.

BIOLOGIE VEGETALĂ

- * * Flora Republicii Populare Române, vol. VII, 663 p., 37,50 lei
- * AL. BORZA, Flora și vegetația Văii Sebeșului, „Biblioteca de biologie vegetală II”, 328 p. + 2 pl., 25,50 lei
- * EMIL POP, Mlastinile de turbă din Republica Populară Română, „Biblioteca de biologie vegetală”, 516 p., 28,60 lei
- * * Darwinismul și problema evoluției în biologie, 231 p., 9,60 lei
- * * Starea fitosanitară în Republica Populară Română în anul 1957—1958, „Metode, rapoarte, memoriile”, 107 p. + 1 pl., 5 lei
- * * Oerotirea Naturii, Buletinul Comisiei pentru oerotirea monumentelor naturii, 5, 205 p. + 4 pl., 13,60 lei
- * * Probleme actuale de biologie și științe agricole. Lucrare dedicată Acad. Prof. D. Ionescu. Sășești cu prilejul împlinirii a 75 de ani, 782 p. + 9 pl., 53 lei

ȘTIINȚE AGRICOLE

- * * Metode agrotehnice pentru sporirea producției agricole în Moldova, „Metode, rapoarte, memoriile”, 561 p., 24,90 lei
- * * Metode agrotehnice pentru sporirea producției agricole în Oltenia, „Metode, rapoarte, memoriile”, 271 p., 10,10 lei
- * * Metode agrotehnice pentru sporirea producției agricole în sud-estul Transilvaniei, „Metode, rapoarte, memoriile”, 245 p., 10 lei
- * * Metode agrotehnice pentru sporirea producției agricole în Bărăgan „Metode, rapoarte, memoriile”, 305 p., 13,60 lei
- * * Zonarea ecologică a plantelor agricole în R.P.R., 287 p. + 10 pl., 18,50 lei
- * * Ampelografia Republicii Populare Române, vol. II, 748 p. + 38 pl., 93 lei; vol. III, 692 p. + 37 pl., 49,50 lei
- * * Analele Institutului de cercetări agronomice, vol. XXVII, seria A. Agroclimatologie, Pedologie, Agrochimie și Ameliorații, 191 p. + 8 pl., 8,40 lei
- * * Analele Institutului de cercetări agronomice, vol. XXVII, seria B. Agrotehnica. Păsuni și Finețe. Economie și Organizarea agriculturii socialiste, 311 p. + 5 pl., 11,40 lei
- * * Analele Institutului de cercetări agronomice, vol. XXVII, seria C. Fiziologie. Genetica. Ameliorare. Protecția plantelor și Tehnologie agricolă, 387 p. + 5 pl., 15,30 lei
- * * Protecția plantelor în sprijinul zonării producției agricole în R.P.R., 417 p., 18,50 lei